

SIMULAÇÃO AERODINÂMICA EM TÚNEIS  
DE METRÔ, TIPO COURAÇA

29/76

UNIVERSIDADE ESTADUAL DE CAMPINAS  
FACULDADE DE ENGENHARIA  
DEPARTAMENTO DE ENGENHARIA MECÂNICA

SIMULAÇÃO AERODINÂMICA EM TÚNEIS  
DE METRÔ, TIPO COURAÇA

Autor: SERGIO VALDIR BAJAY  
Orientador: JOAQUIM SEVERINO DE PAIVA NETTO

Tese apresentada à Faculdade de En-  
genharia de Campinas da UNICAMP co-  
mo parte dos requisitos necessários  
para obtenção do título de Mestre  
em Engenharia Mecânica

DEZEMBRO DE 1976

UNICAMP  
BIBLIOTECA CENTRAL

## P R E F Á C I O

As elevadas taxas de crescimento de diversas metrópoles no Brasil vem ocasionando sérios problemas de transporte urbano, em cuja solução, a médio e longo prazo, os sistemas de transporte rápido desempenham um importante papel. A utilização econômica destes sistemas impõe problemas técnicos cujas soluções dependem de avançadas pesquisas tecnológicas.

O presente estudo visa criar uma ferramenta de análise, que possibilite uma compreensão clara do comportamento aerodinâmico em túneis de Metrô, com via única. Espera-se que este trabalho, propicie um sensível progresso no desenvolvimento de técnicas para otimização do controle do meio ambiente, em sistemas urbanos de transporte rápido.

I N D I C E

	Pág.
LISTA DE FIGURAS .....	iv
NOMENCLATURA .....	ix
SUMÁRIO .....	xviii
1. INTRODUÇÃO .....	1
1.1 Generalidades .....	1
1.2 O Problema da Tese .....	3
1.3 Resenha Literária .....	4
1.3.a Estudos assumindo fluido incompressível - Baixas velocidades .....	4
1.3.b Estudos assumindo fluido compressível - Al- tas velocidades .....	7
2. FORMULAÇÃO TEÓRICA .....	10
2.1 Escolha do Modelo Físico .....	10
2.2 Elaboração do Modelo Matemático .....	11
2.2.a Campo de velocidades e pressões .....	11
(i ) Equações básicas .....	11
(ii ) Condições de contorno .....	20
(iii) Condições iniciais .....	22
2.2.b Força de arrasto aerodinâmico .....	23
2.3 Considerações sobre os dados experimentais concer- nentes às perdas de carga .....	28
3. RESOLUÇÃO NUMÉRICA .....	30
3.1 Aproximação por diferenças finitas .....	30
3.2 Método dos intervalos de tempo especificados .....	33
3.3 Cruzamento das linhas características com as curvas distância-tempo do veículo .....	35
3.3.a Equações da intersecção .....	35
3.3.b Condições do cruzamento .....	38

	Pág.
3.4 Análise dos pontos extremos .....	40
3.4.a Entrada do túnel .....	41
3.4.b Saída de exaustão .....	41
3.4.c Poço de alívio .....	46
3.4.d Saída do túnel .....	47
3.5 Método dos mínimos quadrados com restrições .....	48
3.6 Programa para computador digital .....	51
4. RESULTADOS E DISCUSSÃO .....	76
5. CONCLUSÕES E RECOMENDAÇÕES .....	81
REFERÊNCIAS .....	83
APÊNDICE - Dados experimentais .....	147

LISTA DE FIGURAS

<u>FIGURA</u>		<u>PÁGINA</u>
1	Esquema do Modelo Físico Adotado Neste Trabalho .....	87
2	Linhas Características .....	87
3	Posições Relativas Entre as Curvas Características e as Curvas Distância-Tempo da Frente e Traseira do Veículo .....	88
4	Fluxograma Básico .....	89
5	Curva Característica dos Ventiladores de Exaustão ..	96
6	Mudança da Posição da Frente do Trem com o Tempo, no Trajeto entre as Estações .....	97
7	Variação da velocidade do Trem com o Tempo, no Trajeto entre as Estações .....	98
8	Distribuição da Força de Arrasto Aerodinâmico Com o Tempo Durante a Passagem do Trem Pelo Túnel, Devido Somente ao Efeito de Pistão .....	99
9	Distribuição da Força de Arrasto Aerodinâmico com o Tempo Durante a Passagem do Trem pelo Túnel, Devido ao Efeito de Pistão mais Ventilação Forçada .....	100
10	Mudança da vazão Média do Ar entre a Entrada do Túnel e a Saída de Exaustão com o Tempo, Devido Somente ao efeito de Pistão .....	101
11	Mudança da Vazão Média do Ar Entre a Entrada do Túnel e a Saída de Exaustão com o Tempo, Devido ao Efeito de Pistão mais Ventilação Forçada .....	102
12	Mudança da Vazão Média do Ar entre a Saída de Exaustão e o Poço de Alívio com o Tempo, Devido Somente ao Efeito de Pistão .....	103
13	Mudança da Vazão Média do Ar entre a Saída de Exaustão e o Poço de Alívio com o Tempo, Devido ao Efeito de Pistão mais Ventilação Forçada .....	104
14	Mudança da Vazão Média do Ar entre o Poço de Alívio e a Saída do Túnel com o Tempo, Devido somente ao Efeito de Pistão. ....	105

<u>FIGURA</u>	<u>PÁGINA</u>
15 Mudança da Vazão Média do Ar entre o Poço de Alívio e a Saída do Túnel com o Tempo, Devido ao Efeito de Pistão mais Ventilação Forçada .....	106
16 Mudança da Vazão do Ar na Saída de Exaustão com o Tempo, Devido somente ao Efeito de Pistão .....	107
17 Mudança da Vazão do Ar na Saída de Exaustão com o Tempo, Devido ao Efeito de Pistão mais Ventilação Forçada .....	108
18 Mudança da Vazão do Ar no Poço de Alívio com o Tempo, Devido somente ao Efeito de Pistão .....	109
19 Mudança da Vazão do Ar no Poço de Alívio com o Tempo, Devido ao Efeito de Pistão mais Ventilação Forçada .....	110
20 Distribuição da Velocidade do Ar ao Longo do Túnel para $T=5,4$ seg., Devido somente ao Efeito de Pistão .....	111
21 Distribuição da Velocidade do Ar ao Longo do Túnel para $T=5,4$ seg., Devido ao Efeito de Pistão mais Ventilação forçada .....	112
22 Distribuição da Pressão do ar ao Longo do Túnel para $T=5,4$ seg., devido somente ao Efeito de Pistão..	113
23 Distribuição da Pressão do ar ao Longo do Túnel para $T=5,4$ seg., Devido ao Efeito de Pistão mais Ventilação Forçada. ....	114
24 Distribuição da Velocidade do Ar ao Longo do Túnel para $T=16,2$ seg., Devido somente ao Efeito de Pistão .....	115
25 Distribuição da Velocidade do Ar ao Longo do Túnel para $T=16,2$ seg., Devido ao Efeito de Pistão mais Ventilação Forçada .....	116
26 Distribuição da Pressão do Ar ao Longo do Túnel para $T=16,2$ seg., Devido somente ao Efeito de Pistão .....	117
27 Distribuição da Pressão do Ar ao Longo do Túnel para $T=16,2$ seg., Devido ao Efeito de Pistão mais Ventilação Forçada. ....	118

<u>FIGURA</u>	<u>PÁGINA</u>
28 Distribuição da Velocidade do Ar ao Longo do Túnel para $T=27,0$ seg., Devido somente ao Efeito de Pistão .....	119
29 Distribuição da Velocidade do Ar ao Longo do Túnel para $T=27,0$ seg. Devido ao efeito de Pistão mais Ventilação Forçada .....	120
30 Distribuição da Pressão do Ar ao Longo do Túnel para $T=27,0$ seg., Devido somente ao Efeito de Pistão .....	121
31 Distribuição da Pressão do Ar ao Longo do Túnel para $T=27,0$ seg., Devido ao Efeito de Pistão mais Ventilação Forçada .....	122
32 Distribuição da Velocidade do Ar ao Longo do Túnel para $T=37,8$ seg., Devido somente ao Efeito de Pistão .....	123
33 Distribuição da Velocidade do Ar ao Longo do Túnel para $T=37,8$ seg., Devido ao Efeito de Pistão mais Ventilação Forçada .....	124
34 Distribuição da Pressão do Ar ao Longo do Túnel para $T=37,8$ seg., Devido somente ao Efeito de Pistão .....	125
35 Distribuição da Pressão do Ar ao Longo do Túnel para $T=37,8$ seg., Devido ao Efeito de Pistão mais Ventilação Forçada .....	126
36 Distribuição da Velocidade do Ar ao Longo do Túnel para $T=48,6$ seg., Devido somente ao Efeito de Pistão .....	127
37 Distribuição da Velocidade do Ar ao Longo do Túnel para $T=48,6$ seg., Devido ao Efeito de Pistão mais Ventilação Forçada .....	128
38 Distribuição da Pressão do Ar ao Longo do Túnel para $T=48,6$ seg., Devido somente ao Efeito de Pistão .....	129
39 Distribuição da Pressão do Ar ao Longo do Túnel para $T=48,6$ seg., Devido ao Efeito de Pistão mais Ventilação Forçada .....	130
40 Distribuição da Velocidade do Ar ao Longo do Túnel para $T=59,4$ seg., Devido somente ao efeito de Pistão .....	131

FIGURA

PÁGINA

41	Distribuição da Velocidade do Ar ao Longo do Túnel para $T=59,4$ seg., Devido ao Efeito de Pistão mais Ventilação Forçada .....	132
42	Distribuição da Pressão do Ar ao Longo do Túnel para $T=59,4$ seg., Devido somente ao Efeito de Pistão	133
43	Distribuição da Pressão do ar ao Longo do Túnel para $T=59,4$ seg., Devido ao Efeito de Pistão mais Ventilação Forçada .....	134
44	Distribuição da Velocidade do Ar ao Longo do Túnel para $T=86,4$ seg., Devido somente ao Efeito de Pistão .....	135
45	Distribuição da Velocidade do Ar ao Longo do Túnel para $T=86,4$ seg., Devido ao Efeito de Pistão mais Ventilação Forçada .....	136
46	Distribuição da Pressão do Ar ao Longo do Túnel para $T=86,4$ seg., Devido somente ao Efeito de Pistão	137
47	Distribuição da Pressão do Ar ao Longo do Túnel para $T=86,4$ seg., Devido ao Efeito de Pistão mais Ventilação Forçada .....	138
48	Distribuição da Velocidade do Ar ao Longo do Túnel para $T=129,6$ seg., Devido somente ao Efeito de Pistão. ....	139
49	Distribuição da Velocidade do Ar ao Longo do Túnel para $T=129,6$ seg., Devido ao Efeito de Pistão mais Ventilação Forçada .....	140
50	Distribuição da Pressão do Ar ao Longo do Túnel para $T=129,6$ seg., Devido somente ao Efeito de Pistão. ....	141
51	Distribuição da Pressão do Ar ao Longo do Túnel para $T=129,6$ seg., Devido ao Efeito de Pistão mais Ventilação Forçada .....	142
52	Distribuição da Velocidade do Ar ao Longo do Túnel para $T=172,8$ seg., Devido somente ao Efeito de Pistão .....	143

<u>FIGURA</u>		<u>PÁGINA</u>
53	Distribuição da Velocidade do Ar ao Longo do Túnel para $T=172,8$ seg., Devido ao Efeito de Pistão mais Ventilação Forçada .....	144
54	Distribuição da Pressão do Ar ao Longo do Túnel pa ra $T=172,8$ seg., Devido somente ao efeito de Pistão	145
55	Distribuição da Pressão do Ar ao Longo do Túnel pa ra $T=172,8$ seg., Devido ao Efeito de Pistão mais Ventilação Forçada .....	146

N O M E N C L A T U R A

SÍMBOLOS	DESCRÍÇÃO	UNIDADES	
No texto No programa			
a	A	Velocidade do som no ar.	m/seg
A <sub>4</sub>	A <sub>4</sub>	Área transversal ao escoamento na saída de exaustão	m <sup>2</sup>
A <sub>5</sub>	A <sub>5</sub>	Área transversal ao escoamento no poço de alívio	m <sup>2</sup>
C <sub>e</sub> , K <sub>e</sub>	CE, AKE	Coeficientes relacionados às perdas de carga na frente do veículo	
C <sub>ec</sub> , K <sub>ec</sub>		Coeficientes relacionados às perdas de carga na frente do veículo, por contração do fluxo de ar	
C <sub>ee</sub> , K <sub>ee</sub>		Coeficientes relacionados às perdas de carga na frente do veículo, por expansão do fluxo de ar	
C <sub>w</sub> , K <sub>w</sub>	CW, AKW	Coeficientes relacionados às perdas de carga na traseira do veículo	
C <sub>wc</sub> , K <sub>wc</sub>		Coeficientes relacionados às perdas de carga na traseira do veículo, por contração do fluxo de ar	
C <sub>we</sub> , K <sub>we</sub>		Coeficientes relacionados às perdas de carga na traseira do veículo, por expansão do fluxo de ar.	
C <sub>p</sub> /C <sub>v</sub>		Relação de calores específicos para o ar.	
D <sub>h4</sub>	DIH4	Diâmetro hidráulico dos dutos de exaustão	m
D <sub>h5</sub>	DIHS	Diâmetro hidráulico do poço de alívio.	m
D <sub>t</sub>	DIT	Diâmetro do túnel	m
D <sub>v</sub>	DIV	Diâmetro do veículo	m
e		Coeficiente que considera o efeito de mais de um túnel no	

SÍMBOLOS		DESCRÍÇÃO	UNIDADES
No texto	No programa		
		fluxo de exaustão	
$F_D$	$F_D(I)$	Força de arrasto total	N
$F_{D_B}$		Arrasto de base	N
$F_{D_e}$		Componente da força de arrasto na zona de entrada	N
$F_{D_f}$		Componente da força de arrasto devido ao cisalhamento na parede do veículo	N
$F_{D_N}$		Arrasto de forma	N
$F_{D_P}$		Componente da força de arrasto devido às pressões	N
$F_{DPD}$		Arrasto devido a diferença de pressões na zona de transferência	N
$F_{D_W}$		Componente da força de arrasto na zona de esteira	N
$F_{IPO}$	$F_{IPO}$	Coeficiente de atrito assumido como referência na fórmula de Colebrook-white, em relação à saída de exaustão e ponto de alívio	
$F_{ITR}$	$F_{ITR}$	Coeficiente de atrito assumido como referência na fórmula de colebrook-white, em relação à zona de transferência	
$f_t$	$FT$	Coeficiente de atrito na parede do túnel, na região distante do veículo	
$f_{t_R}$	$FTR$	Coeficiente de atrito na parede do túnel, na região distante do veículo; calculado em relação a característica $C^+$	
$f_{t_s}$	$FTS$	Coeficiente de atrito na parede do túnel, na região distante do veículo; calculado em relação à característica $C^-$	
$f_v$	$FV$	Coeficiente de atrito na parede do trem, na zona de transferência	

SÍMBOLOS No texto      No programa	DESCRICAÇÃO	UNIDADES
$f_{VR}$	FVR	Coeficiente de atrito na parede do trem, na zona de transferência; calculado em relação a característica $C^+$
$f_{VS}$	FVS	Coeficiente de atrito na parede do trem, na zona de transferência; calculado em relação a característica $C^-$
$f_{VV}$	FVV	Coeficiente de atrito na parede do trem, nas estações
$f_w$	FW	Coeficiente de atrito na parede do túnel, na zona de transferência
$f_{wR}$	FWR	Coeficiente de atrito na parede do túnel, na zona de transferência; calculado em relação a característica $C^+$
$f_{ws}$	FWS	Coeficiente de atrito na parede do túnel, na zona de transferência; calculado em relação a característica $C^-$
$f_4$	F4	Coeficiente de atrito na parede dos dutos de exaustão
$f_5$	F5	Coeficiente de atrito na parede do poço de alívio
$g_{i1}, g_{i2}$ $g_{i3}, g_{i4}$	$G(I,1), G(I,2),$ $G(I,3), G(I,4)$	Coeficiente dos polinômios de ajuste da curva característica dos ventiladores
$H_{Le_c}$		Perda de carga devido a contração do fluxo de ar na frente do veículo
$H_{Le_e}$		Perda de carga devido a expansão do fluxo de ar na frente do veículo
HWAY	HWAY	Intervalo de tempo entre a passagem de dois trens consecutivos
K		Módulo de elasticidade do ar
Kent		Coeficiente relacionado à per-

SÍMBOLOS		DESCRICAÇÃO	UNIDADES
No texto	No programa		
KPA	KPA	da de carga na entrada do túnel	
KVF	KVF	Indicador da existência de poço de alívio no túnel	
$L_{aa}$		Indicador da existência de ventilação forçada	
$L_t$	ALT	Distância entre o poço de alívio e a saída do túnel	m
$L_v$	ALV	Comprimento do túnel	m
$L_{4eq}$	ALEQ4	Comprimento do veículo	m
$L_{5eq}$	ALEQ5	Comprimento equivalente dos dutos de exaustão	m
$\eta_{aa}$	NAA	Comprimento equivalente do poço de alívio	m
NPT	NPT	Coeficiente indicador da posição ocupada pelo poço de alívio na malha	
P		Número de períodos no tempo a serem analisados	
$P_{atm}$		Notação genérica para a pressão do ar no sistema	$N/m^2$
$P_b, P_c, P_d$		Pressão atmosférica	$N/m^2$
$P_a, P_f, P_i$		Pressões relativas às secções <u>b, c, d, e, f, e i</u> da fig.1	$N/m^2$
$P_{g1}, P_{g2}$		Pressões do ar na secção <u>g</u> da fig 1, relativas aos trechos 1 e 2 do túnel	$N/m^2$
$P_{h2}, P_{h3}$		Pressões do ar na secção <u>h</u> da fig 1, relativas aos trechos 2 e 3 do túnel	$N/m^2$
$P_p$		Pressão do ar em um ponto genérico da malha	$N/m^2$
$P_{p1}$	$P_1(I, J)$	Pressão do ar para um ponto da malha situado no trecho 1	$N/m^2$
$P_{p2}$	$P_2(I, J)$	Pressão do ar para um ponto da malha situado no trecho 2	$N/m^2$
$P_{p3}$	$P_3(I, J)$	Pressão do ar para um ponto da malha situado no trecho 3	$N/m^2$
$P_R$	PR	Pressão do ar na característica	

SÍMBOLOS		DESCRÍÇÃO	UNIDADES
No texto	No programa		
		ca C <sup>+</sup> (fig.2)	N/m <sup>2</sup>
P <sub>S</sub>	PS	Pressão do ar na característica C <sup>+</sup> (fig.2)	N/m <sup>2</sup>
P <sub>4</sub>		Pressão do ar no ponto da malha abaixo da saída de exaustão	N/m <sup>2</sup>
P <sub>5</sub>		Pressão do ar no ponto da malha abaixo do poço de alívio	N/m <sup>2</sup>
(Δp) <sub>e</sub>		Diferença de pressão na zona de entrada	N/m <sup>2</sup>
(Δp) <sub>ent</sub>		Perda de carga na entrada do túnel	N/m <sup>2</sup>
(Δp) <sub>inso</sub>	DPINSO	Perda de carga associada ao insonorizador	N/m <sup>2</sup>
(Δp) <sub>vent</sub>	DPVENT	Diferença de pressão provocada pelos ventiladores	N/m <sup>2</sup>
(Δp) <sub>w</sub>		Diferença de pressão na zona de esteira	N/m <sup>2</sup>
QVF	QVF	Vazão de projeto que passa pelos ventiladores de exaustão	m <sup>3</sup> /seg
QVF <sub>d</sub>	QVFD	Vazão de projeto, devido somente a ventilação forçada, do início do túnel até a saída de exaustão	m <sup>3</sup> /seg
QVF <sub>e</sub>	QVFE	Vazão de projeto, devido somente a ventilação forçada, do fim do túnel até a saída de exaustão	m <sup>3</sup> /seg
R	R	Constante do ar	mKfg/Kgm K
Re <sub>v</sub>	REV	Número de Reynolds na zona de transferência, relativo a parede do trem	
Re <sub>vv</sub>	REVV	Número de Reynolds relativo ao veículo	
Re <sub>w</sub>	REW	Número de Reynolds na zona de transferência, relativo a parede do túnel	
RRPO	RRPO	Rugosidade relativa na zona	

SÍMBOLOS	DESCRÍÇÃO	UNIDADES
No texto      No programa		
	de transferência	
RRTR	Rugosidade relativa na saída de exaustão e poço de alívio	
t	Coordenada do tempo	seg
ti <sub>E</sub> R	Instante de tempo em que ocorre a intersecção da característica C <sup>+</sup> com a frente do trem	seg
ti <sub>E</sub> S	Instante de tempo em que ocorre a intersecção da característica C <sup>-</sup> com a frente do trem	seg
ti <sub>W</sub> R	Instante de tempo em que ocorre a intersecção da característica C <sup>+</sup> com a traseira do trem	seg
ti <sub>W</sub> S	Instante de tempo em que ocorre a intersecção da característica C <sup>-</sup> com a traseira do trem	seg
T <sub>m</sub>	Temperatura média do ar no túnel	K
t <sub>P</sub>	Instante de tempo associado a análise de um ponto genérico, P da malha	seg
Δt	Passo no tempo	seg
(Δt) <sub>trR</sub>	Intervalo de tempo em que a linha característica C <sup>+</sup> atravessa a zona de transferência em um elemento da malha	seg
(Δt) <sub>trs</sub>	Intervalo de tempo em que a linha característica C <sup>-</sup> atravessa a zona de transferência em um elemento da malha	seg
v	Velocidade do ar na região "distante" do veículo	m/seg
v <sub>b</sub>	Velocidade do ar na secção b da fig. 1	m/seg
v <sub>D</sub>	Velocidade do ar na característica C <sup>-</sup> , na região "distante" do veículo	m/seg
v <sub>E</sub>	Velocidade do ar na característica C <sup>+</sup> , na região "distante" do	

SÍMBOLOS	DESCRÍÇÃO	UNIDADES
No texto No programa		
	veículo	m/seg
$v_{g1}, v_{g2}$	Velocidades do ar na secção <u>g</u> da fig. 1, relativas aos trechos 1 e 2 do túnel	m/seg
$v_{h2}, v_{h3}$	Velocidades do ar na secção <u>h</u> da fig. 1, relativas aos trechos 2 e 3 do túnel	m/seg
$v_i$	Velocidade do ar na secção <u>i</u> da fig. 1	m/seg
$v_p$	Velocidade do ar para um ponto genérico da malha	m/seg
$v_{p1}$	Velocidade do ar para um ponto da malha situado no trecho 1	m/seg
$v_{p2}$	Velocidade do ar para um ponto da malha situado no trecho 2	m/seg
$v_{p3}$	Velocidade do ar para um ponto da malha situado no trecho 3	m/seg
$v_r$	Velocidade do ar na característica $C^+$	m/seg
$v_{rtr}$	Velocidade do ar na característica $C^+$ , na zona de transferência	m/seg
$v_s$	Velocidade do ar na característica $C^-$	m/seg
$v_{str}$	Velocidade do ar na característica $C^-$ , na zona de transferência	m/seg
$v_{tr}$	Velocidade do ar na zona de transferência	m/seg
$v_v$	Velocidade do veículo	m/seg
$v_4$	Velocidade do ar na saída de exaustão	m/seg
$v_5$	Velocidade do ar no poço de alívio	m/seg
$x$	Coordenada da distância ao longo do túnel	m

SÍMBOLOS	DESCRÍÇÃO	UNIDADES	
No texto      No programa			
$x_C^+$	Coordenada da característica $C^+$	m	
$x_C^-$	Coordenada da característica $C^-$	m	
$x_d, x_e$	Coordenadas das secções $d$ e $e$ na fig. 1	m	
$x_{IeR}$	XIER	Posição em que ocorre a intersecção da característica $C^+$ com a frente do trem	m
$x_{Ies}$	XIES	Posição em que ocorre a intersecção da característica $C^-$ com a frente do trem	m
$x_{IwR}$	XIWR	Posição em que ocorre a intersecção da característica $C^+$ com a traseira do trem	m
$x_{Iws}$	XIWS	Posição em que ocorre a intersecção da característica $C^-$ com a traseira do trem	m
$x_p$		Posição de um ponto genérico da malha	m
$x_R$	XR	Posição do ponto R (fig. 2)	m
$x_S$	XS	Posição do ponto S (fig. 2)	m
$x_{V_e}$	XVE(I)	Posição da frente do trem	m
$x_{V_w}$	XVELV	Posição da traseira do trem	m
$\Delta x$	DX	Incremento ao longo do túnel	m
y	Y	Coeficiente multiplicativo da fórmula de perda de carga por contração do fluxo na frente, ou traseira, do veículo	
z	Z	Expoente da fórmula de perda de carga por contração do fluxo na frente, ou traseira do veículo	

#### SÍMBOLOS GREGOS

$\alpha$		Coeficiente relacionado à perda de carga na entrada do túnel
$\beta$	BETA	Razão de bloqueio do túnel

SÍMBOLOS GREGOS	DESCRÍÇÃO	UNIDADES
No texto      no programa		
$\lambda$	Multiplicador relacionado ao <u>mé</u> todo das características	
$\lambda_1, \lambda_2, \lambda_3$	Multiplicadores de Lagrange	
$\nu$	Viscosidade cinemática do ar	$m^2/seg$
$\xi_{eR}$	Indicador do cruzamento da <u>ca</u> racterística $C^+$ com a frente do veículo	
$\xi_{es}$	Indicador do cruzamento da ca- racterística $C^-$ com a frente do veículo	
$\xi_{wR}$	Indicador do cruzamento da ca- racterística $C^+$ com a traseira do veículo	
$\xi_{ws}$	Indicador do cruzamento da ca- racterística $C^-$ com a traseira do veículo	
$\rho$	Densidade do ar	$kg/m^3$
$\tau_t$	Tensão de cisalhamento na pare- de do túnel, na região "distan- te" do veículo	$N/m^2$
$\tau_v$	Tensão de cisalhamento na pare- de do trem, na zona de transfe- rência	$N/m^2$
$\tau_w$	Tensão de cisalhamento na pare- de do túnel, na zona de transfe- rência	$N/m^2$

## S U M Á R I O

Este trabalho visa, primordialmente, fornecer uma ferramenta operacional para a análise do arrasto aerodinâmico e do sistema de ventilação em túneis de metrô, tipo couraça. Para isto, necessitou-se combinar o efeito de pistão com a ventilação forçada, utilizando a curva real de velocidades do trem, a curva característica dos ventiladores, e uma simulação dos efeitos da saída de exaustão e poço de alívio.

A velocidade e pressão do ar, nesta abordagem, são funções do tempo e da distância ao longo do túnel, obtidas para um intervalo de tempo, que pode compreender a passagem de vários trens consecutivos com o mesmo espaçamento entre si.

Como ferramenta básica, empregou-se o método das características, juntamente com correlações numéricas, para as perdas de carga na região próxima ao trem, contando-se para isto com relações e dados experimentais de trabalhos correlatos.

O estudo em questão pode constituir-se na base de um caminho para otimização de tópicos, tais como: dimensionamento, faixa de operação estável e controle dos ventiladores de exaustão, principalmente em situações de falha ou emergência; configuração geométrica e posicionamento da saída de exaustão e poço de alívio; abertura e fechamento do poço de alívio; performance aerodinâmico do trem; etc.

O programa numérico, para computador digital, é montado de forma a cobrir uma ampla faixa operacional, além de possibilitar um posterior acoplamento com sistemas de ventilação, em estações e túneis de dupla via.

Para efeito de ilustração, o programa é aplicado em um dos trechos em couraça da linha Norte-Sul, do Metrô de São Paulo.

## 1. INTRODUÇÃO

### 1.1 Generalidades

O primeiro problema, que surge na análise do sistema de ventilação de Metrôs, refere-se às temperaturas apropriadas, principalmente para as pessoas nas estações e trens, mas também, para os trabalhadores nos túneis e para o equipamento em geral. Com respeito aos passageiros, os fisiologistas tendem a afirmar que para o ser humano médio, uma temperatura ambiente de verão, variando de 24ºC a 27ºC, é aceitável; mas, que diferentes critérios, podem se aplicar a uma mesma situação.

Um fato significativo, para se determinar a temperatura nas estações, é o intervalo de tempo que o corpo humano leva para atingir o equilíbrio térmico, ou seja, uma condição permanente de conforto ou desconforto. Para o indivíduo médio, este tempo é cerca de seis minutos. Logo, a faixa anteriormente citada seria a mais desejável, mas o curto tempo de exposição nas plataformas, muda sensivelmente, a situação. Nas horas de pico, o indivíduo, provavelmente, não gastaria mais que três ou quatro minutos na estação; tempo insuficiente para que seu corpo atinja equilíbrio térmico antes de entrar no trem. Neste último, a temperatura deve ser adequada para o intervalo de tempo médio, correspondente ao percurso médio dos passageiros.

As temperaturas nos segmentos de túnel devem produzir um ambiente satisfatório para os trabalhadores, estando, também, dentro de limites aceitáveis, a fim de assegurar uma vida razoável para os equipamentos. Devido às condições operantes nas estações e túneis, os custos de capital e de manutenção do equipamento mecânico e elétrico têm sido bastante elevados. Os problemas são causados por temperaturas excessivas, alta concentração de partículas poluentes carregadas eletrostáticamente, e por umidade elevada. Até uma certa extensão, estes problemas podem ser aliviados, providenciando-se um meio ambiente melhor, que reduziria os extremos de temperatura, abaixaria o grau de umidade, e removeria a maior parte dos poluentes, prolongando a vida dos equipamentos e reduzindo a faixa de condições operacionais a que eles estão sujeitos.

A questão seguinte relaciona-se com a geração de calor.

Preponderadamente, o calor provém da operação dos trens. Pessoas, motores de escadas rolantes, lâmpadas, ventiladores, máquinas automáticas para vendas, adicionam o seu quinhão, mas, no fim, entre 85 a 90 por cento do calor total é gerado pelos trens. Além disso, cerca da metade deste calor é devido à frenagem, sendo o restante ocasionado pela aceleração, tração, e eventuais aparelhos de condicionamento de ar do veículo. Este fato, somente aumenta o problema dos novos Metrôs, nos quais os trens tendem a operar a velocidades mais elevadas. Eles irão requerer maiores potências de tração e maiores cargas de frenagem, aumentando a carga térmica.

Sem medidas de controle do meio, exceto o uso de aberturas para ventilação, uma parte do calor, gerado pelos trens, pode se dirigir a dois locais: em direção ao solo circundante - o sorvedouro de calor - ou para cima, através das aberturas, com o ar deslocado pelo efeito de pistão dos trens. O calor residual elevará a temperatura do ar ambiente.

A quantidade de calor, que pode ser absorvido pelo solo, depende fundamentalmente da diferença de temperaturas entre ele e o ar circunvizinho.

Basicamente, o movimento do trem é análogo ao deslocamento de um pistão ao longo de um cilindro, o túnel; na sua frente, o trem empurra o ar previamente aquecido pelos trens anteriores. Quando o trem se aproxima de uma abertura para ventilação, as pressões que ele gera forçam uma parte do ar quente a sair. Conforme o trem passa pela abertura, as pressões negativas na esteira do trem succionam o ar para dentro do túnel. Por conseguinte, o ar quente interno é trocado pelo ar frio externo. Na determinação da quantidade de ar exaurida e na parcela de calor, que é efetivamente carregada, inúmeras variáveis básicas interferem, tais como: velocidade e dimensões do trem, seção transversal do túnel, comprimento dos túneis entre as estações, dimensões das saídas de ventilação, resistência por atrito nas paredes do trem e do túnel, e vários outros.

Baseando-se em estudos de simulação e medidas experimentais, vários pesquisadores constataram que, na maior parte dos sistemas de trânsito rápido, a combinação, do resfriamento pelo sorvedouro de calor com o efeito de pistão, não é suficiente para manter o ambiente a níveis desejáveis. Introduz-se, portanto, a necessidade do uso da ventilação forçada.

Para uma discussão mais detalhada sobre critérios, análise e controle do meio em túneis de Metrô, vide referências [22] e [23].

## 1.2 O Problema da Tese

Os modelos de simulação para o sistema de ventilação de Metrôs diferem substancialmente entre si, conforme o objetivo específico almejado. Isto será ilustrado durante a discussão concernente à resenha literária.

A preocupação básica, na criação do modelo elaborado neste trabalho, que refere-se tão somente aos trechos de túnel em couroça, é obter uma ferramenta operacional que possa ser aplicada diretamente, às diversas condições encontradas na prática, sem perder precisão e, conseguindo o maior número possível de informações para efeitos de análise e controle do sistema.

Para se conseguir tal flexibilidade são adotados como parâmetros básicos: as propriedades do fluido; as características geométricas e cinemáticas do trem; as características geométricas do túnel, da saída da exaustão e do poço de alívio; as perdas de carga na saída de exaustão e poço de alívio; dados experimentais sobre as perdas de carga na região próxima ao trem; os diversos coeficientes de atrito junto às paredes; a curva característica dos ventiladores; as vazões de regime devido à ventilação forçada, e o intervalo de tempo entre a passagem de dois trens consecutivos.

Divide-se o campo do escoamento em duas regiões: uma "próxima" ao trem e a outra "distante", cada uma com hipóteses peculiares. Aplicando as equações do movimento e da continuidade na região "distante do trem" e na região compreendida entre o trem e o túnel, obtém-se as equações características, que são integradas numericamente. Nas partes anterior e posterior do trem, onde ocorrem perdas localizadas e variações na área do escoamento, são utilizadas relações experimentais; como estas partes constituem as fontes de propagação das ondas de pressão ao longo do túnel, o seu tratamento é um fator primordial na precisão do método.

Da distribuição resultante de pressões e velocidades, como funções do tempo e da distância, obtém-se os dados relevantes sobre o escoamento e o arrasto aerodinâmico.

### 1.3 Resenha Literária

A resenha está dividida em duas seções. A primeira é concorrente ao movimento de trens a baixas velocidades, enquanto a segunda lida com movimentos a altas velocidades.

#### 1.3.a Estudos assumindo fluido incompressível - Baixas velocidades

Até a década de trinta, os sistemas de trânsito rápido eram projetados sem levar em conta a ventilação, resultando, ocasionalmente, temperaturas elevadas e necessitando-se mudanças construtivas, bastante custosas para aliviar o desconforto dos passageiros. Ao mesmo tempo, em algumas estações, os passageiros sentiam-se desconfortáveis devido às altas velocidades do ar sobre as plataformas.

O Metrô de Chicago parece ter sido o primeiro a ser analisado racionalmente, antes da construção, quanto à ação do efeito de pistão e à carga térmica a ser dissipada. Esta análise foi realizada por Brock [4], que desenvolveu equações para o efeito de pistão baseados na hipótese de regime permanente e considerando a capacidade de armazenagem do solo na dissipação da carga térmica. O maior mérito, deste estudo pioneiro, foi o reconhecimento de inúmeras variáveis básicas que regem o fenômeno.

Brown [7] elaborou um método para o caso simples de um túnel em couraça sem aberturas, onde o efeito de pistão foi equacionado, considerando-se dois sistemas de referência: um fixado ao túnel e o outro movendo-se com o trem. A equação diferencial ordinária resultante possui solução fechada, fornecendo a velocidade (uniforme) do ar no túnel em função do tempo. O modelo foi extrapolado para túneis de leito duplo (trincheira), simplesmente aumentando o perímetro molhado para levar em conta o efeito da parede central perfurada. A inclusão de aberturas no túnel envolveria a resolução de um sistema de equações diferenciais não lineares, com coeficientes variáveis. O tratamento da parte térmica utiliza um balanço de energia onde assume-se geração e dissipação de calor uniforme ao longo do túnel. Obtém-se como resultado a temperatura (uniforme) do ar no túnel em função do tempo. As informações quantitativas, oriundas da aplicação do método, apesar de serem úteis como estimativas para projeto, possuem um valor restrito para efeitos de análise e controle.

Em seus primeiros trabalhos, Gouse e equipe [5] realizaram experiências de queda livre com modelos esféricos e cilíndricos, através de tubos com parede sólida e perfurada e alturas de 4 e 8 pés. Alguns testes foram realizados com as extremidades do tubo abertas e outros com uma extremidade fechada, para simular uma razão comprimento-diâmetro infinito. Diferentes meios fluidos foram utilizados para permitir variações no número de Reynolds do veículo. Os resultados mostraram que, para razões comprimento-diâmetro do veículo acima de 15 e razões diâmetro do veículo-diâmetro do túnel menores que 0,67, o coeficiente de arrasto, baseado na área lateral do veículo, é independente da razão comprimento-diâmetro do veículo para escoamento incompressível. A porosidade, nas paredes do tubo, diminuiu, consideravelmente, as forças de arrasto aerodinâmico.

Posteriormente, Gouse e Wali apresentaram um trabalho [6] com os resultados de uma investigação sobre as forças de arrasto exercidas em veículos, tendo a forma de um cilindro com nariz aerodinâmico e base cônica, movendo-se, coaxialmente, com velocidade uniforme em tubos de parede sólida e comprimento finito, em função do quociente entre a velocidade relativa do fluido na frente do veículo e, a velocidade absoluta do veículo. Uma análise teórica foi desenvolvida, dividindo-se o escoamento do fluido em duas regiões; escoamento "próximo" e "distante". Estas regiões foram unidas pela condição que as pressões são contínuas nas fronteiras. Elaboraram-se também investigações experimentais, utilizando um tubo de teste de acrílico, vertical, com 25 pés de altura e 1,732 polegadas de diâmetro interno. O tubo foi suprido com escoamento de água a diferentes gradientes de pressão, positivos e negativos. Testes de queda livre com o veículo foram então conduzidos, empregando diferentes tamanhos do modelo e várias velocidades terminais, obtidas através da variação de seus pesos. Com o auxílio da análise teórica, estabeleceu-se um coeficiente semi-empírico para as perdas na frente do veículo. Para validar a análise teórica, uma comparação foi feita entre o coeficiente de arrasto calculado, utilizando as perdas semi-empíricas, e o obtido através de um conjunto de experiências. A comparação, em geral, foi bastante favorável. Uma limitação do trabalho é que os coeficientes experimentais foram obtidos e testados somente para número de Reynolds do veículo em torno de  $10^5$ .

Um outro programa experimental foi desenvolvido por Dayman e Kurtz [8], mais recentemente, para estudar as características

aerodinâmicas de um trem urbano, movendo-se através de um túnel. Esta abordagem procurou ampliar o número de variáveis e a faixa de número de Reynolds do veículo a serem analisados, em relação a trabalhos anteriores. Apesar, disto, os resultados ainda possuem um valor operacional restrito para cobrirem toda a gama de situações reais. A maioria dos testes foi condizido em um tubo vertical presurizado com 33,5m de comprimento e 5,3 cm de diâmetro. Este tubo aproxima um túnel, sem aberturas, com 3 km de comprimento. Os coeficientes de arrasto do veículo foram determinados a partir do peso e velocidade do modelo, como também a partir da diferença de pressão através do modelo, constante medida na parede do tubo. Com o auxílio da distribuição de pressões ao longo do tubo, as seguintes informações adicionais foram obtidas: velocidade do escoamento no tubo; coeficiente de atrito no tubo, antes e após o veículo; coeficiente de atrito no veículo e coeficientes de perda de quantidade de movimento nas partes anterior e posterior do veículo. Estas informações foram obtidas a partir de uma variedade de configurações do veículo: rugosidade da parede, formatos do nariz e da base, razão diâmetro do veículo - diâmetro do túnel, comprimento, porosidade e posição lateral dentro do tubo.

O Instituto de Transporte Rápido do Departamento de Transporte dos E.U.A. contratou uma associação de consultoria formada por Parson, Brinckerhoff, Quade & Douglas, Inc., De Lenw, Cather & Company e Kaiser Engineers para elaborarem, como produto final de um programa de pesquisas, um manual sobre critérios, análise e controle do meio em Metrôs. A discussão e as conclusões sobre critérios encontra-se na ref. [27]. A análise do sistema envolveu a montagem de modelos de simulação para a performance do trem e para o meio, sob o ponto de vista aerodinâmico e termodinâmico, sob diversas condições de controle. Os resultados de diversas fases deste estudo são apresentados nas refs. [9], [10] [11], [13] e [22].

Algumas pesquisas básicas associadas a este projeto foram conduzidas no Instituto de Tecnologia da Califórnia. Uma delas, versando sobre a geração e propagação de ondas nos túneis de Metrôs é apresentada na ref. [16].

A Divisão de Tecnologia Aeroespacial da Developmental Sciences Inc. elaborou um modelo completo em escala reduzida de um sistema metroviário com túneis de leito simples e duplo, abertas para ventilação e estações, desenvolvendo dados que incluem a distribuição do fluxo de ar na junção das aberturas com o túnel,

para diversas configurações, e padrões de circulação do ar nas estações. As referências [14] e [15] abordam estes estudos.

No que tange à simulação aerodinâmica, o modelo mencionado acima propicia uma avaliação, aparentemente razoável, para o sistema como um todo mas, é bastante deficiente na análise das particularidades do escoamento em cada componente do conjunto.

### I.3.b Estudos assumindo fluido compressível - Altas velocidades

Os sistemas de transporte, que requerem veículos movendo-se dentro de túneis, podem ser classificados de diferentes maneiras conforme o arranjo propulsão - suspensão utilizado. Os Metrôs modernos caracterizam-se por percursos a baixas velocidades através dos túneis, enquanto veículos auto propelentes e magnéticamente levitados, operando em meios de pressão reduzida à velocidades além de 225m/seg, podem representar um sistema de transportes para o futuro, interligando cidades e regiões.

Strom [17] desenvolvem um método analítico para a determinação do arrasto aerodinâmico e demanda de potência para um veículo, operando em um túnel a altas velocidades. O procedimento consistiu na subdivisão do escoamento em duas regiões separadas: o campo "distante", não permanente e o campo "próximo" quase permanente. Cada campo foi calculado separadamente, relacionando-se as condições de escoamento nas fronteiras comuns através de um processo iterativo. Na região distante aplicou-se as equações da continuidade, quantidade de movimento, energia e do estado na forma divergente para se capturar a onda de choque produzida no túnel, à frente do veículo. A aplicação das mesmas equações na região "próxima" produz um sistema de equações diferenciais ordinárias não lineares, que não pode ser integrada através dos algoritmos usuais, sob condições de choque, devido a existência de singularidade. As soluções de cada campo foram obtidas através de várias hipóteses simplificadoras, coeficientes experimentais para as perdas de quantidade de movimento, e algoritmos especiais de integração. No acoplamento foi usado o método das características. Foram expostos resultados para operações a altas velocidades em túneis longos sob diversas geometrias veículo-tunel e, também, resultados a baixas velocidades, que compararam favoravelmente com experimentos e outros dados teóricos. Baseado nos resultados, apresentou-se uma

descrição física do fenômeno ondulatório que ocorre no túnel.

O efeito de diferentes sistemas de propulsão na aerodinâmica de um veículo entrando ou passando por um túnel é descrito por Hammit na ref. [18]. Neste trabalho levam-se em conta os efeitos do comprimento do veículo, configuração da entrada do túnel e aberturas de ventilação no arrasto do veículo e no campo de escoamento do túnel. Além disso, determina-se as condições sob as quais as ondas geradas pelo veículo podem escapar do túnel e causar um estampido.

A possibilidade de projetar um túnel ferroviário, que minimiza os transientes na pressão do ar, gerados durante a entrada de um trem a alta velocidade, foi investigada por Fox e Vardy [20], que deram uma ênfase particular na redução da magnitude e taxa de crescimento da onda de pressão, resultante da primeira aceleração do ar, a partir do repouso. Utilizou-se as equações do movimento para fluxo compressível, unidimensional e não permanente, na forma característica. Encontrou-se que, tanto a magnitude como a taxa de crescimento da onda primária podem ser reduzidas através de portais convergentes no túnel; a quantidade de redução depende do comprimento e formato do portal e, da velocidade do trem. Investigou-se, também, o grau de proteção que poderia ser dado a um trem já dentro de um túnel de leito duplo, quando um segundo trem estivesse entrando.

Segundo um estudo elaborado por Foa [19], a potência requerida para a propulsão de um veículo movendo-se em túneis depende, não somente da densidade do ar, as formas e velocidade do veículo, a razão diâmetro do veículo-diâmetro do túnel, o arrasto e o comprimento do tubo, mas, também, da maneira como o empuxo é gerado, da eficiência de conversão de energia do mecanismo propulsor e da amplitude das perturbações, que são induzidas no campo "distante" pelo próprio veículo e pelo seu empuxo. Mudanças no modo de geração do empuxo e as modificações decorrentes no campo "próximo" foram analisadas para situações específicas de especial interesse. A análise revelou que tais modificações podem ser utilizadas para produzir reduções substanciais na demanda de potência para propulsão.

Gaillard elaborou um estudo [21] sobre o arrasto aerodinâmico em trens e, as variações de pressão nas janelas dos vagões, quando dois trens se cruzam em túneis longos.

Foram relatadas as fórmulas para o arrasto, tanto permanente como transiente, típicas para um trem expresso Suíço, assim como, coeficientes para as amplitudes de pressão durante a passagem de dois trens. Todos estes coeficientes foram medidos através de testes, com modelos e "in loco", sendo boa, a concordância entre os dois conjuntos de resultados.

## 2. FORMULAÇÃO TEÓRICA

### 2.1 Escolha do modelo físico

Uma vez definidos os objetivos a serem alcançados, a questão reside em elaborar um modelo físico para o problema, que esteja o mais próximo possível da realidade, atendendo a estas condições de contorno.

A ventilação de túneis em couraça pode ser natural, apenas impulsionada pelo movimento de arrasto provocado pelos trens, havendo aberturas para que haja troca com o ar exterior. Este sistema, apesar de ter sido utilizado em alguns casos, principalmente nas primeiras fases da operação (vide estudo sobre o Metrô da cidade do México - ref. [24], é muito dependente de condições climáticas e de tráfego favoráveis, além de impossibilitar um controle efetivo do processo.

Para a ventilação forçada de túneis podemos distinguir:

- Ventilação transversal, muito mais indicada para transportes onde haja produção de gases de combustão;
- Ventilação longitudinal, onde a massa de ar entra numa determinada seção do túnel e vai varrendo o túnel até a saída (mas sempre com aumento da concentração de contaminantes);

Este último tipo é o mais adequado para Metrôs, onde os contaminantes se encontram em concentrações pequenas e não trazem o menor perigo para os ocupantes do túnel. A ventilação longitudinal também envolve menores custos de construção civil.

Dentre as várias possibilidades para a ventilação longitudinal no túnel escolhemos, como base para o modelo, um sistema com ventiladores de insuflamento nas estações e ventiladores de exaustão no centro do túnel. A não colocação de ventiladores de insuflamento exigiria velocidades do ar muito elevadas nos túneis, para se manter o nível térmico desejado. O posicionamento dos ventiladores de exaustão possui a desvantagem de produzir o fluxo do calor de frenagem, liberado próximo das estações, para o interior do túnel. Apresenta, no entanto, a vantagem fundamental, em caso de incêndio no túnel, de evitar que a fumaça atinja as estações e, permita que, a partir desta, seja dado o combate ao fogo.

No fim dos túneis, ou na cabeceira das estações, adotaremos poços de alívio nos quais haverá uma válvula que abrir-se-á quando a frente do trem atingir o duto de exaustão e, fechar-se-á, assim que a traseira do trem entre na estação. Terá openas duas posições: completamente aberta, ou fechada. A função básica destes poços é eliminar grande parte da onda de pressão gerada pelo efeito de pistão.

Este esquema geral propicia excelentes condições operacionais e de controle, além de um custo relativamente reduzido. A sua aplicação nos Metrôs de Caracas e São Paulo é relatada nas refs. [25], [28] e [29].

Na fig. 1 apresentamos um esboço deste modelo físico. O duto de exaustão e o poço de alívio foram concentrados, de maneira a serem analisados somente os valores globais do escoamento através deles. Isto permitiu uma economia substancial no tempo de computador, envolvido na resolução do modelo, sem alterar, apreciavelmente, a precisão e os objetivos do método.

## 2.2 Elaboração do modelo matemático

Baseando-se no modelo físico escolhido, elaborar-se-á uma formulação matemática, plausível de solução, que represente, com fidelidade, os fenômenos que ocorrem no sistema.

Conforme mencionado anteriormente, os efeitos de compressibilidade do ar são perfeitamente desprezíveis nos estudos sobre ventilação e arrasto aerodinâmico em Sistemas de Trânsito Rápido Urbanos. Para uma discussão a este respeito vide refs. [6] e [18].

### 2.2.a Campo de velocidades e pressões

#### (i) Equações Básicas

Assumiremos a condição de fluxo incompressível e unidimensional. Isto significa que as velocidades utilizadas, correspondem a valores médios em suas respectivas seções transversais ao escoamento.

O campo do escoamento será dividido em duas regiões conforme indicado na fig. 1. A razão para isto baseia-se na

argumento de que, o campo na região "próxima" ao veículo pode ser tratado como permanente quando relacionado às coordenadas do veículo. A justificativa para esta hipótese reside no fato de que o tempo requerido, para que o escoamento na região "próxima" se ajuste ao regime permanente, na presença de perturbações, ou mudanças na força propulsiva, é muito menor que, o tempo de ajuste do campo "distante" do veículo. A região "próxima" será subdividida nas zonas de entrada, transferência e esteira, por ter cada uma delas características peculiares quanto ao escoamento.

- Região "distante" do veículo

A metodologia a ser utilizada na formulação das equações segue um padrão usual da análise de transientes hidráulicos (vide ref. [3]).

Para um volume de controle englobando duas seções transversais do túnel, próximas entre si, o balanço de massa fica:

$$\rho \frac{\pi D t^2}{4} V - \left[ \rho \frac{\pi D t^2}{4} V + \frac{\pi D t^2}{4} \frac{\partial}{\partial x} (\rho V) \delta x \right] = \frac{\pi D t^2}{4} \frac{\partial \rho}{\partial t} \delta x \quad (2.1)$$

Dividindo pela massa  $\rho \frac{\pi D t^2}{4} \delta x$ , e rearranjando:

$$\frac{V}{\rho} \frac{\partial \rho}{\partial x} + \frac{1}{\rho} \frac{\partial \rho}{\partial t} + \frac{\partial V}{\partial x} = 0 \quad (2.2)$$

O módulo de elasticidade do fluido pode ser expresso como:

$$K = \frac{\frac{dp}{dt}}{\frac{dp}{dt} \cdot \frac{1}{\rho}} \quad (2.3)$$

Definindo a velocidade do som no meio fluido como  $a = \sqrt{\frac{K}{\rho}}$ , temos

$$\frac{1}{\rho} \frac{dp}{dt} = \frac{1}{\rho} \left( V \frac{\partial \rho}{\partial x} + \frac{\partial \rho}{\partial t} \right) = \frac{\frac{dp}{dt}}{K} = \frac{\frac{dp}{dt}}{a^2 \rho} = \frac{V \frac{\partial \rho}{\partial x} + \frac{\partial \rho}{\partial t}}{a^2 \rho} \quad (2.4)$$

Portanto, a equação da continuidade fica:

$$\frac{1}{a^2 \rho} \left[ V \frac{\partial p}{\partial x} + \frac{\partial p}{\partial t} \right] + \frac{\partial V}{\partial x} = 0 \quad \text{ou} \quad \rho a^2 \frac{\partial V}{\partial x} + V \frac{\partial p}{\partial x} + \frac{\partial p}{\partial t} = 0 \quad (2.5)$$

Um equilíbrio de forças no mesmo volume de controle resulta em:

$$p \frac{\pi D t^2}{4} - \left( p + \frac{\partial p}{\partial x} \delta x \right) \frac{\pi D t^2}{4} + \tau_t \pi D t \delta x = \rho \frac{\pi D t^2}{4} \delta x \frac{dV}{dt} \quad (2.6)$$

Dividindo pela massa e rearranjando:

$$\frac{1}{\rho} \frac{\partial p}{\partial x} - \frac{4 \tau_t}{\rho D t} + V \frac{\partial V}{\partial x} + \frac{\partial V}{\partial t} = 0 \quad (2.7)$$

Assumindo, para a tensão de cizalhamento na parede do túnel, a expressão de regime permanente à mesma velocidade temos:

$$\tau_t = - \frac{\rho f_t v |v|}{8} \quad (2.8)$$

e, a equação do movimento fica:

$$\frac{1}{\rho} \frac{\partial p}{\partial x} + \frac{f_t v |v|}{2 D t} + V \frac{\partial V}{\partial x} + \frac{\partial V}{\partial t} = 0 \quad (2.9)$$

As equações da continuidade e do movimento formam um par de equações diferenciais parciais quase lineares do tipo hiperbólico, em termos de duas variáveis dependentes, velocidade e pressão, e duas variáveis independentes, distância ao longo do túnel e tempo. As equações serão convertidas em quatro equações diferenciais ordinárias através do método das características (vide refs. [1] e [2]).

Designando a equação do movimento por  $L_1$  e da continuidade por  $L_2$  podemos combiná-las linearmente utilizando um multiplicador  $\lambda$ , a determinar:

$$L = L_1 + \lambda L_2 = \lambda \left[ \frac{\partial p}{\partial x} \left( V + \frac{1}{\rho \lambda} \right) + \frac{\partial p}{\partial t} \right] + \left[ \frac{\partial V}{\partial x} \left( V + \rho a^2 \lambda \right) + \frac{\partial V}{\partial t} \right] + f_t \frac{V|V|}{2Dt} = 0 \quad (2.10)$$

Se  $V = V(x, t)$  e  $p = p(x, t)$  são soluções de  $L_1$  e  $L_2$ , então:

$$\frac{dp}{dx} = \frac{\partial p}{\partial x} \frac{dx}{dt} + \frac{\partial p}{\partial t} \quad \text{e}$$

$$\frac{dV}{dt} = \frac{\partial V}{\partial x} \frac{dx}{dt} + \frac{\partial V}{\partial t}, \text{ ao longo das linhas características}$$

(2.11)

comparando as expressões acima com  $L$  observa-se que, se

$$\frac{dx}{dt} = V + \frac{1}{\rho \lambda} = V + \rho a^2 \lambda,$$

$L$  transforma-se na equação diferencial ordinária

$$\lambda \frac{dp}{dt} + \frac{dV}{dt} + f_t \frac{V|V|}{2Dt} = 0 \quad (2.12)$$

Como  $\frac{1}{\rho \lambda} = \rho a^2 \lambda$ , tem-se  $\lambda = \pm \frac{1}{\rho a}$ , que são os valores característicos

ticos.

Substituindo estes valores de  $\lambda$  nas expressões de  $\frac{dx}{dt}$  obtém-se

$\frac{dx}{dt} = V \pm a$ , que constituem as linhas características, ao longo das

quais são válidas as equações diferenciais ordinárias, a que o problema se reduziu.

Temos, então, dois pares de equações a serem resolvidos simultaneamente, cada par correspondendo a uma linha característica.

$$\left\{ \begin{array}{l} C^+ \quad \frac{1}{\rho a} \frac{dp}{dt} + \frac{dV}{dt} + f_t \frac{v |v|}{2Dt} = 0 \\ \frac{dx}{dt} = V + a \end{array} \right.$$

e

$$\left\{ \begin{array}{l} C^- \quad -\frac{1}{\rho a} \frac{dp}{dt} + \frac{dV}{dt} + f_t \frac{v |v|}{2Dt} = 0 \\ \frac{dx}{dt} = V - a \end{array} \right. \quad (2.13)$$

### - Zona de Transferência

É a região anular compreendida entre as paredes do trem e do túnel.

Assumindo escoamento plenamente desenvolvido, através de um volume de controle englobando duas seções transversais nessa região, próximas entre si, e, aplicando um equilíbrio de forças, obtém-se:

$$\frac{\pi}{4} (Dt^2 - Dv^2) - \left( p + \frac{\partial p}{\partial x} \right) \frac{\pi}{4} - \left( Dt^2 - Dv^2 \right) + \tau_v \pi Dv \delta x + \tau_w \pi Dt \delta x = \frac{\pi}{4} (Dt^2 - Dv^2) \delta x \frac{dV_{tr}}{dt}$$

(2-14)

Dividindo pela massa  $\frac{\pi}{4} (Dt^2 - Dv^2) \delta x$ , e rearranjando:

$$\frac{1}{\rho} \frac{\partial p}{\partial x} - \frac{4Dv\tau_v}{(Dt^2 - Dv^2)\rho \frac{Dt^2}{Dt}} - \frac{4Dt\tau_w}{(Dt^2 - Dv^2)\rho \frac{Dt}{Dt}} + V_{tr} \frac{\partial V_{tr}}{\partial x} + \frac{\partial V_{tr}}{\partial t} = 0 \quad (2.15)$$

Adotando

Tensão de cizalhamento na parede do trem:

$$\tau_v = - \rho \frac{f_v (V_{tr} - V_v) |V_{tr} - V_v|}{8} \quad (2.16)$$

Tensão de cizalhamento na parede do túnel:

$$\tau_w = -\rho \frac{f_w V_{tr} |V_{tr}|}{8} \quad (2.17)$$

$$\text{Razão de Bloqueio: } \beta = \frac{Dv}{Dt} \quad (2.18)$$

a equação do movimento fica:

$$-\frac{1}{\rho} \frac{\partial p}{\partial x} + \frac{\beta f_v (V_{tr} - V_v) |V_{tr} - V_v|}{2Dt(1-\beta^2)} + \frac{f_w V_{tr} |V_{tr}|}{2Dt(1-\beta^2)} + \frac{V_{tr} \partial V_{tr}}{\partial x} + \frac{\partial V_{tr}}{\partial t} = 0 \quad (2.19)$$

Aplicando o método das características para as equações do movimento e da continuidade, que é a mesma deduzida anteriormente, obtém-se o seguinte conjunto de equações características:

$$\left\{ \begin{array}{l} C^+ \left\{ \begin{array}{l} \frac{1}{\rho a} \frac{dp}{dt} + \frac{dV_{tr}}{dt} + \frac{\beta f_v (V_{tr} - V_v) |V_{tr} - V_v|}{2Dt(1-\beta^2)} + \frac{f_w V_{tr} |V_{tr}|}{2Dt(1-\beta^2)} = 0 \\ \frac{dx}{dt} = V_{tr} + a \end{array} \right. \\ C^- \left\{ \begin{array}{l} -\frac{1}{\rho a} \frac{dp}{dt} + \frac{dV_{tr}}{dt} + \frac{\beta f_v (V_{tr} - V_v) |V_{tr} - V_v|}{2Dt(1-\beta^2)} + \frac{f_w V_{tr} |V_{tr}|}{2Dt(1-\beta^2)} = 0 \\ \frac{dx}{dt} = V_{tr} - a \end{array} \right. \end{array} \right. \quad (2.20)$$

#### - Zona de Entrada

Nesta zona, é evidente que, a componente de velocidade axial é uma função rapidamente crescente de  $x$ . Desde que as forças de inércia, nas equações do movimento, são proporcionais ao quadrado da velocidade enquanto as forças viscosas são apenas proporcionais à primeira potência, a ação destas últimas pode ser desprezada.

As perdas de carga são oriundas da combinação de mudanças na seção transversal do escoamento, separação da camada limite, junto às paredes, e as elevadas acelerações decorrentes. Os efeitos resultantes da mudança na seção transversal do fluxo são altamente localizadas, enquanto as perturbações devido ao descolamento da camada limite podem se estender por distâncias consideráveis. A predição destas perdas só é possível através de investigações experimentais, guiadas por um bom entendimento físico do fenômeno.

Conforme mencionado anteriormente, o escoamento nesta região será considerado como quase permanente para cada instante de tempo considerado, em relação a um referencial unido ao veículo.

Designando por  $V$  e  $V_{tr}$  as velocidades médias nas seções f e e da fig. 1 e, aplicando a equação da continuidade entre estas seções, obtém-se:

$$(V-V_v) \pi \frac{D_t^2}{4} = (V_{tr}-V_v) \pi \frac{(D_t^2 - D_v^2)}{4}, \text{ ou seja}$$

$$(V-V_v) = (1 - \beta^2) (V_{tr} - V_v)$$

Com vistas à aplicação da equação de Bernoulli, serão considerados os seguintes casos:

(a)  $(V-V_v) < 0$  e  $(V_{tr}-V_v) < 0$  - o ar escoa contrário ao sentido do trem, em relação ao ref. móvel, sofrendo uma contração na frente deste; é a situação que ocorre devido somente ao efeito de pistão.

$$\text{Logo: } p_f + \frac{1}{2}\rho(V-V_v)^2 = p_e + \frac{1}{2}\rho(V_{tr}-V_v)^2 + \underbrace{\rho H_{Lec}}_{\text{perdas na contração}} \quad (2.21)$$

$$\therefore p_f - p_e = (\Delta p)_e = \frac{1}{2}\rho \left[ (V_{tr}-V_v)^2 - (V-V_v)^2 \right] + \rho H_{Lec} \quad (2.22)$$

Definindo  $H_{Lec} = \frac{1}{2} K_{eC} [(V - V_v) - (V_{tr} - V_v)]^2$  e subs-  
tituindo, juntamente com a equação da continuidade, na expressão  
de  $(\Delta p)_e$ , obtém-se:

$$(\Delta p)_e = \rho/2 \left[ (1 - (1 - \beta^2)^2) + K_{eC} \beta^4 \right] (V_{tr} - V_v)^2 \quad (2.23)$$

(b)  $(V - V_v) > 0$  e  $(V_{tr} - V_v) > 0$  - o ar escoa no mesmo sentido do trem, em relação ao ref. móvel, sofrendo uma expansão na frente deste; é uma situação que pode ocorrer devido à ventilação forçada.

Logo:  $p_f + \frac{1}{2} \rho (V - V_v)^2 + \underbrace{\rho H_{Lee}}_{\text{perdas na expansão}} = p_e + \frac{1}{2} \rho (V_{tr} - V_v)^2$  (2.24)

Definindo  $H_{Lee} = \frac{1}{2} K_{ee} [(V - V_v) - (V_{tr} - V_v)]^2$ , utilizando a equação da continuidade e rearranjando a expressão acima, obtém-se:

$$(\Delta p)_e = \rho/2 \left[ (1 - (1 - \beta^2)^2) - K_{ee} \beta^4 \right] (V_{tr} - V_v)^2 \quad (2.25)$$

Generalizando:

$$(\Delta p)_e = \rho/2 \left[ (1 - (1 - \beta^2)^2) + K_e \beta^4 \right] (V_{tr} - V_v)^2 \quad (2.26)$$

Pode-se escrever, alternativamente:

$$(\Delta p)_e = C_e \rho/2 \underbrace{\left[ 1 - (1 - \beta^2)^2 \right]}_{(p_f - p_e) \text{ sem perdas}} (V_{tr} - V_v)^2 \quad (2.27)$$

onde  $C_e = 1 + K_e \frac{\beta^2}{(2 - \beta^2)}$  (2.28)

$$\left\{ \begin{array}{l} \text{Se } (V-V_v) < 0 \text{ e } (V_{tr}-V_v) < 0: K_e = K_{e_c} \text{ e } C_e = C_{e_c} \quad (\text{contração do fluxo}) \\ \text{Se } (V-V_v) > 0 \text{ e } (V_{tr}-V_v) > 0: K_e = K_{e_e} \text{ e } C_e = C_{e_e} \quad (\text{expansão do fluxo}) \end{array} \right.$$

### Zona de Esteira

Atrás do veículo existe uma zona de esteira onde o fluxo desacelera rapidamente. O jato fluido emerge do ângulo e a esteira decorrente espalha-se, conforme a distância a partir do veículo aumenta e, a diferença entre as velocidades na esteira e na região "Distante", atrás do veículo, torna-se menor. Novamente, a contribuição das forças de cizalhamento é desprezível.

Aplicando a equação da continuidade obtém-se:

$$(V-V_v) = [(1-\beta^2)] (V_{tr}-V_v)$$

onde  $V$  e  $V_{tr}$  são as velocidades nas seções c e d da fig. 1, respectivamente.

Através de um procedimento análogo ao utilizado na zona de entrada, são inferidos os seguintes resultados, com respeito à equação de Bernoulli:

Caso (a)  $(V-V_v) < 0$  e  $(V_{tr}-V_v) < 0$  - o ar sofre uma expansão atrás do trem

$$(\Delta p)_w = p_d - p_c = \rho/2 \left[ ((1-\beta^2)^2 - 1) + K_{we} \beta^4 \right] (V_{tr}-V_v)^2 \quad (2.29)$$

Caso (b)  $(V-V_v) > 0$  e  $(V_{tr}-V_v) > 0$  - o ar sofre uma contração atrás do trem

$$(\Delta p)_w = p_d - p_c = \rho/2 \left[ ((1-\beta^2)^2 - 1) - K_{we} \beta^4 \right] (V_{tr}-V_v)^2 \quad (2.30)$$

Generalizando:

$$(\Delta p)_w = \rho/2 \left[ ((1-\beta^2)^2 - 1) + K_w \beta^4 \right] (V_{tr}-V_v)^2 \quad (2.31)$$

Alternativamente, tem-se:

$$(\Delta p)_w = C_w \rho / 2 \underbrace{\left[ (1-\beta^2)^2 - 1 \right]}_{(pd-pc) \text{ sem perdas}} (V_{tr} - V_v)^2 \quad (2.32)$$

$$\text{onde } C_w = 1 - K_w \frac{\beta^2}{(2-\beta^2)} \quad (2.33)$$

$$\begin{cases} \text{Se } (V - V_v) < 0 \text{ e } (V_{tr} - V_v) < 0: K_w = K_{we} \text{ e } C_w = C_{we} \text{ (expansão do fluxo)} \\ \text{Se } (V - V_v) > 0 \text{ e } (V_{tr} - V_v) > 0: K_w = -K_{wc} \text{ e } C_w = C_{wc} \text{ (contração do fluxo)} \end{cases}$$

### (iii) Condições de Contorno

Para efeitos da análise matemática, o túnel (fig.1) será dividido em cinco trechos:

- Trecho 1: compreendido entre a entrada do túnel (seção a) e a abertura de exaustão (seção g).
- Trecho 2: compreendido entre a saída de exaustão e a abertura de alívio (seção h).
- Trecho 3: compreendido entre o poço de alívio e a saída do túnel (seção i).
- Trecho 4: saída de exaustão.
- Trecho 5: poço de alívio.

#### Entrada do Túnel:

Como a simulação do padrão de escoamento nas estações é razoavelmente complexa, envolvendo um número grande de dados e verificações, será assumido, para a finalidade deste estudo, pressão atmosférica e velocidade zero.

Aplicando a equação de Bernoulli entre as seções a e b:

$$\left. \begin{array}{l} 0 = p_b + \rho \frac{V_b^2}{2} + (\Delta p)_{ent} \\ \text{valor manométrico} \\ (\Delta p)_{ent} = \rho K_{ent} \frac{V_b^2}{2} \end{array} \right\} p_b = -\rho \frac{V_b^2}{2} - \rho K_{ent} \frac{V_b^2}{2} = (-K_{ent} - 1) \rho \frac{V_b^2}{2} = \alpha \rho \frac{V_b^2}{2} \quad (2.34)$$

Para tubo simples com ambas as extremidades abertas  $\alpha \approx 1,7$  (ref. [8]).

Logo:  $p_1 = - 0,85 \rho V_b^2$  (2.35)

Saída de Exaustão:

Aplicando a equação da continuidade nesta seção obtém-se

$$\left( V_{g1} \frac{\pi D_t^2}{4} - V_{g2} \frac{\pi D_t^2}{4} \right) e = V_4 A_4, \text{ ou seja } V_4 = e (V_{g1} - V_{g2}) \frac{\pi D_t^2}{4 A_4} \quad (2.36)$$

onde  $e$  leva em conta o efeito do escoamento em outros túneis servidos pela mesma saída de exaustão. Obviamente quando a abertura estiver conectada a um só túnel  $e=1$ .

A pressão é comum aos três trechos:

$$p_{g1} = p_{g2} = p_4 \quad (2.37)$$

O efeito dos ventiladores e das perdas de carga nos dutos de exaustão será abordado posteriormente.

Poço de Alívio

Analogamente tem-se, da equação da continuidade:

$$V_5 = (V_{h2} - V_{h3}) \frac{\pi D_t^2}{4 A_5} \quad (2.38)$$

Pressão comum aos três trechos:

$$p_{h2} = p_{h3} = p_5 \quad (2.39)$$

As perdas de carga nos dutos do poço de alívio serão consideradas posteriormente.

### Saída do Túnel

Para  $V_i \geq 0$ , aplicando a equação de Bernoulli entre as seções  $i$  e  $j$ , obtém-se:

$$\left. \begin{aligned} p_i + \rho \frac{V_i^2}{2} &= (\Delta p)_{\text{saída}} \\ \text{valor manométrico} & \\ (\Delta p)_{\text{saída}} &= \rho \frac{V_i^2}{2} \end{aligned} \right\} p_i = 0 \quad (2.40)$$

$$\text{Para } V_i < 0: p_i = -0,85 \rho V_i^2 \quad (\text{mesma situação da entrada do túnel}) \quad (2.41)$$

### (iii) Condições Iniciais

Como condições iniciais, serão assumidas as distribuições de pressão e velocidade, ao longo do túnel, decorrentes do funcionamento dos ventiladores de exaustão na condição de projeto.

Definindo:

$QVF_e$  = vazão de projeto, devido somente à ventilação forçada, do início do túnel até a saída de exaustão,

$QVF_d$  = vazão de projeto, devido somente à ventilação forçada, do fim do túnel até a saída de exaustão e  $(QVF_d < 0)$

$QVF$  = vazão de projeto que passa pelos ventiladores de exaustão  
(Obs: Uma mesma saída de exaustão pode servir mais de um túnel),

obtém-se a seguinte distribuição de velocidades:

$$\text{Trecho 1: } V_{p1} = \frac{4QVF_e}{\pi D_t^2}$$

$$\text{Trechos 2 e 3: } V_{p2} = V_{p3} = \frac{4QVF_d}{\pi D_t^2}$$

$$\text{Trecho 4: } V_4 = \frac{QVF}{A_4}$$

Trecho 5:  $V_5 = 0$  (a válvula do poço de alívio só abre quando o trem entra na 2a. metade do túnel).

Distribuição de pressões:

$$\text{Entrada do túnel: } p_b = - 0,85 \rho V_b^2$$

Seção do túnel onde se localiza a saída de exaustão:

$$p_{gl} = p_{g2} = p_4 = \rho / 2 f_4 \frac{L_{4eq}}{Dh_4} V_4 |V_4| - (\Delta p)_{vent} \quad (\text{pressão manométrica de succão})$$

diferença de pressão ocasionada pelas perdas de carga localizadas e distribuídas ao longo dos dutos de exaustão

$$\text{Saída do Túnel: } p_i = - 0,85 \rho V_i^2$$

Para as seções internas dos trechos 1, 2 e 3, a pressão em um ponto qualquer é igual a pressão de succão na abertura para exaustão, mais a perda de carga distribuída ao longo da distância entre a abertura e o ponto considerado.

#### 2.2.b. Força de Arrasto Aerodinâmico

Os parâmetros, que determinam o arrasto aerodinâmico do trem, estão condicionados à região "próxima" ao veículo, sujeitas, portanto, à hipótese de escoamento quase permanente para cada instante no tempo.

Aplicando um equilíbrio de forças em um volume de controle englobando as seções d e e (zona de transferência) da fig. 1, obtém-se:

$$\int_{\frac{D_V}{2}}^{\frac{D_t}{2}} p_d 2\pi r dr + \int_{x_d}^{x_e} (+\tau_v) \pi D_V dx + \int_{x_d}^{x_e} (+\tau_w) \pi D_t dx - \int_{\frac{D_V}{2}}^{\frac{D_t}{2}} p_e 2\pi r dr = 0 \quad (2.42)$$

ou seja:

$$p_d \frac{\pi}{4} (D_t^2 - D_V^2) + \tau_v \pi D_V L_V + \tau_w \pi D_t L_V - p_e \frac{\pi}{4} (D_t^2 - D_V^2) = 0 \quad (2.43)$$

Dividindo por

$$p_d \frac{\pi}{4} (D_t^2 - D_V^2) \quad \text{e rearranjando:}$$

$$p_e - p_d = \frac{4\beta L_V \tau_v}{D_t(1-\beta^2)} + \frac{4L_V \tau_w}{D_t(1-\beta^2)} \quad (2.44)$$

$$\text{Como } \tau_v = \frac{-\rho f_v (V_{tr} - V_v) |V_{tr} - V_v|}{8} \quad \text{e} \quad \tau_w = \frac{-\rho f_w V_{tr} |V_{tr}|}{8}, \quad (2.45)$$

$$p_e - p_d = \frac{-\rho L_V}{2D_t(1-\beta^2)} \left[ \beta f_v (V_{tr} - V_v) |V_{tr} - V_v| + f_w V_{tr} |V_{tr}| \right] \quad (2.46)$$

A equação do movimento aplicada a um volume de controle entre as seções f e e (zona de entrada) resulta em:

$$F_{D_E} - \int_0^{\frac{D_t}{2}} p_f 2\pi r dr + \int_{\frac{D_V}{2}}^{\frac{D_t}{2}} p_e 2\pi r dr = - \int_0^{\frac{D_t}{2}} \rho (V - V_v) |V - V_v| 2\pi r dr +$$

$$+ \int_{\frac{D_V}{2}}^{\frac{D_t}{2}} \rho (V_{tr} - V_v) |V_{tr} - V_v| 2\pi r dr \quad (2.47)$$

onde  $F_{D_e}$  = componente da força de arrasto na zona de entrada.

Substituindo a equação da continuidade  $(V-V_v) = (1-\beta^2)(V_{tr}-V_v)$

e rearranjando:

$$F_{D_e} = p_e \frac{\pi D_v^2}{4} + (p_f - p_e) \frac{\pi D_t^2}{4} + \rho \frac{\pi D_t^2}{4} \underbrace{[-(1-\beta^2)^2 + (1-\beta^2)^2]}_{\text{arrasto de forma } (F_{DN})} (V_{tr}-V_v) |V_{tr}-V_v|$$

(2.48)

como  $p_f - p_e = C_e \rho / 2 [1 - (1-\beta^2)^2] (V_{tr}-V_v)^2$ , a sua substituição na expressão acima, seguida de algumas simplificações, resulta em:

$$F_{D_e} = \frac{\pi D_v^2}{4} \left\{ p_e + \rho \left[ \frac{C_e}{2} (2-\beta^2) (V_{tr}-V_v)^2 + (1-\beta^2) (V_{tr}-V_v) |V_{tr}-V_v| \right] \right\} \quad (2.49)$$

A equação do movimento aplicada a um volume de controle entre as seções c e d (zona de esteira) resulta em:

$$F_{D_w} - \int_{\frac{D_v}{2}}^{\frac{D_t}{2}} p_d 2\pi r dr + \int_0^{\frac{D_t}{2}} p_e 2\pi r dr = - \int_{\frac{D_v}{2}}^{\frac{D_t}{2}} \rho (V_{tr}-V_v) |V_{tr}-V_v| 2\pi r dr +$$

$$+ \int_0^{\frac{D_t}{2}} \rho (V-V_v) |V-V_v| 2\pi r dr \quad (2.50)$$

onde  $F_{D_w}$  = componente da força de arrasto na zona de esteira.

Substituindo a equação da continuidade e rearranjando:

$$F_{D_w} = -p_d \frac{\pi D_v^2}{4} + (p_d - p_c) \frac{\pi D_t^2}{4} + \rho \frac{\pi D_t^2}{4} \underbrace{[-(1-\beta^2)^2 + (1-\beta^2)^2]}_{\text{arrasto de base } (F_{DB})} (V_{tr}-V_v) |V_{tr}-V_v|$$

(2.51)

Como  $P_d - P_c = C_w \rho / 2 \left[ (1-\beta^2)^2 - 1 \right] (V_{tr} - V_v)^2$ , a sua substituição na expressão acima, seguida de algumas simplificações, resulta em:

$$F_{Dw} = \frac{\pi D_v^2}{4} \left\{ -P_d + \rho \left[ -\frac{C_w}{2} (2-\beta^2) (V_{tr} - V_v)^2 - (1-\beta^2) (V_{tr} - V_v) |V_{tr} - V_v| \right] \right\} \quad (2.52)$$

Componente da força de arrasto devido às pressões ( $F_{Dp}$ ):

$$F_{Dp} = F_{De} + F_{Dw} = \frac{\pi D_v^2}{4} \left\{ \underbrace{(P_e - P_d) + \rho}_{F_{DPD}} \left[ \frac{2-\beta^2}{2} (C_e - C_w) (V_{tr} - V_v)^2 \right] \right\} \quad (2.53)$$

$$F_{DN} + F_{DB}$$

(arrasto devido à dif. de pressões na região anular)

Substituindo (2.46) em (2.53), obtém-se:

$$F_{Dp} = \frac{\pi D_v^2}{4} \left\{ \frac{-\rho L_v}{2 D_t (1-\beta^2)} \left[ \beta f_v (V_{tr} - V_v) |V_{tr} - V_v| + f_w V_{tr} |V_{tr}| \right] + \right. \\ \left. + \rho / 2 (2-\beta^2) (C_e - C_w) (V_{tr} - V_v)^2 \right\} \quad (2.54)$$

Componente da força de arrasto devido ao cizalhamento na parede do veículo ( $F_{Df}$ ):

$$F_{Df} = \pi D_v L_v \tau_v = - \frac{\pi D_v L_v \rho f_v (V_{tr} - V_v) |V_{tr} - V_v|}{8} \frac{D_v}{D_v} = \\ = - \frac{\pi D_v^2}{4} \frac{\rho L_v f_v (V_{tr} - V_v) |V_{tr} - V_v|}{2 D_v} \quad (2.55)$$

Força de Arrasto Total ( $F_D$ ):  $F_D = F_{Dp} + F_{Df}$

$$\therefore F_D = \rho/2 \frac{\pi D_V^2}{4} \left\{ \frac{-L_v}{D_t(1-\beta^2)} \left[ \frac{(1-\beta^2)}{\beta} f_v (V_{tr}-V_v) |V_{tr}-V_v| + f_w V_{tr} |V_{tr}| \right. \right. \\ \left. \left. + (2-\beta^2)(C_e - C_w) (V_{tr}-V_v)^2 \right] \right\} \quad (2.56)$$

Simplificando:

$$F_D = \rho/2 \frac{\pi D_V^2}{4} \left\{ \frac{-L_v}{D_t(1-\beta^2)} \left[ \frac{f_v}{\beta} (V_{tr}-V_v) |V_{tr}-V_v| + f_w V_{tr} |V_{tr}| \right] + \right. \\ \left. + (2-\beta^2)(C_e - C_w) (V_{tr}-V_v)^2 \right\} \quad (2.57)$$

As relações anteriores valem somente quando o trem estiver inteiramente contido no túnel. Para o trem entrando no túnel tem-se:

$$F_D = \rho/2 \frac{\pi D_V^2}{4} \left\{ \frac{-X_{ve}}{D_t(1-\beta^2)} \left[ \frac{f_v}{\beta} (V_{tr}-V_v) |V_{tr}-V_v| + f_w V_{tr} |V_{tr}| \right] + \right. \\ \left. + 2(1-\beta^2)(V_{tr}-V_v) |V_{tr}-V_v| + C_e (2-\beta^2) (V_{tr}-V_v)^2 + \frac{(L_v - X_{ve})}{D_V} f_{vv} V_v^2 + \frac{2p_b}{\rho} \right\} \quad (2.58)$$

Na saída do trem a força de arrasto total é calculada por:

$$F_D = \rho/2 \frac{\pi D_V^2}{4} \left\{ \frac{-(L_t - X_{ve} + L_v)}{D_t(1-\beta^2)} \left[ \frac{f_v}{\beta} (V_{tr}-V_v) |V_{tr}-V_v| + f_w V_{tr} |V_{tr}| \right] - \right. \\ \left. - 2(1-\beta^2)(V_{tr}-V_v) |V_{tr}-V_v| - C_w (2-\beta^2) (V_{tr}-V_v)^2 + \left[ \frac{(X_{ve} - L_t)}{D_V} f_{vv} + 0,5 \right] V_v^2 - \frac{2p_i}{\rho} \right\} \quad (2.59)$$

Nas equações (2.58) e (2.59)  $X_{V_e}$  representa a posição da frente do trem no instante considerado e  $f_{V_V}$  é o coeficiente de atrito junto às paredes do veículo durante a sua permanência nas estações. Para a movimentação do trem nas estações, considerou-se

$$F_{D_e} \approx 0,5 \rho/2 \frac{\pi D_V^2}{4} V_V^2 \text{ e } F_{D_w} \approx 0$$

### 2.3. Considerações sobre os dados experimentais concernentes às perdas de carga

Conforme mencionado na resenha literária [refs. 6 e 8], os dados experimentais sobre perdas de carga fornecem indicações razoavelmente precisas para certas faixas operacionais, enquanto para outras, fazem-se necessárias interpolações ou extrapolações que sempre requerem confirmação posterior quanto à sua margem de precisão.

Os dados existentes sobre coeficientes de atrito reais junto às paredes de túnel e do trem comparam, satisfatoriamente, com as curvas de Nikuradse ) para rugosidades relativas em torno de  $10^{-3}$ . Utilizar-se-á, então, a fórmula de Colebrook-White

$$\frac{1}{\sqrt{f}} = -2 \log_{10} \left[ \frac{2,51}{R_e \sqrt{f}} + \frac{RR}{3,3} \right] \quad \text{ou} \quad f = \frac{1,325474}{\log_e^2 \left[ \frac{2,51}{R_e \sqrt{f}} + \frac{RR}{3,3} \right]} \quad (2.60)$$

onde

$f$ : coeficiente de atrito relacionado à expressão de Darcy para as perdas de carga.

$RR$ : rugosidade relativa.

$R_e$ : nº de Reynolds } Para a parede do túnel na região anular:

$$R_{e_W} = \frac{|V| (D_t - D_V)}{v} \quad (2.61)$$

Para a parede do trem na região anular:

$$R_{e_V} = \frac{|V - V_V| (D_t - D_V)}{v} \quad (2.62)$$

Para a parede do trem na estação:

$$R_{e_{VV}} = \frac{V_V D_V}{v} \quad (2.63)$$

Para o duto de exaustão e poço de alívio também será usada a relação (2.60).

Na região "distante" do veículo, as nervuras transversais que compõem a ligação dos diversos elementos do túnel, produzem um nível de turbulência tal que o coeficiente de atrito praticamente independe do número de Reynolds, situando-se em torno de 0,1. Conforme mencionado na ref. [8], o seu valor exato depende das dimensões e forma das nervuras.

As perturbações ocasionadas pela frente e traseira do veículo nos valores dos coeficientes de atrito são levadas em conta através das velocidades do escoamento, sendo estas, funções da propagação de ondas de pressão geradas pelo trem.

Nas zonas de entrada e esteira, far-se-á uso das relações indicadas abaixo:

$$\text{Se } V_v = V; K_e = K_w = 0$$

(2.64)

$$\text{Se } |V_v| > |V|: K_e = y \left( \frac{V_v - V}{V_v} \right)^z \quad \text{e} \quad K_w = 1 \quad (V > 0) \quad (2.65)$$

$$\text{Se } |V| > |V_v| \quad \left\{ \begin{array}{l} V > 0: K_e = -1 \quad \text{e} \quad K_w = -y \left( \frac{V - V_v}{V} \right)^z \\ \qquad \qquad \qquad (\text{valem também para } V_v = 0). \\ V < 0: K_e = y \left( \frac{V_v - V}{V} \right)^z \quad \text{e} \quad K_w = 1 \end{array} \right. \quad (2.66)$$

(2.67)

onde  $y$  e  $z$  são funções da razão comprimento - diâmetro do veículo ( $L_v/D_v$ ) e da razão de bloqueio ( $\beta$ ), conforme indicado pela tabela do Apêndice. Estes dados foram obtidos através de um processamento semi-empírico, que utilizou leituras da força de arrasto sofrida pelo veículo, em regime permanente, no tubo de testes (ref.6). Apesar de sua obtenção ter sido condicionada a uma faixa de número de Reynolds do veículo bem próxima de  $10^5$ , eles podem ser utilizados para um intervalo razoavelmente amplo, sem perdas substanciais na precisão, conforme indicado na ref. [8].

### 3. RESOLUÇÃO NUMÉRICA

#### 3.1. Aproximação por diferenças finitas

Para efeitos de resolução numérica, as zonas de entrada e de esteira serão concentradas nas seções correspondentes à frente e traseira do trem, respectivamente. Estas seções conterão, portanto, singularidades quanto a pressão e velocidade do escoamento.

#### Região "distante" do veículo

Multiplicando as equações (2.13) por  $\Delta t$  e integrando-as, ao longo das linhas características (fig. 2), em um intervalo de tempo  $\Delta t$ , obtém-se:

$$\left. \begin{array}{l} \frac{1}{\rho a} \int_{P_R}^{P_P} dp + \int_{V_R}^{V_P} dV + \frac{1}{2D\Delta t} \int_{t-\Delta t}^t f_t V|V| dt = 0 \\ \left. \begin{array}{l} X_R \quad t \\ \int dx = \int (V+a)dt \end{array} \right. \\ X_P \quad t \\ \left. \begin{array}{l} C^+ \\ C^- \end{array} \right. \end{array} \right. \quad (3.1)$$

$$\left. \begin{array}{l} \frac{1}{\rho a} \int_{P_S}^{P_P} dp + \int_{V_S}^{V_P} dV + \frac{1}{2D\Delta t} \int_{t-\Delta t}^t f_t V|V| dt = 0 \\ \left. \begin{array}{l} X_S \quad t \\ \int dx = \int (V-a)dt \end{array} \right. \\ X_P \quad t \\ C^- \end{array} \right. \quad (3.1)$$

Adota-se um  $\Delta t$  suficientemente pequeno de modo que as linhas características  $C^+$  e  $C^-$  sejam linhas retas unindo  $P$  a  $R$  e  $S$ , e, com inclinação  $\frac{dx}{dt} = V+a$  e  $\frac{dx}{dt} = V-a$ , respectivamente.

Utilizando aproximações lineares do tipo

$$\int_{x_0}^{x_1} f(x) dx \approx f(x_0) (x_1 - x_0),$$

as equações (3.1) ficam

$$C^+ \left\{ \begin{array}{l} v_p - v_r + \frac{1}{\rho a} (p_p - p_r) + \frac{f_{tr} v_r |v_r| \Delta t}{2D_t} = 0 \\ x_p - x_r = (v_r + a) \Delta t \end{array} \right. \quad (3.2)$$

$$C^- \left\{ \begin{array}{l} v_p - v_s - \frac{1}{\rho a} (p_p - p_s) + \frac{f_{ts} v_s |v_s| \Delta t}{2D_t} = 0 \\ x_p - x_s = (v_s - a) \Delta t \end{array} \right.$$

### Zona de transferência

Usando o mesmo procedimento para as equações (2.20), em um intervalo de tempo  $(\Delta t)_{tr}$ , obtém-se

$$C^+ \left\{ \begin{array}{l} v_p - v_r + \frac{1}{\rho a} (p_p - p_r) + \frac{f_{wr} v_{Rtr} |v_{Rtr}| (\Delta t)_{tr}}{2D_t (1-\beta^2)} + \frac{\beta f_{VR} (v_{Rtr} - v_v) |v_{Rtr} - v_v| (\Delta t)_{tr}}{2D_t (1-\beta^2)} = 0 \\ x_p - x_r = (v_r + a) \Delta t \end{array} \right.$$

$$C^- \left\{ \begin{array}{l} v_p - v_s - \frac{1}{\rho a} (p_p - p_s) + \frac{f_{ws} v_{Str} |v_{Str}| (\Delta t)_{tr}}{2D_t (1-\beta^2)} + \frac{\beta f_{VS} (v_{Str} - v_v) |v_{Str} - v_v| (\Delta t)_{tr}}{2D_t (1-\beta^2)} = 0 \\ x_p - x_s = (v_s - a) \Delta t \end{array} \right.$$

Quando a frente do trem cruza com uma das curvas características, ocorre um salto de pressão expresso por:

$$(\Delta p)_e = C_e p / 2 [1 - (1 - \beta^2)^2] (v_{Rtr} - v_v)^2 \text{ para a característica } C^+ \quad (3.4)$$

$$(\Delta p)_e = -C_e p / 2 [1 - (1 - \beta^2)^2] (v_{Str} - v_v)^2 \text{ para a característica } C^-$$

Analogamente, para a traseira do trem

$$\begin{aligned} (\Delta p)_w &= C_w \rho / 2 \left[ (1-\beta^2)^2 - 1 \right] (V_{Rtr} - V_V)^2 \text{ no cruzamento com a característica } C^+ \\ (\Delta p)_w &= -C_w \rho / 2 \left[ (1-\beta^2)^2 - 1 \right] (V_{Str} - V_V)^2 \text{ no cruzamento com a característica } C^- \end{aligned} \quad (3.5)$$

O intuito de se conseguir uma ampla faixa de variação dos parâmetros pertinentes ao sistema requer a resolução de diversos arranjos entre as curvas características e as curvas distância-tempo do veículo, conforme indicado na fig. 3. Este conjunto de arranjos pode ser abordado pela seguinte combinação das equações (3.2), (3.3), (3.4) e (3.5):

$$C^+ \left\{ \begin{array}{l} V_p - V_R + \frac{1}{\rho_a} (p_p - p_R) + \frac{f t_R}{2 D_t} V_E |V_E| \left[ \Delta t - (\Delta t) t_{rR} \right] + \frac{f_{WR} V_{Rtr} |V_{Rtr}|}{2 D_t (1-\beta^2)} (\Delta t) t_{rR} + \\ \frac{\beta f V_R (V_{Rtr} - V_V) |V_{Rtr} - V_V| (\Delta t) t_{rR}}{2 D_t (1-\beta^2)} - \frac{(\xi_{eR} C_e - \xi_{wR} C_w)}{2a} \left[ 1 - (1-\beta^2)^2 \right] (V_{Rtr} - V_V)^2 = 0 \end{array} \right.$$

$$x_p - x_R = (V_R + a) \Delta t$$

$$C^- \left\{ \begin{array}{l} V_p - V_S + \frac{1}{\rho_a} (p_p - p_S) + \frac{f t_S}{2 D_t} V_D |V_D| \left[ \Delta t - (\Delta t) t_{rS} \right] + \frac{f_{WS} V_{Str} |V_{Str}|}{2 D_t (1-\beta^2)} (\Delta t) t_{rS} + \\ \frac{\beta f V_S (V_{Str} - V_V) |V_{Str} - V_V| (\Delta t) t_{rS}}{2 D_t (1-\beta^2)} - \frac{(\xi_{eS} C_e - \xi_{ws} C_w)}{2a} \left[ 1 - (1-\beta^2)^2 \right] (V_{Str} - V_V)^2 = 0 \end{array} \right.$$

$$x_p - x_S = (V_S - a) \Delta t$$

onde

$(\Delta t) t_{rR}$  = período de tempo que a característica  $C^+$  permanece na região de transferência, no intervalo  $(x_R, x_p)$ , (fig. 3).  
 $0 \leq (\Delta t) t_{rR} \leq \Delta t$

$(\Delta t)_{tr_S}$  = período de tempo que a característica  $C^+$  permanece na região de transferência, no intervalo  $(x_P, x_S)$   
 $0 \leq (\Delta t)_{tr_S} \leq \Delta t$

$\xi_{eR}=1$  quando a característica  $C^+$  cruza com a frente do trem no intervalo  $[x_R, x_P]$ , caso contrário  $\xi_{eR}=0$

$\xi_{wR}=1$  quando a característica  $C^+$  cruza com a traseira do trem no intervalo  $[x_R, x_P]$ , caso contrário  $\xi_{wR}=0$

$\xi_{eS}=1$  quando a característica  $C^-$  cruza com a frente do trem no intervalo  $[x_P, x_S]$ , caso contrário  $\xi_{eS}=0$

$\xi_{wS}=1$  quando a característica  $C^-$  cruza com a traseira do trem no intervalo  $[x_P, x_S]$ , caso contrário  $\xi_{wS}=0$

$V_E$  e  $V_D$ : velocidades do ar fora da zona de transferência, em relação às curvas características  $C^+$  e  $C^-$  respectivamente.

### 3.2. Método dos intervalos de tempo especificados

Duas maneiras comuns de se obter uma solução numérica, utilizando estas equações na forma de diferenças finitas, são: uso de rede de características e uso de intervalos de tempo especificados. O segundo método possui a vantagem de  $x_P$  e  $t_P$  serem valores assinalados e definitivos através dos cálculos. Isto deixa somente as duas incógnitas  $V_P$  e  $p_P$  a serem determinadas. O procedimento, quando aplicado a sistemas, possibilita uma solução bastante ordenada.

No método dos intervalos de tempo especificados, conhecidas as condições em A, B e C (fig. 2), avaliamos as condições em R e S através de interpolações lineares. Da fig. 2

$$\frac{x_C - x_R}{\Delta x} = \frac{V_C - V_R}{V_C - V_A} \quad (3.10)$$

Pelo uso da equação (3.7), reconhecendo que  $x_P = x_C$ ,

$$(V_R + a) \frac{\Delta t}{\Delta x} = \frac{V_C - V_R}{V_C - V_A} \quad (3.11)$$

Definindo  $\theta = \frac{\Delta t}{\Delta x}$  e rearranjando a equação (3.11), obtém-se

$$V_R = \frac{V_C - \theta a(V_C - V_A)}{1 + \theta(V_C - V_A)} \quad (3.12)$$

Os valores interpolados para  $V_S$ ,  $p_R$ , e  $p_S$  são obtidos analógicamente

$$V_S = \frac{V_C - \theta a(V_C - V_B)}{1 - \theta(V_C - V_R)} \quad (3.13)$$

$$p_R = p_C - \theta(V_R + a)(p_C - p_A) \quad (3.14)$$

$$p_S = p_C + \theta(V_S - a)(p_C - p_B) \quad (3.15)$$

Somando as equações (3.6) e (3.8), explicitando  $V_P$ , tem-se

$$\begin{aligned} V_P = & 0,5 \left\{ V_R + V_S + \frac{1}{\rho a} (p_R - p_S) - \frac{1}{2D_t} \left\{ f_{tr} [\Delta t - (\Delta t) tr_R] |V_E| |V_E| + \right. \right. \\ & \left. \left. + f_{ts} [\Delta t - (\Delta t) tr_S] |V_D| |V_D| \right\} - \frac{1}{2D_t(1-\beta^2)} \left\{ (\Delta t) tr_R [f_{wR} V_{Rtr} |V_{Rtr}| + \right. \right. \\ & \left. \left. + \beta f_{VR} (V_{Rtr} - V_V) |V_{Rtr} - V_V|] + (\Delta t) tr_S [f_{ws} V_{str} |V_{str}| + \right. \right. \\ & \left. \left. + \beta f_{Vs} (V_{str} - V_V) |V_{str} - V_V|] \right\} + \frac{1}{2a} \left\{ (\xi_{eR} C_e - \xi_{wR} C_w) \left[ 1 - (1-\beta^2)^2 \right] (V_{Rtr} - V_V)^2 + \right. \\ & \left. \left. + (\xi_{eS} C_e - \xi_{wS} C_w) \left[ 1 - (1-\beta^2)^2 \right] (V_{str} - V_V)^2 \right\} \right\} \quad (3.16) \end{aligned}$$

Subtraindo a equação (3.8) da (3.6), explicitando  $p_P$ , chega-se a

$$\begin{aligned}
 p_P = 0,5 & \left\{ p_R + p_S + \rho a (V_R - V_S) - \frac{\rho a}{2D_t} \left\{ f t_R [\Delta t - (\Delta t) t_{RtR}] V_E |V_E| - \right. \right. \\
 & \left. \left. - f t_S [\Delta t - (\Delta t) t_{Rs}] V_D |V_D| \right\} - \frac{\rho a}{2D_t (1-\beta^2)} \left\{ (\Delta t) t_{RtR} [f_{wR} V_{RtR} |V_{RtR}| + \right. \right. \\
 & \left. \left. + \beta f_V (V_{RtR} - V_v) |V_{RtR} - V_v|] - (\Delta t) t_{Rs} [f_{ws} V_{Str} |V_{Str}| + \right. \right. \\
 & \left. \left. + \beta f_{Vs} (V_{Str} - V_v) |V_{Str} - V_v|] \right\} + \frac{\rho}{2} \left\{ (\xi_{eR} C_e - \xi_{wR} C_w) \left[ 1 - (1-\beta^2)^2 \right] (V_{RtR} - V_v)^2 - \right. \right. \\
 & \left. \left. - (\xi_{es} C_e - \xi_{ws} C_w) \left[ 1 - (1-\beta^2)^2 \right] (V_{Str} - V_v)^2 \right\} \right\} \quad (3.17)
 \end{aligned}$$

Com uma grade de interpolação é necessário que seis equações sejam resolvidas a fim de se encontrar  $V_p$  e  $p_p$  para um ponto interior. Elas são as equações (3.12) a (3.17).

Os pontos extremos com as condições de contorno correspondentes serão abordados "a posteriori".

Uma importante limitação deve ser reconhecida na escolha de  $\Delta t$  e  $\Delta x$ . Para estar assegurada a estabilidade e/ou convergência da solução é necessário que  $\Delta t(V+a) \leq \Delta x$ , onde  $a$  pode ser calculado pela relação

$$a = \sqrt{\frac{C_P}{C_V}} g R T_m \quad \text{e } V \text{ corresponde à máxima velocidade esperada no sistema.}$$

Com isto as características através de  $P$ ,  $C^+$  e  $C^-$ , não cairão fora do segmento AB (fig. 2).

### 3.3. Cruzamento das linhas características com as curvas distância-tempo do veículo

#### 3.3.a. Equações da intersecção

Para um período de tempo definido por  $[t_p, t_p - \Delta t]$  tem-se

$$\begin{aligned}
 \text{Equação da característica } C^+ \text{ no intervalo } [x_R, x_p]: x_{C^+} = C_1 t + C_2 \\
 (\text{equação de uma reta}) \quad (3.18)
 \end{aligned}$$

$$\text{Para } t = t_p - \Delta t: x_{C^+} = x_R = C_1(t_p - \Delta t) + C_2 \quad (3.19)$$

$$\text{Para } t = t_p: x_{C^+} = x_p = C_1 t_p + C_2 \quad (3.20)$$

Resolvendo o sistema formado pelas equações (3.19) e (3.20), juntamente com a substituição da equação (3.7), encontra-se  $C_1 = V_R + a$  e  $C_2 = x_p - (V_R + a)t_p$ , (3.21)

$$\text{logo } x_{C^+} = (V_R + a)t + x_p - (V_R + a)t_p \quad (3.22)$$

Equação da característica  $C^+$  no intervalo  $[x_p, x_s]: x_{C^+} = C_3 t + C_4$  (equação de uma reta). (3.23)

$$\text{Para } t = t_p - \Delta t: x_{C^-} = x_s = C_3(t_p - \Delta t) + C_4 \quad (3.24)$$

$$\text{Para } t = t_p: x_{C^-} = x_p = C_3 t_p + C_4 \quad (3.25)$$

Resolvendo o sistema formado pelas equações (3.24) e (3.25), juntamente com a substituição da equação (3.9), encontra-se  $C_3 = V_s - a$  e  $C_4 = x_p - (V_s - a)t_p$  (3.26)

$$\text{logo } x_{C^-} = (V_s - a)t + x_p - (V_s - a)t_p$$

Equação da frente do trem:  $x_{V_e}(t) = C_5 t + C_6$  (equação de uma reta) (3.27)

$$\text{Para } t = t_p - \Delta t: x_{V_e}(t) = x_{V_e}(t_p - \Delta t) = C_5[t_p - \Delta t] + C_6 \quad (3.28)$$

$$\text{Para } t = t_p: x_{V_e}(t) = x_{V_e}(t_p) = C_5 t_p + C_6 \quad (3.29)$$

Resolvendo o sistema formado pelas equações (3.28) e (3.29) obtém-se

$$C_5 = \frac{x_{V_e}(t_p) - x_{V_e}(t_p - \Delta t)}{\Delta t} \quad \text{e} \quad C_6 = x_{V_e}(t_p) - \frac{[x_{V_e}(t_p) - x_{V_e}(t_p - \Delta t)]}{\Delta t} t_p \quad (3.30)$$

logo

$$x_{V_e}(t) = \frac{[x_{V_e}(t_p) - x_{V_e}(t_p - \Delta t)]}{\Delta t} t + x_{V_e}(t_p) - \frac{[x_{V_e}(t_p) - x_{V_e}(t_p - \Delta t)]}{\Delta t} t_p \quad (3.31)$$

$$\text{Equação da traseira do trem: } x_{V_w}(t) = x_{V_e}(t) - L_V \quad (3.32)$$

Na intersecção da característica C<sup>+</sup> com a frente do trem

$$t = t_{IeR} \text{ e } x_{C^+} = x_{V_e(t_{IeR})} = x_{IeR}$$

Igualando as equações (3.22) e (3.31), após algumas simplificações resulta

$$t_{IeR} = t_p + \left[ \frac{x_{V_e(t_p)} - x_p}{[(v_r+a)\Delta t - x_{V_e(t_p)} + x_{V_e(t_p-\Delta t)}]} \right] \Delta t \quad (3.33)$$

Pela equação (3.22)  $x_{IeR} = (v_r+a)t_{IeR} + x_p - (v_r+a)t_p$ , onde a substituição da equação (3.33) resulta em

$$x_{IeR} = x_p + \left[ \frac{x_{V_e(t_p)} - x_p}{[(v_r+a)\Delta t - x_{V_e(t_p)} + x_{V_e(t_p-\Delta t)}]} \right] (v_r+a)\Delta t \quad (3.34)$$

Através de um procedimento análogo, obtém-se:

Na intersecção da característica C<sup>+</sup> com a traseira do trem  $t = t_{IwR}$ ,  $x_{C^+} = x_{V_w(t_{IwR})} = x_{IwR}$ ,

$$t_{IwR} = t_p + \left[ \frac{x_{V_e(t_p)} - x_p - L_v}{[(v_r+a)\Delta t - x_{V_e(t_p)} + x_{V_e(t_p-\Delta t)}]} \right] \Delta t \quad (3.35)$$

$$x_{IwR} = x_p + \left[ \frac{x_{V_e(t_p)} - x_p - L_v}{[(v_r+a)\Delta t - x_{V_e(t_p)} + x_{V_e(t_p-\Delta t)}]} \right] (v_r+a)\Delta t \quad (3.36)$$

Na intersecção da característica C<sup>-</sup> com a frente do trem  $t = t_{Ies}$ ,  $x_{C^-} = x_{V_e(t_{Ies})} = x_{Ies}$ ,

$$t_{Ies} = t_p + \left[ \frac{x_{V_e(t_p)} - x_p}{[(v_s-a)\Delta t - x_{V_e(t_p)} + x_{V_e(t_p-\Delta t)}]} \right] \Delta t \quad (3.37)$$

$$x_{Ies} = x_P + \left[ \frac{x_{Ve}(t_P) - x_P}{[(V_S - a)\Delta t - x_{Ve}(t_P) + x_{Ve}(t_P - \Delta t)]} \right] (V_S - a)\Delta t \quad (3.38)$$

Na intersecção da característica C com a traseira do trem  $t = t_{Iws}$ ,  $x_C = x_{Vw}(t_{Iws}) = x_{Iws}$ ,

$$t_{Iws} = t_P + \left[ \frac{x_{Ve}(t_P) - x_P - L_V}{[(V_S - a)\Delta t - x_{Ve}(t_P) + x_{Ve}(t_P - \Delta t)]} \right] \Delta t \quad (3.39)$$

$$x_{Iws} = x_P + \left[ \frac{x_{Ve}(t_P) - x_P - L_V}{[(V_S - a)\Delta t - x_{Ve}(t_P) + x_{Ve}(t_P - \Delta t)]} \right] (V_S - a)\Delta t \quad (3.40)$$

### 3.3.b. Condições do cruzamento

Calculados os tempos e as posições dos cruzamentos das linhas características que passam por um ponto P, com a frente e traseira do veículo, através das equações (3.33) a (3.40), resta agora determinar as condições em que isto ocorre para o trecho da malha correspondente ao ponto em questão.

Se  $x_R \leq x_{IeR} < x_P$ :  $\xi_{eR} = 1$  fig. 3:(c) e (f)

Se  $x_{IeR} < x_R$  ou  $x_{IeR} > x_P$ :  $\xi_{eR} = 0$  fig. 3:(a),(b),(d),(e),(g),(h),  
(i) e (j)

Se  $x_R \leq x_{IwR} < x_P$ :  $\xi_{wR} = 1$  fig.3: (f),(g) e (h)

Se  $x_{IwR} < x_R$  ou  $x_{IwR} > x_P$ :  $\xi_{wR} = 0$  fig.3: (a),(b),(c),(d),(e),(i) e  
(j)

Se  $x_P \leq x_{Ies} < x_S$ :  $\xi_{eS} = 1$  fig.3: (d),(g),e(i)

Se  $x_{Ies} < x_P$  ou  $x_{Ies} > x_S$ :  $\xi_{eS} = 0$  fig.3: (a),(b),(c),(e),(f),(h) e  
(j)

Se  $x_P \leq x_{Iws} < x_S$ :  $\xi_{wS} = 1$  fig.3: (i) e (j)

Se  $x_{Iws} < x_P$  ou  $x_{Iws} > x_S$ :  $\xi_{wS} = 0$  fig.3: (a),(b),(c),(d),(e),(f),  
(g) e (h)

Se  $x_{IeR} \leq x_R$  ou  $x_{IwR} \geq x_P$ :

fig.3: (a), (b), (i) e (j)

$$(\Delta t)_{trR} = 0$$

$$v_{R_{tr}} = 0$$

$$v_E = v_R$$

Se  $x_{IeR} \leq x_P$  e  $x_{IwR} \leq x_R$ :

fig.3: (c)

$$(\Delta t)_{trR} = t_{IeR} - t_P + \Delta t$$

$$v_{R_{tr}} = v_R$$

$$v_E = (v_{R_{tr}} - v_v)(1 - \beta^2) + v_v$$

Se  $x_{IeR} \leq x_P$  e  $x_{IwR} \geq x_R$ :

fig.3: (f)

$$(\Delta t)_{trR} = t_{IeR} - t_{IwR}$$

$$v_{R_{tr}} = (v_R - v_v)/(1 - \beta^2) + v_v$$

$$v_E = v_R$$

Se  $x_{IeR} > x_P$  e  $x_{IwR} \leq x_R$ :

fig.3: (d) e (e)

$$(\Delta t)_{trR} = \Delta t$$

$$v_{R_{tr}} = v_R$$

$$v_E = 0$$

Se  $x_{IeR} > x_P$  e  $x_{IwR} \geq x_R$ :

fig.3: (g) e (h)

$$(\Delta t)_{trR} = t_P - t_{IwR}$$

$$v_{R_{tr}} = (v_R - v_v)/(1 - \beta^2) + v_v$$

$$v_E = v_R$$

Se  $x_{Ies} \leq x_P$  ou  $x_{Iws} \geq x_S$ :

fig.3: (a), (b), (c) e (f)

$$(\Delta t)_{trs} = 0$$

$$v_{S_{tr}} = 0$$

$$v_D = v_S$$

Se  $x_{Ies} \leq x_S$  e  $x_{Iws} \leq x_P$ :

fig. 3: (d) e (g)

$$(\Delta t)_{trs} = t_p - t_{Ies}$$

$$V_{Str} = (V_s - V_v) / (1 - \beta^2) + V_v$$

$$V_D = V_s$$

Se  $x_{Ies} \leq x_S$  e  $x_{Iws} \geq x_P$ :

fig. 3: (i)

$$(\Delta t)_{trs} = t_{Iws} - t_{Ies}$$

$$V_{Str} = (V_s - V_v) / (1 - \beta^2) + V_v$$

$$V_D = V_s$$

Se  $x_{Ies} > x_S$  e  $x_{Iws} \leq x_P$ :

fig. 3: (e) e (h)

$$(\Delta t)_{trs} = \Delta t$$

$$V_{Str} = V_s$$

$$V_D = 0$$

Se  $x_{Ies} > x_S$  e  $x_{Iws} \geq x_P$

fig. 3: (j)

$$(\Delta t)_{trs} = t_{Iws} - t_p + \Delta t$$

$$V_{Str} = V_s$$

$$V_D = (V_{Str} - V_v) / (1 - \beta^2) + V_v$$

### 3.4. Análise dos Pontos Extremos

Nas várias condições de contorno a serem tratadas utilizar-se-á as equações (3.6) ou (3.8), ou ambas, juntamente com condições introduzidas na fronteira. É conveniente reescrever estas equações em uma forma diferente. Para uma extremidade a montante a equação (3.8) torna-se

$$V_p = C_{1s} + C_{2s} p_p \quad (3.41)$$

onde

$$C_{1s} = V_s - \frac{p_s - f_{ts}}{\rho a} V_D |V_D| \left[ \frac{1}{\Delta t - (\Delta t)_{trs}} \right] - \frac{f_{ws} V_{Str} |V_{Str}| (\Delta t)_{trs}}{2D_t (1 - \beta^2)}$$

$$\frac{\beta f v_s (\Delta t)_{trs}}{2D_t (1 - \beta^2)} (V_{Str} - V_v) |V_{Str} - V_v| + \frac{1}{2a} (\xi_{es} C_e - \xi_{ws} C_w) \left[ 1 - (1 - \beta^2)^2 \right] (V_{Str} - V_v)^2 \quad (3.42)$$

$$e \quad C_{2s} = \frac{1}{\rho a} \quad (3.43)$$

são funções de quantidades conhecidas e permanecem constantes durante cada passo no tempo. Na extremidade a jusante a equação (3.6) torna-se

$$V_P = C_{1R} + C_{2R} P_P \quad (3.44)$$

onde

$$C_{1R} = V_R + \frac{P_R}{\rho a} - \frac{f_{tR}}{2D_t} V_E |V_E| \left[ \Delta t - (\Delta t) tr_R \right] - \frac{f_{WR} V_{Rtr} |V_{Rtr}| (\Delta t) tr_R}{2D_t (1-\beta^2)} -$$

$$\frac{\beta f V_R (\Delta t) tr_R (V_{Rtr} - V_v) |V_{Rtr} - V_v|}{2D_t (1-\beta^2)} - \frac{1}{2a} (\xi_{eR} C_e - \xi_{wR} C_w) \left[ 1 - (1-\beta^2)^2 \right] (V_{Rtr} - V_v)^2 \quad (3.45)$$

$$e, \quad C_{2R} = \frac{1}{\rho a} \quad (3.46)$$

são constantes durante cada passo no tempo.

### 3.4.a. Entrada do túnel

Os valores de  $V_S$  e  $P_S$  são calculados, através das equações de interpolação (3.13) e (3.15). A condição de contorno dada pela equação (2.35) é reescrita na forma  $P_{P1} = -0,85\rho V_S^2$  (3.47) que, juntamente com a equação (3.41), possibilitam a obtenção de  $V_{P1}$ .

### 3.4.b. Saída de Exaustão

Aplicando a condição de contorno (2.37) nas equações (3.41) e (3.44), com a posterior substituição destas na equação da continuidade (2.36), obtém-se

$$V_4 = C_{14} + C_{24} P_4 \quad (3.48)$$

$$\text{onde } C_{14} = (C_{1R} - C_{1S}) \frac{\pi D t^2 e}{4A_4} \quad e \quad C_{24} = (C_{2R} - C_{2S}) \frac{\pi D t^2 e}{4A_4} \quad (3.49)$$

A diferença de pressão através do orifício com ventiladores que simula a saída de exaustão, é provocada pelo efeito líquido entre a diferença de pressão impingida pelos ventiladores e

as perdas de carga localizadas e distribuídas ao longo dos dutos.

Logo

$$(\Delta p)_{\text{saída de exaustão}} = p_4^0 - \underbrace{p_{\text{atm}}}_{\text{valores manométricos}} = \rho/2 f_4 \frac{L_{4\text{eq.}}}{Dh_4} V_4^2 - (\Delta p)_{\text{vent.}} + (\Delta p)_{\text{inso}} \quad (3.50)$$

onde  $L_{4\text{eq.}}$  e  $Dh_4$  são respectivamente o comprimento equivalente e o diâmetro hidráulico dos dutos de exaustão,  $(\Delta p)_{\text{vent.}}$  é uma função da descarga, conforme expresso pela curva característica dos ventiladores e  $(\Delta p)_{\text{inso}}$  é a perda de carga associada ao insonorizador, que normalmente é instalado para diminuir o nível de ruído dos ventiladores axiais.

A curva característica dos ventiladores será aproximada por polinômios do terceiro grau, utilizando a técnica dos mínimos quadrados com restrições. As peculiaridades e vantagens deste método serão discutidos posteriormente. Pode-se, então, definir

$$(\Delta p)_{\text{vent.}} = g_{i1} + g_{i2} A_4 V_4 + g_{i3} A_4^2 V_4^2 + g_{i4} A_4^3 V_4^3 \quad (3.51)$$

que, substituindo na equação (3.50), produz

$$p_4 = \rho/2 f_4 \frac{L_{4\text{eq.}}}{Dh_4} V_4 - (g_{i1} + g_{i2} A_4 V_4 + g_{i3} A_4^2 V_4^2 + g_{i4} A_4^3 V_4^3) + (\Delta p)_{\text{inso}} \quad (3.52)$$

A substituição da equação (3.52) na (3.48), após algumas simplificações, resulta em

$$\begin{aligned} & -C_{24} A_4^3 g_{i4} V_4^3 + C_{24} \left( \frac{\rho}{2} f_4 \frac{L_{4\text{eq.}}}{Dh_4} A_4^2 g_{i3} \right) V_4^2 - (1 + C_{24} A_4 g_{i2}) V_4 + \\ & + C_{14} - C_{24} \left[ g_{i1} + (\Delta p)_{\text{inso}} \right] = 0 \end{aligned} \quad (3.53)$$

Dividindo por  $(-C_{24} A_4^3 g_{i4})$  e designando

$$u_1 = \frac{-(\rho/2) f_4 L_{4eq} / D h_4 - A_4^2 g_{i3}}{A_4^3 g_{i4}}$$

$$u_2 = \frac{1 + C_{24} A_4 g_{i2}}{C_{24} A_4^3 g_{i4}} \quad \text{e} \quad (3.54)$$

$$u_3 = \frac{C_{24} [g_{i1} - (\Delta p)_{inso}] - C_{14}}{C_{24} A_4^3 g_{i4}}, \text{ resulta}$$

$$V_4^3 + u_1 V_4^2 + u_2 V_4 + u_3 = 0 \quad (3.55)$$

A equação cúbica acima pode ser reduzida, pela substituição  
ção  $V_P 4 = (x - \frac{u_1}{3})$ , à forma normal:

$$x^3 + u_A x + u_B = 0 \quad (3.56)$$

$$\text{onde } u_A = \frac{3u_2 - u_1^2}{3} \quad (3.57)$$

$$u_B = \frac{2u_1^3 - 9u_1 u_2 + 27u_3}{27}$$

As soluções da equação (3.56) são dadas por:

$$x_1 = u_s + u_T \quad \text{ou} \quad V_{41} = u_s + u_T - u_1/3 \quad (3.58)$$

$$x_2 = \frac{1}{2} (u_s + u_T) + \frac{i\sqrt{3}}{2} (u_s - u_T) \quad \text{ou}$$

$$V_{42} = \frac{1}{2} (u_s + u_T) + \frac{i\sqrt{3}}{2} (u_s - u_T) - \frac{u_1}{3} \quad (3.59)$$

$$x_3 = \frac{1}{2} (u_s + u_T) - \frac{i\sqrt{3}}{2} (u_s - u_T) \quad \text{ou}$$

$$V_{43} = -\frac{1}{2} (u_s + u_T) - \frac{i\sqrt{3}}{2} (u_s - u_T) - \frac{u_1}{3} \quad (3.60)$$

onde  $i^2 = -1$ ,  $u_D = \frac{u_B^2}{4} + \frac{u_A^3}{27}$  (discriminante) (3.61)

$$u_s = \sqrt{-\frac{u_B}{2} + \sqrt{u_D}} \quad \text{e} \quad u_T = \sqrt{-\frac{u_B}{2} - \sqrt{u_D}} \quad (3.62)$$

Se  $u_1$ ,  $u_2$  e  $u_3$  são reais (e, por conseguinte, se  $u_A$  e  $u_B$  são reais), e

Se  $u_D > 0$ , existe uma raiz real e duas raízes imaginárias conjugadas.

Se  $u_D = 0$ , existem três raízes reais das quais ao menos duas são iguais

Se  $u_D < 0$ , existem três raízes reais desiguais

Se  $u_D < 0$ , as fórmulas anteriores são impraticáveis. As raízes reais são:

$$x_1 = 2\sqrt{-\frac{u_A}{3}} \cos\left(\frac{\phi}{3}\right) \quad \text{ou} \quad V_{41} = 2\sqrt{-\frac{u_A}{3}} \cos\left(\frac{\phi}{3}\right) - \frac{u_1}{3} \quad (3.63)$$

$$x_2 = 2\sqrt{-\frac{u_A}{3}} \cos\left(\frac{\phi}{3} + 120^\circ\right) \quad \text{ou} \quad V_{42} = 2\sqrt{-\frac{u_A}{3}} \cos\left(\frac{\phi}{3} + 120^\circ\right) - \frac{u_1}{3} \quad (3.64)$$

$$x_3 = 2\sqrt{-\frac{u_A}{3}} \cos\left(\frac{\phi}{3} + 240^\circ\right) \quad \text{ou} \quad V_{43} = 2\sqrt{-\frac{u_A}{3}} \cos\left(\frac{\phi}{3} + 240^\circ\right) - \frac{u_1}{3} \quad (3.65)$$

onde  $\cos\phi = \pm \sqrt{\frac{u_B^2}{4} : \left(-\frac{u_A}{27}\right)}$  (3.66)

O sinal superior é utilizado se  $u_B$  é positivo e o sinal inferior se  $u_B$  é negativo.

Sequência de Cálculo:

Equações utilizadas	Resultados obtidos
1.(3.12) a (3.15)	$V_R, V_S, P_R = P_S$
2.(3.42),(3.43),(3.45) e (3.46)	$C_{1S}, C_{2S}, C_{1R} \text{ e } C_{2R}$
3.(3.49)	$C_{14} = C_{24}$
4.(3.54)	$u_1, u_2 = u_3$
5.(3.57)	$u_A = u_B$
6.(3.61)	$u_D$

7. Verifica-se o sinal de  $u_D$

Se  $u_D > 0$ :

8. (3.62)  $u_s = u_T$
9. (3.58)  $v_4$
10. (3.48)  $P_{P1} = P_{P2}$
11. (3.41) e (3.44)  $v_{P2} \text{ e } v_{P1}$  (respectivamente)

Se  $u_D = 0$ :

8. (3.62)  $u_s = u_T$
9. (3.58) ou (3.59) = (3.60): depende  $v_4$   
do de qual resultado estiver na faixa de estabilidade da curva característica dos ventiladores
10. (3.48)  $P_{P1} = P_{P2}$
11. (3.41) e (3.44)  $v_{P2} \text{ e } v_{P1}$  (respectivamente)

Se  $u_D < 0$ :

8. Verifica-se o sinal de  $u_B$
9. (3.66)  $\phi$
10. (3.63) ou (3.64) ou (3.65): depende  $v_4$   
do de qual resultado esti-

ver na faixa de estabilidade da curva característica dos ventiladores

11. (3.43)

$$PP_1 = PP_2$$

12. (3.41) e (3.44)

$$V_{P_2} \text{ e } V_{P_1} \text{ (respectivamente)}$$

Obs. 1: Nas expressões (3.54) utiliza-se  $V_4$  de passo anterior no tempo para cálculo de  $f_4$ .

Obs. 2: É usual escolherem-se os ventiladores de exaustão de tal forma que as vazões operacionais não caiam fora da faixa de estabilidade de sua curva característica (Vide ref. [29]).

### 3.4.c. Poço de Alívio

Aplicando a condição de contorno (2.39) nas equações (3.41) e (3.44), com posterior substituição destas na equação da continuidade (2.38), obtém-se

$$V_{P_5} = C_{15} + C_{25} p_5 \quad (3.67)$$

$$\text{onde } C_{15} = (C_{1R} - C_{1S}) \frac{\pi D_t^2}{4A_5} \quad \text{e} \quad C_{25} = (C_{2R} - C_{2S}) \frac{\pi D_t^2}{4A_5} \quad (3.68)$$

A diferença de pressão através do orifício que simula o poço é provocada pelas perdas de carga localizadas e distribuídas ao longo dos dutos. Logo

$$(\Delta p)_{\text{poço de alívio}} = p_5 - p_{\text{atm}} = \rho/2 f_5 \frac{L_{5\text{eq.}}}{D_{h5}} V_5 |V_5| \quad (3.69)$$

valores manométricos

onde  $L_{5\text{eq.}}$  e  $D_{h5}$  são respectivamente o comprimento equivalente e o diâmetro hidráulico do poço.

Conforme mencionado anteriormente, a válvula da abertura de alívio permanecerá aberta somente quando o trem estiver localizado entre a saída de exaustão e o fim do túnel. Logo, quando a válvula estiver fechada,  $V_5 = 0$  e os valores de  $V_{P_2} = V_{P_3}$  e  $p_5$  são cal-

culados tal qual os demais pontos internos da malha (eqs. (3.12) a (3.17)).

Para o caso da válvula estar aberta, pode-se calcular  $p_5$  através da expressão abaixo, obtida através da substituição da equação (3.67) na (3.69).

$$p_5 = \rho/2 f_5 \frac{L_{5\text{ eq.}}}{Dh_5} (C_{15} + C_{25} p_5) |_{C_{15} + C_{25} p_5} \quad (3.70)$$

↓                    ↓  
obtidos do passo anterior no tempo

Sequência de cálculo: (para a válvula aberta)

Equações utilizadas

Resultados obtidos

(3.12) a (3.15)

$V_R, V_S, P_R$  e  $P_S$

(3.42), (3.43), (3.45) e (3.46)

$C_{1s}, C_{2s}, C_{1R}$  e  $C_{2R}$

(3.68)

$C_{15} = C_{25}$

(3.70)

$P_P2 = P_P3$

(3.67)

$V_5$

(3.41) e (3.44)

$V_{P3}$  e  $V_{P2}$  (respectivamente)

Obs.: Na expressão (3.70) utiliza-se  $V_5$  do passo anterior no tempo para o cômputo de  $f_5$ . Quando este valor de  $V_5$  é zero (no passo anterior a válvula ainda não estava aberta),  $f_5$  é calculado usando a velocidade dada pela equação (3.67), na qual substitui-se a pressão  $p_5$  do passo anterior.

### 3.4.d. Saída do Túnel

Os valores de  $V_R$  e  $P_R$  são calculados através das equações de interpolação (3.12) a (3.14). Se  $V_{P3}$  do passo anterior no tempo for maior ou igual a zero, vale a condição de contorno (2.40), caso contrário, a (2.41). A substituição de uma destas condições de contorno na equação (3.44) possibilita o cálculo de  $V_{P3}$ .

### 3.5. Método dos mínimos quadrados com restrições

Neste trabalho, a técnica dos mínimos quadrados com res-

trições é utilizada para interpolar a curva característica dos ventiladores e, as curvas de velocidade e posição da frente do trem vs. tempo. Para esta aplicação, as principais vantagens são a sua relativa simplicidade e a possibilidade de ajuste, segundo o grau de precisão desejado.

O método consiste, basicamente, em dividir o intervalo total em sub intervalos, e para cada um atribuir um polinômio do 3º grau como função de ajuste. A junção dos polinômios deve estar submetida às seguintes restrições:

- a) o valor da função de 1a. derivada devem ser os mesmos para garantir uma continuidade da função.
- b) o valor da 2a. derivada deve ser o mesmo, para garantir a mesma curvatura.

Dividindo, por exemplo, o intervalo total em dois sub intervalos, tem-se os polinômios interpoladores.

$$y_1(x) = a_1 + b_1x + c_1x^2 + d_1x^3 \quad \text{e}$$

$$y_2(x) = a_2 + b_2x + c_2x^2 + d_2x^3$$

sujeitos às seguintes restrições na junção ( $x = x_0$ ):

$$(a) a_1 + b_1x_0 + c_1x_0^2 + d_1x_0^3 = a_2 + b_2x_0 + c_2x_0^2 + d_2x_0^3$$

$$\therefore \psi_1 = (a_1 - a_2) + (b_1 - b_2)x_0 + (c_1 - c_2)x_0^2 + (d_1 - d_2)x_0^3 = 0$$

$$(b) b_1 + 2c_1x_0 + 3d_1x_0^2 = b_2 + 2c_2x_0 + 3d_2x_0^2$$

$$\therefore \psi_2 = (b_1 - b_2) + 2x_0(c_1 - c_2) + 3x_0^2(d_1 - d_2) = 0$$

$$(c) 2c_1 + 6d_1x_0 = 2c_2 + 6d_2x_0$$

$$\therefore \psi_3 = 2(c_1 - c_2) + 6x_0(d_1 - d_2) = 0$$

Pela teoria dos multiplicadores de Lagrange:

$$S^2 = \frac{1}{N_1-1} \sum_{i=1}^{N_1} [y_i - y_1(x_i)]^2 + \frac{1}{N_2-1} \sum_{i=1}^{N_2} [y_i - y_2(x_i)]^2 + \lambda_1 \psi_1 + \lambda_2 \psi_2 + \lambda_3 \psi_3$$

onde

$x_i, y_i$ : abscissas e ordenadas, respectivamente, dos pontos a serem interpolados,

$N_1, N_2$ : número de pontos a serem interpolados, em cada sub intervalo, e

$\lambda_1, \lambda_2, \lambda_3$ : multiplicadores de Lagrange associados a cada restrição.

Condições de minimização, com restrições:

$$\frac{\partial S^2}{\partial a_1} = 0, \frac{\partial S^2}{\partial b_1} = 0, \frac{\partial S^2}{\partial c_1} = 0, \frac{\partial S^2}{\partial d_1} = 0,$$

$$\frac{\partial S^2}{\partial a_2} = 0, \frac{\partial S^2}{\partial b_2} = 0, \frac{\partial S^2}{\partial c_2} = 0, \frac{\partial S^2}{\partial d_2} = 0,$$

$$\frac{\partial S^2}{\partial \lambda_1} = \psi_1 = 0, \frac{\partial S^2}{\partial \lambda_2} = \psi_2 = 0, \frac{\partial S^2}{\partial \lambda_3} = \psi_3 = 0$$

Rearranjando o sistema de equações lineares resultante, em forma matricial, obtém-se:

0	0	0	0	$\frac{N_1-1}{2}$	0	0	0
0	0	0	0	$\frac{(N_1-1)x_0}{2}$	$\frac{N_1-1}{2}$	0	0
0	0	0	0	$\frac{(N_1-1)x_0^2}{2}$	$\frac{2(N_1-1)x_0}{2}$	$\frac{2(n_1-1)}{2}$	2
0	0	0	0	$\frac{(N_1-1)x_0^3}{2}$	$\frac{3(N_1-1)x_0^2}{2}$	$\frac{6(N_1-1)x_0}{2}$	2
$N_2$	$\sum_{i=1}^{N_2} x_i^2$	$\sum_{i=1}^{N_2} x_i^3$	$\sum_{i=1}^{N_2} x_i^4$	$\frac{1-N_2}{2}$	0	0	0
$N_2$	$\sum_{i=1}^{N_2} x_i^2$	$\sum_{i=1}^{N_2} x_i^3$	$\sum_{i=1}^{N_2} x_i^4$	$\frac{(1-N_2)x_0}{2}$	$\frac{1-N_2}{2}$	0	0
$N_2$	$\sum_{i=1}^{N_2} x_i^2$	$\sum_{i=1}^{N_2} x_i^3$	$\sum_{i=1}^{N_2} x_i^4$	$\frac{(1-N_2)x_0}{2}$	$\frac{2(1-N_2)x_0}{2}$	$\frac{2(1-N_2)}{2}$	2
$N_2$	$\sum_{i=1}^{N_2} x_i^2$	$\sum_{i=1}^{N_2} x_i^3$	$\sum_{i=1}^{N_2} x_i^4$	$\frac{(1-N_2)x_0}{2}$	$\frac{2(1-N_2)x_0}{2}$	$\frac{2(1-N_2)}{2}$	2
$N_2$	$\sum_{i=1}^{N_2} x_i^2$	$\sum_{i=1}^{N_2} x_i^3$	$\sum_{i=1}^{N_2} x_i^4$	$\frac{(1-N_2)x_0}{2}$	$\frac{3(1-N_2)x_0}{2}$	$\frac{6(1-N_2)x_0}{2}$	2
-1	$-x_0$	$-x_0^2$	$-x_0^3$	0	0	0	0
0	0	$-2x_0$	$-3x_0^2$	0	0	0	0
0	0	$-2$	$-6x_0$	0	0	0	0

$$\begin{bmatrix} \sum_{i=1}^{N_1} y_i \\ \sum_{i=1}^{N_1} y_i x_i \\ \sum_{i=1}^{N_1} y_i x_i^2 \\ \sum_{i=1}^{N_1} y_i x_i^3 \\ \hline a_1 & b_1 & c_1 & d_1 & e_2 & = & b_2 & c_2 & d_2 & \lambda_1 & \lambda_2 & \lambda_3 \\ \sum_{i=1}^{N_2} y_i \\ \sum_{i=1}^{N_2} y_i x_i \\ \sum_{i=1}^{N_2} y_i x_i^2 \\ \sum_{i=1}^{N_2} y_i x_i^3 \\ 0 & 0 & 0 & 0 & 0 & & 0 & 0 & 0 & 0 & 0 & 0 \end{bmatrix}$$

A resolução deste sistema fornece os coeficientes dos polinômios interpoladores.

Efetuando a divisão do intervalo total em  $M$  sub intervalos tem-se  $M$  polinômios, ou seja,  $4M$  coeficientes a determinar. Como há  $M-1$  pontos de junção tem-se  $3(M-1)$  multiplicadores de Lagrange. Logo, o número total de variáveis perfaz  $7M-3$ .

### 3.6. Programa para computador digital

O fluxograma básico do programa encontra-se na fig. 4. A fim de propiciar uma maior rapidez na análise dos resultados, foram inseridos, na leitura de dados, indicadores da existência de ventilação forçada e poço de alívio no túnel, possibilitando a simulação sem alterar o programa, das seguintes situações:

- (a) ventilação natural (devido somente ao efeito de pistão), sem poço de alívio.
- (b) ventilação natural (devido somente ao efeito de pistão), com poço de alívio.
- (c) Efeito de pistão mais ventilação forçada, sem poço de alívio.
- (d) Efeito de pistão mais ventilação forçada, com poço de alívio.

Apesar do programa ter sido montado para a configuração geométrica da fig. 1 e para o caso em que o intervalo de tempo entre a passagem de dois trens consecutivos é maior que o tempo de travessia do túnel, ele pode ser facilmente adaptado a outras situações, utilizando os mesmos princípios discutidos neste trabalho.

A estruturação do programa foi feita de maneira a permitir uma visualização clara dos diversos passos envolvidos na execução, além de facilitar eventuais correções ou alterações de seus componentes. A sua otimização, em termos computacionais, dependerá dos objetivos específicos a serem almejados em futuras aplicações.

A listagem, em FORTRAN IV, é apresentada a seguir.

SISTEMA DE VENTILACAO EM TUNEIS DE METRO , TIPO COURAÇA  
DISTRIBUICÕES DE PRESSAO , VELOCIDADE , VIBRÃO E ARRASTO AERODINAMICO  
REAL+8 DDE(9), DDG(58), DDP(58), DG(2, 4), DT1(9), DTIME1(58), DXND2(58), DV  
\*RXC(2, 4), DVND2(58), DRV(2, 4), DT2(9), DTIME2(58), DXND3(58), DBX(2, 4), DV  
\*ND3(58), DBV(2, 4), DT3(9), DTIME3(58), DXND4(58), DCX(2, 4), DVND4(58), DC  
EV(2, 4)

DIMENTION P1(38, 181), V1(38, 181), P2(38/74, 181), V2(38/74, 181), P3(74/75, 181), V3(74/75, 181), S1(181), R2(181), R3(181), R4(181), S5(181), S1M0  
\*(2), S2M0(3), S3M0(3), S4M0(3), S5M0(3), FD(181), VVE(2788), VV(2788), PL1  
\*(282), PL2(158), R(58), RE(9), DP(58), TIMEE1(9), TIME1(58), MN02(58), VN0  
\*2(58), G(2, 4), RM(2, 4), RV(2, 4), TIMEE2(9), TIMEE3(9), TIME2(58), TIME3(58),  
XND3(58), XND4(58), VND3(58), VND4(58), BX(2, 4), BV(2, 4), CX(2, 4), CV(2, 4),  
PIE(38), VIE(38), P2E(38/74), V2E(38/74), P3E(74/75), V3E(74/75)

#### LEITURA DE DRROS

##### CARACTERISTICAS DO FLUIDO

REBD(2, 10TEPM, CPCV, R, RD, RM)

FORMAT(4F9. 4, E18. 1)

##### CARACTERISTICAS GEOMETRICAS E DE PERDA DE CARGA

RERD(2, 26DIV, RLW, DLT, RLT, DIH4, R4, RLW4, DIH5, R5, RLW5, DPIND, MAR)

FORMAT(11F7. 1, 12)

##### INCREMENTOS

REBD(2, 3DX, DT)

FORMAT(F4. 0, F5. 3)

##### DRROS EXPERIMENTAIS

RERD(2, 40N, Z, ERTR, DRFO, FT, FITR, FIPO)

FORMAT(2F5. 3, SF18. 5)

INTERVALO DE TEMPO ENTRE A PASSAGEM DE DOIS TRENS CONSECUTIVOS

NUMERO DE PERIODOS NO TEMPO , A SEREM ANALIZADOS

INDICADOR DA EXISTENCIA DE POCO DE ALIVIO NO TUNEL

INDICADOR DA EXISTENCIA DE VENTILACAO FORCADA

REBD(2, SCHWAV, NPT, KPA, KV)

FORMAT(2F7. 2, 213)

VAZOES DEVIDO SOMENTE A VENTILACAO FORCADA

REBD(2, 6) RVF, LVF, RVF

FORMAT(SF18. 2)

IFCKVF, ER, 8000 TO 1000

CURVA CARACTERISTICA DOS VENTILADORES DE EXAUSTAO - INTERPOLACAO  
NUMERICA PELO MÉTODO DOS MINIMOS QUADRADOES , COM RESTRIÇOES

RERD(2, 7)NPE1, CRCL1, I=1, NPE1)

FORMAT(12, SF18. 3)

RERD(2, 8)NPE1, CRCL1, DPC1, I=1, NPE1)

FORMAT(12, SF18. 3)

DO 1081 1-1, NPE1

DO 1082 1-1, NPE1

DO 1083 1-1, NPE1

DO 1084 1-1, NPE1

DO 1085 1-1, NPE1

FORMAT(12, SF18. 3)

NPE11, NPE1-1

DO 1086 1-1, NPE1

DO 1087 1-1, NPE1

FORMAT(12, SF18. 3)

FORMAT(12, SF18. 3) - VENTILADORES DE EXAUSTAO

FORMAT(12, SF18. 3) - VENTILADORES DE EXAUSTAO

```
N=1  
N=101  
M=2  
NL=N  
NS=0  
IFI=3  
IJK=1  
DQPL=(REC(NPE1)-REC(1))/100  
DO 4326 I=1,N  
PL1(I)=FLOAT(I-1)*DQPL+REC(1)  
IN=I+N  
IF(CPL1(I)> GT.(REC(IJK+1))IJK=IJK+1  
PL1(I)=G(IJK,1)+G(IJK,2)*PL1(I)+G(IJK,3)*PL1(I)**2+G(IJK,4)*PL1(I  
*3)**3  
CALL PLOT(NB, PL1, N, M, NL, NS, IFI)
```

CURVRS: VELOCIDADE E POSICAO DA FRENT DO TREM VS. TEMPO - INTERPOLACAO  
NUMERICA PELO METODO DOS MINIMOS QUADRADOS , COM RESTRICOES

```
READ(2,30)NPE2,(TIMEE1(I),I=1,NPE2)  
FORMAT(12,3F10.3)  
READ(2,31)NP2,(XND2(I),VND2(I),I=1, NP2)  
FORMAT(13,/,3F10.3)  
DO 1284 I=1,NPE2  
DT1(I)=TIMEE1(I)  
DO 1285 I=1, NP2  
DTIME1(I)=TIME1(I)  
DXND2(I)=XND2(I)  
DVND2(I)=VND2(I)  
CALL SUBINT(NPE2, DT1, NP2, DTIME1, DXND2, DRX)  
CALL SUBINT(NPE2, DT1, NP2, DTIME1, DVND2, DRV)  
NPE21=NPE2-1  
DO 1286 I=1, NPE21  
DO 1286 J=1, 4  
RX(I,J)=DRX(I,J)  
RV(I,J)=DRV(I,J)  
READ(2,32)NPE3,(TIMEE2(I),I=1,NPE3)  
FORMAT(12,3F10.3)  
READ(2,33)NP3,(XND3(I),VND3(I),I=1, NP3)  
FORMAT(13,/,3F10.3)  
DO 1287 I=1,NPE3  
DT2(I)=TIMEE2(I)  
DO 1288 I=1, NP3  
DTIME2(I)=TIME2(I)  
DXND3(I)=XND3(I)  
DVND3(I)=VND3(I)  
CALL SUBINT(NPE3, DT2, NP3, DTIME2, DXND3, DRX)  
CALL SUBINT(NPE3, DT2, NP3, DTIME2, DVND3, DRV)  
NPE31=NPE3-1  
DO 1289 I=1, NPE31  
DO 1289 J=1, 4  
RX(I,J)=DRX(I,J)  
RV(I,J)=DRV(I,J)  
READ(2,34)NPE4,(TIMEE3(I),I=1,NPE4)  
FORMAT(12,3F10.3)  
READ(2,35)NP4,(XND4(I),VND4(I),I=1, NP4)  
FORMAT(13,/,3F10.3)  
DO 1210 I=1,NPE4  
DT3(I)=TIMEE3(I)  
DO 1211 I=1, NP4  
DTIME3(I)=TIME3(I)  
DXND4(I)=XND4(I)  
DVND4(I)=VND4(I)  
CALL SUBINT(NPE4, DT3, NP4, DTIME3, DXND4, DRX)
```



FORMAT(1H1, 37X, 4BH) VELOCIDADE DO TREM (CM/SEG) \* TEMPO (SEG)

?????, (18F12.4), ???

DO 42  
DO 47 I=1, N  
IMN=I+CMN-10\*(I-1)  
IN=I+N  
PL1(KIND)=VVC(MN)  
CALL PLOT(NO, PL1, N, M, NL, NS, IF1)

PARAMETROS AUXILIARES

RLT2=ALT/2  
NMED=IFIX(CBLT/C2.\*DX)+1  
NMAX=IFIX(CBLT/DX)+1  
MRA=MMAX-NRA  
MRB1=MRA-1  
MRB2=MRA+1  
DTTOT=HWR4  
NTOTBL=1IFIX(DTTOT/DT2)+1  
DTRA=DIV/DIT  
DTA=DT/DX  
R=SQRT(9.81\*CPCV\*R\*TEMPO)

DISTRIBUICAO INICIAL DE VELOCIDADES , PRESSOES E VAZOES , DEVIDO SOMENTE A VENTILACAO FORCADA

DO 41 M=1, NMED  
V1(CM, 1)=QVF/E(.7854\*DIT)\*\*2  
V1(CM)=V1(CM, 1)  
DO 42 M=NMED, MRA  
V2(CM, 1)=QVF/D(.7854\*DIT)\*\*2  
V2(CM)=V2(CM, 1)  
DO 43 M=MRA, MMRA  
V3(CM, 1)=QVF/D(.7854\*DIT)\*\*2  
V3(CM)=V3(CM, 1)  
VGE=QVF/R4  
VSE=0.  
IF(CKE, EQ, 0) GO TO 1562  
NPE11=NPE1-1  
DO 44 I=1, NPE11  
IF(CKE, GT, RE(1+1)\*GO TO 44  
DPVENT=GCI, 10+GCI, 20+QVF+GCI, 30+QVF\*\*2+GCI, 40+QVF\*\*3  
DO TO 45  
CONTINUE  
RE4=RESCVAE\*DIAH4/RH4  
F4=0.  
IF(CRE4, EQ, 0) GO TO 47  
IF(CRE4, GT, R200, ) GO TO 4110  
F4=64./RE4  
GO TO 47  
F4=1.325474\*CHLDG(2, 0)+CRE4\*SQRT(CIPGD+RRPGD).370\*\*2  
P1CMED, 1)=P0V2.\*FAIRLAW4/DIAH4\*RESCVAE-DRVENT+DFINE0  
GO TO 1562  
P1CMED, 1)=0.  
P2CMED>P1CMED, 1)  
P2CMED, 1)=P1CMED, 1)  
P2CMED)=P2CMED, 1)  
P3R=RT  
NMED=RMED-1  
PB 50 N=1, NMED  
P1CM, 1)=P1CMED, 1)+R2/2.\*FTR+FLOT(CM1)-R2/2\*RT\*VACM, 1)+R25\*VACM  
+120  
P1CM, 1)=P1CMED, 1)

```

P2(M, 1)=P2(MMED, 1)+RD/2.*FTR+FLDRT(MMED-M)*DX/DIT*V2(M, 1)*RBS(V2(M
*, 1))
P2E(M)=P2(M, 1)
MMRX1=MMRX-1
DO 56 M=MRA, MMRX
P3(M, 1)=P2(MMED, 1)+RD/2.*FTR+FLDRT(MMED-M)*DX/DIT*V3(M, 1)*RBS(V3(M
*, 1))
P3E(M)=P3(M, 1)
PDEXT=P1(1, 1)+.B5*RD*V1(1, 1)**2
Q1(1)=QVFE
Q2(1)=QVFD
Q3(1)=Q2(1)
Q4(1)=QVF
Q4E=Q4(1)
Q5(1)=0.
Q1M=0.
Q2M=0.
Q3M=0.
Q4M=0.
Q5M=0.
FD(1)=0.
FDH=FD(1)/2.

```

MNTOT=CONTTRL-10/100  
 DO 142 K=1, NPT  
 Q1MCKO=Q1(1)/2.  
 Q2MCKO=Q2(1)/2.  
 Q3MCKO=Q3(1)/2.  
 Q4MCKO=Q4(1)/2.  
 Q5MCKO=Q5(1)/2.  
 ISRI=MN+1  
 ITDT=MNTOT+1  
 ICO1=1  
 ICO2=1  
 DO 82 N=2, N5R1D  
 T=CFLORTCND-1.0+DT  
 XVELV=XVE(CND)-BLV  
 M=1  
 N=CFLORTCND-1.0+DT  
 V5=(V1E(CND)-TETRA\*R)+(V1E(CM)+1000)/CL - TETRA\*(V1E(CND)-V1E(CM)+1000)  
 PS=P1E(CND)+TETRA\*(V5-R)\*(P1E(CND)-P1E(CM+1000))  
 P1E1=P1E(CM)  
 P1E(CM)=PDENT+.05\*RD\*V5\*\*2  
 DRLL SIDES(CM, T, M, DT, R, BLV, RNI, DIT, DIV, BETR, VS, XVE, MM, V, Z, DTTR, RKS  
 SIES, RKSENE, FTS, FVE, FMS, RKS, RKS, VSTR, VD, RRTR, FITR, FTS)  
 V1E1=V1E(CD)  
 V1E(CM)=VS+1.0\*RD\*P1E(CND)-P1E(CM+1000)/CL + DT\*V0\*AB5(VD)+CDT-CTTR50  
 + P1E\*DTTR50/CL + DT\*V0\*CL - BETR\*VS+V5\*AB5(V5\*TR)-SETRA\*FVE+DTTR50/CL  
 + DT\*V0\*CL - BETR\*VS+V5\*AB5(V5\*TR)-V1E(CND)+P1E(CM+1000)/CL + DT\*V0\*CL - CL  
 + - BETR\*VS+V5\*AB5(V5\*TR)-RKSENE+RKSENE+SETRA\*FVE+CEKES+RKSENE+RKSENE+V5\*TR  
 + V5\*TR-V1E(CND)+V5\*TR  
 DRLL SIDES(CM, T, M, DT, R, BLV, RNI, DIT, DIV, BETR, VS, XVE, MM, V, Z, DTTR, RKS  
 SIES, RKSENE, FTS, FVE, FMS, RKS, RKS, VSTR, VD, RRTR, FITR, FTS)  
 TDCM, ED, ITDT, DO TO 142  
 GO TO 144  
 1000=1000+1  
 P1E(M, 1000)=P1E(CM)  
 V1E(M, 1000)=V1E(CM)  
 DO 142 N=2, N5R1D  
 M=CFLORTCND-1.0+DT

15=CV1E<sup>(M)</sup>-TETR\*<sup>R</sup>\*CV1E<sup>(M)</sup>-V1E<sup>(M+1)</sup>00/1. -TETR\*CV1E<sup>(M)</sup>-V1E<sup>(M+1)</sup>00  
25=P1E<sup>(M)</sup>\*TETR\*CV5-RD\*CP1E<sup>(M)</sup>-P1E<sup>(M+1)</sup>00  
CALL SIDERCK, T, N, DT, R, ALV, ANI, DIT, DIV, BETA, VR, XVE, VV, Y, Z, DTTRR, AKS  
IER, AKSIWR, FTR, FVR, FWR, AKER, AKNR, VRTR, VE, RRTR, FITR, FTD  
CALL SIDESCK, T, N, DT, R, ALV, ANI, DIT, DIV, BETA, VS, XVE, VV, Y, Z, DTTRS, AKS  
IES, AKSIE5, FTS, FVS, FWS, AKS, VSTR, VD, RRTR, FITR, FTD  
ME1=V1E<sup>(M)</sup>  
V1E<sup>(M)</sup>=, 58\*(VR+VS+1, /CRD+RD)\*CPR-P50-1, /C2, \*DITD\*CFTR\*(DT-DTTRR)\*VE  
\*RBS(CVED)+FTS\*(DT-DTTR5)\*VD\*RBS(VD)-1, /C2, \*DIT\*(1, -BETR\*\*20)\*DTTR  
2+CFSR\*VRTR+RBS(CVRTR)+BETR+FVR\*(VRTR-VV<sup>(M)</sup>)+RBS(CVRTR-VV<sup>(M)</sup>)+DTTR5  
\*(CNS\*VSTR+RBS(CVSTR)+BETR+FVS\*(VSTR-VV<sup>(M)</sup>)+RBS(CVSTR-VV<sup>(M)</sup>)+1, /C2  
+RD)\*(C1, -C1, -BETR\*\*20)\*2\*(AKSIE5-AKSIWR)+BETR\*\*4\*(AKER\*AKSIE5+  
AKR\*AKSIE5)+\*(VRTR-VV<sup>(M)</sup>)\*2+(C1, -C1, -BETR\*\*20)\*2\*(AKSIES-AKSIW50+  
+BETR\*\*4\*(AKER\*AKSIE5+AKS+AKSIE5+AKSIE5+VSTR-VV<sup>(M)</sup>)\*20  
P1E1=P1E<sup>(M)</sup>  
P1E<sup>(M)</sup>=, 58\*(PR+PS+RD\*R\*(VR-VS)-RD\*R/C2, \*DITD\*CFTR\*(DT-DTTRR)\*VE\*AB  
SCVED+FTS\*(DT-DTTR5)\*VD\*RBS(VD)-RD\*R/C2, \*DIT\*(1, -BETR\*\*20)\*DTTR  
\*(FWR\*VRTR+RBS(CVRTR)+BETR+FVR\*(VRTR-VV<sup>(M)</sup>)+RBS(CVRTR-VV<sup>(M)</sup>)-DTTR5+  
\*(FWS\*VSTR+RBS(CVSTR)+BETR+FVS\*(VSTR-VV<sup>(M)</sup>)+RBS(CVSTR-VV<sup>(M)</sup>)-RD/R/C2, \*  
\*(C1, -C1, -BETR\*\*20)\*2\*(AKSIE5-AKSIWR)+BETR\*\*4\*(AKER\*AKSIE5+AKR\*  
AKSIE5)+\*(VRTR-VV<sup>(M)</sup>)\*2+(C1, -C1, -BETR\*\*20)\*2\*(AKSIES-AKSIW50)+BETR  
\*\*4\*(AKER\*AKSIE5+AKS+AKSIE5+AKSIE5+VSTR-VV<sup>(M)</sup>)\*20  
Q1EM=V1E<sup>(M)</sup>\*, 785379\*DIT\*\*2  
IF(XVE<sup>(M)</sup>, GE, X, RND, XVELV, LE, X) Q1EM=Q1EM\*(1, -BETR\*\*20  
R1E=Q1E+Q1EM  
IF(N, EQ, 1) DT200 TO 105  
GO TO 10  
P1CM, IC020=P1E<sup>(M)</sup>  
V1CM, IC020=V1E<sup>(M)</sup>  
CONTINUE  
N=MNEED  
X=CFLDAT<sup>(M)</sup>-1, /RDX  
VR=CV1E<sup>(M)</sup>-TETR\*<sup>R</sup>\*CV1E<sup>(M)</sup>-V1E100/1. +TETR\*CV1E<sup>(M)</sup>-V1E100  
PR=P1E<sup>(M)</sup>-TETR\*CVR+RD\*CP1E<sup>(M)</sup>-P1E100  
CALL SIDERCK, T, N, DT, R, ALV, ANI, DIT, DIV, BETA, VR, XVE, VV, Y, Z, DTTRR, AKS  
IER, AKSIWR, FTR, FVR, FWR, AKER, AKNR, VRTR, VE, RRTR, FITR, FTD  
VS=CV2E<sup>(M)</sup>-TETR\*<sup>R</sup>\*CV2E<sup>(M)</sup>-V2E<sup>(M+1)</sup>00/1. -TETR\*CV2E<sup>(M)</sup>-V2E<sup>(M+1)</sup>00  
PS=P2E<sup>(M)</sup>+TETR\*CV5-RD\*CP2E<sup>(M)</sup>-P2E<sup>(M+1)</sup>00  
CALL SIDESCK, T, N, DT, R, ALV, ANI, DIT, DIV, BETA, VS, XVE, VV, Y, Z, DTTRS, AKS  
IES, AKSIE5, FTS, FVS, FWS, AKS, VSTR, VD, RRTR, FITR, FTD  
C1=VR+FVR/CRD+RD-FTR/C2, \*DITD\*VE\*AB5(CVED)+(DT-DTTRR)-FWR\*DTTRR/C2, \*D  
IT\*(1, -BETR\*\*20)\*VRTR+RBS(CVRTR)-BETR+FVR\*DTTRR/C2, \*DIT\*(1, -BETR\*\*2  
0)\*VRTR-VV<sup>(M)</sup>)+RBS(CVRTR-VV<sup>(M)</sup>)+1, /C2, \*RD\*(C1, -C1, -BETR\*\*20)\*2\*(A  
KER\*AKSIE5)+BETR\*\*4\*(AKER\*AKSIE5+AKR\*AKSIE5)+\*(VRTR-VV<sup>(M)</sup>)\*2  
C1L=-1, /CRD+RD  
C2=VE\*PS\*(RD+RD-FTS/C2, \*DITD\*VD\*RBS(VD)+(DT-DTTRR)-FWS\*DTTRR/C2, \*D  
IT\*(1, -BETR\*\*20)\*VE\*AB5(CVED)-BETR+FVS\*DTTRR/C2, \*DIT\*(1, -BETR\*\*2  
0)\*VE\*CFTR-VV<sup>(M)</sup>)+RBS(CVSTR-VV<sup>(M)</sup>)+1, /C2, \*RD\*(C1, -C1, -BETR\*\*20)\*2\*(A  
KES-AKES)+BETR\*\*4\*(AKER\*AKSIE5+AKS+AKSIE5+VSTR-VV<sup>(M)</sup>)\*2  
C2L=-1, \*C1L  
C1L=1, \*P1A(DITD\*VR+RD\*(C1-C2))  
C2L=1, \*P1A(DITD\*VR+RD\*(C1L-C2L))  
IF(CM<sup>(M)</sup>, LT, M, DA, XVELV, ST, DT200 TO 105)  
C1L=C1L\*(1, -BETR\*\*20)  
C2L=C2L\*(1, -BETR\*\*20)  
P1E=PR\*(V1E<sup>(M)</sup>-P1E<sup>(M)</sup>)  
IF(CREAN, LT, M, DA, XVELV, ST, DT200 TO 105)  
P1E=0  
GO TO 59  
IF(CREA, ST, 2200, 200 TO 105)  
F4=54, JRE4  
GO TO 59  
END

```

DO 60 I=1, NPE11
IF(CR4E, LE, RECI+1) GO TO 61
CONTINUE
U1=-C12L*(R0+F4*RLEQ4/2, *DIH4)-R4**2*B(I, 300)/(C12L*R4**3*B(I, 4))
U2=(1, +C12L*R4*B(I, 200)/(C12L*R4**3*B(I, 4)))
U3=(C12L*(B(I, 1)-BFIN50)-C12)/(C12L*R4**3*B(I, 4))
UR=(-3, *U2-U1**2)/3,
UB=(-3, *U1+U2+27, *U3+2, *U1**3)/27,
UD=UB**2/4, +UR**3/27,
IF(UD)145, 147, 62
CTETRV=SQRT(UB**2/4, /(-UR**3/27, ))
IF(UB, GT, 0) CTETRV=-1, *CTETRV
STETRV=SQRT(C1, -CTETRV**2)
TTETRV=STETRV/CTETRV
TETRV=BTAN(TTETRV)
GO 911 I=1, 3
V4E=2, *SQRT(-UR/3, )+COS(TETRV/3, +FLOAT(I-1)*2, 0943))-U1/3,
Q4E=V4E*R4
IF(CR4E, GE, RE(1), AND, Q4E, LE, RE(NPE1)) GO TO 181
CONTINUE
GO TO 181
V4E=-2, *SQRT(-UR/3, )-U1/3,
IF(UB, LT, 0) V4E=-1, *V4E
Q4E=V4E*R4
IF(CR4E, GE, RE(1), AND, Q4E, LE, RE(NPE1)) GO TO 181
V4E=SQRT(-UR/3, )-U1/3,
IF(UB, LT, 0) V4E=-1, *V4E
Q4E=V4E*R4
GO TO 181
US=(-UB/2, +SQRT(UD))**, 333332
UT=(-UB/2, -SQRT(UD))**, 333332
V4E=US+UT-U1/3,
Q4E=V4E*R4
IVER=4
P1E(M)=V4E-C12)/C12L
GO TO 1565
P1E(M)=R0+F4*RLEQ4/2, *DIH4)*(C12+C12L*P1E(M))*RBE*(C12+C12L*P1E(M))
P4E=C12+C12L*P1E(M)
Q4E=V4E*R4
P2E(M)=P2E(M)
P2E(M)=P1E(M)
V1E(M)=C1+C1L*P1E(M)
V2E1=V2E(M)
V2E(M)=C2+C2L*P2E(M)
Q1EM=V1E(M)*, 39269*D1T**2
Q2E=V2E(M)*, 39269*D1T**2
IF(CRVE(M), LT, 0, CR, KVELV, GT, 0) GO TO 1832
C1EM=R1EM=C1, -P1TR*42
R2E=Q2E+C1, -P1TR*42
C1EM=C1, +P1TR*42+C1EM
R1MKD=R1MKD+C1E
R4MKD=R4MKD+C1E
IF(CM, EQ, 1) GO TO 186
DO TO 187
C1CM, 10000+P1E(M)
C1CM, 10000+V1E(M)
C2CM, 10000+P2E(M)
C2CM, 10000+V2E(M)
C1C10000+P1E
C1C10000+P1E
D_14_N-KMDS, MPA1
CFLIRT(M)=1, P1E
P1CFLIRT(M)=1, P1E

```

PR=P2E(M)-TETR\*(V2E(R)+P2E(M)-P2E1)

VS=(V2E(M)-TETR+R\*(V2E(M)-V2E(M+1)))/ $\langle 1. - TETR*(V2E(M)-V2E(M+1)) \rangle$

PS=P2E(M)+TETR\*(VS-R)\*(P2E(M)-P2E(M+1))

CALL SIDER(X, T, N, DT, R, RLV, ANI, DIT, DIV, BETR, VR, XVE, VV, Y, Z, DTTRR, AKS  
+IER, RKS1NR, FTR, FVR, FWR, RKER, RKNR, VRTR, VE, RRTR, FITR, FT)  
CALL SIDER(X, T, N, DT, R, RLV, ANI, DIT, DIV, BETR, VS, XVE, VV, Y, Z, DTTRS, AKS  
+IES, RKS1NS, FTS, FVS, FWS, RKS, RKN, VSTR, VO, RRTR, FITR, FT)

V2E1=V2E(M)

V2E(M)=, 5B\*(CVR+VS+1, / $\langle R0+R \rangle * \langle PR-P5 \rangle -1, / \langle 2, +DIT \rangle * \langle FTR * \langle DT-DTTRR \rangle + VVE$   
\*\*BRE(CVE)+FTS\* $\langle DT-DTTR \rangle + VD * \langle BBS \rangle \langle VD \rangle -1, / \langle 2, +DIT \rangle \langle 1, -SETR * \langle 2 \rangle * \langle DTTR$   
\*R \* \langle FMR \* VRTR \* \langle BBS \rangle \langle VRTR \rangle + BETR \* FVR \* \langle VRTR - VV \rangle \langle N \rangle + \langle BBS \rangle \langle VRTR - VV \rangle \langle N \rangle + DTTR \rangle  
\*\* $\langle FMS * VSTR * \langle BBS \rangle \langle VSTR \rangle + BETR * FVS * \langle VSTR - VV \rangle \langle N \rangle + \langle BBS \rangle \langle VSTR - VV \rangle \langle N \rangle + 1, / \langle 2$   
\*, \*R \rangle \* \langle C1, -\langle 1, -BETR \* \langle 2 \rangle \* \langle 2 \rangle + \langle RKS1ER - RKS1NR \rangle + BETR \* \langle 4 \rangle \* \langle RKER \* RKS1ER + R  
\*KNS \* RKS1NR \rangle \* \langle VRTR - VV \rangle \langle N \rangle + \langle 2 \rangle + \langle C1, -\langle 1, -BETR \* \langle 2 \rangle \* \langle 2 \rangle + \langle RKS1ES - RKS1NS \rangle  
+ BETR \* \langle 4 \rangle \* \langle RKS1ER - RKS1ES + RKS1NS \* RKS1NS \rangle \* \langle VSTR - VV \rangle \langle N \rangle + \langle 2 \rangle

P2E1=P2E(M)

P2E(M)=, 5B\*(CPR+FS+R0+R\*(CVR-VE)-R0\*R/ $\langle 2, +DIT \rangle * \langle FTR * \langle DT-DTTRR \rangle + VVE + R0B$   
+S\*CVE)-FTS\* $\langle DT-DTTR \rangle + VD * \langle BBS \rangle \langle VD \rangle -R0*R/\langle 2, +DIT \rangle \langle 1, -BETR * \langle 2 \rangle * \langle DTTR$   
\* \langle FMR \* VRTR \* \langle BBS \rangle \langle VRTR \rangle + BETR \* FVR \* \langle VRTR - VV \rangle \langle N \rangle + \langle BBS \rangle \langle VRTR - VV \rangle \langle N \rangle + DTTR \rangle  
\*\* $\langle FMS * VSTR * \langle BBS \rangle \langle VSTR \rangle + BETR * FVS * \langle VSTR - VV \rangle \langle N \rangle + \langle BBS \rangle \langle VSTR - VV \rangle \langle N \rangle + R0/\langle 2, +$   
\* \langle C1, -\langle 1, -BETR \* \langle 2 \rangle \* \langle 2 \rangle + \langle RKS1ER - RKS1NR \rangle + BETR \* \langle 4 \rangle \* \langle RKER \* RKS1ER + RKS1ER + R  
\*KNS1NR \rangle \* \langle VRTR - VV \rangle \langle N \rangle + \langle 2 \rangle + \langle C1, -\langle 1, -BETR \* \langle 2 \rangle \* \langle 2 \rangle + \langle RKS1ES - RKS1NS \rangle + BETR  
\* \langle 4 \rangle \* \langle RKS1ER - RKS1ES + RKS1NS \* RKS1NS \rangle \* \langle VSTR - VV \rangle \langle N \rangle + \langle 2 \rangle

Q2EM=V2E(M)\*, 785379\*DIT\*#2

IF(CXVE(N)), GE, X, END; XVELV, LE, X0R2EM=Q2EM+ $\langle 1, -BETR * \langle 2 \rangle$

Q2E=Q2E+Q2EM

IF(N, EQ, ITDT) GO TO 158

GO TO 14

P2CM, ICO2)=P2E(M)

V2CM, ICO2)=V2E(M)

CONTINUE

M=MRR

X=CELDRT(M)-1, 2\*DM

VR=(V2E(M)-TETR+R\*(V2E(M)-V2E1))/ $\langle 1, +TETR*(V2E(M)-V2E1) \rangle$

PR=P2E(M)-TETR\*(V2E(R)+P2E(M)-P2E1)

CALL SIDER(M, T, N, DT, R, RLV, ANI, DIT, DIV, BETR, VR, XVE, VV, Y, Z, DTTRR, AKS  
+IER, RKS1NR, FTR, FVR, FWR, RKER, RKNR, VRTR, VE, RRTR, FITR, FT)

VS=(V2E(M)-TETR+R\*(V2E(M)-V2E1))/ $\langle 1, -TETR*(V2E(M)-V2E1) \rangle$

PS=P2E(M)+TETR\*(VS-R)\*(P2E(M)-P2E(M+1))

CALL SIDER(M, T, N, DT, R, RLV, ANI, DIT, DIV, BETR, VS, XVE, VV, Y, Z, DTTRS, AKS  
+IES, RKS1NS, FTS, FVS, FWS, RKS, RKN, VSTR, VO, RRTR, FITR, FT)

IF(CKPR, ER, BYGD) GO TO 1358

IF(CXVE(N)), ST, ALTRD, GO TO 62

V2E(M)=, 5B\*(CVR+VS+1, / $\langle R0+R \rangle * \langle PR-P5 \rangle -1, / \langle 2, +DIT \rangle * \langle FTR * \langle DT-DTTR \rangle + VVE$   
+ $\langle BBS \rangle \langle VD \rangle + FTS * \langle DT-DTTR \rangle + VD * \langle BBS \rangle \langle VD \rangle -1, / \langle 2, +DIT \rangle \langle 1, -BETR * \langle 2 \rangle * \langle DTTR$   
\* \langle FMR \* VRTR \* \langle BBS \rangle \langle VRTR \rangle + BETR \* FVR \* \langle VRTR - VV \rangle \langle N \rangle + \langle BBS \rangle \langle VRTR - VV \rangle \langle N \rangle + DTTR \rangle  
\*\* $\langle FMS * VSTR * \langle BBS \rangle \langle VSTR \rangle + BETR * FVS * \langle VSTR - VV \rangle \langle N \rangle + \langle BBS \rangle \langle VSTR - VV \rangle \langle N \rangle + 1, / \langle 2$   
\*, \*R \rangle \* \langle C1, -\langle 1, -BETR \* \langle 2 \rangle \* \langle 2 \rangle + \langle RKS1ER - RKS1NR \rangle + BETR \* \langle 4 \rangle \* \langle RKER \* RKS1ER + R  
\*KNS1NR \rangle \* \langle VRTR - VV \rangle \langle N \rangle + \langle 2 \rangle + \langle C1, -\langle 1, -BETR \* \langle 2 \rangle \* \langle 2 \rangle + \langle RKS1ES - RKS1NS \rangle  
+ BETR \* \langle 4 \rangle \* \langle RKS1ER - RKS1ES + RKS1NS \* RKS1NS \rangle \* \langle VSTR - VV \rangle \langle N \rangle + \langle 2 \rangle

P2E(M)=, 5B\*(CPR+FS+R0+R\*(CVR-VE)-R0\*R/ $\langle 2, +DIT \rangle * \langle FTR * \langle DT-DTTR \rangle + VVE + R0B$   
+S\*CVE)-FTS\* $\langle DT-DTTR \rangle + VD * \langle BBS \rangle \langle VD \rangle -R0*R/\langle 2, +DIT \rangle \langle 1, -BETR * \langle 2 \rangle * \langle DTTR$   
\* \langle FMR \* VRTR \* \langle BBS \rangle \langle VRTR \rangle + BETR \* FVR \* \langle VRTR - VV \rangle \langle N \rangle + \langle BBS \rangle \langle VRTR - VV \rangle \langle N \rangle + DTTR \rangle  
\*\* $\langle FMS * VSTR * \langle BBS \rangle \langle VSTR \rangle + BETR * FVS * \langle VSTR - VV \rangle \langle N \rangle + \langle BBS \rangle \langle VSTR - VV \rangle \langle N \rangle + R0/\langle 2, +$

\* \langle C1, -\langle 1, -BETR \* \langle 2 \rangle \* \langle 2 \rangle + \langle RKS1ER - RKS1NR \rangle + BETR \* \langle 4 \rangle \* \langle RKER \* RKS1ER + RKS1ER + R

\*KNS1NR \rangle \* \langle VRTR - VV \rangle \langle N \rangle + \langle 2 \rangle + \langle C1, -\langle 1, -BETR \* \langle 2 \rangle \* \langle 2 \rangle + \langle RKS1ES - RKS1NS \rangle + BETR

\* \langle 4 \rangle \* \langle RKS1ER - RKS1ES + RKS1NS \* RKS1NS \rangle \* \langle VSTR - VV \rangle \langle N \rangle + \langle 2 \rangle

P2E1=P2E(M)

V2E1=V2E(M)

PS=P2E(M)-P2E1

V2E1=V2E(M)

PS=P2E(M)-P2E1

V2E1=V2E(M)

\*IT<1. -BETR+\*2>+VRTR+RBS<VRTR>-BETA+FVR+DTTR/(<2. +DIT<1. -BETR+\*2  
\*>>\*<VRTR-VV<ND>>+RBS<VRTR-VV<ND>>+1. /(<2. +R)><(1. -(1. -BETR+\*2)+\*2)\*R  
+K5IER+AKS1MR>+BETA+\*4\*(AKER+AKSIER+AKUR+AKSIWR)>+<VRTR-VV<ND>>+\*2  
C2L=-1. /(<RD+R>  
C2=V5-P5/(<RD+R>+FT5/<2. +DIT>+VD+RBS<VDD>+CDT-DTTR5)-FWS+DTTR5/<2. +D  
+IT<1. -BETR+\*2>+V5TR+RBS<V5TR>-BETA+FV5+DTTR5/<2. +DIT<1. -BETR+\*2  
\*>>\*<V5TR-VV<ND>>+RBS<V5TR-VV<ND>>+1. /(<2. +R)><(1. -(1. -BETR+\*2)+\*2)\*R  
+K5IES+AKS1NS>+BETA+\*4\*(AKER+AKS1ES+AKW5+AKS1NS)>+<V5TR-VV<ND>>+\*2  
C2L=-1. \*C2L  
C2G=. 7B54\*DIT+\*2/R5\*(C2-C3)  
C2BL=. 7B54\*DIT+\*2/R5\*(C2L-C3L)  
IF<XVE<ND>. LT. W. DR. XVELV. GT. X>G TO 1098  
C2G=C2G+<1. -BETR+\*2>  
C2BL=C2BL+<1. -BETR+\*2>  
3 RES=RBS<VSE>+DIH5/RNI  
IF<RES>64, 64, 65.  
4 VSE=C2B+C2BL+P2E<MD>  
RES=RBS<VSE>+DIH5/RNI  
5 IF<RES. GT. 2308. >G TO 1118  
F5=64. /RES  
G0 TO 1119  
6 F5=1. 325474/CRLOGC2. S1/CRES+SRRT<F1P0>+RRPO/Z. Z0>+\*2  
7 P2E<MD>=RD\*F5\*RL0E05/<2. +DIH5>\*(C2B+C2BL+P2E<MD>)+RBS<C2B+C2BL+P2E<MD>  
+  
8 P2E1=P2E<MD>  
P2E<MD>=P2E<MD>  
V2E<MD>=D2+C2L+P2E<MD>  
V3E1=V2E<MD>  
V2E<MD>=C3+C2L+P2E<MD>  
V3E=CD3+C2BL+P2E<MD>  
9 R2EM=V2E<MD>+. 39269+DIT+\*2  
R2E=V2E<MD>+. 39269+DIT+\*2  
IF<XVE<MD>. LT. W. DR. XVELV. GT. X>G TO 68  
R2EM=R2EM+<1. -BETR+\*2>  
R2E=R2E+<1. -BETR+\*2>  
10 D2E=2. +DN/CRLT-2. +FLDRT<NRD>+DXD+<Q2E+Q2EM>  
Q2E=V2E+R5  
R2MDC2K=R2MDC2K+R2E  
R2MDC2K=R2MDC2K+Q2E  
IF<ON. EG. ITOT>G TO 168  
G0 TO 161  
P2CM. 1002>=P2E<MD>  
V2CM. 1002>=V2E<MD>  
P3CM. 1002>=P2E<MD>  
V3CM. 1002>=V2E<MD>  
Q2C1002>=Q2E  
R2C1002>=R2E  
IF<NRB. EG. 1000> TO 70  
G0 69. MEMBR0, MKE0  
N=FLDRT<MD>+1. PDX  
V2E<MD>+TETRA<V2E<MD>-V2E10><1. +TETRA<V2E<MD>-V2E10>  
P2E<MD>-TETRA<V2E<MD>-V2E10>  
V2E<MD>-TETRA<V2E<MD>-V2E10><1. +TETRA<V2E<MD>-V2E10>  
P2E<MD>+TETRA<V2E<MD>-V2E10>  
G0 69. S10E0V. T. N. DT. B. R1V. RME. D1T. D2V. R2E. R3E. R4E. R5E  
+TETRA<V2E<MD>-V2E10>  
P2E<MD>+TETRA<V2E<MD>-V2E10>+P2E<MD>-V2E10>  
G0 69. S10E0V. T. N. DT. B. R1V. RME. D1T. D2V. R2E. R3E. R4E. R5E  
+TETRA<V2E<MD>-V2E10>



GO TO 74  
DO 863 I=MPUT, MPVF

VTR=VTR+VZEC10

VTR=VTR/FLOAT(MPVF-MPUT+10)

GO TO 74

DO 863 I=MPUT, MMED

VTR=VTR+VZEC10

DO 864 I=MMED, MPVF

VTR=VTR+VZEC10

VTR=VTR/FLOAT(MPVF-MPUT+10)

GO TO 74

DO 864 I=MPUT, MPVF

VTR=VTR+VZEC10

VTR=VTR/FLOAT(MPVF-MPUT+10)

VEL=CVTR-WVEND+C1. -BETA\*E2+VVEND

PV=0.

PW=0.

PVW=0.

RKE=0.

RKN=0.

IF(CVEND.EQ.0.) AND (VEL.EQ.0.) GO TO 81

RKE=1.

IF(CRABCVEND=-RSCCVEND) GO TO 76, 76, 75

RKE=VCC(VVEND-VEL)/VVEND+\*2

GO TO 79

IF(VEL>77, 77, 78

RKE=VCC(VEL-VVEND)/VEL+\*2

DO TO 79

RKE=-1.

RKN=-VCC(VEL-VVEND)/VEL+\*2

REVB=RSCCVTR-VVEND+C01T-DIVVVEND

IF(CREV.EQ.0.) DO 80 TO 82

IF(CREV.EQ.1) DO 80 TO 81

IF(CREV.EQ.2) DO 80 TO 82

PV=64. /REV

DO TO 80

PV=1. 2254742/CHLDR, DIVREV+SCRT(FITRD+RRTR/2, 32)+\*2

REVB=RSCCVTR+C01T-DIVVVEND

IF(CREV.EQ.0.) DO 80 TO 81

IF(CREV.EQ.1) DO 80 TO 82

PV=64. /REV

DO TO 81

PV=1. 1254742/CHLDR, DIVREV+SCRT(FITRD+RRTR/2, 32)+\*2

REVB=RSCCVTR+C01T-DIVVVEND

IF(CREV.EQ.2) DO 80 TO 82

PV=64. /REV

DO TO 82

PV=1. 2254742/CHLDR, DIVREV+SCRT(FITRD+RRTR/2, 32)+\*2

REVB=RSCCVTR+C01T-DIVVVEND

IF(CREV.EQ.0.) DO 80 TO 81

IF(CREV.EQ.1) DO 80 TO 82

PV=64. /REV

DO TO 83

PV=1. 1254742/CHLDR, DIVREV+SCRT(FITRD+RRTR/2, 32)+\*2

REVB=RSCCVTR+C01T-DIVVVEND

IF(CREV.EQ.2) DO 80 TO 82

PV=64. /REV

DO TO 84

PV=1. 2254742/CHLDR, DIVREV+SCRT(FITRD+RRTR/2, 32)+\*2

REVB=RSCCVTR+C01T-DIVVVEND

IF(CREV.EQ.0.) DO 80 TO 81

IF(CREV.EQ.1) DO 80 TO 82

PV=64. /REV

DO TO 85

PV=1. 1254742/CHLDR, DIVREV+SCRT(FITRD+RRTR/2, 32)+\*2

REVB=RSCCVTR+C01T-DIVVVEND

IF(CREV.EQ.2) DO 80 TO 82

\*END>+RBBECVTR-VV<NO>-DW<2. -BETR++20\*<VTR-VV<NO>\*+2+<<XXE<NO>-ALT02D  
\*IV\*FVV+, 50\*VV<NO>\*+2-2. +PDE<MMND>/R00

IF<N, ER, NRBD>FDE=0.

GO TO 1322

FDE=R072. \*, 7E54+DIV\*+2\*<-RLV/<DT\*<1. -BETR++200\*<FV/BETA\*<VTR-VV<NO>\*+2+<RBE<VTR-VV<NO>+FW+VTR+RBE<VTR>\*<2. -BETR\*+20\*<DE-DW\*<VTR-VV<NO>\*+2+2)

IF<N, ER, NRBD>GO TO 165

GO TO 22

IC001=1001+1

TSRI=VERI+MM

FD<NC001>=FDE

FDW-FDM+FDE

FDM=(FDM-FD<NRBD>/2. )+DT/TIMEE2<NP>4)

WRITE<C, 80>F0K

FORMAT<1H1, 4BN, /PASSEGEN DO TREM <1, 12, 100>)

WRITE<C, 87>CFO<1>, 1=1, IC001

FORMAT<1H1, 2BN, /FORCA DE ARRESTO DO TREM <NO> \* TEMPO <SE  
\*G>/, ///, <10F12, 40>, //>

WRITE<C, 88>F0M

FORMAT<77, 4BN, /FORCA DE ARRESTO MEDIR =/, F12, 40

NO=4

N=1001

M=2

DO 22 I=1, N

PL1<1>=FL0RT<(1-1)\*MN>+DT

IN=IN

PL1<1>=FD<1>

GRILL=PL0T<NO, PL1, N, M, NL, NE>IFI<1>

IPRIM=1002

NRBD1=NRBD1+1

DO 15 N=NRBD1, NT07R

T=FL0RT<NO>-1. P+DM

M=2

VS->CVIE<NO>-TE&HE<NO>-VIE<NO>+1000/<1. -TETR\*<VIE<NO>-VIE<NO>+1000>

RS->BAE<NO>\*<TETR\*<VIE>-R0\*<F1E<NO>-F1E<NO>+1000

RAE1=TAE<NO>

PL1<NO>=FDE+T- R0RDS+VS+2

PRINT=RRSS007>40, 2, T/F0M

IC001<1>=61, 461, 460

NT07R,

GO TO 461

ITEM=FT

VIE1=VIE<NO>

VIE<NO>=VS1, VIE001+<PL1<1>-P5>+FTS/AC01+DT>+TTS+RS<V0>

GRILL=GR1112.

FORMAT<1H1, 10BN, 10> GO TO 467

DO 16 N=466

X052=70000+1

PL1<1>=PL1, N, M, NL, NE>

GRILL=GR1112, VIE001, 10>

DO 17 N=466+1

GR1112=GR1112, VIE001, 10>+TTS+RS<V0>+VIE1>





VR+V2E<W>-TETR+R+V2E<W>-V2E10>/<1. +TETR+V2E<W>-V2E10>  
PR+PDE<W>-TETR+VR+PDE<W>-PDE10>  
VR+V2E<W>-TETR+R+V2E<W>-V2E<M+1>0>/<1. -TETR+V2E<W>-V2E<M+1>0>  
PDE<W>+TETR+VR+R+PDE<W>-PDE<M+1>0>  
RTR+RBS<W>+DIT<W>  
RPE<W>+DIT<W> 96, 97  
RTR+RBS<W>  
RPE<W>  
RPE<W>+DIT<W>  
RPE<W> 98, 99, 100  
RPE<W>  
GO TO 101  
RTR+RBS<W>  
VR<W>=S0\*(VR-V5+1, /CRO+R)+CPR-P5)-DT/(2.+DIT)\*CFTR+VR+RBS<VR>-FT  
+S+VBS+RBS<V5>>  
PDE<W>=S0\*(CPR+P5+R0+R4\*(VR-V5)-R0+R+DT/(2.+DIT)\*CFTR+VR+RBS<VR>-FT  
+S+VBS+RBS<V5>>  
VRH=VBS<W>  
VDE<W>=V2E<W>  
PDE1=PDE<W>  
PDE<W>=PDE<M>  
VDE<W>  
R2E=3, 141035\*D17+P2E+RACE, \*CBLT-2, \*FLOAT<W>+DW0>\*(R2E+V2E<W>/2.)  
R2E1=V2E<M>/2.  
R2E=V2E+R5  
R2E000=R2E000+R2E  
R2E000=R2E000+R2E  
1PE<W> ER, ITOT0GO TO 173  
GO TO 174  
PDE<W>=1002>\*PDE<W>  
VDE<W>=1002> VDE<W>  
PDE<W>=10020>\*PDE<W>  
VDE<W>=10020> VDE<W>  
R2E1000=R2E  
R2E1000=R2E  
1PE<W> ER, ITOT0GO TO 185  
GO TO 186, MANNER, RBS<W>  
R2E000=R2E000-TETR+R+V2E<W>-V2E10>/<1. +TETR+V2E<W>-V2E10>  
R2E000=R2E000-TETR+VR+PDE<W>-PDE10>  
R2E000=R2E000-TETR+R+V2E<W>-V2E<M+1>0>/<1. -TETR+V2E<W>-V2E<M+1>0>  
R2E000=R2E000-TETR+VR+R+PDE<W>-PDE<M+1>0>  
RTR+RBS<W>+DIT<W>  
RPE<W>+DIT<W> 100, 101  
RTR+RBS<W>  
RPE<W>  
RPE<W>+DIT<W>  
RPE<W> 102, 103  
RPE<W>  
RPE<W>+DIT<W>  
RPE<W> 104, 105  
RPE<W>  
RPE<W>+DIT<W>  
RPE<W> 106, 107  
RPE<W>  
RPE<W>+DIT<W>  
RPE<W> 108, 109  
RPE<W>  
RPE<W>+DIT<W>  
RPE<W> 110, 111  
RPE<W>

PERFRECMO-TETR-(VR+RD)\*CPZECMD-PZELD

RHTEB=RB5(CVR)+DIT/RN1

IEKRETR>112, 113, 111

FTRD

GO TO 112

FTRHT

IFCVSECMO, GE, B, VGD TO 175

PZECMD=PDEMT-, 85\*RD\*VR+\*2

GO TO 177

PZECMD=PDEMT

WZECMD=VR-1, /CRD+R)\*CPZECMD-PR)-FTREDT/(2, +DIT)\*VR+RB5(CVR)

DBEAD, 7854\*DIT+\*2+DN/CFLDAT(RRAD+DHD+CDBE+VSECMD)/2, 2

IECK, ER, ITGT>BD TO 178

GO TO 15

PZCM, 10022=PZECMD

VZCM, 10020=PZECMD

DBECD0D>PZD

IVDT=ITOT=HXTOT

DBMDCK>=ZEMDCK+GSE

51MDCK>=DT/DTTOT+G1MDCK-01(C1002)>2, 2

22MDCK>=DT/DTTOT+G2MDCK-02(C1002)>2, 2

43MDCK>=DT/DTTOT+G3MDCK-03(C1002)>2, 2

54MDCK>=DT/DTTOT+G4MDCK-04(C1002)>2, 2

65MDCK>=DT/DTTOT+G5MDCK-05(C1002)>2, 2

HEVTEC, 143>G1(C12, I=1, 1002)

FORMAT(142, B2X, 0THVRAZB0 DO 88 NO TRECHO 1 (M++3/SEG) \* TE

\*MPC (3550), 7777, (18F12, 4), 77)

HEVTEC, 144>D1MDCK

FORMAT(1777, B2X, 0THVRAZB0 MEDI8 DO 88 NO TRECHO 1 =, F12, 4, 1

\*24 (M++3/SEG), 7777)

NO=5

MATCDR

M=0

ML=M

DO 145 I=1, N

PLACID=FLDAT(CC1-1)\*MMTDT+DT

IN=I+N

PLACID>PZACID

GRIL PLCTCMD, PL1, N, M, ML, ME, IF10,

HEVTEC, 145>G2(C12), I=1, 1002

FORMAT(141, B2X, 0THVRAZB0 DO 88 NO TRECHO 2 (M++3/SEG) \* TE

\*MPC (3550), 7777, (18F12, 4), 77)

HEVTEC, 146>D2MDCK

FORMAT(1777, B2X, 0THVRAZB0 MEDI8 DO 88 NO TRECHO 2 =, F12, 4, 1

\*24 (M++3/SEG), 7777)

NO=6

DO 146 I=1, N

IK=I+N

PLACID>PZACID

GRIL PLCTCMD, PL1, N, M, ML, ME, IF10

HEVTEC, 147>G3(C12), I=1, 1002

FORMAT(141, B2X, 0THVRAZB0 DO 88 NO TRECHO 3 (M++3/SEG) \* TE

\*MPC (3550), 7777, (18F12, 4), 77)

NO=7

DO 147 I=1, N

IK=I+N

PLACID>PZACID

GRIL PLCTCMD, PL1, N, M, ML, ME, IF10

HEVTEC, 148>G4(C12), I=1, 1002

FORMAT(141, B2X, 0THVRAZB0 DO 88 NO TRECHO 4 (M++3/SEG) \* TE

\*MPC (3550), 7777, (18F12, 4), 77)

HEVTEC, 149>D4MDCK

FORMATA//MM, 30X, 55HVEZAO, MEDIR DO RR NO TRECHO 5 =, F12.4,1  
 \*RR (M\*\*3/5EGD), //7770  
 ND=8  
 DO 124 I=1,N  
 IM=1+N  
 PL1(CIN)=B4C1D,  
 DBLL PLOTCMD, PL1, M, M, NL, NS, IFID 1  
 WRITECD, 1251(C05C1D, I=1, 1000)  
 FORMATC1M1, 30X, 55HVEZAO DO RR NO TRECHO 5 (M\*\*3/5EGD) \* TE  
 \*RR (M\*\*3/5EGD), //7771(C18F12, 4), //77  
 WRITECD, 1252(C05M0C1D)  
 FORMATC1M1, 30X, 55HVEZAO MEDIR DO RR NO TRECHO 5 =, F12.4,1  
 \*RR (M\*\*3/5EGD), //7772  
 IFCKPR, 50, 8200 TO 1414  
 ND=9  
 DO 127 I=1,N  
 IM=1+N  
 PL1(CIN)=B5C1D,  
 DBLL PLOTCMD, PL1, M, M, NL, NS, IFID  
 KM=8  
 MMAB=CIPRIM-12/48  
 DO 135 I=1,1PRIM, MM1B  
 T=FLORTC01-10\*MNTDT\*D  
 WRITECD, 1280T, (V1C1T, I>, J=1, MMEDD, (V2C1, I>, J=M  
 \*RR, KMAB)  
 FORMATC//MM, 18X, 55HVELOCIDRDE DO RR NO TUNEL (M\*\*3/5EGD) \* DI  
 \*ETRUCIR (M) PARA T =, FB, 4, 6H (M\*\*3/5EGD), //7773(C18F12, 4), //77  
 ND=MND+1  
 NMNMN  
 ML=M  
 DO 129 J=1, MMED  
 PL2CJ=CFLORTC01-1, 2+DX  
 IM=1+N  
 PL2CJ=MVCA, I>  
 DO 128 J=MNEDD, MBR  
 PL2CJ=CFLORTC01-1, 2+DX  
 IM=1+N  
 PL2CJ=MVCA, I>  
 DO 131 J=MEDD, MMNN  
 PL2CJ=CFLORTC01-1, 2+DX  
 IM=1+N  
 PL2CJ=MVCA, I>  
 DO 132 J=MNEDD, MBR  
 PL2CJ=CFLORTC01-1, 2+DX  
 IM=1+N  
 PL2CJ=MVCA, I>  
 DO 133 J=MEDD, MMED  
 PL2CJ=CFLORTC01-1, 2+DX  
 IM=1+N  
 PL2CJ=MVCA, I>





KIWR=K+CVER(K)-X-RLV(J) (CVR+R)+DT-XVE(K)+XVE(K-1) (CVR+R)+DT

XR=K-CVR+R)+DT

IF(CNIER, LT, XR, OR, KIWR, ST, X) GO TO 39

TIER=CNIER-K+CVR+R)+DT

VIWR=CNIER-K+CVR+R)+DT

RKWR=1.

IF(ABSC(VVCKN))=ABSC(VR)) 432, 432, 434

RKER=V\*(VVCKN)-VR)/VVCKN)\*\*2

GO TO 435

IF(CVR)>433, 433, 434

RKER=V\*(CVR-VVCKN)/VR)\*\*2

GO TO 435

RKER=1.

RKWR=-V\*(CVR-VVCKN)/VR)\*\*2

IF(CNIER, LE, X) AKSIER=1.

IF(CNIER, GE, XR) RAKSIER=1.

IF(CNIER, LE, X, RND, XIWR, LT, XR) GO TO 35

IF(CNIER, LE, X, RND, XIWR, GE, XR) GO TO 36

IF(CNIER, GT, X, RND, XIWR, LT, XR) GO TO 37

IF(CNIER, GT, X, RND, XIWR, GE, XR) GO TO 38

DTTR=TIER-T+DT

VRTR=VR

VE=(VRTR-VVCKN)\*(1, -BETR\*\*2)+VVCKN)

GO TO 622

DTTR=TIER-TIME

VRTR=(VR-VVCKN)\*(1, -BETR\*\*2)+VVCKN)

GO TO 613

DTTR=DT

VRTR=VR

GO TO 622

DTTR=T-TIAR

VRTR=(VR-VVCKN)\*(1, -BETR\*\*2)+VVCKN)

IF(CVRTR, EQ, 0) GO TO 623

REWR=ABSC(VRTR)\*CDIT-DIV2/VNI

IF(CREW, GT, 2300, ) GO TO 4113

PWR=64, /REWR

GO TO 623

FWR=1, 325474/CHLOGC2, 51/CREWR\*BRT(FITR)+RRTR/V3, 323\*\*2

REWR=RDSC(VRTR-VVCKN)\*CDIT-DIV2/VNI

IF(CREVR, EQ, 0) GO TO 39

IF(CREVR, GT, 2300, ) GO TO 4114

PVR=64, /REWR

GO TO 39

FVR=1, 325474/CHLOGC2, 51/CREVR\*BRT(FITR)+RETR/V3, 323\*\*2

IF(CVR, EQ, 0) GO TO 620

FTR=PFY

RETURN

END

SUBROUTINE SUBINTCRV, H3, MP, X, Y, DGEFF  
IMPLICIT REAL\*8 (A-H, O-Z)

DIMENSION H(100), MP(100), Y(100), IP(50), RKED(100), E(100), DGEFF(100)

H(1)=0.00001, H(100)=1E-10

MP(1)=0.00001, MP(100)=1E-10

Y(1)=0.00001, Y(100)=1E-10

IP(1)=0.00001, IP(100)=1E-10

RKED(1)=0.00001

E(1)=0.00001

DO 1 I=2, 100

H(I)=H(I-1)\*0.99999

MP(I)=MP(I-1)\*0.99999

Y(I)=Y(I-1)\*0.99999

IP(I)=IP(I-1)\*0.99999

RKED(I)=RKED(I-1)\*0.99999

E(I)=E(I-1)\*0.99999

```

NI=NPE-1
I=1
IP(1)=8
J=1
NP=KJ(I+1)
L=J
DO 140 J=L,NP
IF(K(J)-NP) 140,140,135
I=I+1
IP(I)=J-1
GO TO 125
CONTINUE
IP(NPE)=NP
NP=NP+NI-3
DO 155 I=1,NF
B(I)=0.
DO 155 J=1,NI
R(I,J)=0.
DO 260 I=1,NI
K=5*(I-1)
DO 260 J=1,4
L=K+J
DO 260 N=J,4
M=K+N
I1=IP(I)+1
I2=IP(I+1)
DO 160 I3=I1,I2
RCL,M)=RCL,M)+2.*((X(I,J)-X(I,1))**(N+J-2))
RCM,L)=RCL,M)
CONTINUE
KE=4*NI
NE=NI-1
DO 250 I=1,NE
L=KE+(I-1)*3+1
M=5*(I-1)
DO 250 K=1,2
DO 218 N=1,4
MJ=M+N*(K-1)+4
RCL,M)=X(J,I+1)-X(J,1)**(N-1)
RCL,M)=RCL,M)+(-1)**(K+1)
RCM,J,L)=RCL,M)
DO 228 M=2,4
MJ=M+N*(K-1)+4
RCL,I,M)=X(I-1)+X(J,I+1)-X(J,1)**(N-2)
RCL,I,M)=RCL,I,M)+(-1)**(K+1)
RCM,I,L)=RCL,I,M)
DO 238 M=3,4
KJ=M+N*(K-1)+4
RCL,I,M)=X(I-1)+X(M-2)+X(J,I+1)-X(J,1)**(N-3)
RCL,I,M)=RCL,I,M)+(-1)**(K+1)
RCM,I,L)=RCL,I,M)
CONTINUE
DO 260 I=1,NI
L=(I-1)*4
DO 260 J=1,4
M=L+4
I1=IP(I)+1
I2=IP(I+1)
DO 260 N=J,4
S(N)=RCM,M)+X(M,N)+2.*((X(M,N)-X(I,1))**(J-1))
CALL SOLVE (A,B,KP)
DO 260 I=1,NI
L=(I-1)*4
DO 260 J=1,4
M=L+4
CDEF(I,J)=S(N)

```

```

      DD 351 I=1, NI
      CDEFPC(I, 1)=CDEFPC(I, 1)-CDEFPC(I, 2)*XJ1+CDEFPC(I, 3)*XJ1+*2-CDEFPC(I
*, 4)*XJ1+*3
      CDEFPC(I, 2)=CDEFPC(I, 2)-2. *CDEFPC(I, 3)*XJ1+3. *CDEFPC(I, 4)*XJ1+*2
      CDEFPC(I, 3)=CDEFPC(I, 3)-3. *CDEFPC(I, 4)*XJ1
      CDEFPC(I, 4)=CDEFPC(I, 4)
      DD 3 I=1, NPE
      XJ1D=XJ1+XJ1
      DD 4 I=1, NP
      XCID=XCID+XJ1
      RETURN
      END

```

### SUBROUTINE SOLVE (CRANK)

#### SOLUTION OF N SIMULTANEOUS LINEAR ALGEBRAIC EQUATIONS

A IS THE INPUT ARRAY X IS THE RIGHT HAND SIDE OF THE EQUATION  
 $AX=B$  ON INPUT. ON OUTPUT THE ARRAY X CONTAINS THE ANSWERS. X(N) IS  
 THE NUMBER OF EQUATIONS  
 IMPLICIT REAL\*8 (A-H, D-Z)  
 DIMENSION A(500, 50), X(500)

CONSTRUCT THE TRIANGULAR ARRAY

```

NMI=N-1
DO 50 K=1, NMI
      NORMALIZE EACH ROW ON ITS MAXIMUM MODULUS ELEMENT
      M=N-K+1
      DO 5 I=1, M
      D=B(I)
      DO 4 J=1, M
      CX=DABE(RCI, J)
      IF(CX>D)4, 3
      CX=CX
      CONTINUE
      D=1. RDS/C
      XCI=XCI+D
      DO 7 J=1, M
      RCI(J)=RCI(J)*C
      CONTINUE

```

#### FIND THE OPTIMUM PIVOT ROW

```

      C=B(1)
      DO 12 I=1, M
      DM=BRSS(RCI, M)
      IF(DM>C)12, 10
      C=DM
      IP=I
      CONTINUE

```

#### STORE THE PIVOT ROW

```

      IF(C>0.75, 10, 12
      IF(IP>M)14, 12, 12
      DO 12 J=1, M
      R=RCI(J)
      R=RCI(J)+RCM, D
      RCM=RCI(J)
      R=RCI(J)
      R=RCI(J)
      R=RCI(J)
      R=RCI(J)

```

#### ELIMINATE THIS WITH ELEMENTS

END SUB

```
DO 30 I=1, MM1
E=RCl, MD/RCM, MD
XCIJ=XCIJ-E*XCMD
DO 30 J=1, MM1
) RCl, J)=RCl, J)-E*RCM, J)
) CONTINUE
```

CARRY OUT THE BACK SOLUTION

```
C=DRBS(CRCl, 1)
IF(C>78, 78, 54
) XCI)=XCI)ZRCl, 1)
DO 50 I=2, N
IMI=I-1
E=XCIJ
DO 57 J=1, IMI
) E=E-RCl, J)*XCIJ
) XCIJ=E/RCI, 1)
RETURN
) WRITEC(2, 750)
) FORMAT (22H05OLVE SYSTEM SINGULAR)
RETURN
END
```

SUBROUTINE PLOT(NO, PL, M, M, NL, NS, IFID)
NO=NUMERO DO GRAFICO
N=NUMERO DE PONTOS
M=NUMERO DE CURVAS A TRACAR + 1
PL=VETOR DE PLOTEAGEM COM N\*M COMPONENTES
NS=0 SE AS ABCISSEAS ESTIVEREM EM ORDEM CRESCENTE
NL=NUMERO DE LINHAS USADAS COMO FUNDO DE ESCALA PARA AS ABCISSEAS
KEDOMENDA SE TOMAR NL = NO
IFID=NUMERO DA FILE A SER IMPRESSO

```
DIMENSION OUT(181), YPRC(110), RNC(90), PL(1)
DATA BLANK/'' ''/, RMG/''+''/, '+'/, 'S', 'X', '$', ',', ''/1'', ''R'', ''Z''/
FORMAT(C1H1, 5BX, 7H CHART , 1B, 7D)
FORMAT(C1H , F11. 4, 5X, 1B1R10)
FORMAT(C1H )
FORMAT(C1H , 14X, '')
FORMAT(C1H2, 9X, 11F4. 4)
NL=NL
IF(NS>16, 16, 16
CLASSEIFIDOBRO DAS ABCISSEAS POR ORDEM CRESCENTE
DO 15 I=1, N
DO 14 J=1, N
IF(PL(I)+PL(J))16, 14, 14
L=I-N
LL=J-N
```

MUDANCA COMPLETA R(1)....., R(9)
DO 10 K=1, N
L=L+N
LL=LL+N
FAPL(I)
PL(I)=PL(L)
PL(LL)=F
CONTINUE
CONTINUE

TESTE NLL
IF(NLL>0, 18, 20
NL=NL
FORMAT(F11. 14)
FORMAT(F11. 14, F11. 14, F11. 14)
FORMAT(F11. 14, F11. 14, F11. 14)

```
*****YMIN, YMAX, FATOR DE ESCALA DAS ORDENADAS*****
M1=N+1
YMIN=PLC(M1)
YMAX=YMIN
M2=M*N
DO 40 J=M1, M2
IF(CPL(J)-YMIN)>28, 26, 26
2 IF(CPL(J)-YMAX)>48, 46, 38
3 YM1X=PLC(J)
GO TO 40
4 YMAX=PLC(J)
CONTINUE
***** FATOR DE ESCALA DAS ORDENADAS
YSCAL=(YMAX-YMIN)/100.
KB=PLC(1)
L=1
***** MY = NUMERO DE CURVAS A PLOTAR *****
MY=N-1
IF(CYSCAL.NE. 0.) GO TO 42
WRITE(IF1, 41) MY, YMAX
41 FORMAT(2X, 11, ' CONSTANTE DE CURVA = ', F10. 4)
RETURN
5 I=1
6 F=I-1
XPR=KB+F*YSCAL
IF(CPL(L)-XPR)>58, 58, 78
7 DO 58 IX=1, 181
8 DUT(CIX)=BLANK
DO 68 J=1, MY
LL=L+J+N
***** NUMERO DE COLONIA -- ORDENAR ARRAY *****
JP=(CPL(LL)-YMIN)/YSCAL+1.
DUT(CJP)=RND(J)
CONTINUE
WRITE(IF1, 2) XPR, (DUT(CIZ), IZ=1, 181)
L=L+1
GO TO 58
WRITE(IF1, 3)
9 I=I+1
10 IF(I-NLL)>45, 84, 86
11 XPR=PLC(N)
GO TO 58
12 WRITE(IF1, 7)
13 YPC1=YMIN
***** IMPRESSAO DA ESCALA DAS ORDENADAS *****
DO 98 KN=1, 9
14 YPC(KN+1)=YPC(KN)+YSCAL+10.
15 YPC(1)=YMAX
16 WRITE(IF1, 8) YPC(1P), IP=1, 11
RETURN
END
```

#### 4. RESULTADOS E DISCUSSÃO

Devido a complexidade do fenômeno, refletido pelo número elevado de parâmetros básicos, torna-se impraticável um estudo genérico e completo sobre a influência de cada um destes parâmetros, apresentando os resultados na forma bastante conveniente de gráficos, tabelas e abacos. Alguns estudos neste estilo, bem pouco abrangentes, foram mencionados na referência bibliográfica. O maior mérito destes trabalhos foi possibilitarem uma visão qualitativa de alguns efeitos isolados, já que os resultados ficaram restritos a uma faixa de variação bem estreita.

Indicações razoavelmente completas e precisas só são possíveis aplicando-se diretamente o modelo de simulação a cada problema específico. Segundo este ponto de vista, foi escolhido um trecho em couraça da linha Norte-Sul do Metrô de São Paulo para ilustrar a utilização do modelo. A escolha recaiu arbitrariamente no túnel entre as estações da Luz e São Bento, no sentido da primeira para segunda. Este trecho não possui o poço de alívio no fim do túnel, conforme indicado na figura 1, mas sim no início da estação correspondente (a escolha entre uma destas opções usuais para a localização do poço depende, fundamentalmente, das limitações construtivas). Os dados utilizados no programa são apresentados a seguir:

##### Características do fluido (ar):

Temperatura média do ar no túnel:  $T_m = 298\text{ K}$

Relação de calores específicos:  $\frac{cp}{cv} = 1,4$

Constante do ar:  $R = 29,2645 \frac{\text{mKgf}}{\text{kgm K}}$

Densidade:  $\rho = 1,07 \text{ kg/m}^3$

Viscosidade: cinemática:  $\nu = 15,5 \cdot 10^{-6} \text{ m}^2/\text{seg.}$

##### Características geométricas e de perda de carga

Diâmetro do veículo:  $D_v = 3\text{m}$

Comprimento do veículo:  $L_v = 120\text{m}$

Diâmetro do túnel:  $D_t = 5\text{m}$

Comprimento do túnel:  $L_t = 740\text{m}$

Diâmetro hidráulico da saída de exaustão:  $Dh_4 = 4,7\text{m}$

Área transversal ao escoamento na saída de exaustão:

$$A_4 = 28,8\text{m}^2$$

Comprimento equivalente dos dutos de exaustão:

$$L_{eq,4} = 1500\text{m}$$

Diâmetro hidráulico do poço de alívio:  $Dh_5 = 5,4\text{m}$

Área transversal ao escoamento no poço de alívio:

$$A_5 = 30\text{m}^2$$

Comprimento equivalente dos dutos do poço:  $L_{eq,5} = 1300\text{m}$

Perda de carga no insonorizador:  $\Delta p_{inso} = 98,1 \text{ N/m}^2$

Indicador da posição do poço de alívio no túnel:

$$n_{aa} = 1 \quad (L_{aa} = n_{aa} \Delta x)$$

(Na simulação dos efeitos do poço de alívio, ele foi re-locado para o penúltimo ponto da malha).

#### Incrementos

Incremento ao longo do túnel:  $\Delta x = 10\text{m}$

Passo no tempo:  $\Delta t = 0,025 \text{ seg.}$

(Os valores acima satisfazem a condição de convergência e estabilidade da solução numérica).

#### Dados experimentais

Coeficiente multiplicativo da fórmula de perda de carga por contração do fluxo na frente, ou traseira, do veículo:  $y = 3$ .

Expoente da fórmula de perda de carga por contração do fluxo na frente, ou traseira do veículo:  $Z = 0,5$ .

( Os valores acima foram obtidos por extrapolação gráfica na tabela do apêndice)

Rugosidade relativa na região anular entre o trem e o túnel: RRTR = 0,003

Rugosidade relativa na saída de exaustão e poço de alívio: RRPO = 0,00005

Coeficiente de atrito na parede do túnel, na região "distante" do veículo: FT = 0,125

Coeficiente de atrito assumido como referência na fórmula de Colebrook-white, em relação a região anular entre o trem e o túnel: FITR = 0,025

Coeficiente de atrito assumido como referência na fórmula de colebrook-white, em relação a saída de exaustão e o poço de alívio: FIPO = 0,01

(Neste caso, a melhoria do grau de precisão dos resultados, pela resolução interativa da fórmula de colebrook-white, não compensa o aumento do tempo de execução do programa).

Intervalo de tempo entre a passagem de dois trens consecutivos: HWAY = 180 seg.

Número de períodos no tempo a serem analisados: NPT = 1

(Como, resta aplicação, as condições iniciais do meio não diferem substancialmente para os trens consecutivos, a simulação se restringirá ao primeiro período).

Indicador da existência de poço de alívio no túnel:

$$\begin{cases} KPA = 0 \text{ quando não existe poço de alívio} \\ KPA \neq 0 \text{ quando existe poço de alívio} \end{cases}$$

Indicador da existência de ventilação forçada:

$$\begin{cases} KVF = 0 \text{ quando não existe ventilação forçada} \\ KVF \neq 0 \text{ quando existe ventilação forçada} \end{cases}$$

Vazões devido somente a ventilação forçada

Vazão de projeto que passa pelos ventiladores de exaustão:  $QVF = 244,2 \text{ m}^3/\text{seg.}$

(A saída de exaustão serve a ambos os sentidos da linha).

Vazão de projeto, do início do túnel até a saída de exaustão:  $QVF_E = 61,05 \text{ m}^3/\text{seg.}$

Vazão de projeto, do fim do túnel até a saída de exaustão:  $QVF_d = -61,05 \text{ m}^3/\text{seg.}$

(Foi assumido escoamento simétrico nos dois sentidos da linha, ou seja,  $\epsilon = 2$  na equação (2.36))

Curva característica dos ventiladores de exaustão; vide

fig. 5.

Curvas de velocidade e posição da frente do trem vs. tempo; vide figs. 7 e 6, respectivamente.

Com a finalidade de ilustrar as potencialidades do programa foram simuladas as quatro situações descritas no item 3.6, apresentando-se os resultados na forma gráfica.

As figuras 8 e 9 representam a distribuição da força de arrasto com o tempo. A ventilação forçada reduz ligeiramente a força de arrasto na primeira metade do túnel, onde o seu efeito é no mesmo sentido do deslocamento do trem, mas aumenta-a, de tal forma, na segunda metade que o efeito líquido é substancialmente positivo, conforme se observa através dos valores médios. A influência do poço de alívio é notória somente durante a passagem do trem por ele, ocorrendo uma pequena redução da força de arrasto.

Conforme expresso pelas figuras 10, 11, 12 e 13, as vazões médias nos trechos 1 e 2 praticamente não são afetados pela presença do poço de alívio. Este reduz sensivelmente os picos da distribuição no trecho 3 quando há somente ventilação natural, alterando, porém, muito pouco o valor médio (fig. 14). Em havendo ventilação forçada obtém-se uma inversão de fluxo, durante a passagem do trem pelo poço, da mesma ordem de grandeza da vazão de

regime, porém, novamente, o valor médio é pouco alterado (fig. 15). A distribuição do fluxo na saída de exaustão (figs. 16 e 17) é razoavelmente simétrica para a ventilação natural mas é fortemente determinada pelas pressões na esteira do trem quando há ventilação forçada, sendo desprezível a influência do poço de alívio em ambos os casos. Quando atua somente a ventilação natural predominam os fluxos de expulsão no poço de alívio (fig. 18) enquanto que a interação com o efeito contrário dos ventiladores inverte este comportamento (fig. 19). O efeito de pistão produz variações notórias em relação às vazões de regime nos diversos trechos do sistema, não ocorrendo, contudo, desvios para fora da faixa de estabilidade da curva característica dos ventiladores.

As distribuições de velocidade e pressão do ar ao longo do túnel para vários instantes no tempo estão ilustradas nas figs. 20 a 55. As figs. 20 a 31 correspondem a situações em que o trem está se movimentando na primeira metade do túnel, verificando-se nelas um claro abrandamento dos picos de pressão devido à ventilação forçada que age no mesmo sentido do deslocamento do trem. As distribuições decorrentes da movimentação do trem na segunda metade do túnel acham-se representadas nas figuras 32 a 43, onde se observam os efeitos marcantes do poço de alívio. Após a saída do trem, as recuperações rápida e lenta das condições iniciais correspondentes à ventilação forçada e natural, estão indicadas, respectivamente, nas figs. 44 a 55. Através deste conjunto de gráficos se tornam claras as marcantes características ondulatórias do fenômeno, cujas dinâmica pode ser acompanhada pela análise simultânea destes resultados com as curvas de velocidade e deslocamento do trem.

É importante frisar que os resultados aqui obtidos, não necessariamente devem coincidir com a situação real em que os dados foram tomados, na medida que não se considerou as condições reais na entrada e saída do túnel. Não foi possível medir-se o efeito da simplificação, já que não existe, praticamente, um registro experimental destes valores no Metrô de São Paulo. (Em toda a literatura consultada, não foram encontrados levantamentos experimentais, suficientemente amplos e precisos, sobre as distribuições estudadas neste trabalho).

## 5. CONCLUSÕES E RECOMENDAÇÕES

O modelo desenvolvido neste trabalho permite uma simulação detalhada do fenômeno aerodinâmico em túneis de Metrô, tipo couraça, posto que considera sobre:

- (i) todos os parâmetros que, através dos inúmeros estudos realizados neste campo, foram avaliados como agentes principais no comportamento do sistema, como também,
- (iii) as características ondulatórias do escoamento.

Apesar do modelo físico adotado ser bastante representativo das configurações encontradas nos principais Metrôs do mundo, houve a preocupação de se estruturar o programa de forma a possibilhar, sem grandes modificações no arranjo original, a simulação de outras configurações, assim como, posteriormente, utilizar dados experimentais mais refinados que incluiriam efeitos secundários não abordados neste estudo.

Para se efetuar a simulação aerodinâmica de um sistema completo há a necessidade de se desenvolverem modelos para o escoamento nas estações e nos túneis com duas linhas. As estações, devido à diversidade de arranjos construtivos e multiplicidade de componentes, apresentam sérias dificuldades na padronização do programa simulador e no cálculo das perdas de carga, requerendo, nessa tarefa, um número elevado de dados experimentais. As referências [14] e [15] apresentam uma série de informações qualitativas e quantitativas a respeito do problema, obtidas através de exaustivos estudos com modelos em escala reduzida. O escoamento nos túneis de via dupla é extremamente complexo. Envolve a composição de dois fluxos principais, opostos, através das colunas de separação das vias, não possibilitando, portanto, o enfoque unidimensional e exigindo estudos de modelagem bastante amplos para o equacionamento do fenômeno. Nesta parte do sistema há, ainda, muito a pesquisar.

A análise das formas mais eficazes de controle do meio para assegurar os critérios pré-estabelecidos de conforto e segurança em um sistema de transporte rápido, exige a utilização de um modelo de simulação térmica, que indique as distribuições de temperatura e umidade do ar, associadas a cada esquema operacional. Os

conteúdos de calor sensível e latente do ar são afetados pela adição ou remoção de calor através dos equipamentos subterrâneos, trens e usuários, assim como pela taxa de transferência de calor com as paredes do sistema e com o ar externo. O propósito do modelo é simular matematicamente todos estes fatores. Durante os cálculos, os valores instantâneos da velocidade do ar seriam obtidos da simulação aerodinâmica. As rejeições instantâneas de calor, oriundas das fontes dinâmicas do sistema (das quais o mais importante é o trem) seriam fornecidas em função de suas características de performance. As referências [10] e [11] relatam os pormenores da construção de um destes modelos.

Apesar de já haver um número razoável de trabalhos versando sobre diversos aspectos relacionados ao meio ambiente em Metrôs, ainda não se conseguiu elaborar modelos que simulam com precisão o funcionamento de todo o sistema. Um dos maiores obstáculos tem sido a insuficiência de dados experimentais, cuja obtenção surge como pré-requisito para desenvolvimentos futuros nesta área.

REFERENCIAS

- [ 1] Hildebrand, F.B., Advanced Calculus for Applications - Cap. 8, Prentice-Hall, Inc.
- [ 2] Lister, M., "The Numerical Solution of Hyperbolic Partial Differential Equations by the Method of Characteristics" - Mathematical Methods for Digital Computers - Cap. 15, Vol. I, John Wiley & Sons, Inc.
- [ 3] Streeter, V.L., Hydraulic Transients - Caps.1, 2 e 3, McGraw-Hill, Inc.
- [ 4] Brock, E., "Development of Formulae for Calculating Ventilation for the Chicago Subways", Journal of the Western Society of Engineers - Jun. 1943.
- [ 5] Gouse, S.W., Jr.; Noyes, B.S., Jr.; Nwude, J.K. e Swarden, M.C., "Aerodynamic Drag on Vehicles in Tunnels", Journal of Basic Engineering - Dez. 1969.
- [ 6] Gouse, S.W., Jr. e Wali, E.I., "Tube Vehicle Systems: Aerodynamics Characteristics", Report PB 204 933 to Transportation Research Institute, National Technical Information Service - Out. 1971.
- [ 7] Brown, W.G., "Basic Theory of Rapid - Transit Tunnel Ventilation", Journal of Engineering for Industry - Fev. 1966.
- [ 8] Dayman, B. e Kurtz, D.W., "Experimental Studies Relating to the Aerodynamics of Trains Travelling in Tunnels at Low Speeds" International Symposium on the Aerodynamics and Ventilation of Vehicle Tunnels - Abr. 1973. Published by BHRA Fluid Engineering, Cranfield, Bedford, England.
- [ 9] Kaiser Engineers (Consulting Engineers), "Single-Track Subway System Components, Subway Environmental Research Project", Technical Report No. UMTA-DC-MTD-7-71-3 to Institute for Rapid Transit (Washington, D.C.) - U.S. Department of Transportation (Jan. 1971).

- [10] Parsons, Brinckerhoff, Quade & Douglas, Inc. (Consulting Engineers), "Development of Basic Mathematical Models for Subway Environmental Simulation", Technical Report No. UMTA-DC-MTD-7-71-5 to Institute for Rapid Transit (Washington, D.C.) - U.S. Department of Transportation (Mar. 1971).
- [11] Parsons, Brinckerhoff, Quade & Douglas, Inc. (Consulting Engineers), "Single-Track Subway Environmental Simulation Model" Technical Report No. UMTA-DC-MTD-7-71-22 to Institute for Rapid Transit (Washington, D.C.) - U.S. Department of Transportation (Aug. 1971).
- [12] Kaiser Engineers (Consulting Engineers), "Research Bibliography Ventilation and Environmental Control in Subway Rapid Transit Systems", Technical Report No. UMTA-DC-MTD-7-71-27 to Institute for Rapid Transit (Washington, D.C.) - U.S. Department of Transportation (Aug. 1971).
- [13] Parsons, Brinckerhoff, Quade & Douglas, Inc. (Consulting Engineers), "Single-Track System Concept Study", Technical Report No. UMTA-DC-06-0010-72-19 to Institute for Rapid Transit (Washington, D.C.) - U.S. Department of Transportation (Dec. 1972)
- [14] Aerospace Technology, Division of Developmental Sciences, Inc. "Vent and Station Test Facility Design", Technical Report No. UMTA-DC-MTD-7-71-11 to Institute for Rapid Transit (Washington D.C.) - U.S. Department of Transportation (Jan. 1971).
- [15] Aerospace Technology, Division of Developmental Sciences, Inc., "Vent and Station Test Facility Single and Double Track Station Testing", Technical Report No. UMTA-DC-06-0010-72-18 to Institute for Rapid Transit (Washington, D.C.) - U.S. Department of Transportation (Sep. 1972).
- [16] California Institute of Technology, Graduate Aeronautical Laboratories, "Preliminary Wave Analysis of Unsteady Subway Vehicle Aerodynamics", Technical Report No. UMTA-DC-MTD-7-71-33 to Institute for Rapid Transit (Washington, D.C.) - U.S. Department of Transportation (Oct. 1971)
- [17] Strom, C.R., "Aerodynamic Analysis of Vehicles in Tunnels", International Symposium on the Aerodynamics and Ventilation of Vehicle Tunnels - Abr. 1973. Published by BHRA Fluid Engineering, Cranfield, Bedford, England.

- [18] Hammitt, A.G., "The Aerodynamics of Vehicles Passing Through Tunnels", International Symposium on the Aerodynamics and Ventilation of Vehicle Tunnels - Abr. 1973. Published by BHRA Fluid Engineering, Cranfield, Bedford, England.
- [19] Foa, J.V., "Re-examination of the Aerodynamics of Vehicles in Enclosed Guideways", International Symposium on the Aerodynamics and Ventilation of Vehicle Tunnels - Abr. 1973. Published by BHRA Fluid Engineering, Cranfield, Bedford, England.
- [20] Fox, J.A. e Vardy A.E., "The Generation and Alleviation of Air Pressure Transients caused by the High Speed Passage of Vehicles Through Tunnels" International Symposium on the Aerodynamics and Ventilation of Vehicle Tunnels - Abr. 1973. Published by BHRA Fluid Engineering, Cranfield, Bedford, England.
- [21] Gaillard, M.A., "Aerodynamic of Trains in Tunnels", International Symposium on the Aerodynamics and Ventilation of Vehicle Tunnels - Abr. 1973. Published by BHRA Fluid Engineering, Cranfield, Bedford, England.
- [22] Danziger, N.H., "Research and Analysis of Subway Rapid Transit System Aerodynamics and Thermodynamics", International Symposium on the Aerodynamics and Ventilation of Vehicle Tunnels - Abr. 1973. Published by BHRA Fluid Engineering, Cranfield, Bedford, England.
- [23] Hark, W.B., "Environmental Control in Rail Tunnels", International Symposium on the Aerodynamics and Ventilation of Vehicle Tunnels - Abr. 1973. Published by BHRA Fluid Engineering, Cranfield, Bedford, England.
- [24] Capella, A., Sanchez, J.L. e Tinoco, J., "Algunos Problemas Relacionados con la Ventilacion de las Lineas del Metro de la Ciudad de México". Facultad de Ingenieria, UNAM.
- [25] Bendelius, A.G. e Metsch, W.W., "Environmental Control for the Caracas Metro", ASHRAE Journal - Set. 1973.
- [26] Burton, D.R. "Thermal Comfort Studies: A Theoretical Assessment", ASHRAE Journal - Ago. 1972.
- [27] Kaiser Engineers (Consulting Engineers), "Subway Environment Design Criteria", Technical Report No. UMTA-DC-MTD-7-71-26 to Institute for Rapid Transit (Washington, D.C.) - U.S. Depart-

ment of Transportation (Set. 1971).

- [28] Companhia do Metropolitano de São Paulo, Sistemas de Ventilação: Linha Norte-Sul (Especificações Técnicas e Desenhos).
- [29] Companhia do Metropolitano de São Paulo, Manual de Projeto de Ventilação (Circulação interna) - Fev. 1976.

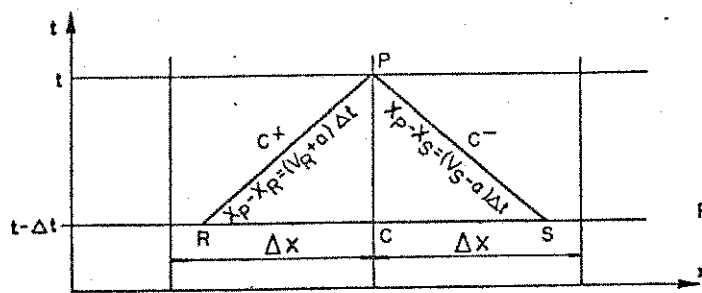


Fig. 2 Linhas Características

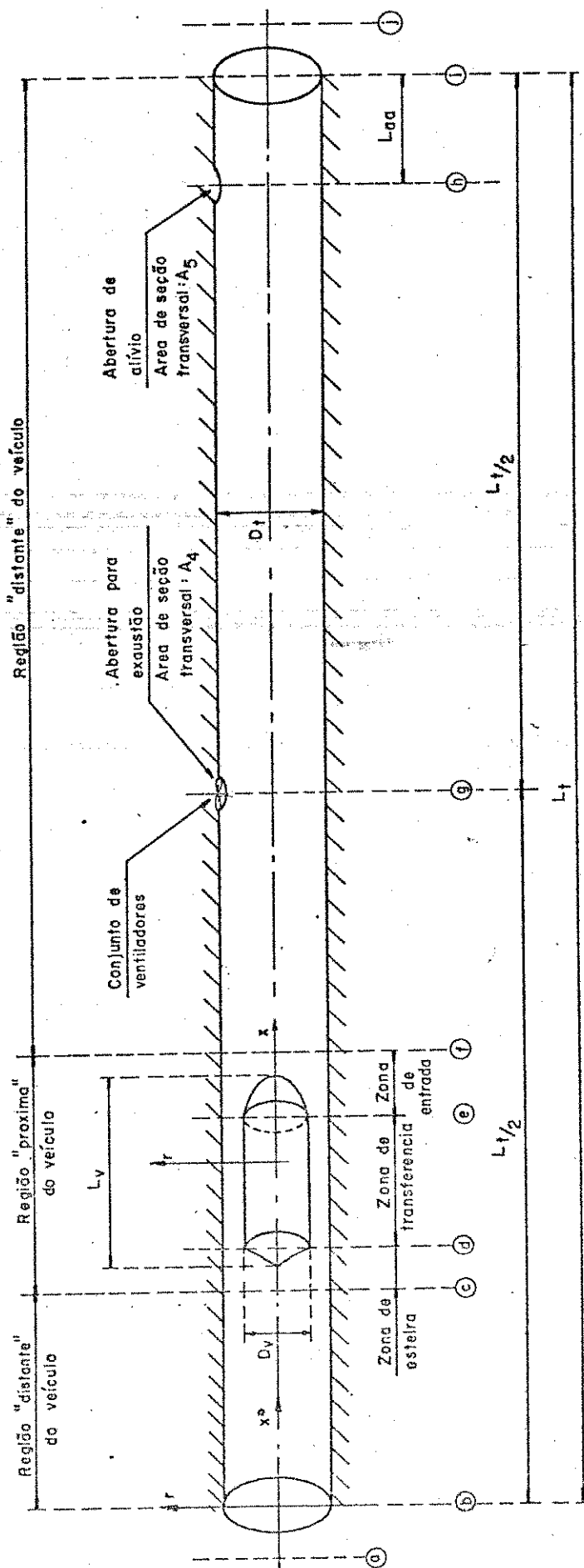


Fig. 1 Esquema do Modelo Físico Adotado neste Trabalho

Fig.3 - Posições relativas entre as curvas características e as curvas distância-tempo da frente e traseira do veículo.

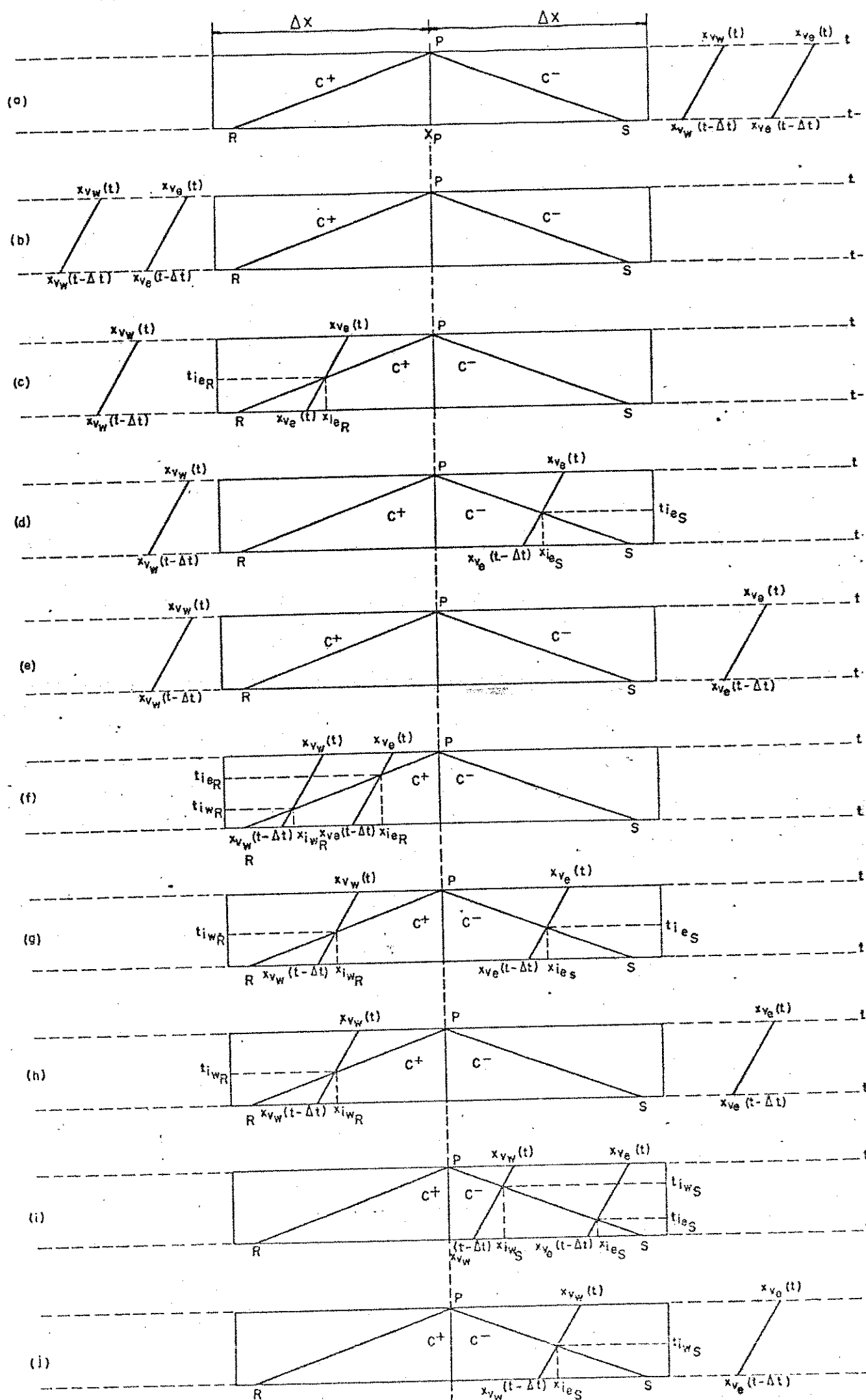
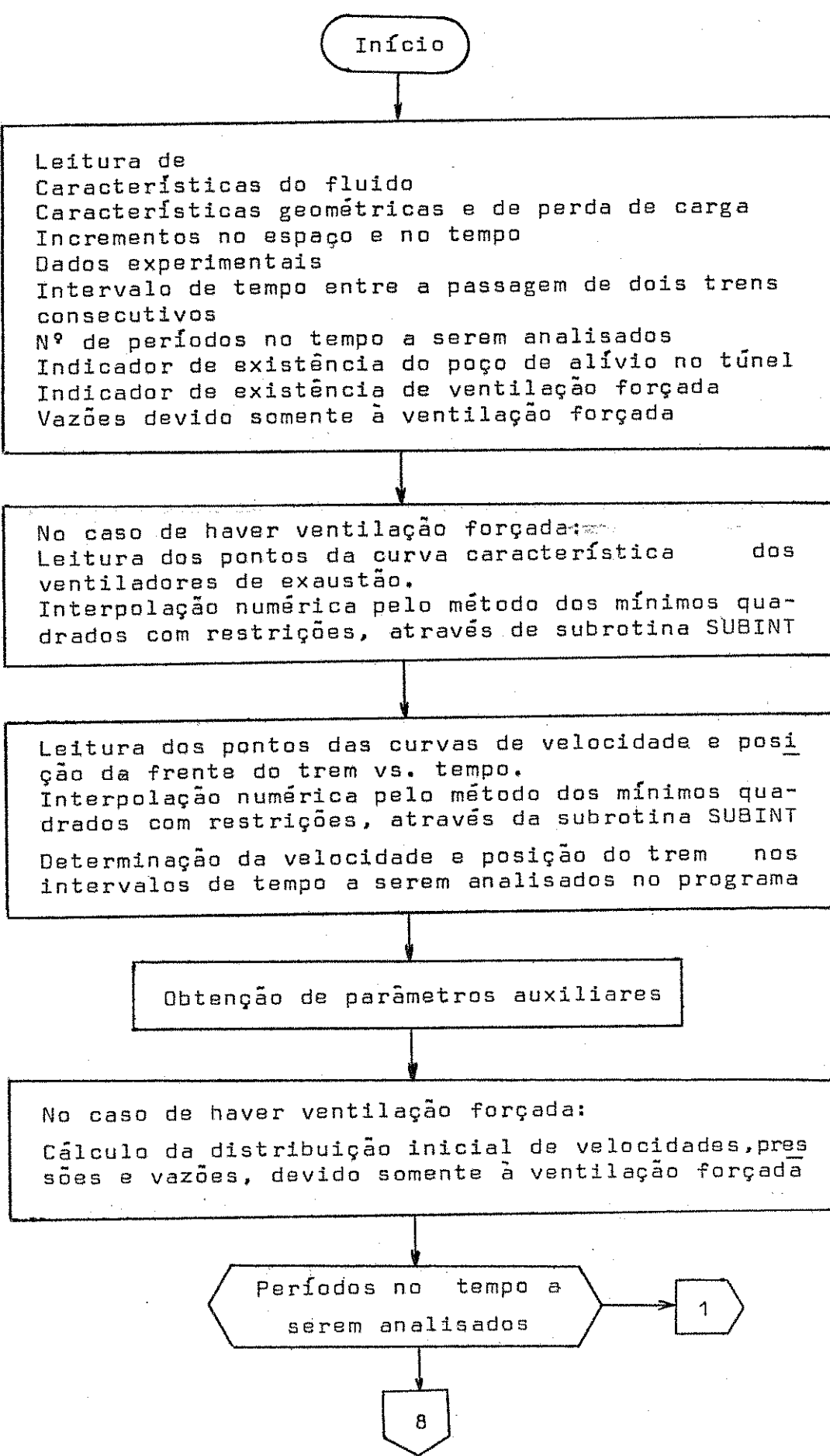
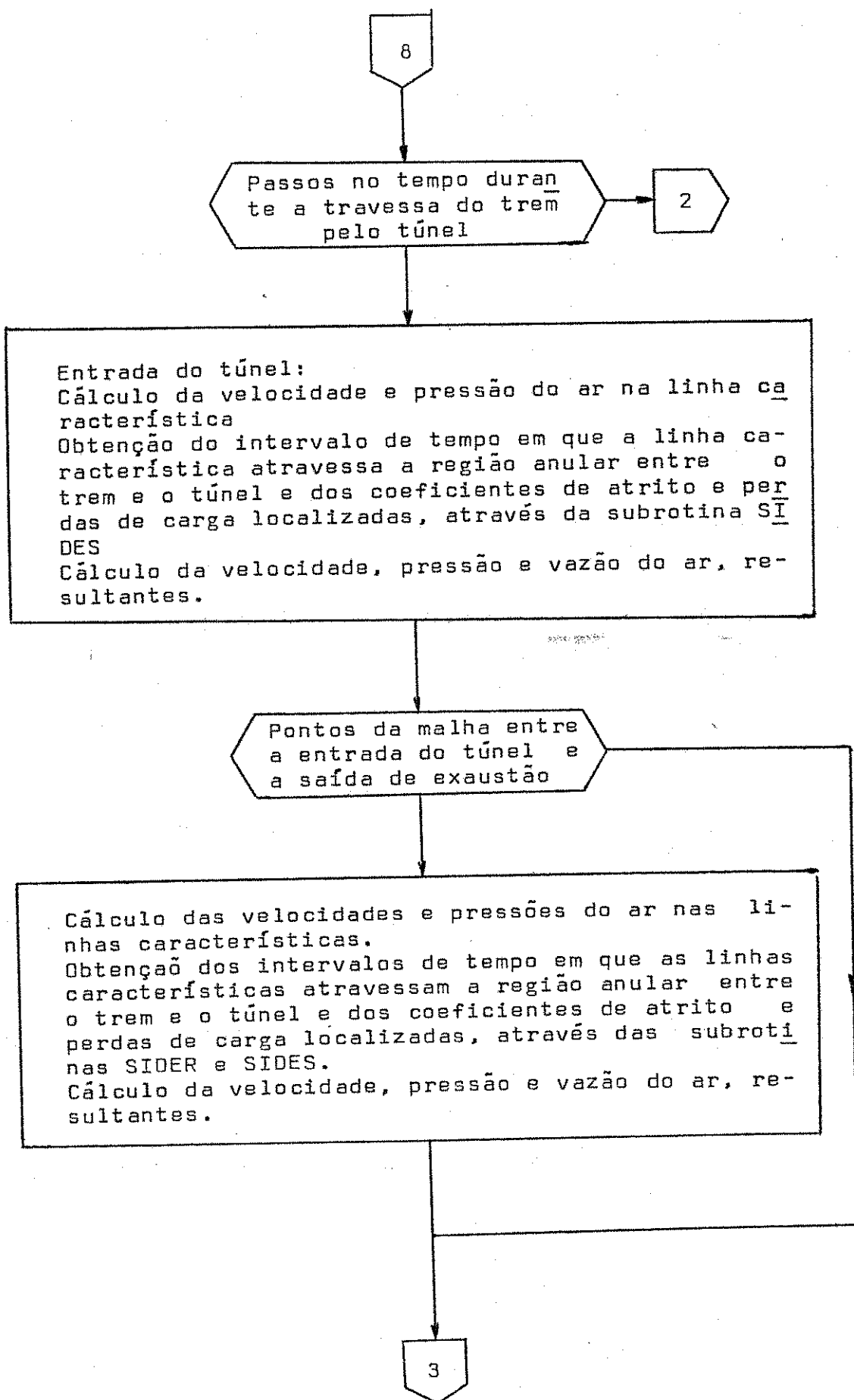


Fig. 4 FLUXOGRAMA BÁSICO





3

Saída de Exaustão:

Cálculo das velocidades e pressões do ar nas linhas características.

Obtenção dos intervalos de tempo em que as linhas características atravessam a região anular entre o trem e o túnel e, dos coeficientes de atrito e perda de carga localizadas, através das subrotinas SIDER e SIDES.

Cálculo da velocidade, pressão e vazão do ar, resultantes. No caso de haver ventilação forçada leva-se em conta a curva característica dos ventiladores assim como as características de perda de carga dos dutos de exaustão. Caso contrário, somente o último efeito é considerado.

Cálculo da vazão média do ar no trecho entre a entrada do túnel e a saída de exaustão.

Pontos da malha entre a saída de exaustão e o poço de alívio

Cálculo das velocidades e pressões do ar nas linhas características.

Obtenção dos intervalos de tempo em que as linhas características atravessam a região anular entre o trem e o túnel e, dos coeficientes de atrito e perdas de carga localizadas, através das subrotinas SIDER e SIDES.

Cálculo da velocidade, pressão e vazão do ar, resultantes.

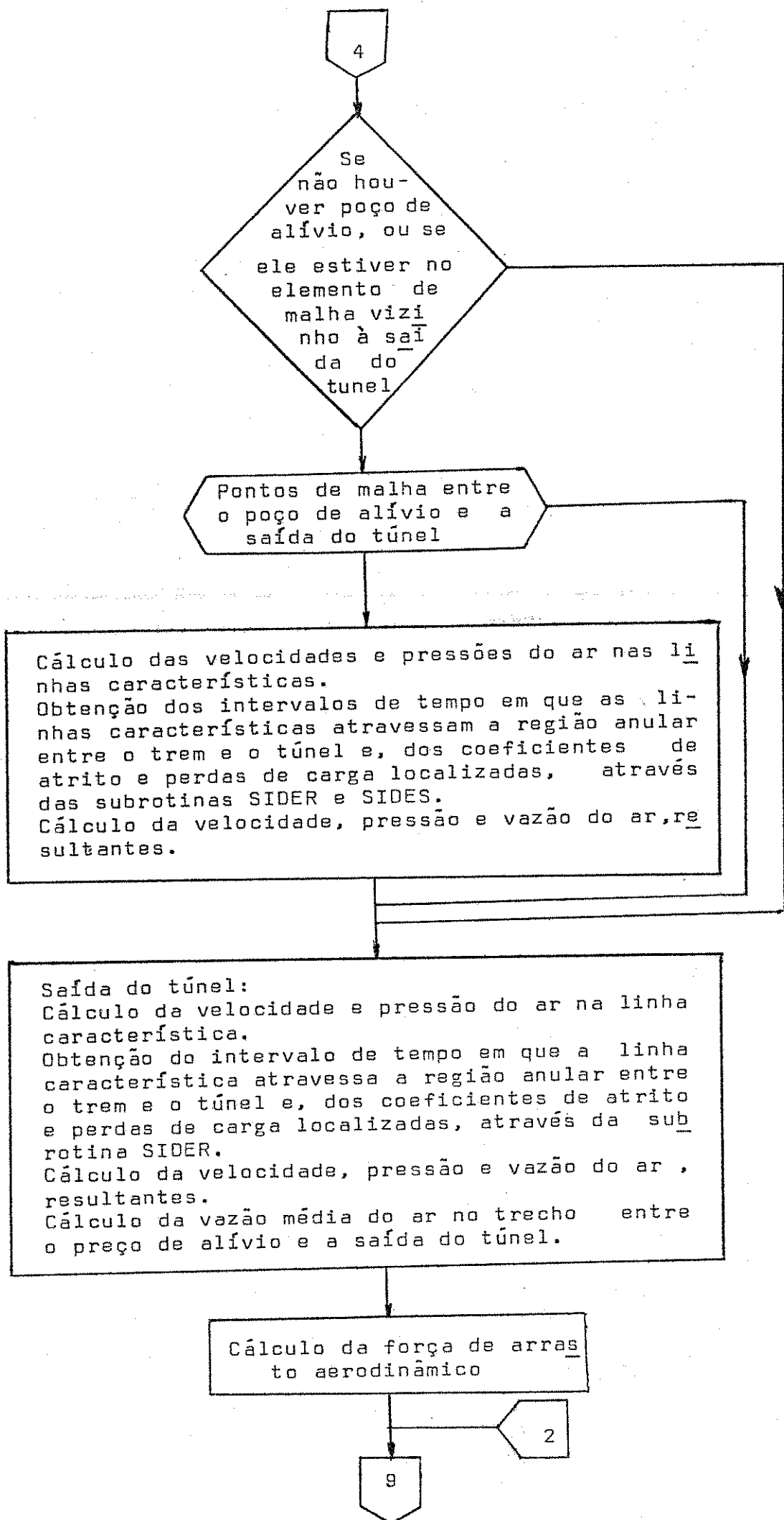
Poço de alívio:

Cálculo das velocidades e pressões do ar nas linhas características.

Obtenção dos intervalos de tempo em que as linhas características atravessam a região anular entre o trem e o túnel e, dos coeficientes de atrito e perdas de carga localizadas, através das subrotinas SIDER e SIDES.

Cálculo da velocidade, pressão e vazão do ar, resultantes. Quando a válvula do poço estiver aberta, considerar-se-ão as características de perdas de carga dos dutos. Quando ela estiver fechada ou simplesmente o poço não existir, o cálculo é similar ao de qualquer ponto interno da malha.

Cálculo da vazão média do ar no trecho entre a saída de exaustão e o poço de alívio.



9

Impressão de  
Força de Arrasto vs. Tempo. Gráfico através da  
subrotina PLOT.  
Força de arrasto média durante a passagem do  
trem pelo túnel.

Passos no tempo após o trem  
ter saído do túnel e até a  
entrada do trem seguinte

5

Entrada do Túnel:  
Cálculo da velocidade e pressão do ar na linha  
característica.  
Cálculo do coeficiente de atrito.  
Cálculo da velocidade, pressão e vazão do ar, re  
sultantes.

Pontos da malha entre  
a entrada do túnel e  
a saída de exaustão

Cálculo das velocidades e pressões do ar nas li  
nhas características.  
Cálculo dos coeficientes de atrito.  
Cálculo da velocidade, pressão e vazão do ar, re  
sultantes.

Saída de Exaustão.

Cálculo das velocidades e pressões do ar nas li  
nhas características.

Cálculo dos coeficientes de atrito.

Cálculo da velocidade, pressão e vazão do ar, re  
sultantes.

No caso de haver ventilação forçada leva-se em  
conta a curva característica dos ventiladores  
assim como as características de perda de carga  
dos dutos de exaustão. Caso contrário somente o  
último efeito é considerado.

Cálculo da vazão média do ar no trecho entre a  
entrada do túnel e a saída da exaustão.

6

6

Pontos da malha entre  
a saída de exaustão  
e o poço de alívio

Cálculo das velocidades e pressões do ar nas li  
nhas características.  
Cálculo dos coeficientes de atrito  
Cálculo da velocidade, pressão e vazão do ar, re  
sultantes.

Poço de Alívio:

Cálculo das velocidades e pressões do ar nas li  
nhas características.  
Cálculo dos coeficientes de atrito.  
Cálculo da velocidade, pressão e vazão do ar, re  
sultantes. O procedimento é similar ao de qual  
quer ponto interno da malha já que, mesmo haver  
do o poço de alívio ele estará fechado.  
Cálculo da vazão média do ar no trecho entre a  
saída de exaustão e o poço de alívio.

Se

o poço de  
alívio estiver  
no elemento de ma  
lha vizinho a saí  
da do tú  
nel

Pontos da malha entre  
o poço de alívio e a  
saída do túnel

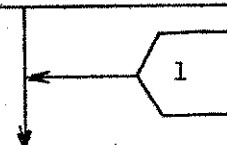
Cálculo das velocidades e pressões do ar nas li  
nhas características.  
Cálculo da velocidade, pressão e vazão do ar, re  
sultantes.



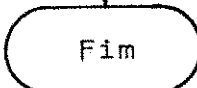
Saída do Túnel:  
Cálculo da velocidade e pressão do ar na linha característica.  
Cálculo do coeficiente de atrito.  
Cálculo da velocidade, pressão e vazão do ar, resultantes.  
Cálculo da vazão média do ar no trecho entre o poço de alívio e a saída do túnel.

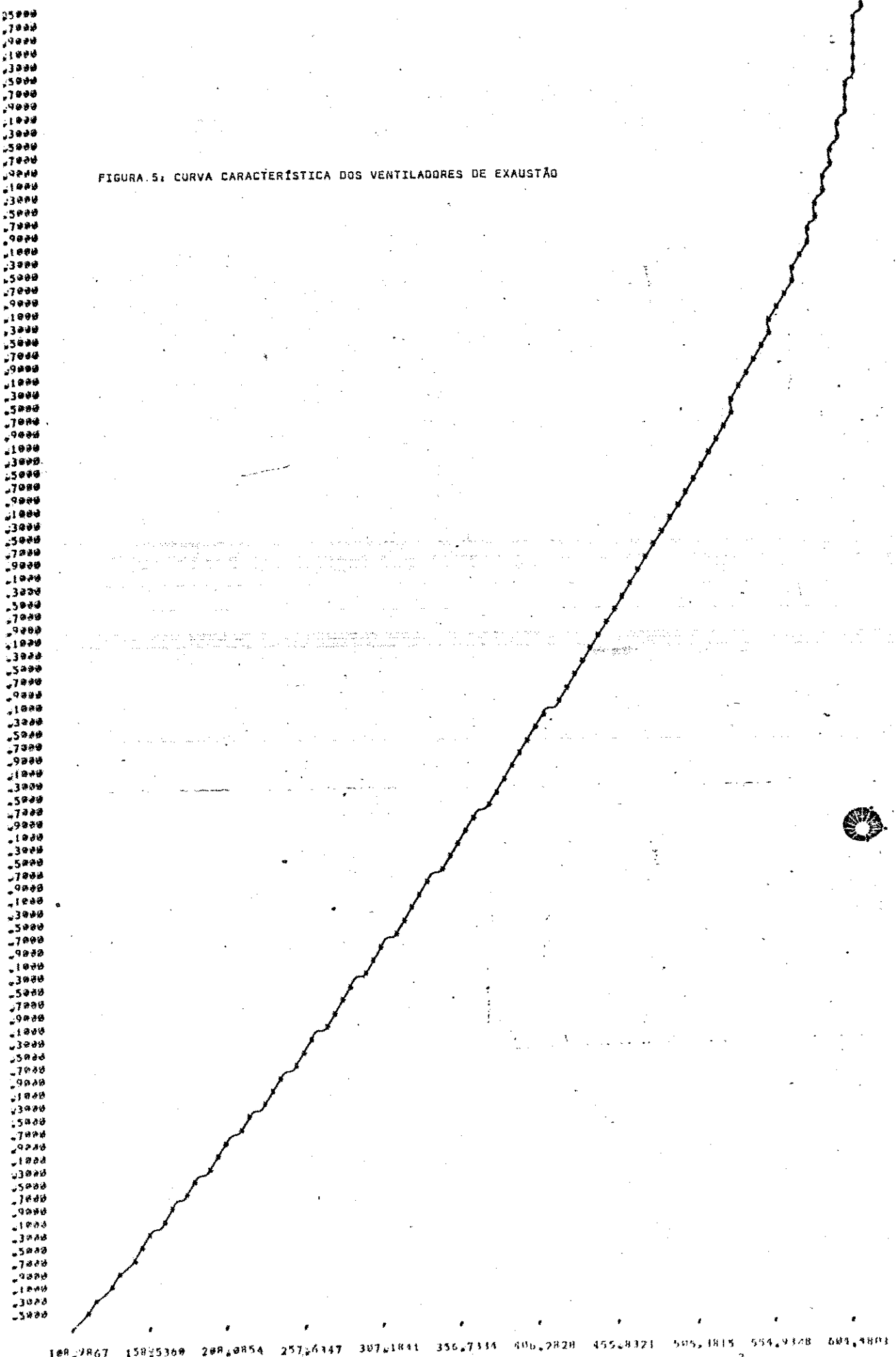


Impressão de  
Vazões do ar nas cinco partes em que foi dividido o sistema vs. tempo. Gráficos através da subrotina PLOT.  
Distribuições de velocidade e pressão ao longo do túnel para instantes pré-estabelecidos no tempo. Gráficos através da subrotina PLOT.



Transferência dos últimos valores obtidos neste período para as condições iniciais do período seguinte.





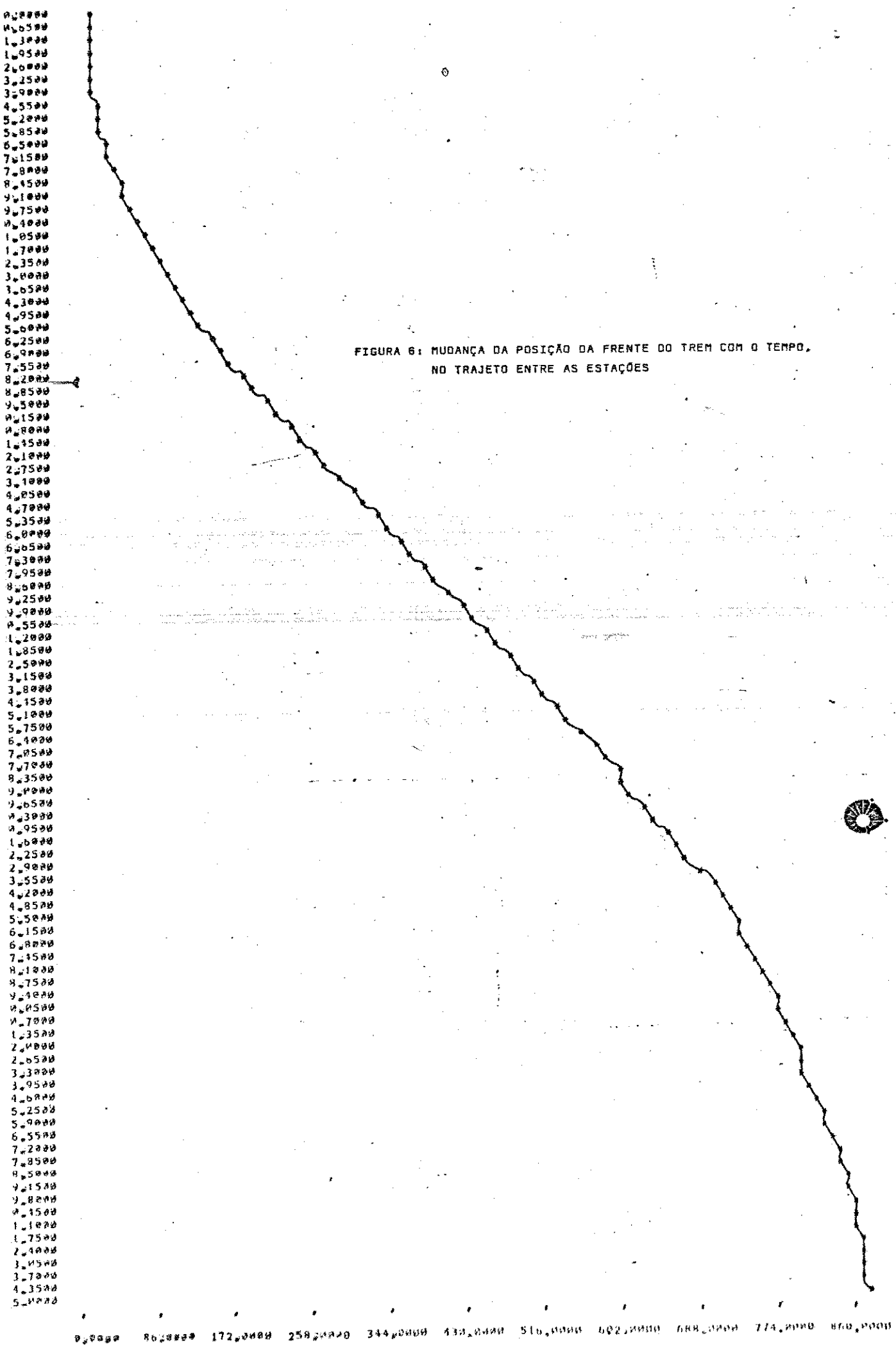
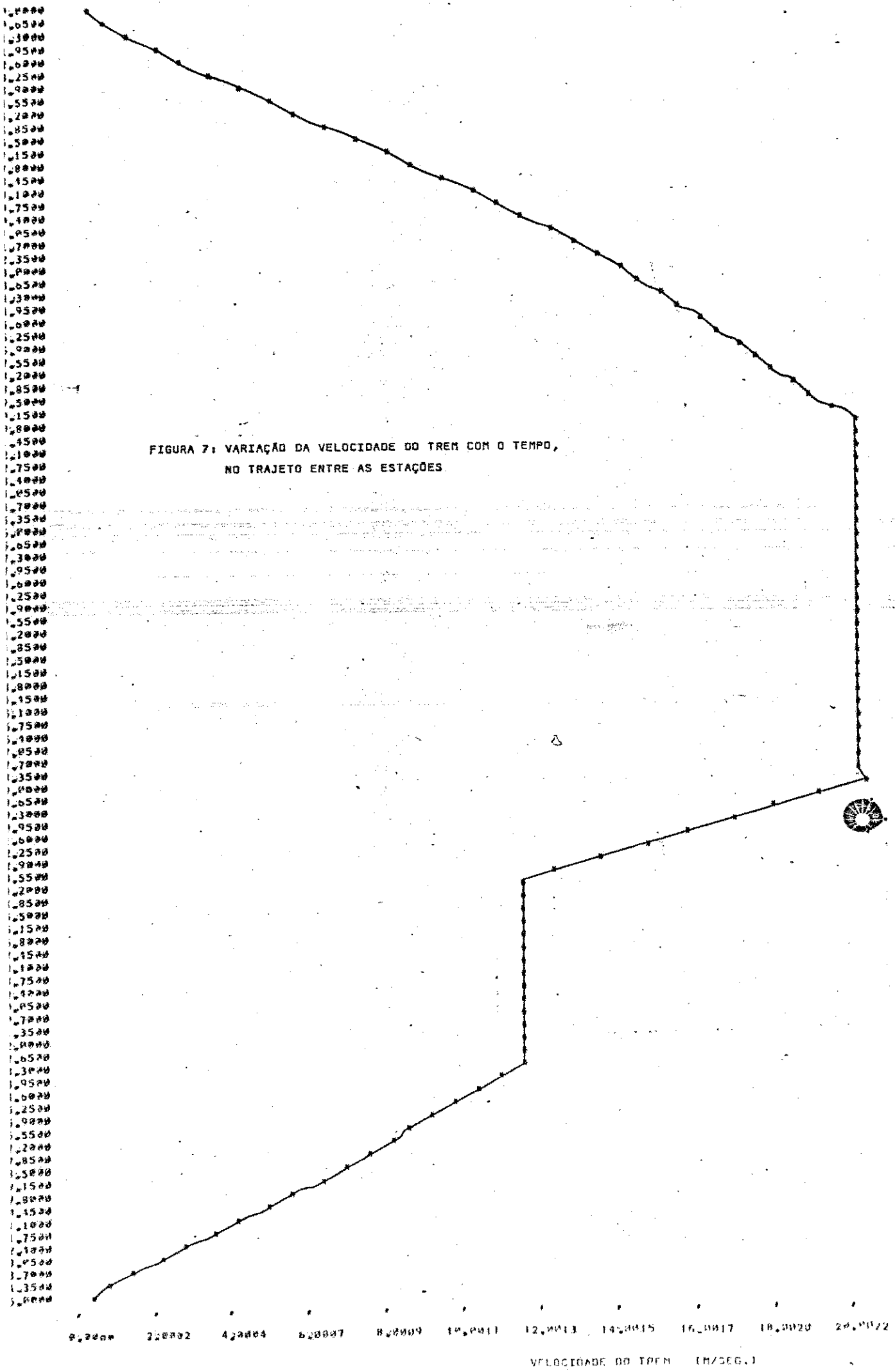


FIGURA 6: MUDANÇA DA POSIÇÃO DA FRENTE DO TREM COM O TEMPO,  
NO TRAJETO ENTRE AS ESTAÇÕES

0,0000 86,0000 172,0000 258,0000 344,0000 430,0000 516,0000 602,0000 688,0000 774,0000 860,0000

POSIÇÃO DA FRENTE DO TREM (m)



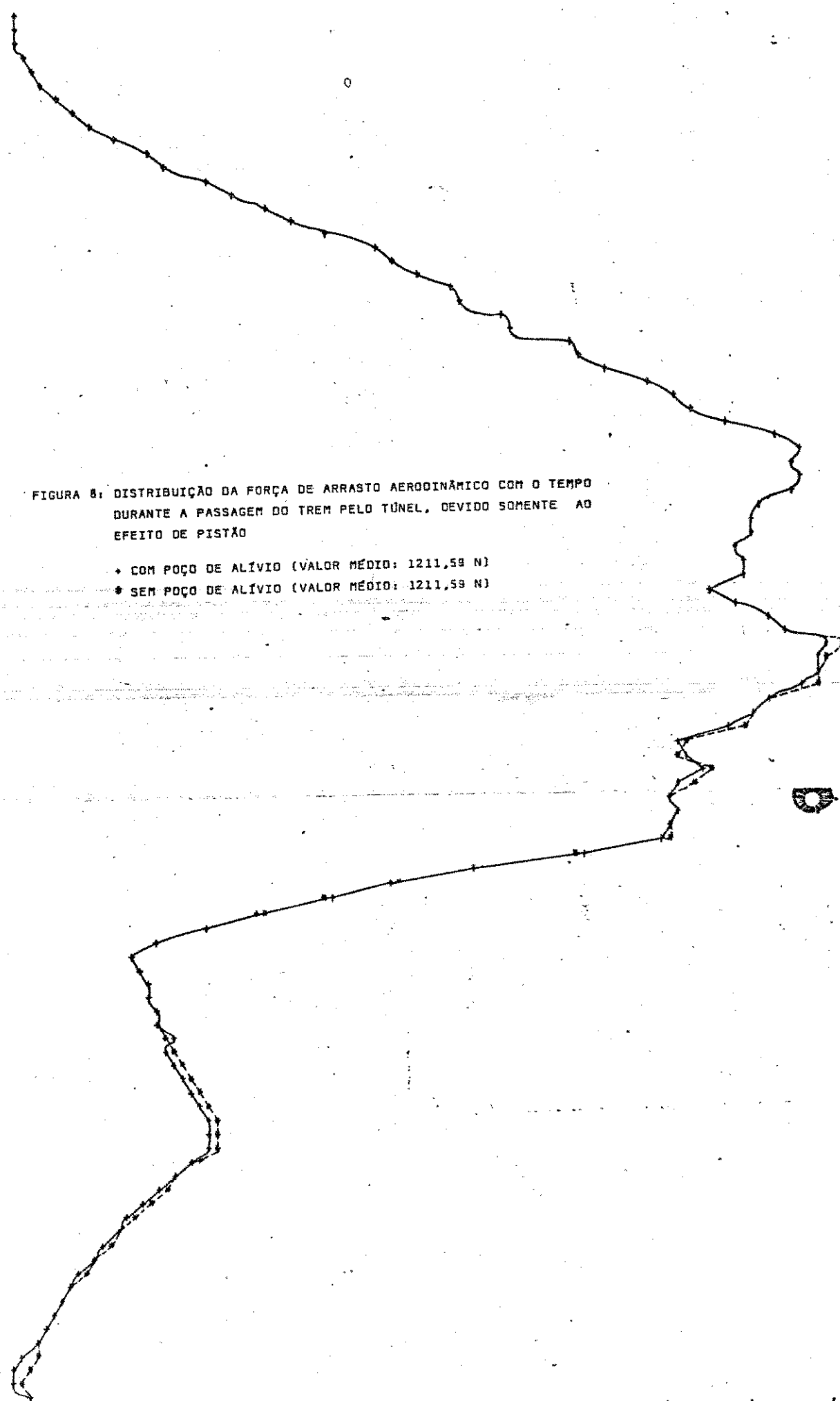


FIGURA 8: DISTRIBUIÇÃO DA FORÇA DE ARRASTO AERODINÂMICO COM O TEMPO  
DURANTE A PASSAGEM DO TREM PELO TÚNEL, DEVIDO SOMENTE AO  
EFEITO DE PISTÃO

+ COM POÇO DE ALÍVIO (VALOR MÉDIO: 1211,59 N)

\* SEM POÇO DE ALÍVIO (VALOR MÉDIO: 1211,59 N)

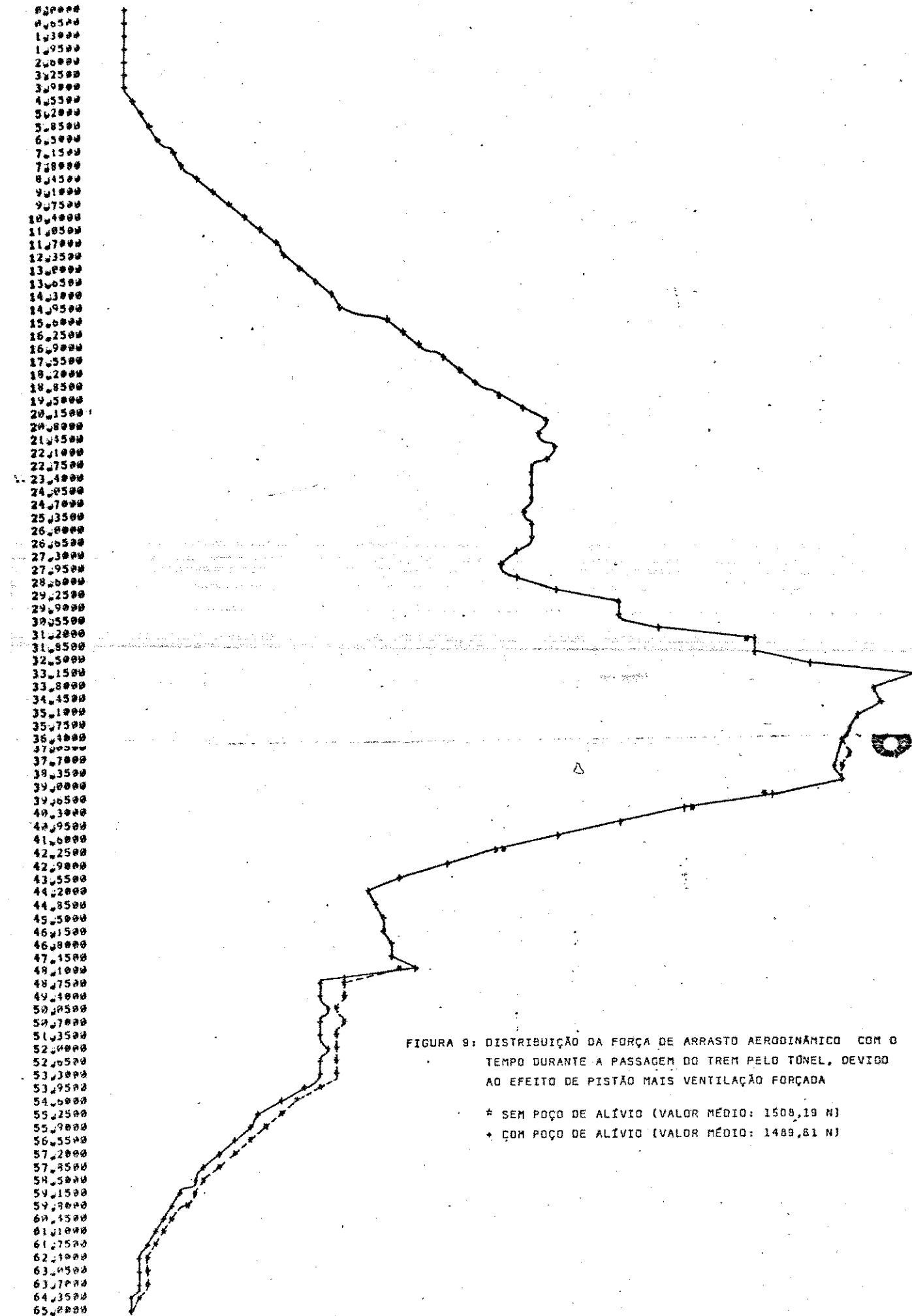


FIGURA 9: DISTRIBUIÇÃO DA FORÇA DE ARRASTO AERODINÂMICO COM O TEMPO DURANTE A PASSAGEM DO TREM PELO TÚNEL, DEVIDO AO EFEITO DE PISTÃO MAIS VENTILAÇÃO FORÇADA

\* SEM POÇO DE ALÍVIO (VALOR MÉDIO: 1508,19 N)  
+ COM POÇO DE ALÍVIO (VALOR MÉDIO: 1489,61 N)

333,6273 397,9197 829,5006 1261,0735 1692,6485 2124,2074 2555,7714 2987,3313 3418,9983 3851,4753 4282,9421

FORÇA DE ARRASTO (N)

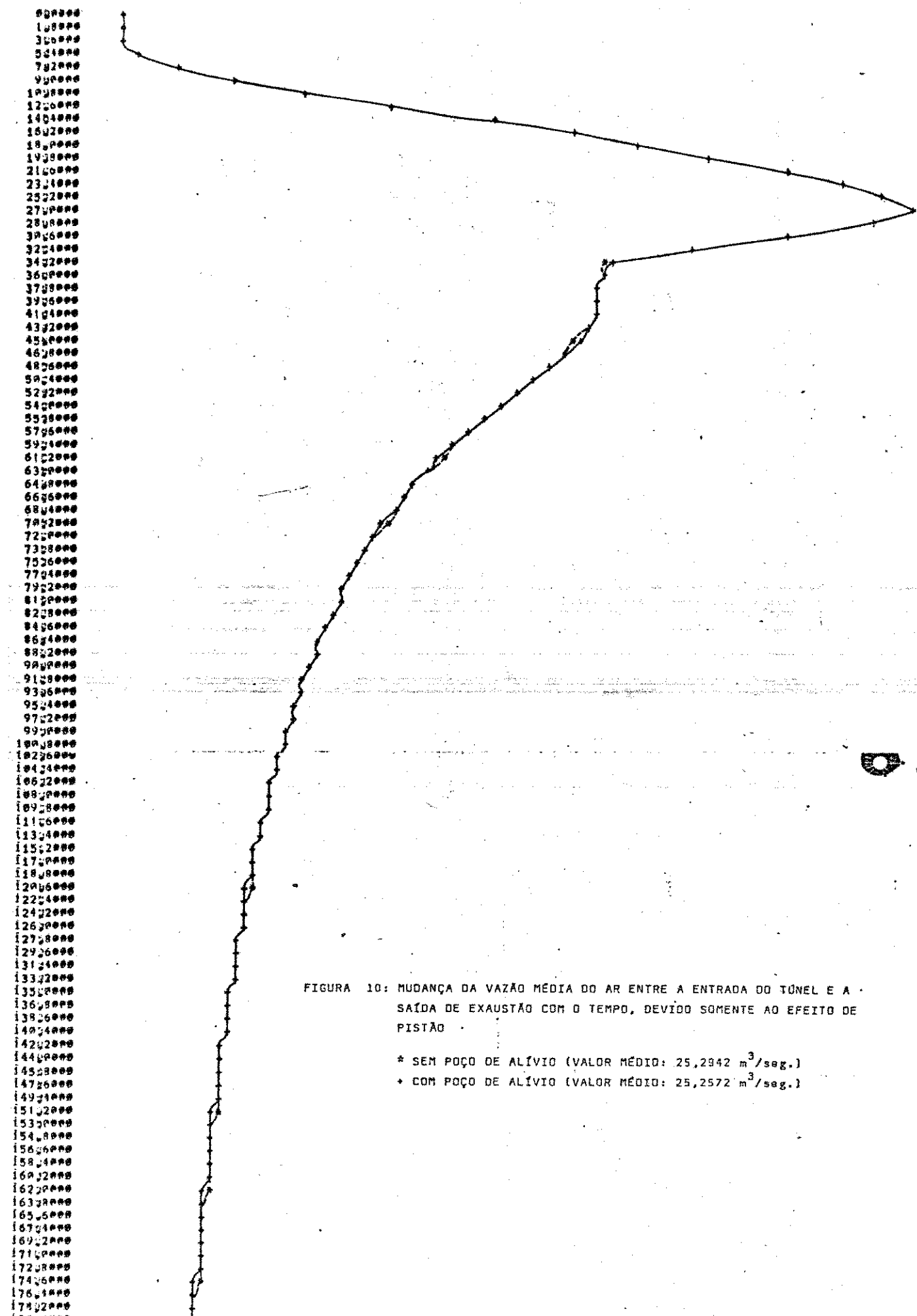


FIGURA 10: MUDANÇA DA VAZÃO MÉDIA DO AR ENTRE A ENTRADA DO TÚNEL E A SAÍDA DE EXAUSTÃO COM O TEMPO, DEVIDO SOMENTE AO EFEITO DE PISTÃO

\* SEM POÇO DE ALÍVIO (VALOR MÉDIO:  $25,2942 \text{ m}^3/\text{seg.}$ )  
+ COM POÇO DE ALÍVIO (VALOR MÉDIO:  $25,2572 \text{ m}^3/\text{seg.}$ )

0,0000 832838 16,4868 24,6891 32,8121 41,8151 49,8181 57,8211 65,8242 73,8272 82,8302  
VAZÃO ( $\text{m}^3/\text{seg.}$ )

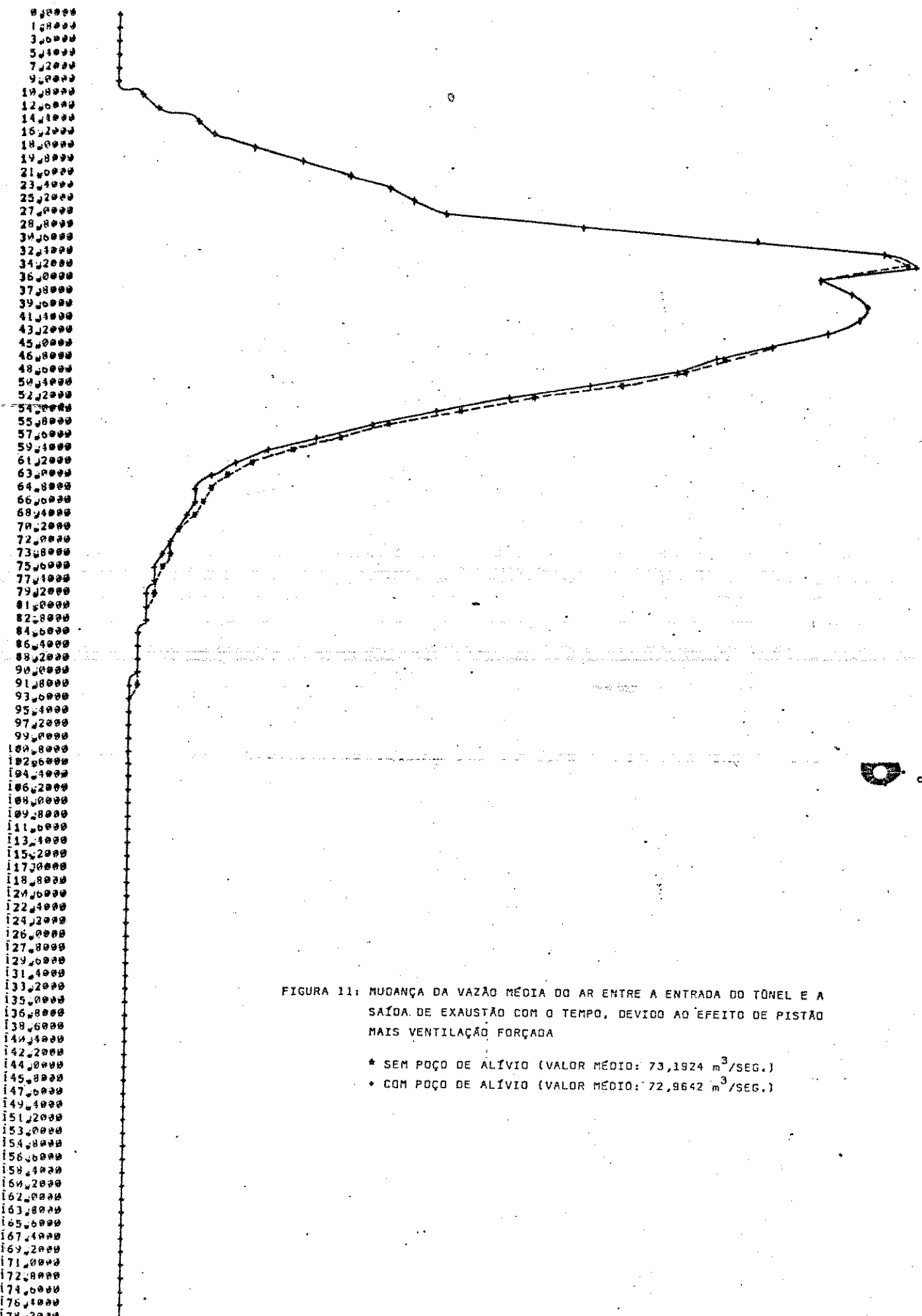


FIGURA 11: MUDANÇA DA VAZÃO MÉDIA DO AR ENTRE A ENTRADA DO TÔNEL E A SAÍDA DE EXAUSTÃO COM O TEMPO, DEVIDO AO EFEITO DE PISTÃO MAIS VENTILAÇÃO FORÇADA

- \* SEM POÇO DE ALÍVIO (VALOR MÉDIO:  $73,1924 \text{ m}^3/\text{SEG.}$ )
- \* COM POÇO DE ALÍVIO (VALOR MÉDIO:  $72,9642 \text{ m}^3/\text{SEG.}$ )

69,1197 67,8883 75,0000 82,5855 89,9741 97,3627 104,7513 112,1309 119,65285 126,9171 134,3056  
VAZÃO ( $\text{m}^3/\text{SEG.}$ )

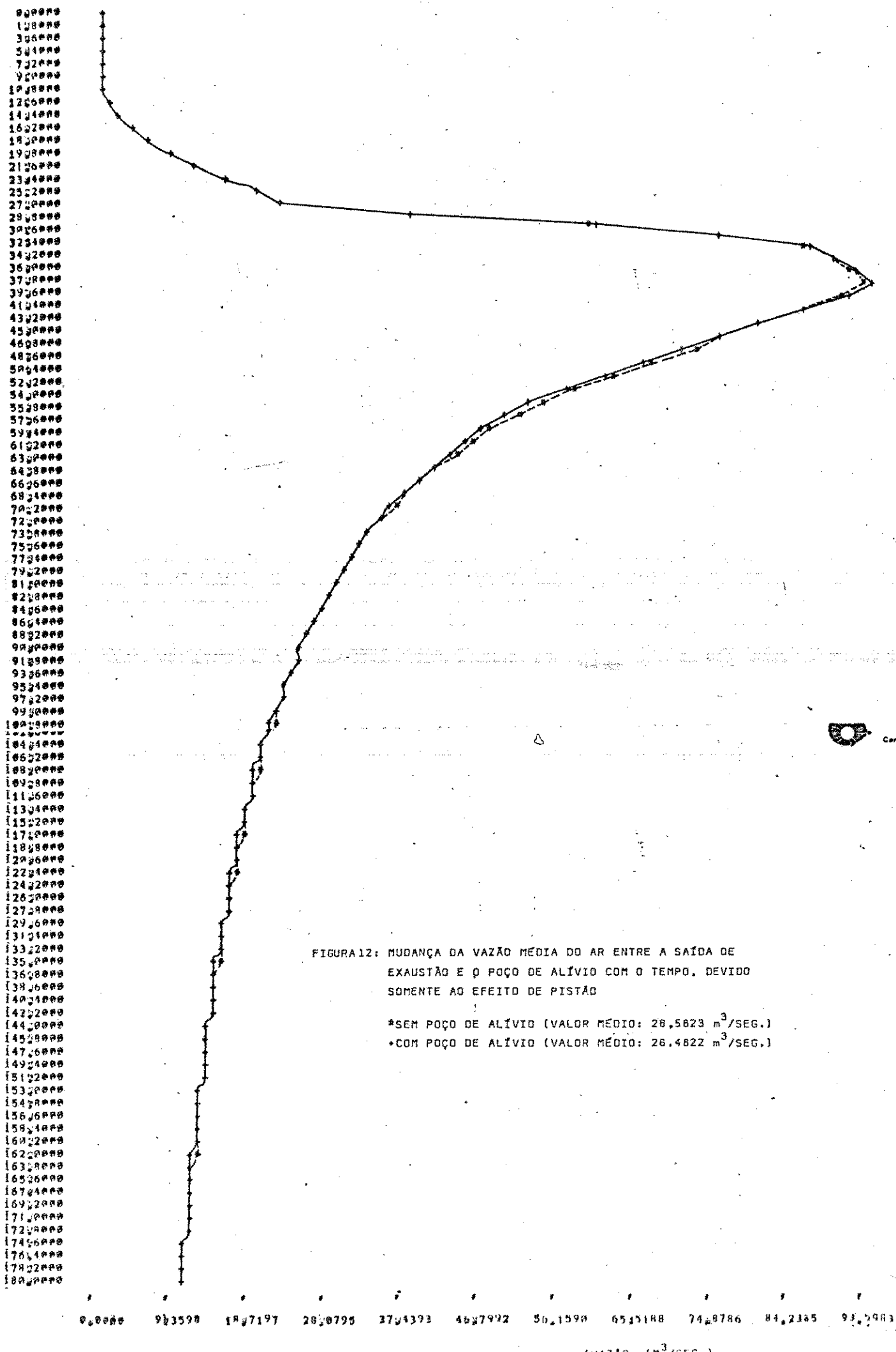


FIGURA 12: MUDANÇA DA VAZÃO MÉDIA DO AR ENTRE A SAÍDA DE EXAUSTÃO E O POÇO DE ALÍVIO COM O TEMPO, DEVIDO SOMENTE AO EFEITO DE PISTÃO

\*SEM POÇO DE ALÍVIO (VALOR MÉDIO:  $26,5823 \text{ m}^3/\text{SEG.}$ )

\*COM POÇO DE ALÍVIO (VALOR MÉDIO:  $26,4822 \text{ m}^3/\text{SEG.}$ )

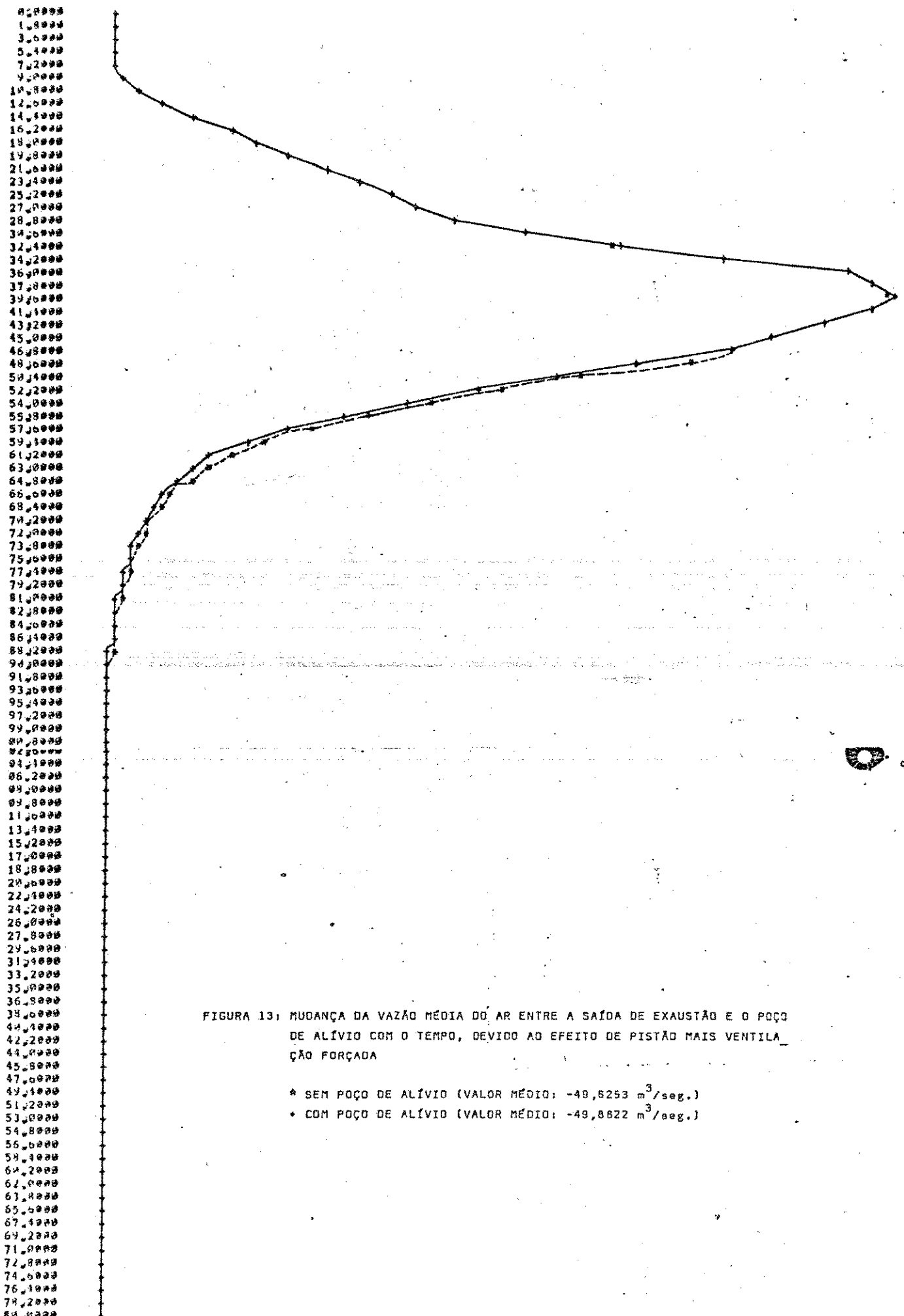


FIGURA 13: MUDANÇA DA VAZÃO MÉDIA DO AR ENTRE A SAÍDA DE EXAUSTÃO E O POÇO DE ALÍVIO COM O TEMPO, DEVIDO AO EFEITO DE PISTÃO MAIS VENTILAÇÃO FORÇADA

\* SEM POÇO DE ALÍVIO (VALOR MÉDIO:  $-49,6253 \text{ m}^3/\text{seg.}$ )

+ COM POÇO DE ALÍVIO (VALOR MÉDIO:  $-49,8622 \text{ m}^3/\text{seg.}$ )

5123485 5389166 4586818 3735329 294210 212891 134572 53H254 381865 11,2383 19,3703

VAZÃO ( $\text{m}^3/\text{seg.}$ )

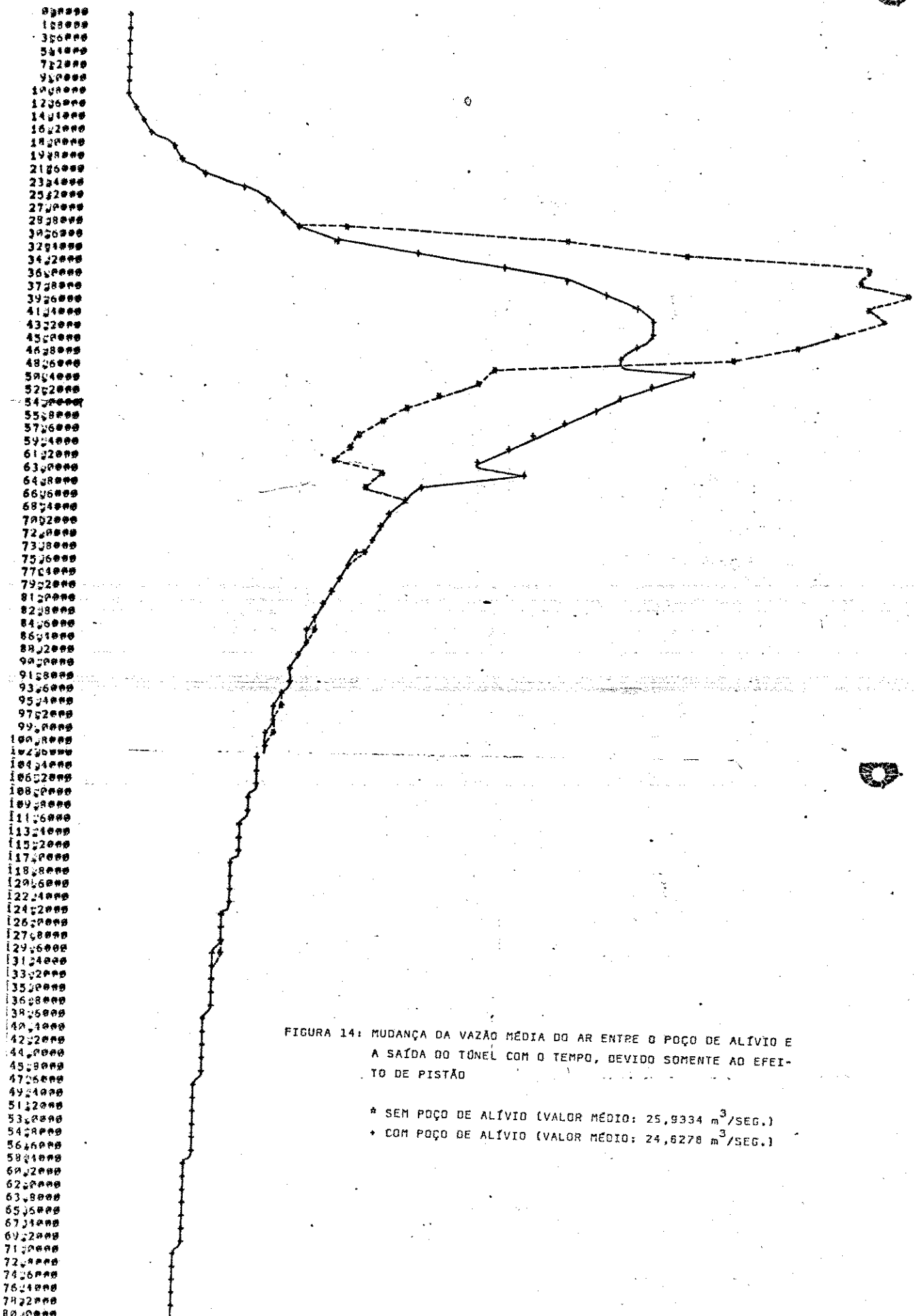


FIGURA 14: MUDANÇA DA VAZÃO MÉDIA DO AR ENTRE O POÇO DE ALIVIO E A SAÍDA DO TÚNEL COM O TEMPO, DEVIDO SOMENTE AO EFEITO DE PISTÃO

\* SEM POÇO DE ALÍVIO (VALOR MÉDIO:  $25,9334 \text{ m}^3/\text{SEG.}$ )  
+ COM POÇO DE ALÍVIO (VALOR MÉDIO:  $24,6278 \text{ m}^3/\text{SEG.}$ )

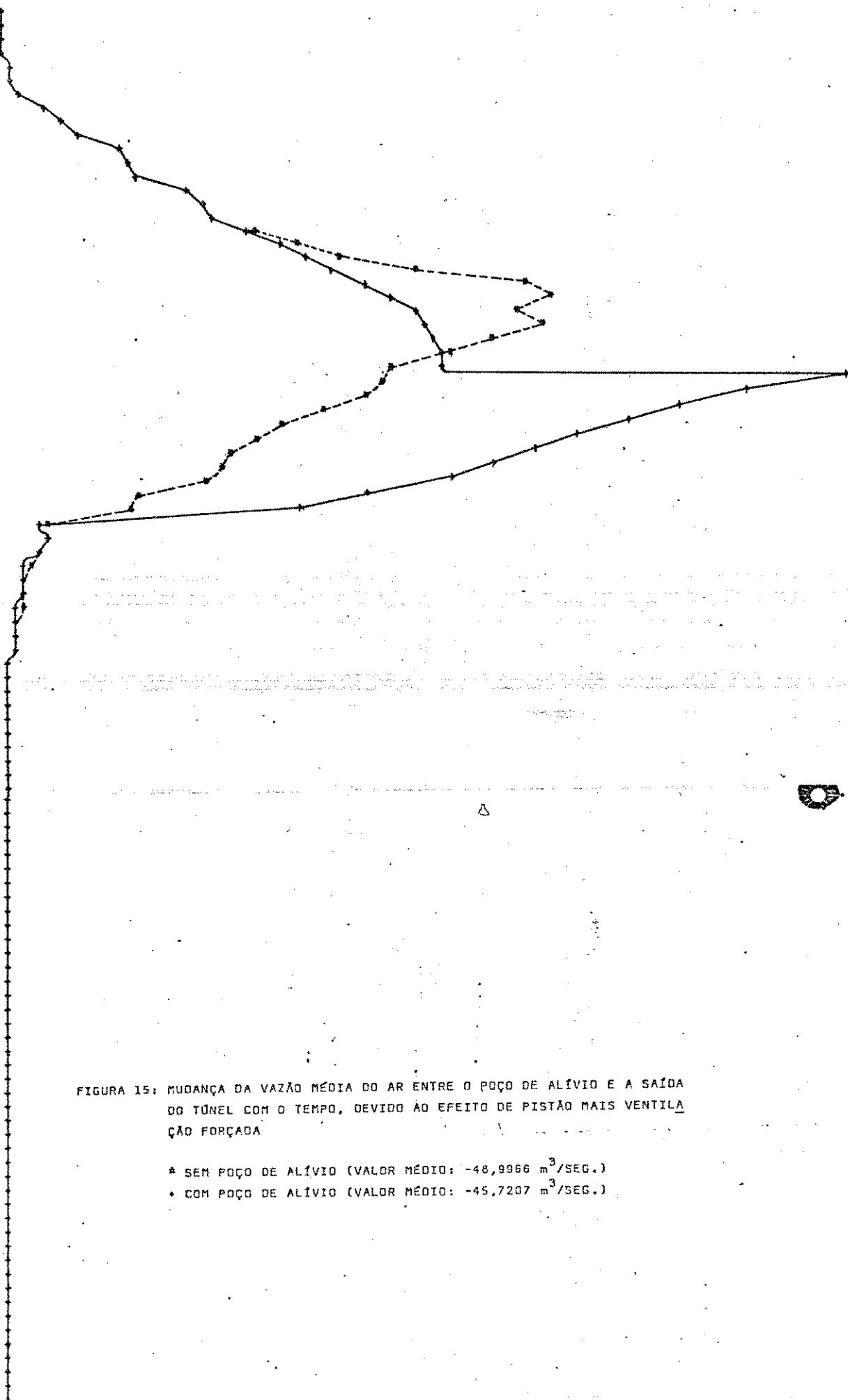


FIGURA 15: MUDANÇA DA VAZÃO MÉDIA DO AR ENTRE O POÇO DE ALÍVIO E A SAÍDA  
DO TÚNEL COM O TEMPO, DEVIDO AO EFEITO DE PISTÃO MAIS VENTILA  
ÇÃO FORÇADA

\* SEM POÇO DE ALÍVIO (VALOR MÉDIO:  $-46,9966 \text{ m}^3/\text{SEG.}$ )  
• COM POÇO DE ALÍVIO (VALOR MÉDIO:  $-45,7207 \text{ m}^3/\text{SEG.}$ )

61,0386 -49,6778 -47,4171 -42,51584 -41,28936 -40,63149 11,6258 23,38866 30,31473 48,41088 68,9688  
VAZÃO ( $\text{m}^3/\text{SEG.}$ )

920000  
150000  
300000  
550000  
700000  
950000  
1000000  
1250000  
1400000  
1600000  
1800000  
1950000  
2100000  
2300000  
2500000  
2700000  
2800000  
3000000  
3200000  
3400000  
3600000  
3700000  
3900000  
4100000  
4300000  
4500000  
4600000  
4800000  
5000000  
5200000  
5400000  
5500000  
5700000  
5900000  
6100000  
6300000  
6400000  
6600000  
6800000  
7000000  
7200000  
7300000  
7500000  
7700000  
7900000  
8100000  
8200000  
8400000  
8600000  
8800000  
9000000  
9100000  
9300000  
9500000  
9700000  
9900000  
10000000  
10200000  
10400000  
10600000  
10800000  
10900000  
11000000  
11100000  
11300000  
11500000  
11700000  
11800000  
12000000  
12200000  
12400000  
12600000  
12700000  
12900000  
13100000  
13300000  
13500000  
13600000  
13800000  
14000000  
14200000  
14400000  
14600000  
14700000  
14900000  
15100000  
15300000  
15400000  
15600000  
15800000  
16000000  
16200000  
16300000  
16500000  
16700000  
16900000  
17100000  
17200000  
17400000  
17600000  
17800000  
18000000

FIGURA 16: MUDANÇA DA VAZÃO DO AR NA SAÍDA DE EXAUSTÃO COM O TEMPO, DEVIDO SOMENTE AO EFEITO DE PISTÃO

- \* SEM POÇO DE ALIVIO (VALOR MÉDIO:  
 $-5,3678 \text{ m}^3/\text{SEG.}$ )
- + COM POÇO DE ALIVIO (VALOR MÉDIO:  
 $-5,2225 \text{ m}^3/\text{SEG.}$ )

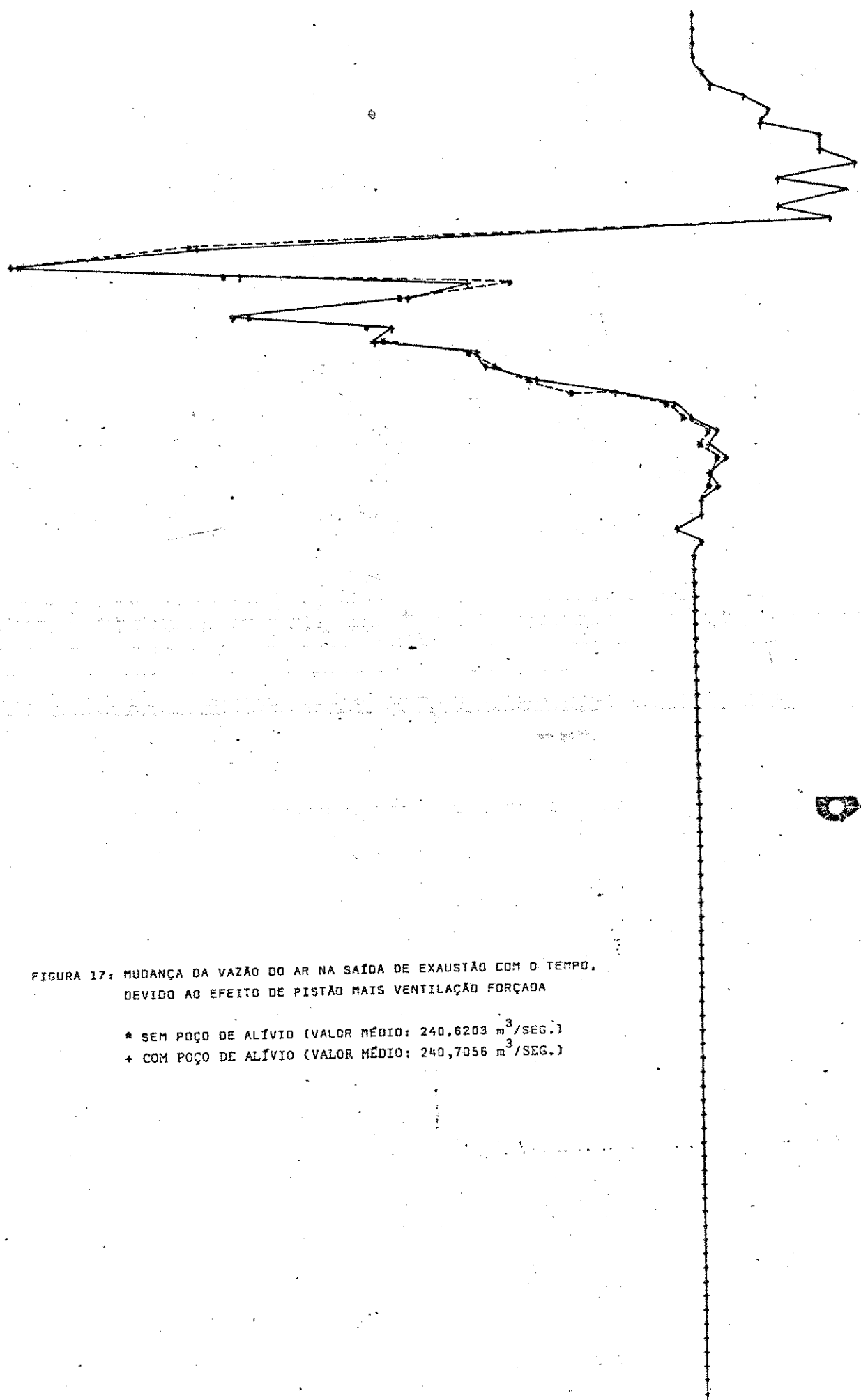


FIGURA 17: MUDANÇA DA VAZÃO DO AR NA SAÍDA DE EXAUSTÃO COM O TEMPO,  
DEVIDO AO EFEITO DE PISTÃO MAIS VENTILAÇÃO FORÇADA

\* SEM POÇO DE ALÍVIO (VALOR MÉDIO:  $240,6203 \text{ m}^3/\text{SEG.}$ )  
+ COM POÇO DE ALÍVIO (VALOR MÉDIO:  $240,7056 \text{ m}^3/\text{SEG.}$ )

180,5732 180,9404\* 181,2317 181,28655 181,8962 182,7478 182,85577 183,3885 183,82193 184,43888 184,8848  
VAZÃO ( $\text{m}^3/\text{SEG.}$ )

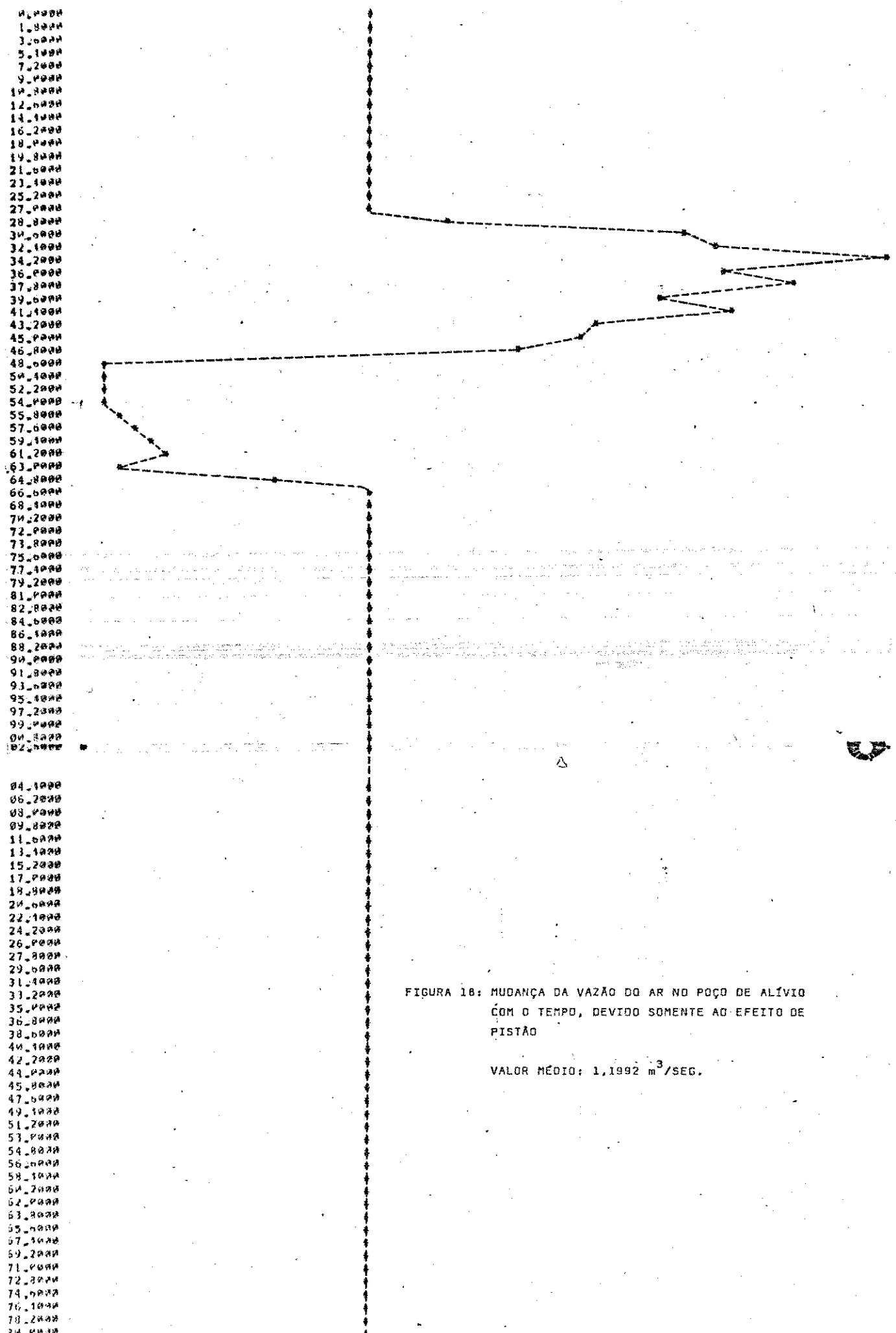


FIGURA 18: MUDANÇA DA VAZÃO DO AR NO POÇO DE ALÍVIO  
COM O TEMPO, DEVIDO SOMENTE AO EFEITO DE  
PISTÃO

VALOR MÉDIO:  $1,1992 \text{ m}^3/\text{seg.}$

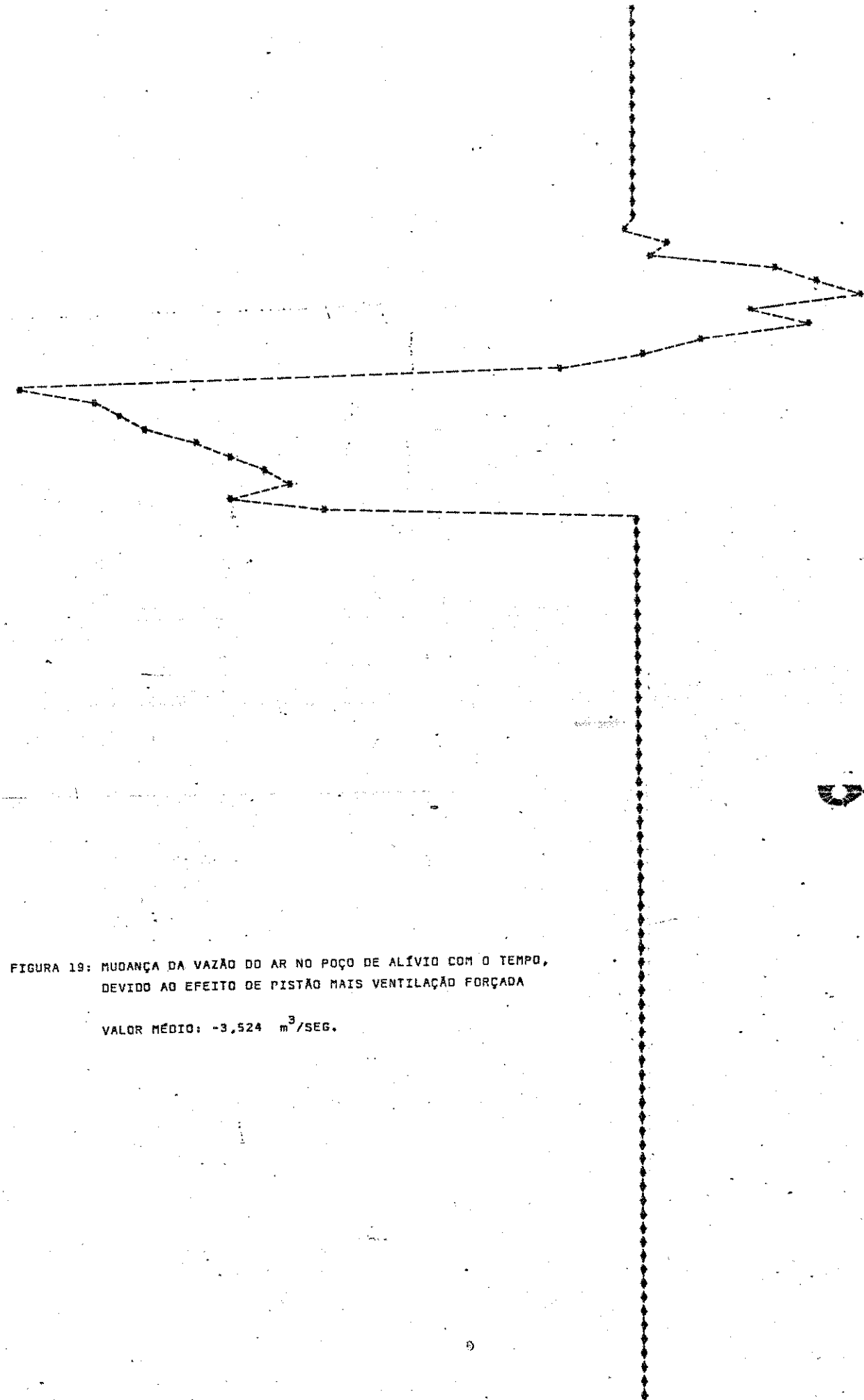


FIGURA 19: MUDANÇA DA VAZÃO DO AR NO POÇO DE ALÍVIO COM O TEMPO,  
DEVIDO AO EFEITO DE PISTÃO MAIS VENTILAÇÃO FORÇADA

VALOR MÉDIO:  $\sim 3,524 \text{ m}^3/\text{seg.}$

06636856 45735434 84834791 03934189 43033523 -3102893 -12,2268 -331627 519086 14,9693 24,9271

VAZÃO ( $\text{m}^3/\text{seg.}$ )

CHART 11



UNICAMP  
Centro de Comas

000,0000  
100,0000  
200,0000  
300,0000  
400,0000  
500,0000  
600,0000  
700,0000  
800,0000  
900,0000  
1000,0000  
1100,0000  
1200,0000  
1300,0000  
1400,0000  
1500,0000  
1600,0000  
1700,0000  
1800,0000  
1900,0000  
2000,0000  
2100,0000  
2200,0000  
2300,0000  
2400,0000  
2500,0000  
2600,0000  
2700,0000  
2800,0000  
2900,0000  
3000,0000  
3100,0000  
3200,0000  
3300,0000  
3400,0000  
3500,0000  
3600,0000  
3700,0000  
3800,0000  
3900,0000  
4000,0000  
4100,0000  
4200,0000  
4300,0000  
4400,0000  
4500,0000  
4600,0000  
4700,0000  
4800,0000  
4900,0000  
5000,0000  
5100,0000  
5200,0000  
5300,0000  
5400,0000  
5500,0000  
5600,0000  
5700,0000  
5800,0000  
5900,0000  
6000,0000  
6100,0000  
6200,0000  
6300,0000  
6400,0000  
6500,0000  
6600,0000  
6700,0000  
6800,0000  
6900,0000  
7000,0000  
7100,0000  
7200,0000  
7300,0000  
7400,0000

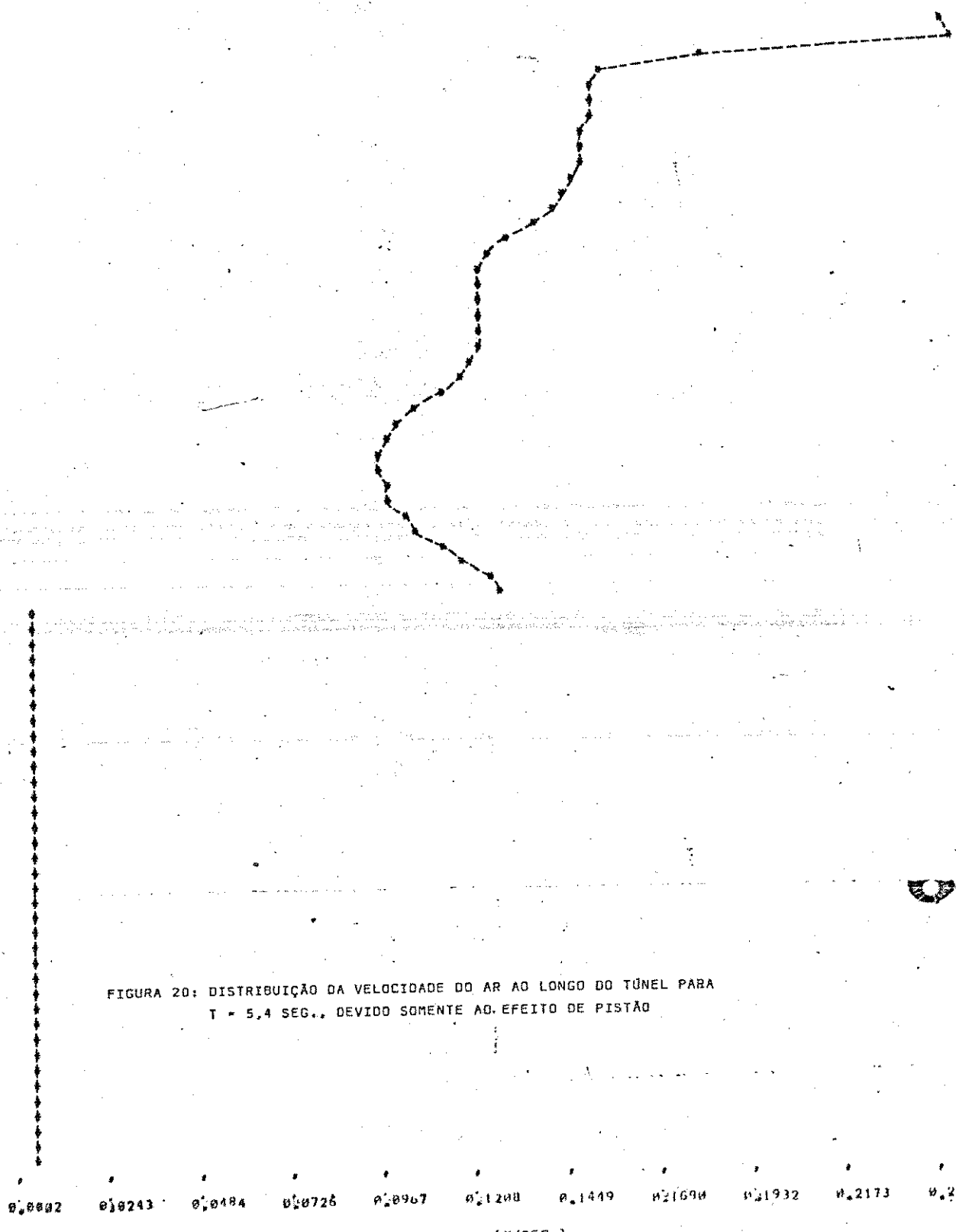


FIGURA 20: DISTRIBUIÇÃO DA VELOCIDADE DO AR AO LONGO DO TÚNEL PARA  
T = 5,4 SEG., DEVIDO SOMENTE AO EFEITO DE PISTÃO



Centro de Comas

CHART 11



UNICAMP  
Centro de Computo

100,0000  
101,0000  
102,0000  
103,0000  
104,0000  
105,0000  
106,0000  
107,0000  
108,0000  
109,0000  
110,0000  
111,0000  
112,0000  
113,0000  
114,0000  
115,0000  
116,0000  
117,0000  
118,0000  
119,0000  
120,0000  
121,0000  
122,0000  
123,0000  
124,0000  
125,0000  
126,0000  
127,0000  
128,0000  
129,0000  
130,0000  
131,0000  
132,0000  
133,0000  
134,0000  
135,0000  
136,0000  
137,0000  
138,0000  
139,0000  
140,0000

FIGURA 21: DISTRIBUIÇÃO DA VELOCIDADE DO AR AO LONGO DO TÚNEL PARA  
 $T = 5,4$  SEG., DEVIDO AO EFEITO DE PISTÃO MAIS VENTILAÇÃO  
FORÇADA

-3,1018 -2,4793 -1,8541 -1,2287 -0,6034 0,0220 0,6473 1,2727 1,8980 2,5234 3,1487

VELOCIDADE DO AR (M/SEG.)



Centro de Computo

CHART 13



UNICAMP  
Centro de Computação

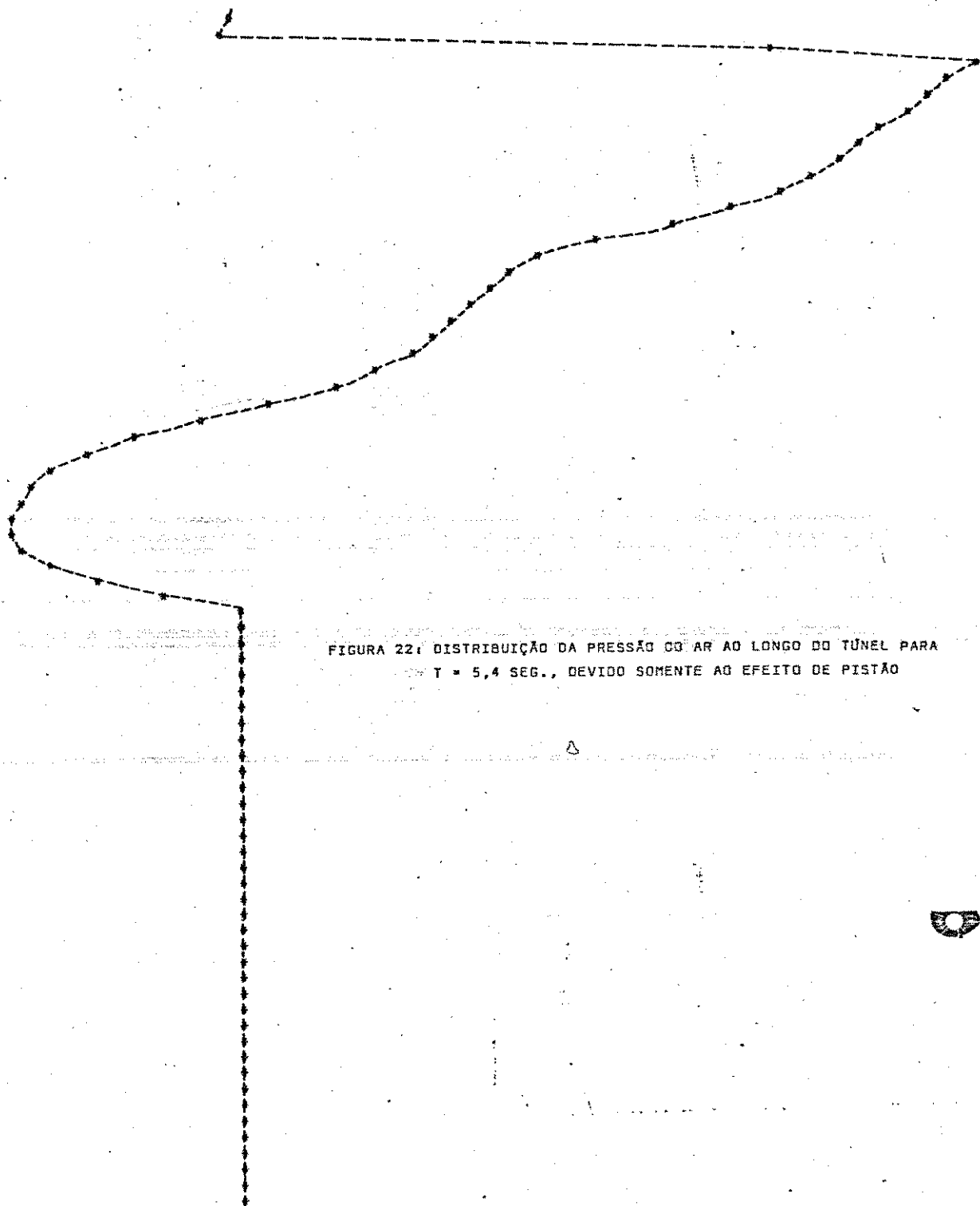


FIGURA 22: DISTRIBUIÇÃO DA PRESSÃO GÓTICA AO LONGO DO TÚNEL PARA  
 $T = 5,4$  SEG., DEVIDO SOMENTE AO EFEITO DE PISTÃO



UNICAMP  
Centro de Computação

-9,5784 -5,5911 +1,6039 2,3831 6,3707 10,3579 14,3452 18,33325 22,31197 26,3079 30,2942  
PRESSÃO DO AR (N/m<sup>2</sup>)

CHART 12



UNICAMP  
Centro de Computação

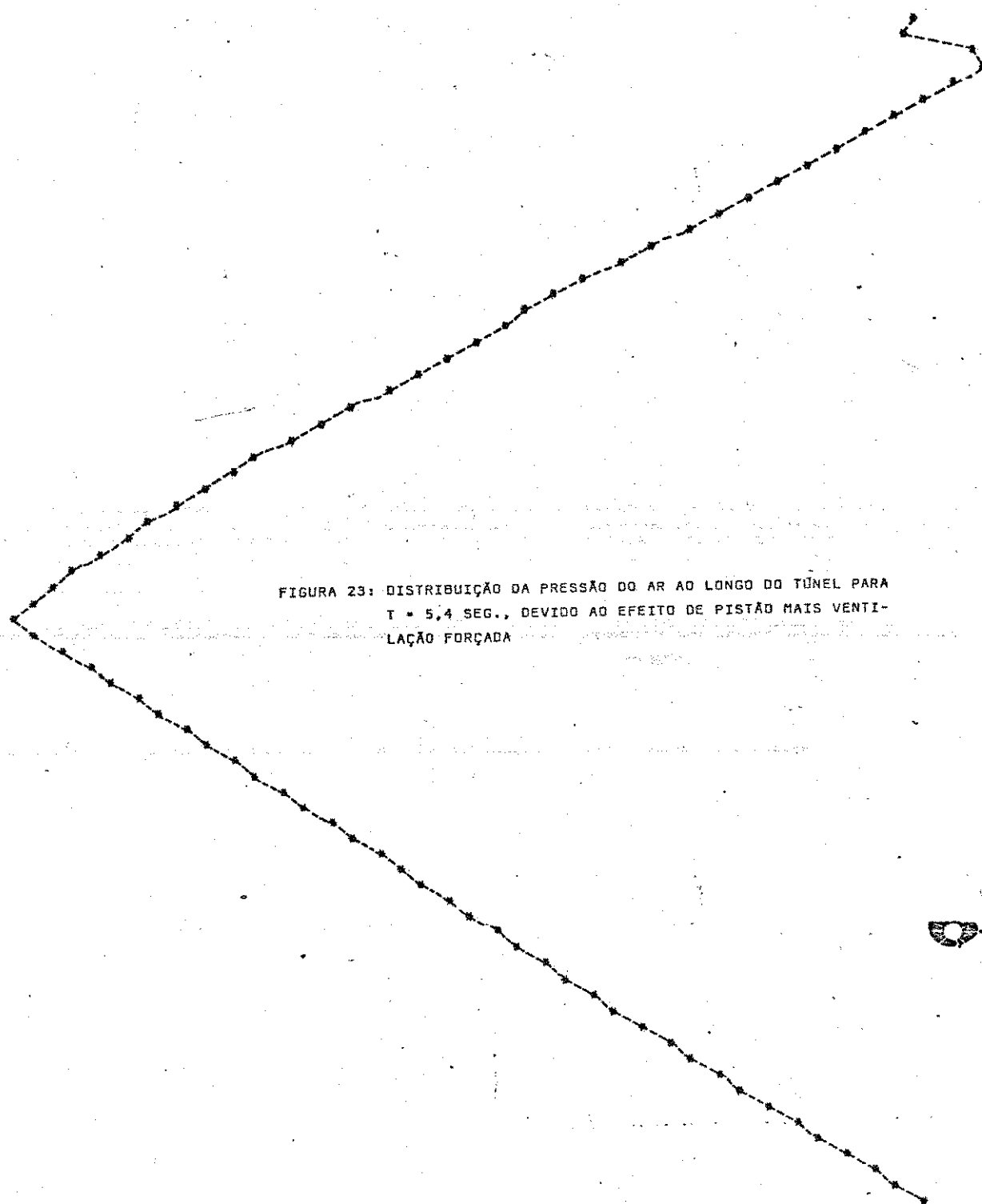


FIGURA 23: DISTRIBUIÇÃO DA PRESSÃO DO AR AO LONGO DO TÚNEL PARA  
 $T = 5,4$  SEG., DEVIDO AO EFEITO DE PISTÃO MAIS VENTI-  
LAÇÃO FORÇADA



UNICAMP  
Centro de Computação

0.5525195 -0.5015688 0.4526182 0.4016678 0.3537169 -0.3037663 -0.2538157 -0.2038656 -0.1539144 -0.1039638 -0.053131

PRESSÃO DO AR ( $N/m^2$ )

CHART 16



UNICAMP  
Centro de Computos

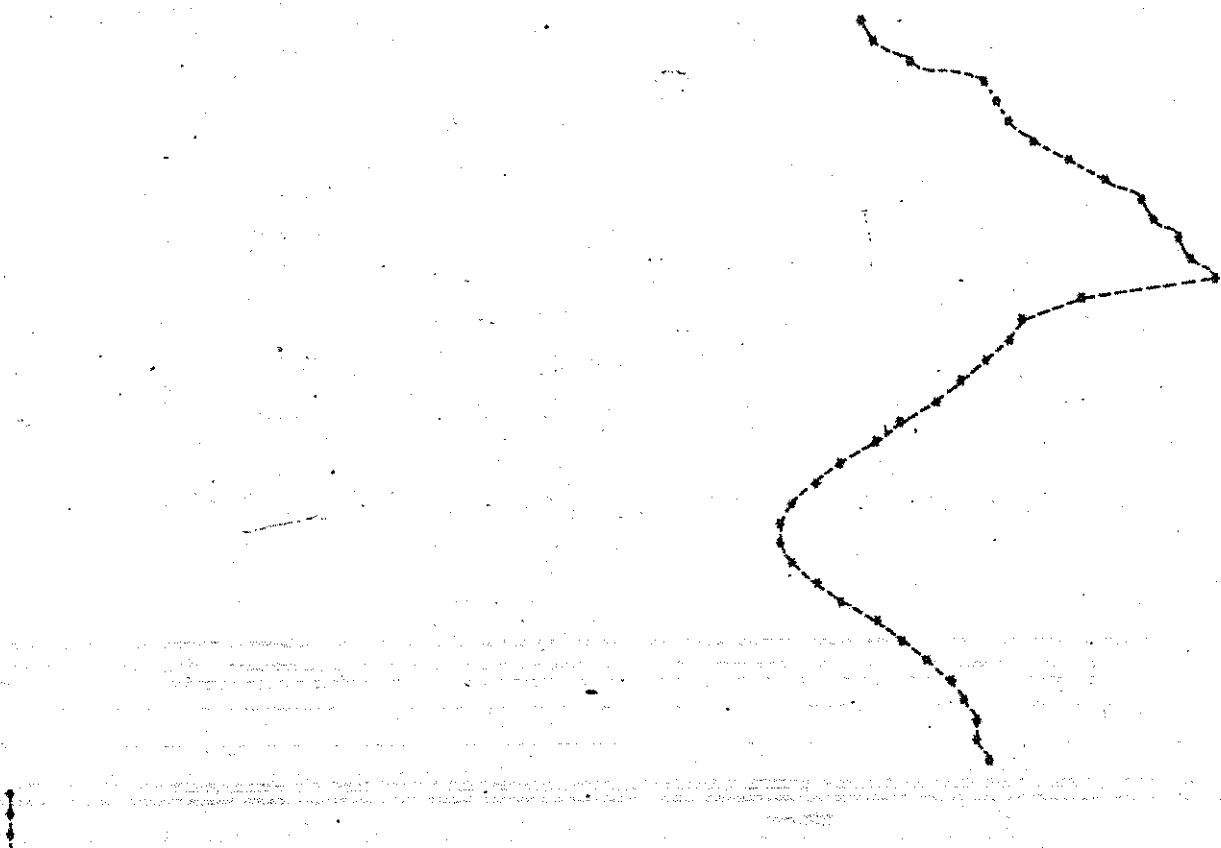


FIGURA 24: DISTRIBUIÇÃO DA VELOCIDADE DO AR AO LONGO DO TÚNEL PARA  
 $T = 16,2$  SEG., DEVIDO SOMENTE AO EFEITO DE PISTÃO



Centro de Computos

0.1836 0.25864 0.3292 1.1519 1.1747 1.7974 2.1292 2.14630 2.37657 3.0885 3.4112

VELOCIDADE DO AR (M/SEG.)

CHART 15



UNICAMP  
Centro de Computação

FIGURA 25: DISTRIBUIÇÃO DA VELOCIDADE DO AR AO LONGO DO TÚNEL PARA  
 $T = 16,2$  SEG., DEVIDO AO EFEITO DE PISTÃO MAIS VENTILA-  
ÇÃO FORÇADA



UNICAMP  
Centro de Computação

-2.5366 -1.8369 4.11252 -0.4193 0.92862 0.9919 1.6976 2.4033 3.01091 3.8148 4.5205  
VELOCIDADE DO AR (M/SEG.)

CHART 17

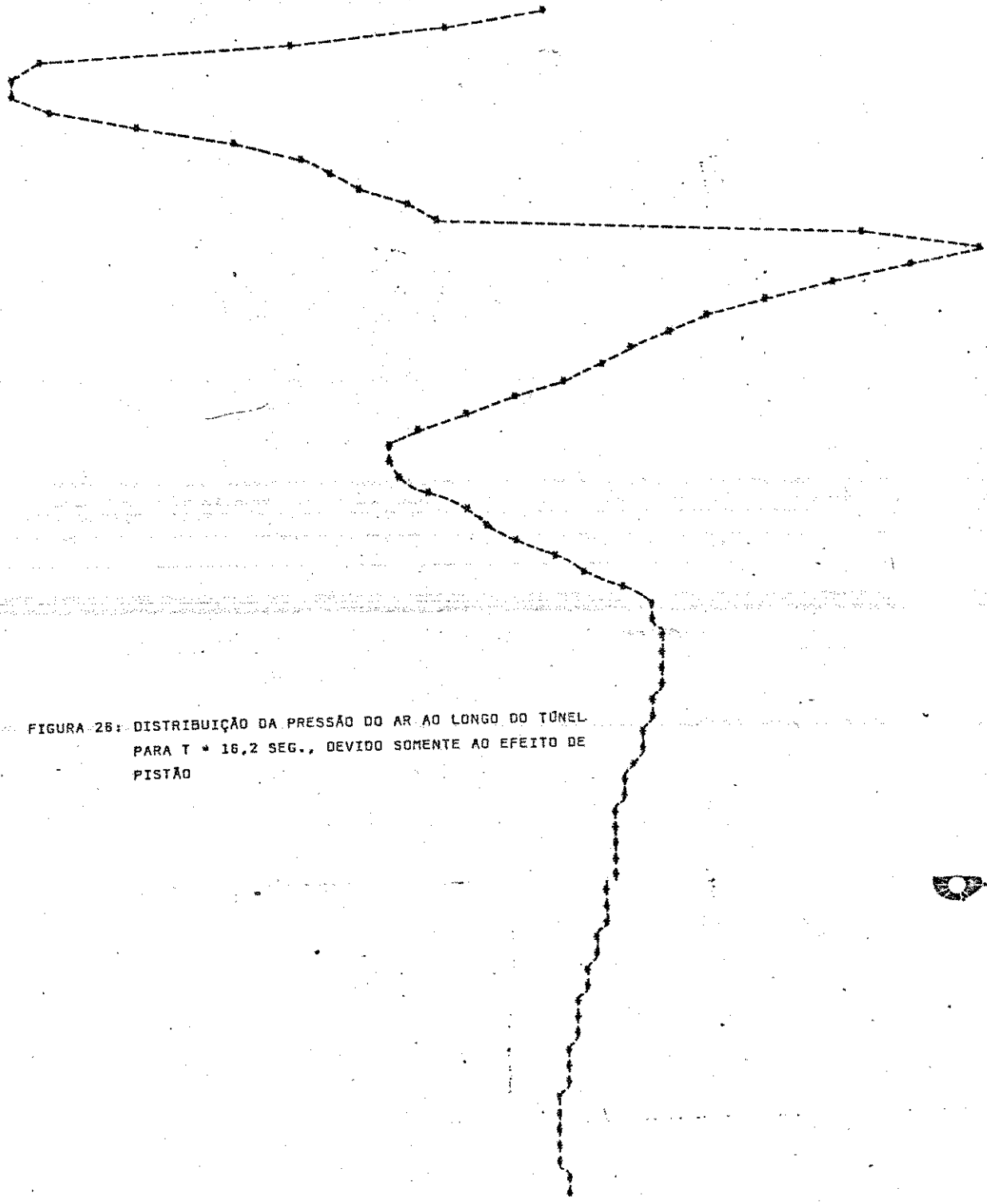


FIGURA 26: DISTRIBUIÇÃO DA PRESSÃO DO AR AO LONGO DO TÚNEL  
PARA  $T = 16,2$  SEG., DEVIDO SOMENTE AO EFEITO DE  
PISTÃO

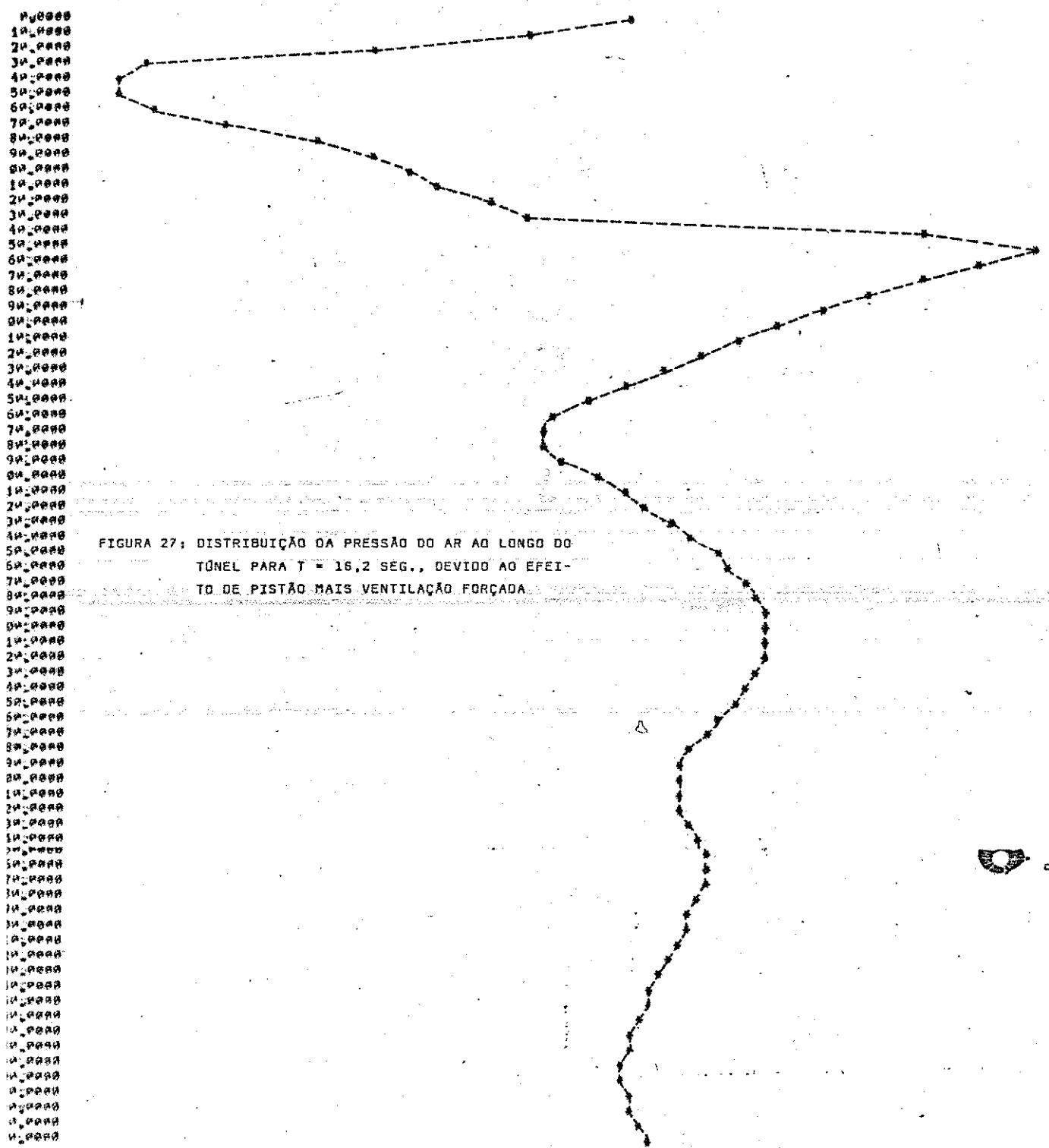
+165,7116 -136,6989 +107,6862 278,6735 -249,6608 -20,5181 8,3646 37,3773 66,3899 95,4026 124,4153

PRESSÃO DO AR ( $\text{N/m}^2$ )

CHART 16



UNICAMP  
Centro de Computos



UNICAMP  
Centro de Computos

\*156.3992 \*130.9427 \*103.4953 188.9478 454.6683 -29.1329 -3.7854 218.7428 478.1895 72.6369 98.9844  
PRESSÃO DO AR (N/m<sup>2</sup>)

CHART 28



UNICAMP  
Centro de Computação

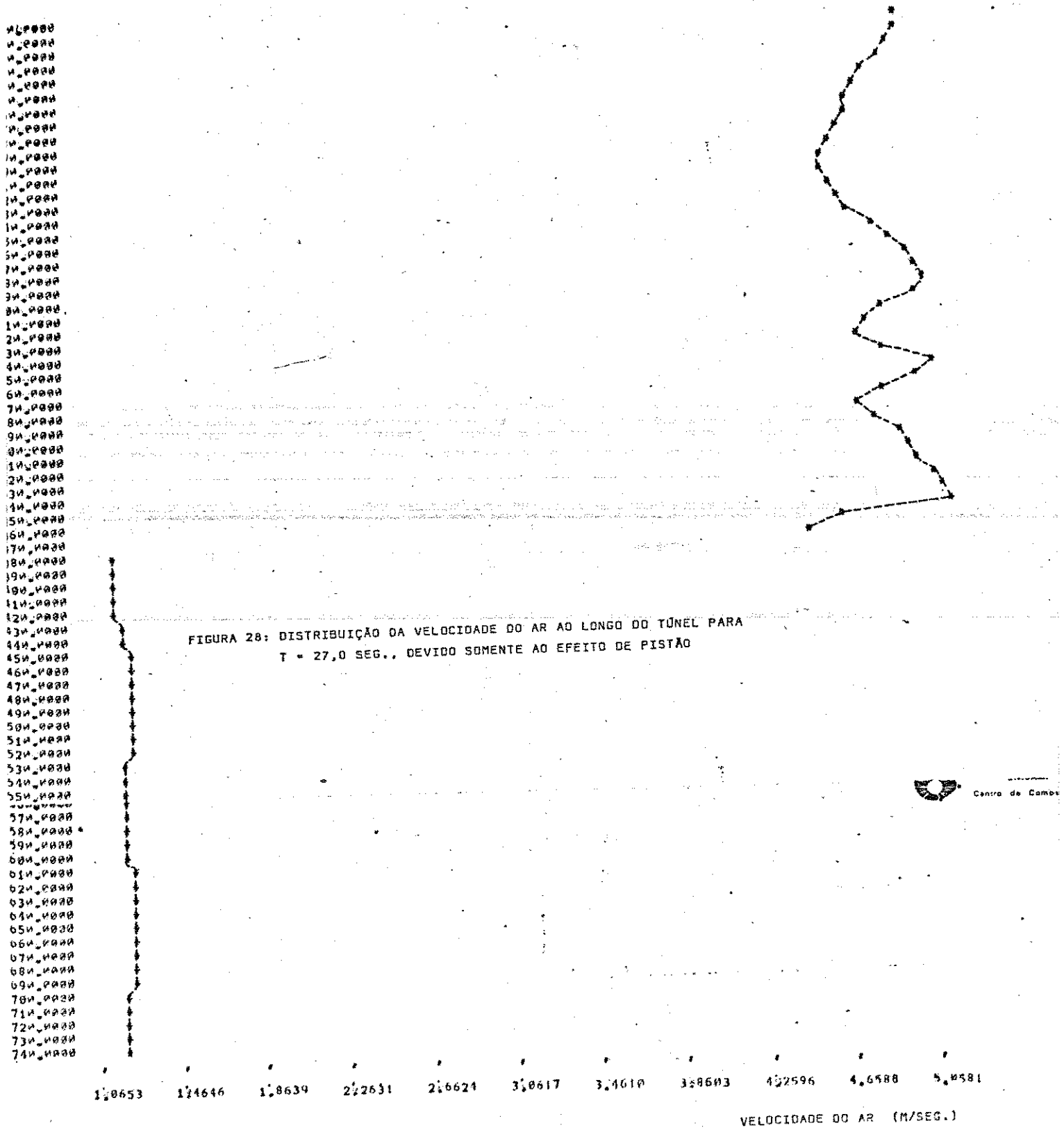


CHART 19



UNICAMP  
Centro de Computação

100,0000  
200,0000  
300,0000  
400,0000  
500,0000  
600,0000  
700,0000  
800,0000  
900,0000  
1000,0000  
1100,0000  
1200,0000  
1300,0000  
1400,0000  
1500,0000  
1600,0000  
1700,0000  
1800,0000  
1900,0000  
2000,0000  
2100,0000  
2200,0000  
2300,0000  
2400,0000  
2500,0000  
2600,0000  
2700,0000  
2800,0000  
2900,0000  
3000,0000  
3100,0000  
3200,0000  
3300,0000  
3400,0000  
3500,0000  
3600,0000  
3700,0000  
3800,0000  
3900,0000  
4000,0000  
4100,0000  
4200,0000  
4300,0000  
4400,0000  
4500,0000  
4600,0000  
4700,0000  
4800,0000  
4900,0000  
5000,0000  
5100,0000  
5200,0000  
5300,0000  
5400,0000  
5500,0000  
5600,0000  
5700,0000  
5800,0000  
5900,0000  
6000,0000  
6100,0000  
6200,0000  
6300,0000  
6400,0000  
6500,0000  
6600,0000  
6700,0000  
6800,0000  
6900,0000  
7000,0000  
7100,0000  
7200,0000  
7300,0000  
7400,0000  
7500,0000  
7600,0000  
7700,0000  
7800,0000  
7900,0000  
8000,0000  
8100,0000  
8200,0000  
8300,0000  
8400,0000  
8500,0000  
8600,0000  
8700,0000  
8800,0000  
8900,0000  
9000,0000  
9100,0000  
9200,0000  
9300,0000  
9400,0000  
9500,0000  
9600,0000  
9700,0000  
9800,0000  
9900,0000  
10000,0000  
10100,0000  
10200,0000  
10300,0000  
10400,0000  
10500,0000  
10600,0000  
10700,0000  
10800,0000  
10900,0000  
11000,0000  
11100,0000  
11200,0000  
11300,0000  
11400,0000  
11500,0000  
11600,0000  
11700,0000  
11800,0000  
11900,0000  
12000,0000  
12100,0000  
12200,0000  
12300,0000  
12400,0000  
12500,0000  
12600,0000  
12700,0000  
12800,0000  
12900,0000  
13000,0000  
13100,0000  
13200,0000  
13300,0000  
13400,0000  
13500,0000  
13600,0000  
13700,0000  
13800,0000  
13900,0000  
14000,0000  
14100,0000  
14200,0000  
14300,0000  
14400,0000  
14500,0000  
14600,0000  
14700,0000  
14800,0000  
14900,0000  
15000,0000  
15100,0000  
15200,0000  
15300,0000  
15400,0000  
15500,0000  
15600,0000  
15700,0000  
15800,0000  
15900,0000  
16000,0000  
16100,0000  
16200,0000  
16300,0000  
16400,0000  
16500,0000  
16600,0000  
16700,0000  
16800,0000  
16900,0000  
17000,0000  
17100,0000  
17200,0000  
17300,0000  
17400,0000  
17500,0000  
17600,0000  
17700,0000  
17800,0000  
17900,0000  
18000,0000  
18100,0000  
18200,0000  
18300,0000  
18400,0000  
18500,0000  
18600,0000  
18700,0000  
18800,0000  
18900,0000  
19000,0000  
19100,0000  
19200,0000  
19300,0000  
19400,0000  
19500,0000  
19600,0000  
19700,0000  
19800,0000  
19900,0000  
20000,0000  
20100,0000  
20200,0000  
20300,0000  
20400,0000  
20500,0000  
20600,0000  
20700,0000  
20800,0000  
20900,0000  
21000,0000  
21100,0000  
21200,0000  
21300,0000  
21400,0000  
21500,0000  
21600,0000  
21700,0000  
21800,0000  
21900,0000  
22000,0000  
22100,0000  
22200,0000  
22300,0000  
22400,0000  
22500,0000  
22600,0000  
22700,0000  
22800,0000  
22900,0000  
23000,0000  
23100,0000  
23200,0000  
23300,0000  
23400,0000  
23500,0000  
23600,0000  
23700,0000  
23800,0000  
23900,0000  
24000,0000  
24100,0000  
24200,0000  
24300,0000  
24400,0000  
24500,0000  
24600,0000  
24700,0000  
24800,0000  
24900,0000  
25000,0000  
25100,0000  
25200,0000  
25300,0000  
25400,0000  
25500,0000  
25600,0000  
25700,0000  
25800,0000  
25900,0000  
26000,0000  
26100,0000  
26200,0000  
26300,0000  
26400,0000  
26500,0000  
26600,0000  
26700,0000  
26800,0000  
26900,0000  
27000,0000  
27100,0000  
27200,0000  
27300,0000  
27400,0000  
27500,0000  
27600,0000  
27700,0000  
27800,0000  
27900,0000  
28000,0000  
28100,0000  
28200,0000  
28300,0000  
28400,0000  
28500,0000  
28600,0000  
28700,0000  
28800,0000  
28900,0000  
29000,0000  
29100,0000  
29200,0000  
29300,0000  
29400,0000  
29500,0000  
29600,0000  
29700,0000  
29800,0000  
29900,0000  
30000,0000  
30100,0000  
30200,0000  
30300,0000  
30400,0000  
30500,0000  
30600,0000  
30700,0000  
30800,0000  
30900,0000  
31000,0000  
31100,0000  
31200,0000  
31300,0000  
31400,0000  
31500,0000  
31600,0000  
31700,0000  
31800,0000  
31900,0000  
32000,0000  
32100,0000  
32200,0000  
32300,0000  
32400,0000  
32500,0000  
32600,0000  
32700,0000  
32800,0000  
32900,0000  
33000,0000  
33100,0000  
33200,0000  
33300,0000  
33400,0000  
33500,0000  
33600,0000  
33700,0000  
33800,0000  
33900,0000  
34000,0000  
34100,0000  
34200,0000  
34300,0000  
34400,0000  
34500,0000  
34600,0000  
34700,0000  
34800,0000  
34900,0000  
35000,0000  
35100,0000  
35200,0000  
35300,0000  
35400,0000  
35500,0000  
35600,0000  
35700,0000  
35800,0000  
35900,0000  
36000,0000  
36100,0000  
36200,0000  
36300,0000  
36400,0000  
36500,0000  
36600,0000  
36700,0000  
36800,0000  
36900,0000  
37000,0000  
37100,0000  
37200,0000  
37300,0000  
37400,0000  
37500,0000  
37600,0000  
37700,0000  
37800,0000  
37900,0000  
38000,0000  
38100,0000  
38200,0000  
38300,0000  
38400,0000  
38500,0000  
38600,0000  
38700,0000  
38800,0000  
38900,0000  
39000,0000  
39100,0000  
39200,0000  
39300,0000  
39400,0000  
39500,0000  
39600,0000  
39700,0000  
39800,0000  
39900,0000  
40000,0000  
40100,0000  
40200,0000  
40300,0000  
40400,0000  
40500,0000  
40600,0000  
40700,0000  
40800,0000  
40900,0000  
41000,0000  
41100,0000  
41200,0000  
41300,0000  
41400,0000  
41500,0000  
41600,0000  
41700,0000  
41800,0000  
41900,0000  
42000,0000  
42100,0000  
42200,0000  
42300,0000  
42400,0000  
42500,0000  
42600,0000  
42700,0000  
42800,0000  
42900,0000  
43000,0000  
43100,0000  
43200,0000  
43300,0000  
43400,0000  
43500,0000  
43600,0000  
43700,0000  
43800,0000  
43900,0000  
44000,0000  
44100,0000  
44200,0000  
44300,0000  
44400,0000  
44500,0000  
44600,0000  
44700,0000  
44800,0000  
44900,0000  
45000,0000  
45100,0000  
45200,0000  
45300,0000  
45400,0000  
45500,0000  
45600,0000  
45700,0000  
45800,0000  
45900,0000  
46000,0000  
46100,0000  
46200,0000  
46300,0000  
46400,0000  
46500,0000  
46600,0000  
46700,0000  
46800,0000  
46900,0000  
47000,0000  
47100,0000  
47200,0000  
47300,0000  
47400,0000  
47500,0000  
47600,0000  
47700,0000  
47800,0000  
47900,0000  
48000,0000  
48100,0000  
48200,0000  
48300,0000  
48400,0000  
48500,0000  
48600,0000  
48700,0000  
48800,0000  
48900,0000  
49000,0000  
49100,0000  
49200,0000  
49300,0000  
49400,0000  
49500,0000  
49600,0000  
49700,0000  
49800,0000  
49900,0000  
50000,0000

FIGURA 29: DISTRIBUIÇÃO DA VELOCIDADE DO AR AO LONGO DO TÚNEL PARA  
 $T = 27,0$  SEG., DEVIDO AO EFEITO DE PISTÃO MAIS VENTILA-  
ÇÃO FORÇADA



UNICAMP  
Centro de Computação

-16298 -019898 -031882 035328 162534 169742 2,6958 384188 481366 4,8574 5,5782  
VELOCIDADE DO AR (M/SEG.)

CHART 21



UNICAMP  
Centro de Computação

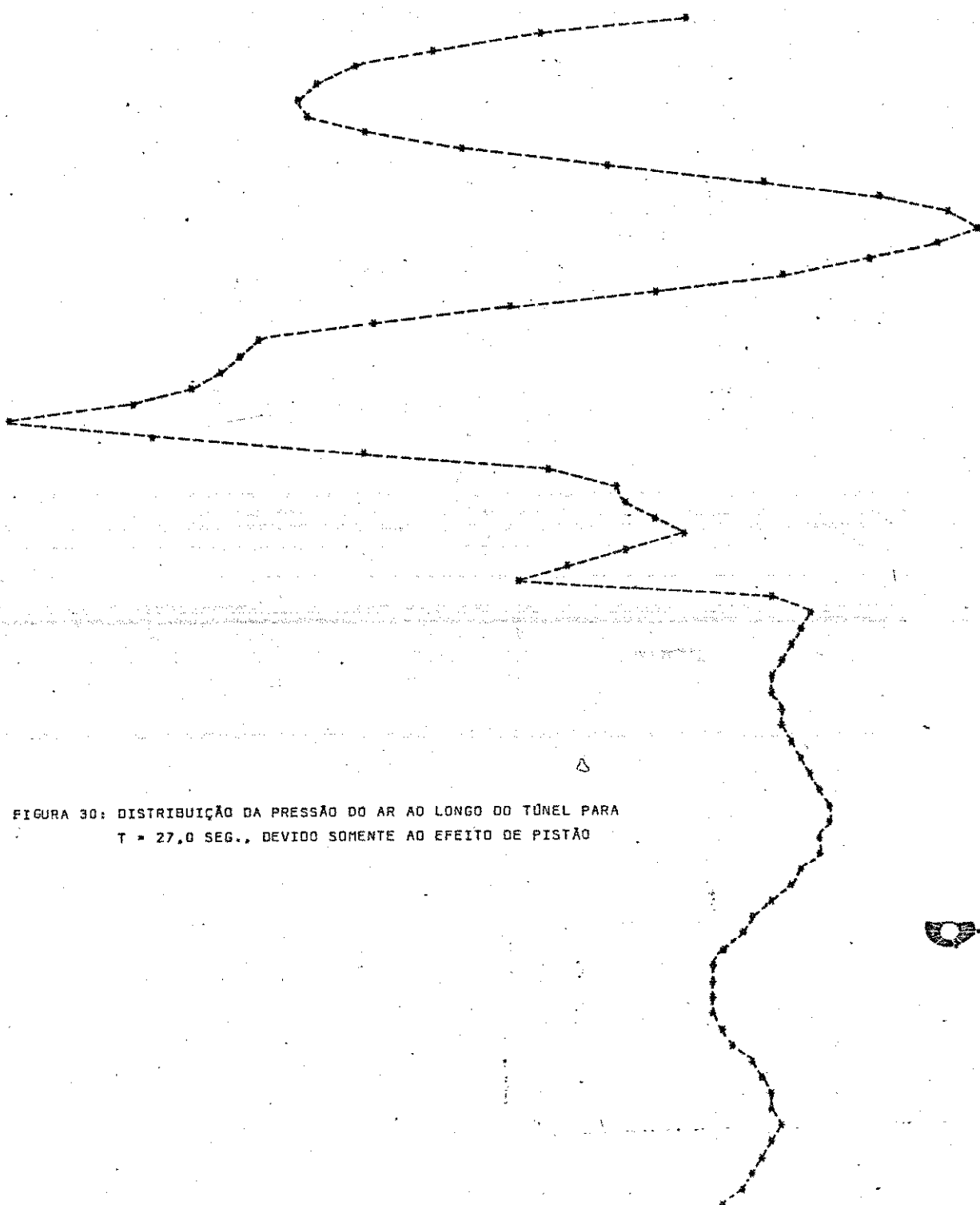


FIGURA 30: DISTRIBUIÇÃO DA PRESSÃO DO AR AO LONGO DO TÚNEL PARA  
 $t = 27,0$  SEG., DEVIDO SOMENTE AO EFEITO DE PISTÃO



UNICAMP  
Centro de Computação

-366,5916 -317,12524 -267,9132 -218,5740 -169,2347 -119,8955 -70,5563 -21,2170 28,1222 77,4614 126,8007  
PRESSÃO DO AR - (N/m<sup>2</sup>)

CHART 29



UNICAMP  
Centro de Comput

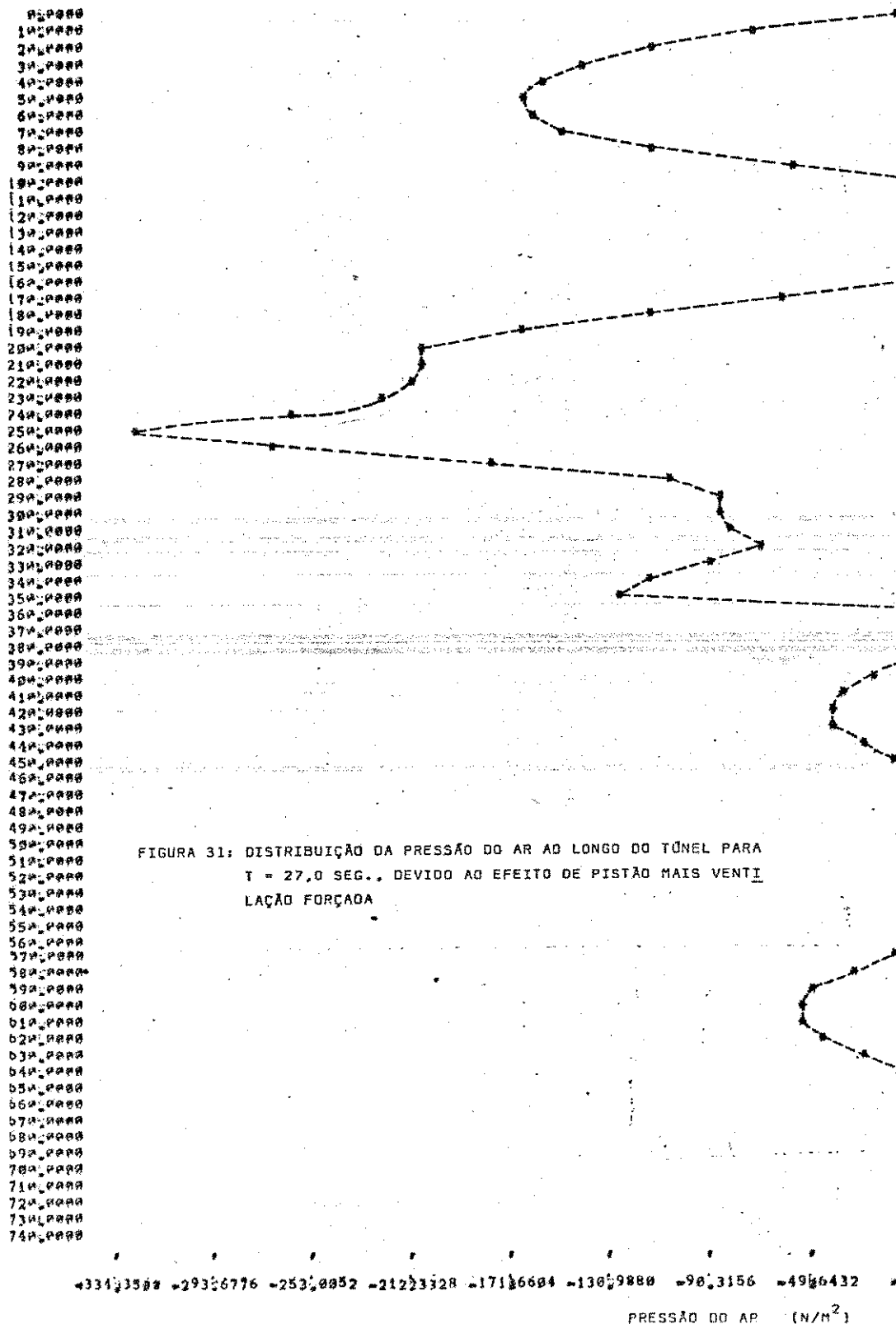


FIGURA 31: DISTRIBUIÇÃO DA PRESSÃO DO AR AO LONGO DO TÚNEL PARA  
T = 27,0 SEG., DEVIDO AO EFEITO DE PISTÃO MAIS VENTILACÃO FORÇADA



UNICAMP  
Centro de Comput

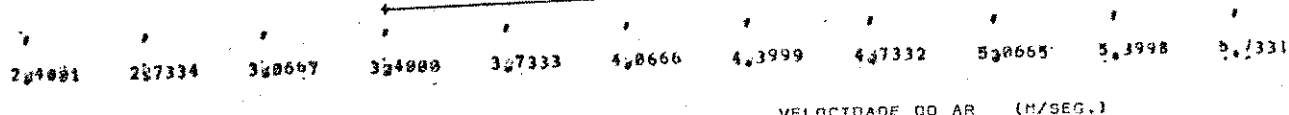
+334,3588 +293,6776 +253,0052 +212,3328 +171,6684 +130,9880 +90,3156 +49,6432 +8,9788 31,7816 72,3740  
PRESSÃO DO AR (N/m<sup>2</sup>)

CHART 23

0,00000  
10,00000  
20,00000  
30,00000  
40,00000  
50,00000  
60,00000  
70,00000  
80,00000  
90,00000  
100,00000  
110,00000  
120,00000  
130,00000  
140,00000  
150,00000  
160,00000  
170,00000  
180,00000  
190,00000  
200,00000  
210,00000  
220,00000  
230,00000  
240,00000  
250,00000  
260,00000  
270,00000  
280,00000  
290,00000  
300,00000  
310,00000  
320,00000  
330,00000  
340,00000  
350,00000  
360,00000  
370,00000  
380,00000  
390,00000  
400,00000  
410,00000  
420,00000  
430,00000  
440,00000  
450,00000  
460,00000  
470,00000  
480,00000  
490,00000  
500,00000  
510,00000  
520,00000  
530,00000  
540,00000  
550,00000  
560,00000  
570,00000  
580,00000  
590,00000  
600,00000  
610,00000  
620,00000  
630,00000  
640,00000  
650,00000  
660,00000  
670,00000  
680,00000  
690,00000  
700,00000  
710,00000  
720,00000  
730,00000  
740,00000

FIGURA 32: DISTRIBUIÇÃO DA VELOCIDADE DO AR AL LONGO DO TÚNEL PARA  
 $T = 37,8$  SEG., DEVIDO SOMENTE AO EFEITO DO PISTÃO

\* SEM POÇO DE ALÍVIO  
+ COM POÇO DE ALÍVIO



VELOCIDADE DO AR (M/SEG.)

CHART 23

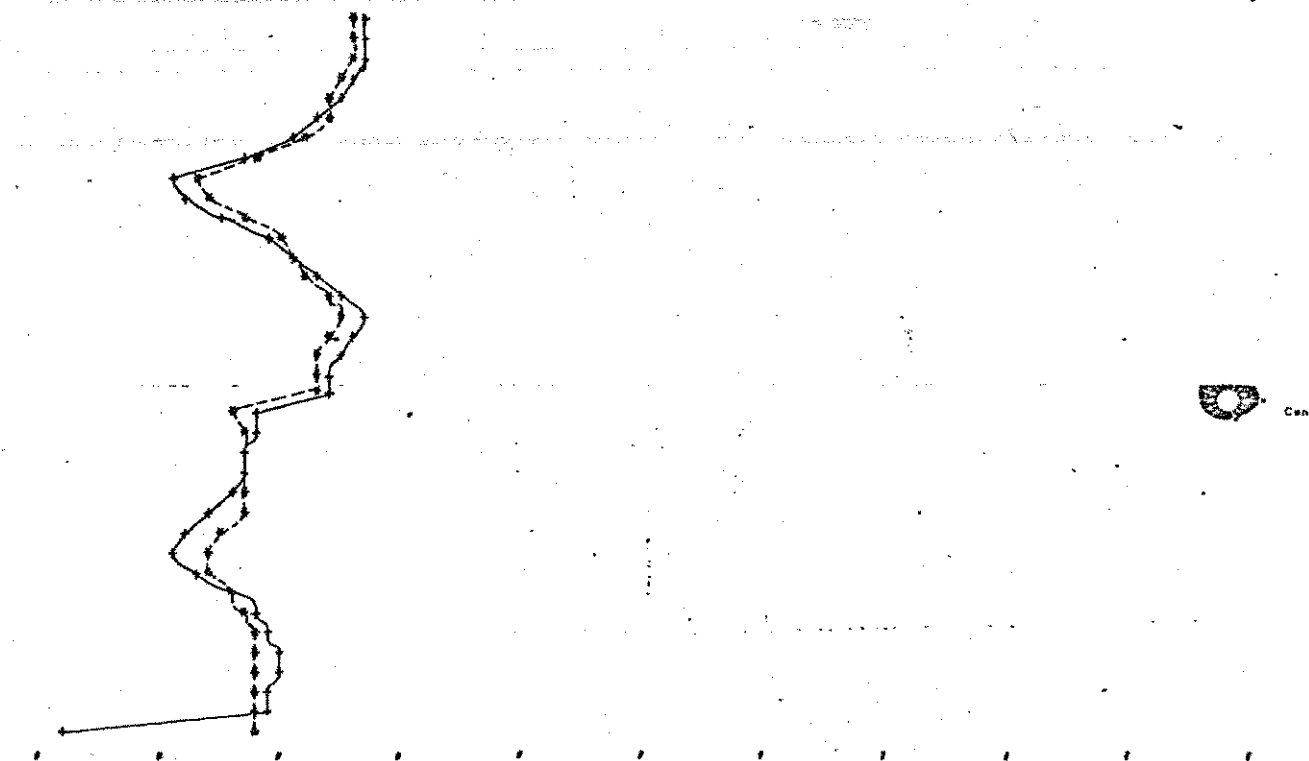


UNICAMP  
Centro de Comu

030000  
100000  
200000  
300000  
400000  
500000  
600000  
700000  
800000  
900000  
1000000  
1100000  
1200000  
1300000  
1400000  
1500000  
1600000  
1700000  
1800000  
1900000  
2000000  
2100000  
2200000  
2300000  
2400000  
2500000  
2600000  
2700000  
2800000  
2900000  
3000000  
3100000  
3200000  
3300000  
3400000  
3500000  
3600000  
3700000  
3800000  
3900000  
4000000  
4100000  
4200000  
4300000  
4400000  
4500000  
4600000  
4700000  
4800000  
4900000  
5000000  
5100000  
5200000  
5300000  
5400000  
5500000  
5600000  
5700000  
5800000  
5900000  
6000000  
6100000  
6200000  
6300000  
6400000  
6500000  
6600000  
6700000  
6800000  
6900000  
7000000  
7100000  
7200000  
7300000  
7400000

FIGURA 33 : DISTRIBUIÇÃO DA VELOCIDADE DO AR AO LONGO DO TÚNEL PARA  
 $T = 37,8$  SEG., DEVIDO AO EFEITO DE PISTÃO MAIS VENTILA-  
ÇÃO FORÇADA

\* SEM POÇO DE ALÍVIO  
+ COM POÇO DE ALÍVIO



VELOCIDADE DO AR (M/SEG.)

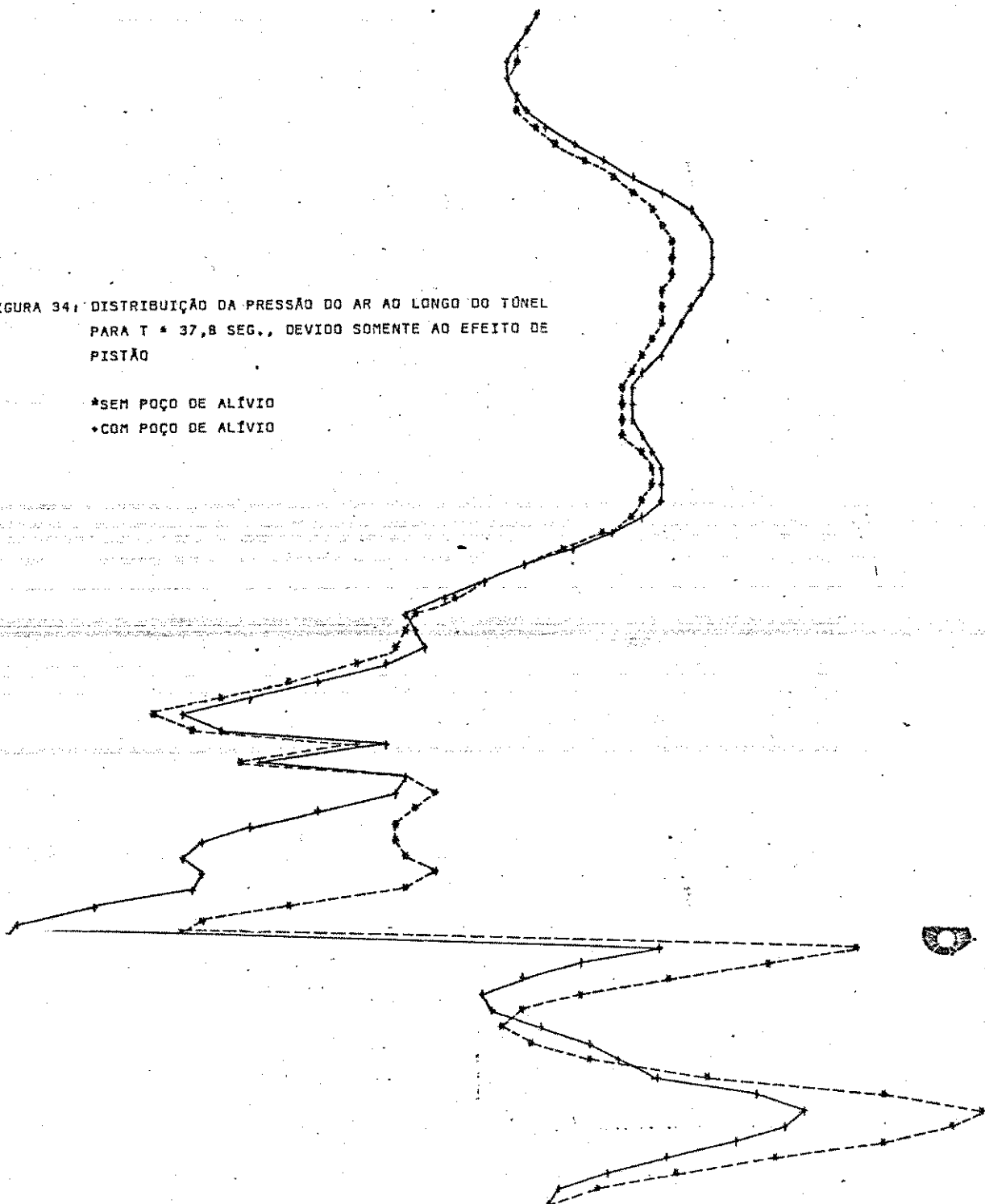
UNICAMP  
BIBLIOTECA CENTRAL

CHART 24

UNICAMP  
Centro de Compu

FIGURA 34: DISTRIBUIÇÃO DA PRESSÃO DO AR AO LONGO DO TÔNEL  
PARA  $T = 37,8$  SEG., DEVIDO SOMENTE AO EFEITO DE  
PISTÃO

\*SEM POÇO DE ALÍVIO  
+COM POÇO DE ALÍVIO



UNICAMP  
Centro de Compu

416187334 413228698 410428845 47531491 4562756 41724112 114533 4023177 691822 93.8166 125.2111

PRESSÃO DO AR (N/m<sup>2</sup>)

CHART 24

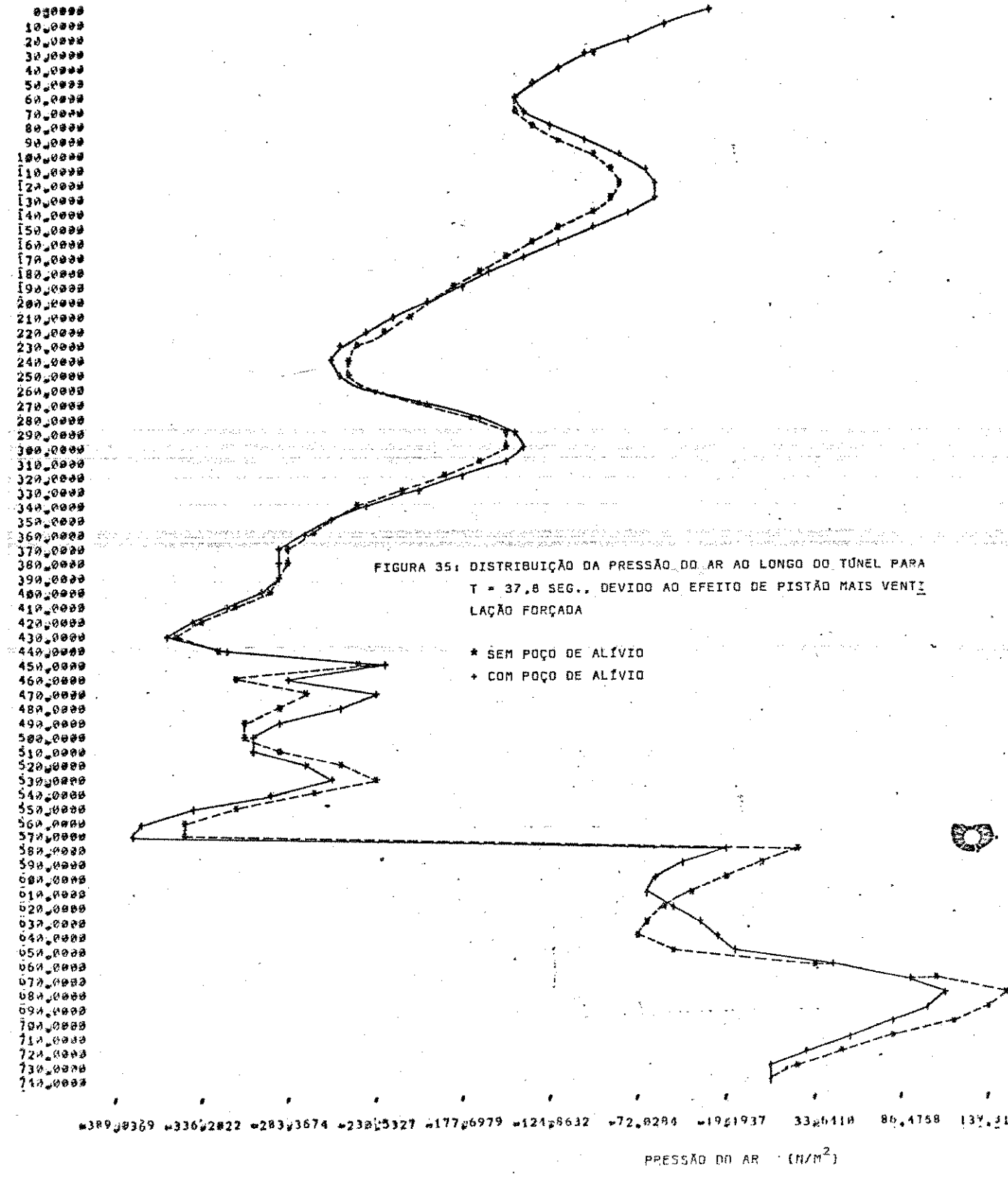


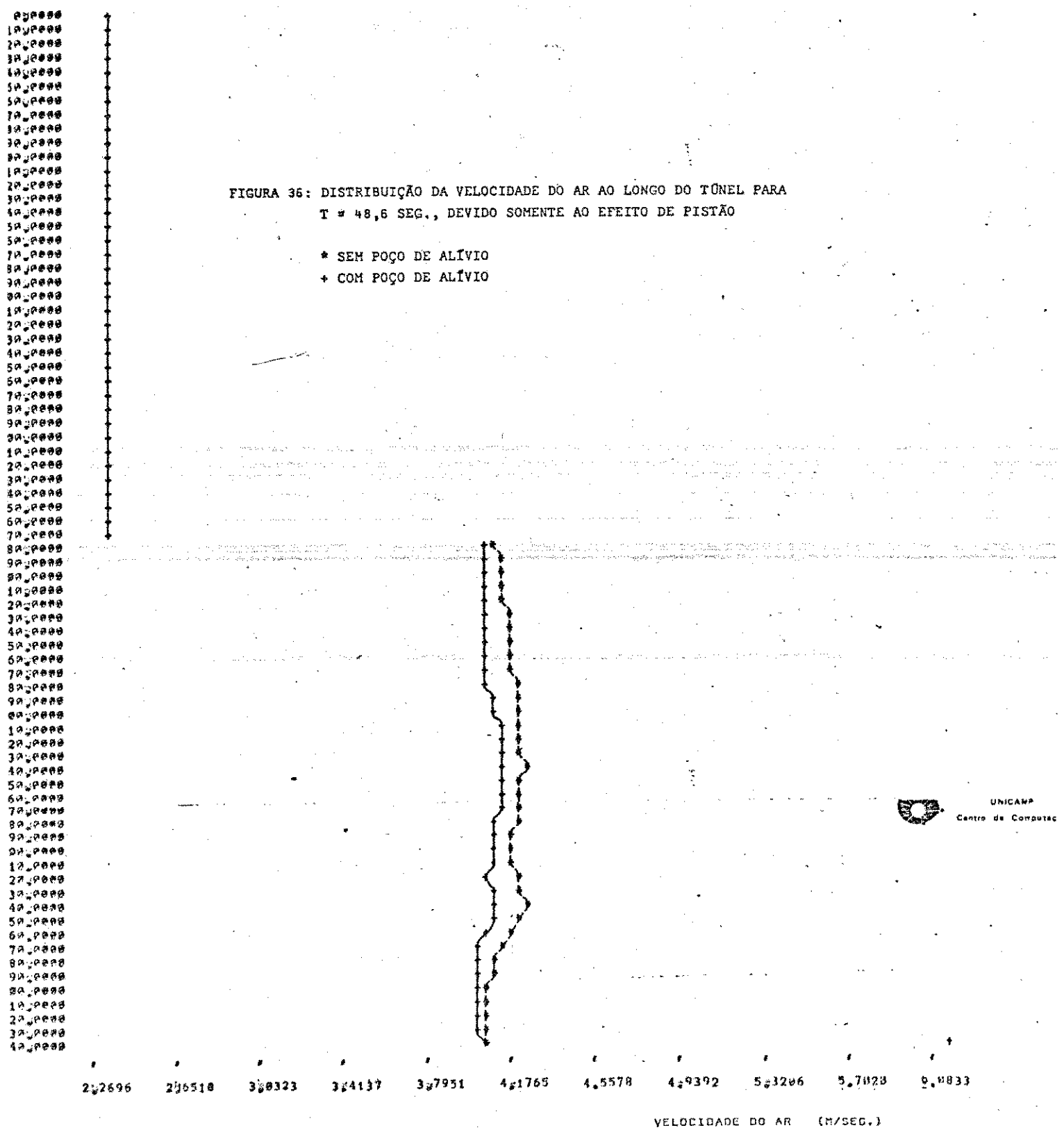
CHART 27



UNICAMP  
Centro de Computac

FIGURA 36: DISTRIBUIÇÃO DA VELOCIDADE DO AR AO LONGO DO TÚNEL PARA  
 $T = 48,6$  SEG., DEVIDO SOMENTE AO EFEITO DE PISTÃO

- \* SEM POÇO DE ALÍVIO
- + COM POÇO DE ALÍVIO



VELOCIDADE DO AR (M/SEC.)

CHART 27



UNICAMP  
Centro de Computação

FIGURA 37: DISTRIBUIÇÃO DA VELOCIDADE DO AR AO LONGO DO TÚNEL PARA T = 48,6 SEG.,  
DEVIDO AO EFEITO DE PISTÃO MAIS VENTILAÇÃO FORÇADA

\* SEM POÇO DE ALÍVIO  
• COM POÇO DE ALÍVIO



UNICAMP  
Centro de Computação

-8.4712 0.1546 0.7884 1.4682 2.0328 2.6377 3.2835 3.2993 4.5351 5.1609 5.7867

VELOCIDADE DO AR (M/SEC.)

CHART 28

FIGURA 38: DISTRIBUIÇÃO DA PRESSÃO DO AR AO LONGO DO TÚNEL  
PARA  $T = 48,6$  SEG.; DEVIDO SOMENTE AO EFEITO DE  
PISTÃO

\*SEM POÇO-DE ALÍVIO  
+COM POÇO DE ALÍVIO

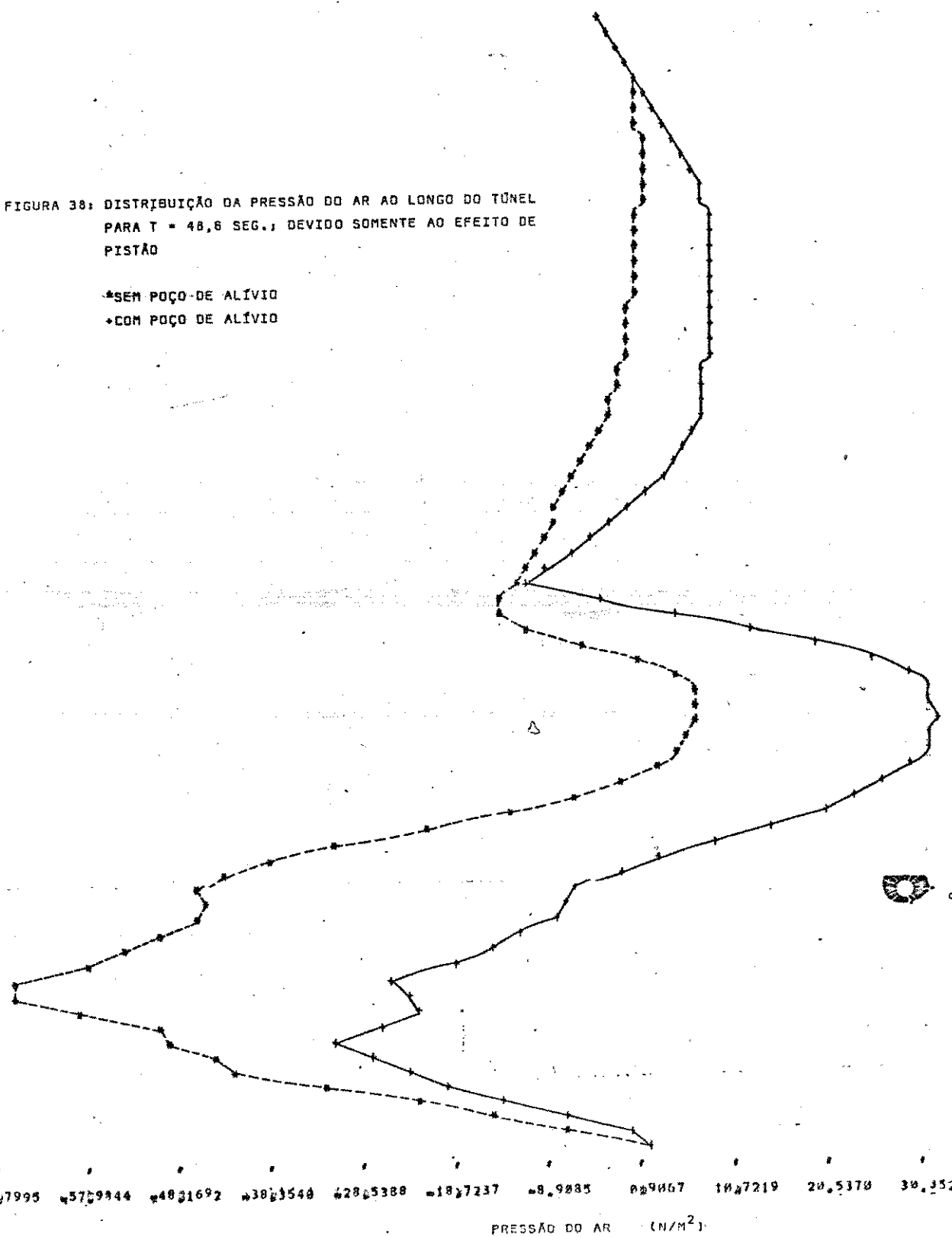


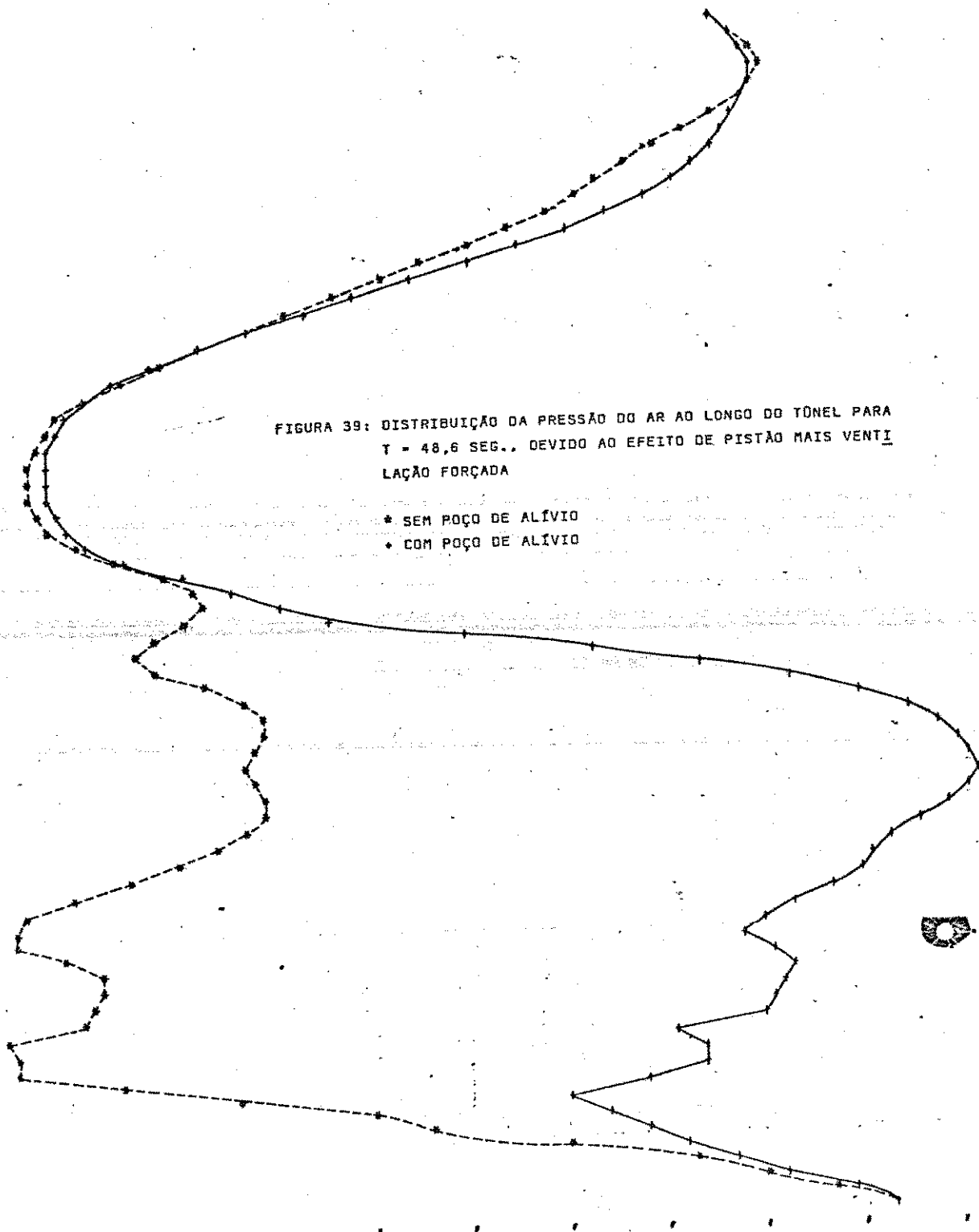


CHART 28

800000  
790000  
780000  
770000  
760000  
750000  
740000  
730000  
720000  
710000  
700000  
690000  
680000  
670000  
660000  
650000  
640000  
630000  
620000  
610000  
600000  
590000  
580000  
570000  
560000  
550000  
540000  
530000  
520000  
510000  
500000  
490000  
480000  
470000  
460000  
450000  
440000  
430000  
420000  
410000  
400000  
390000  
380000  
370000  
360000  
350000  
340000  
330000  
320000  
310000  
300000  
290000  
280000  
270000  
260000  
250000  
240000  
230000  
220000  
210000  
200000  
190000  
180000  
170000  
160000  
150000  
140000  
130000  
120000  
110000  
100000  
900000  
800000  
700000  
600000  
500000  
400000  
300000  
200000  
100000  
000000

FIGURA 39: DISTRIBUIÇÃO DA PRESSÃO DO AR AO LONGO DO TÚNEL PARA  
 $T = 48,6$  SEG., DEVIDO AO EFEITO DE PISTÃO MAIS VENTILACÃO FORÇADA

\* SEM POÇO DE ALIVIO  
+ COM POÇO DE ALIVIO



816384842 814586956 +12789871 +11881185 49283299 +7485413 +56,7528 +3829642 +2181756 +3,3878 14,4015

PRESSÃO DO AR (N/m<sup>2</sup>)

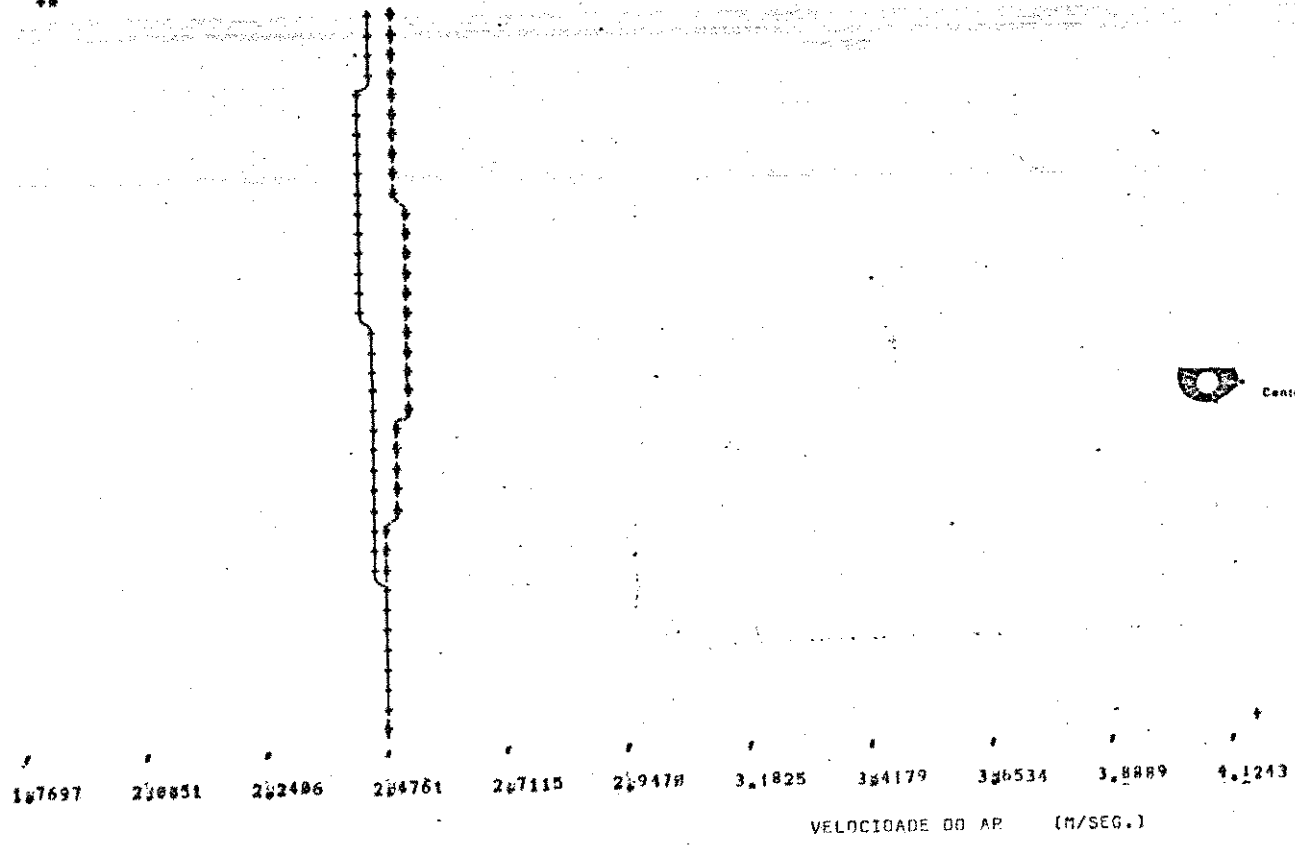
CHART 31



UNICAMP  
Centro de Computação

FIGURA 40: DISTRIBUIÇÃO DA VELOCIDADE DO AR AO LONGO DO TÚNEL  
PARA  $T = 59,4$  SEG., DEVIDO SOMENTE AO EFEITO DE  
PISTÃO

- \* SEM POÇO DE ALÍVIO
- ▼ COM POÇO DE ALÍVIO

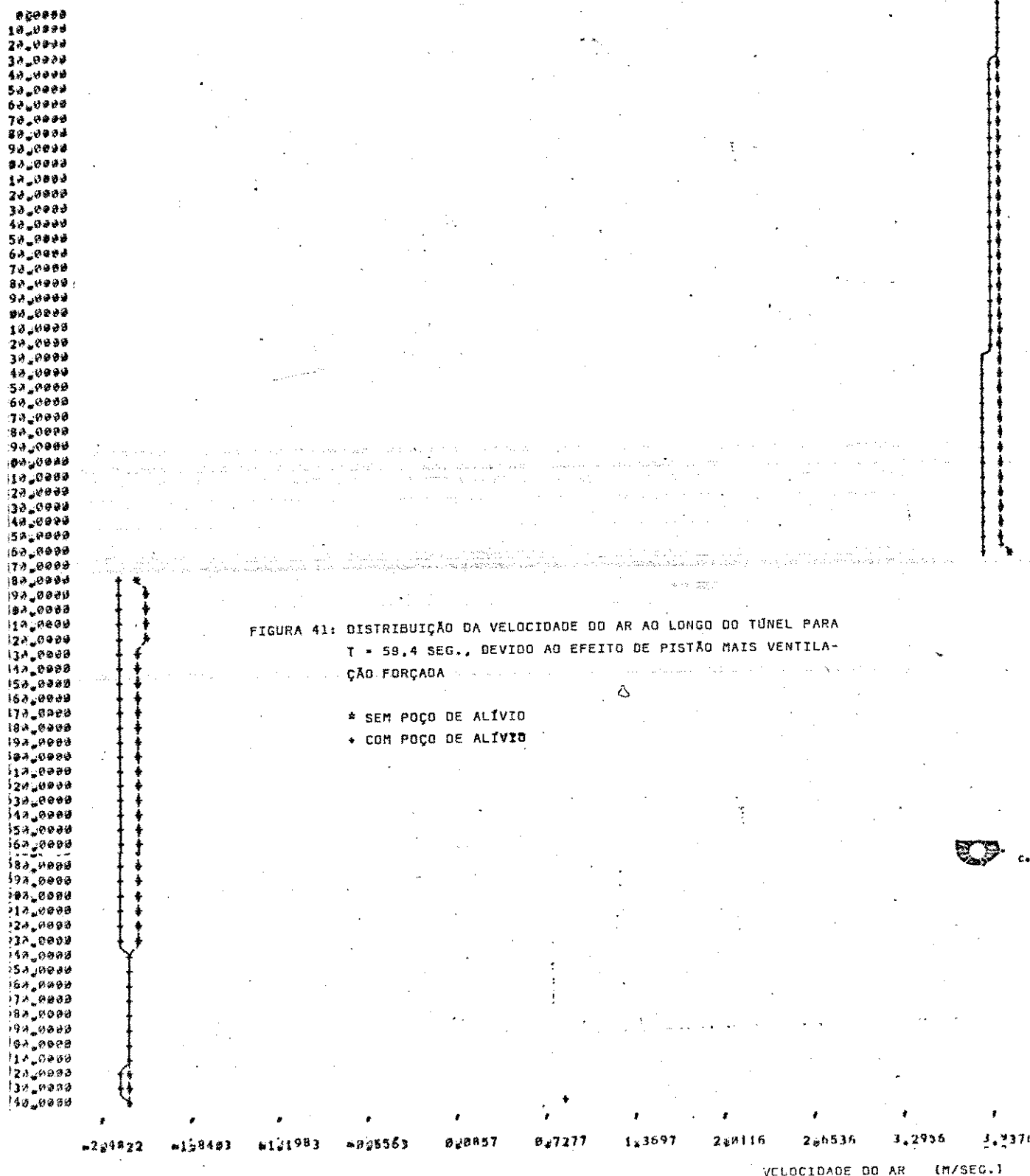


UNICAMP  
Centro de Computação

CHART 31



UNICAMP  
Centro de Computação



#294822 #158403 #131983 #025563 0#88857 0#7277 1#3697 2#0116 2#6536 3,2936 3,2376  
VELOCIDADE DO AR (M/SEC.)

CHART 32

UNICAMP  
Centro de Computação

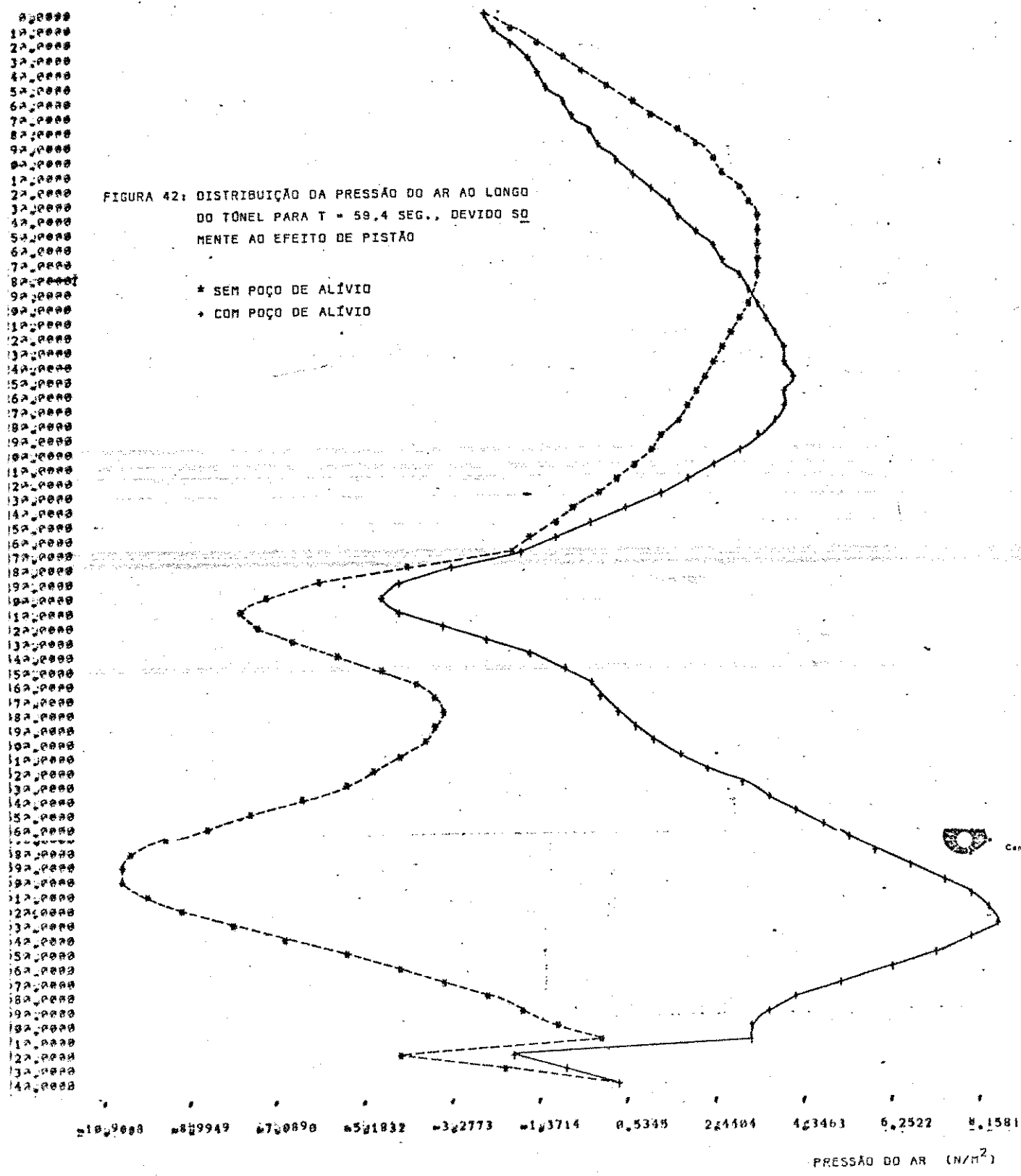


CHART 32

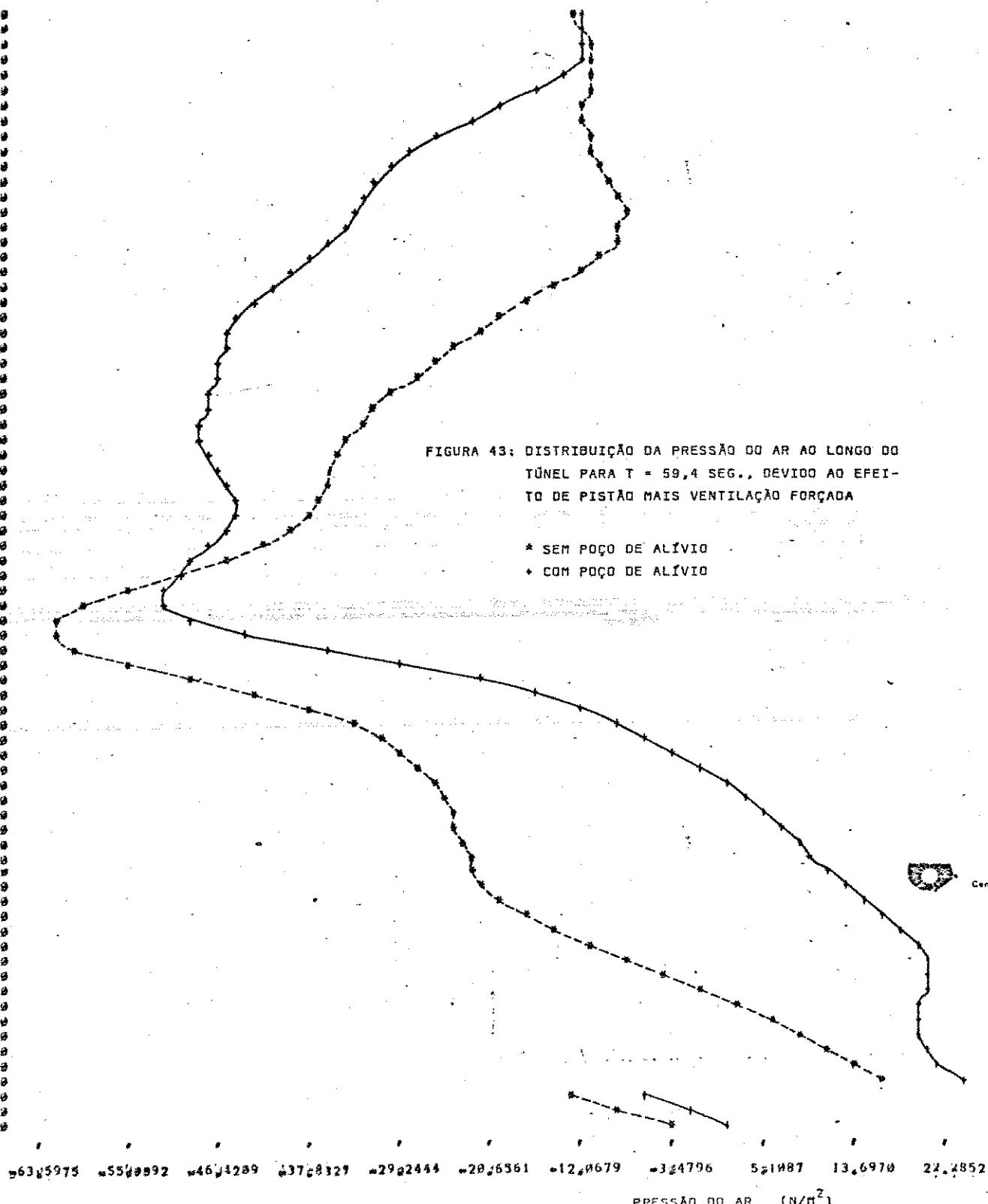


UNICAMP  
Centro de Computação

890,0000  
100,0000  
200,0000  
300,0000  
400,0000  
500,0000  
600,0000  
700,0000  
800,0000  
900,0000  
1000,0000  
1100,0000  
1200,0000  
1300,0000  
1400,0000  
1500,0000  
1600,0000  
1700,0000  
1800,0000  
1900,0000  
2000,0000  
2100,0000  
2200,0000  
2300,0000  
2400,0000  
2500,0000  
2600,0000  
2700,0000  
2800,0000  
2900,0000  
3000,0000  
3100,0000  
3200,0000  
3300,0000  
3400,0000  
3500,0000  
3600,0000  
3700,0000  
3800,0000  
3900,0000  
4000,0000  
4100,0000  
4200,0000  
4300,0000  
4400,0000  
4500,0000  
4600,0000  
4700,0000  
4800,0000  
4900,0000  
5000,0000  
5100,0000  
5200,0000  
5300,0000  
5400,0000  
5500,0000  
5600,0000  
5700,0000  
5800,0000  
5900,0000  
6000,0000  
6100,0000  
6200,0000  
6300,0000  
6400,0000  
6500,0000  
6600,0000  
6700,0000  
6800,0000  
6900,0000  
7000,0000  
7100,0000  
7200,0000  
7300,0000  
7400,0000

FIGURA 43: DISTRIBUIÇÃO DA PRESSÃO DO AR AO LONGO DO TÚNEL PARA T = 59,4 SEG., DEVIDO AO EFEITO DE PISTÃO MAIS VENTILAÇÃO FORÇADA

\* SEM POÇO DE ALÍVIO  
+ COM POÇO DE ALÍVIO



563, 597, 55, 599, 2, 46, 53, 29, 52, 44, 20, 63, 51, 12, 67, 9, 3, 47, 96, 5, 19, 87, 13, 69, 70, 22, 48, 52  
PRESSÃO DO AR (N/m<sup>2</sup>)

CHART 35



UNICAMP  
Centro de Computação

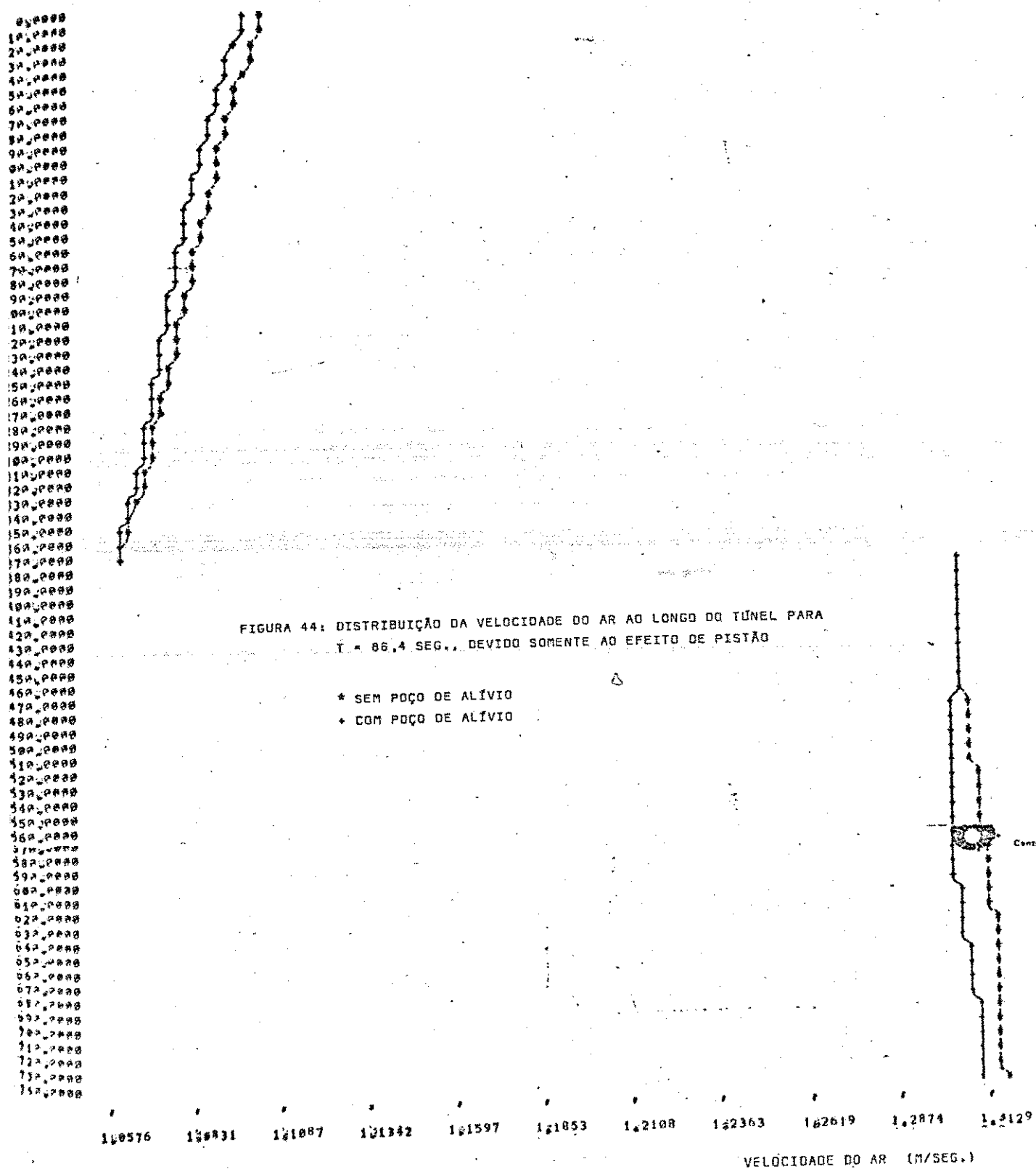


FIGURA 44: DISTRIBUIÇÃO DA VELOCIDADE DO AR AO LONGO DO TÚNEL PARA  
 $t = 86,4$  SEG., DEVIDO SOMENTE AO EFEITO DE PISTÃO

\* SEM POÇO DE ALÍVIO  
+ COM POÇO DE ALÍVIO

UNICAMP  
Centro de Computação

VELOCIDADE DO AR (M/SEG.)

## CHART 35


 UNICAMP  
Centro de Computo

0g0000  
1000000  
2000000  
3000000  
4000000  
5000000  
6000000  
7000000  
8000000  
9000000  
10000000  
11000000  
12000000  
13000000  
14000000  
15000000  
16000000  
17000000  
18000000  
19000000  
20000000  
21000000  
22000000  
23000000  
24000000  
25000000  
26000000  
27000000  
28000000  
29000000  
30000000  
31000000  
32000000  
33000000  
34000000  
35000000  
36000000  
37000000  
38000000  
39000000  
40000000  
41000000  
42000000  
43000000  
44000000  
45000000  
46000000  
47000000  
48000000  
49000000  
50000000  
51000000  
52000000  
53000000  
54000000  
55000000  
56000000  
57000000  
58000000  
59000000  
60000000  
61000000  
62000000  
63000000  
64000000  
65000000  
66000000  
67000000  
68000000  
69000000  
70000000  
71000000  
72000000  
73000000  
74000000  
75000000  
76000000  
77000000  
78000000  
79000000  
80000000  
81000000  
82000000  
83000000  
84000000  
85000000  
86000000  
87000000  
88000000  
89000000  
90000000  
91000000  
92000000  
93000000  
94000000  
95000000  
96000000  
97000000  
98000000  
99000000  
100000000

FIGURA 45: DISTRIBUIÇÃO DA VELOCIDADE DO AR AO LONGO DO TÚNEL PARA  
 $T = 86,4$  SEG., DEVIDO AO EFEITO DE PISTÃO MAIS VENTILA-  
 ÇÃO FORÇADA

- \* SEM POÇO DE ALÍVIO
- + COM POÇO DE ALÍVIO


 UNICAMP  
Centro de Computo

-321163 -294714 N169284 -131855 -085426 0g1004 0,7433 1x3862 2x8292 2,6721 3,3150

VELOCIDADE DO AR (M/SEG.)

CHART 36

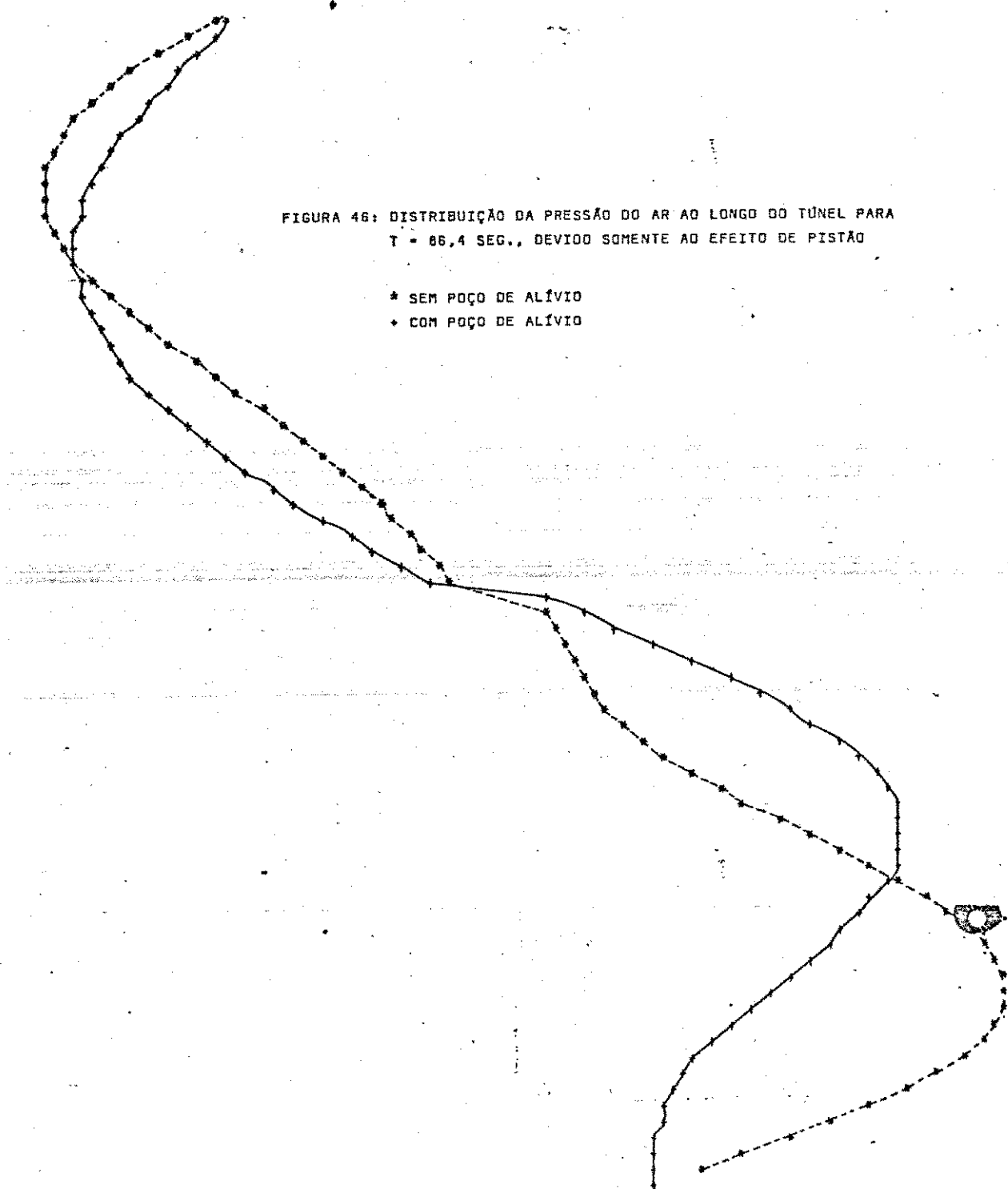


UNICAMP  
Centro de Comun.

190,0000  
192,0000  
200,0000  
208,0000  
216,0000  
224,0000  
232,0000  
240,0000  
248,0000  
256,0000  
264,0000  
272,0000  
280,0000  
288,0000  
296,0000  
304,0000  
312,0000  
320,0000  
328,0000  
336,0000  
344,0000  
352,0000  
360,0000  
368,0000  
376,0000  
384,0000  
392,0000  
400,0000  
416,0000  
424,0000  
432,0000  
440,0000  
456,0000  
464,0000  
472,0000  
480,0000  
492,0000  
500,0000  
512,0000  
524,0000  
532,0000  
540,0000  
552,0000  
560,0000  
568,0000  
580,0000  
592,0000  
600,0000  
612,0000  
624,0000  
632,0000  
640,0000  
652,0000  
660,0000  
672,0000  
680,0000  
692,0000  
700,0000  
712,0000  
724,0000  
732,0000  
744,0000

FIGURA 46: DISTRIBUIÇÃO DA PRESSÃO DO AR AO LONGO DO TÚNEL PARA  
 $T = 66,4$  SEG., DEVIDO SOMENTE AO EFEITO DE PISTÃO

\* SEM POÇO DE ALÍVIO  
+ COM POÇO DE ALÍVIO



-2, 1162, 187, 11, 117, 1461, 11110, 27760, 4410, 1059, 2291, 5642, 8992, 1,2342.

PRESSÃO DO AR (N/m<sup>2</sup>)

UNICAMP  
Centro de Comun.

CHART 36

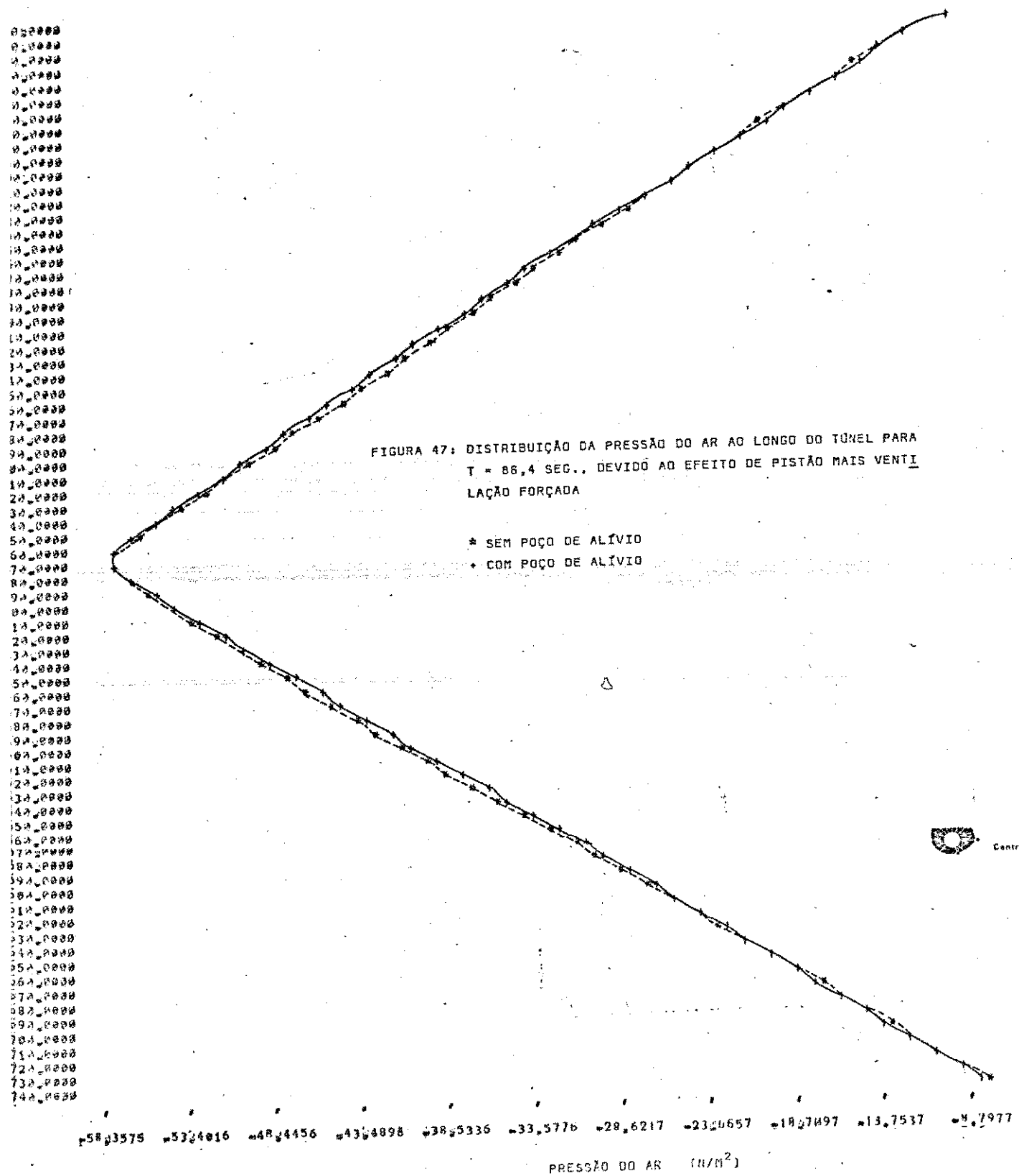
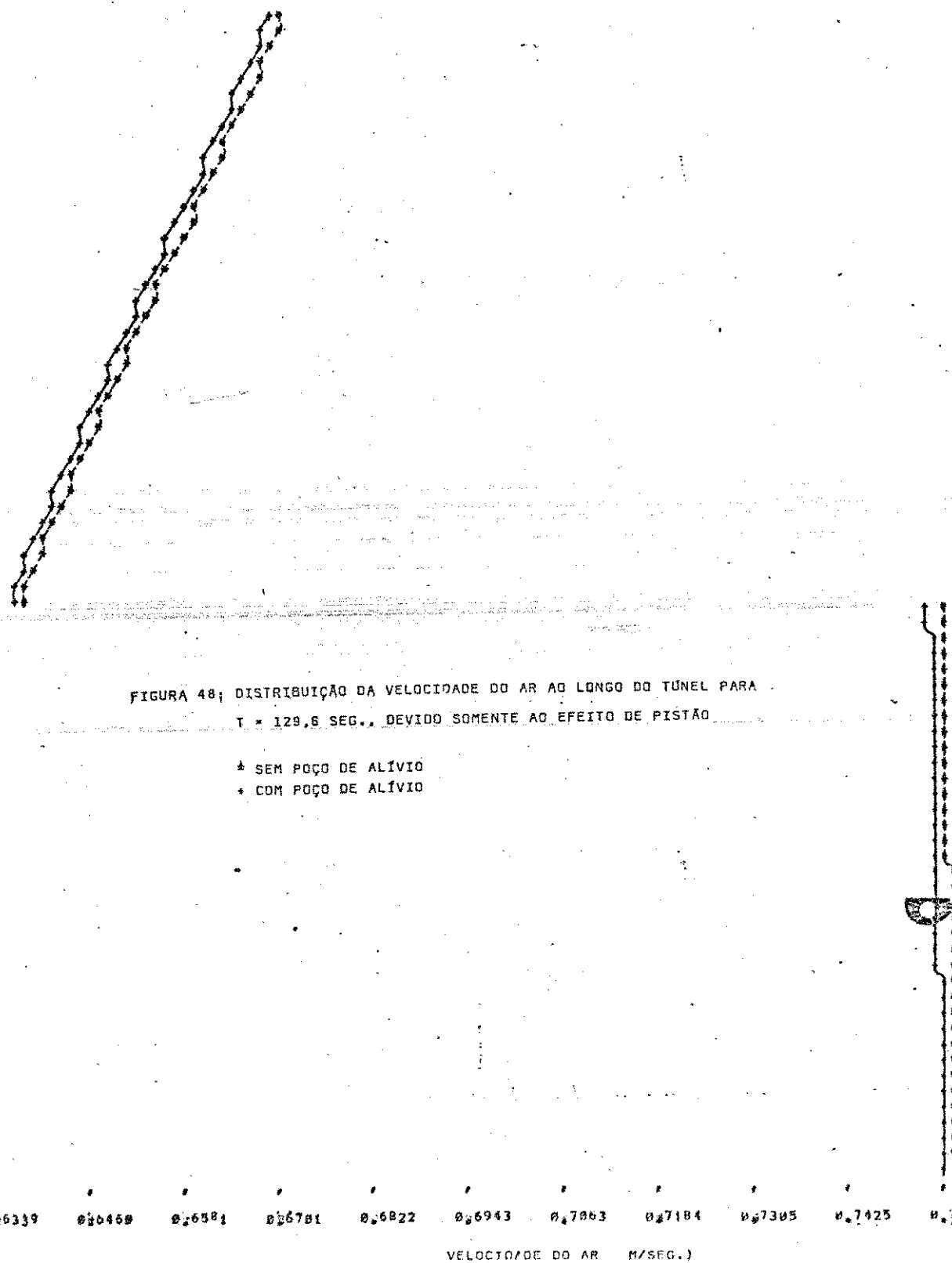


CHART 39



UNICAMP  
Centro de Computo

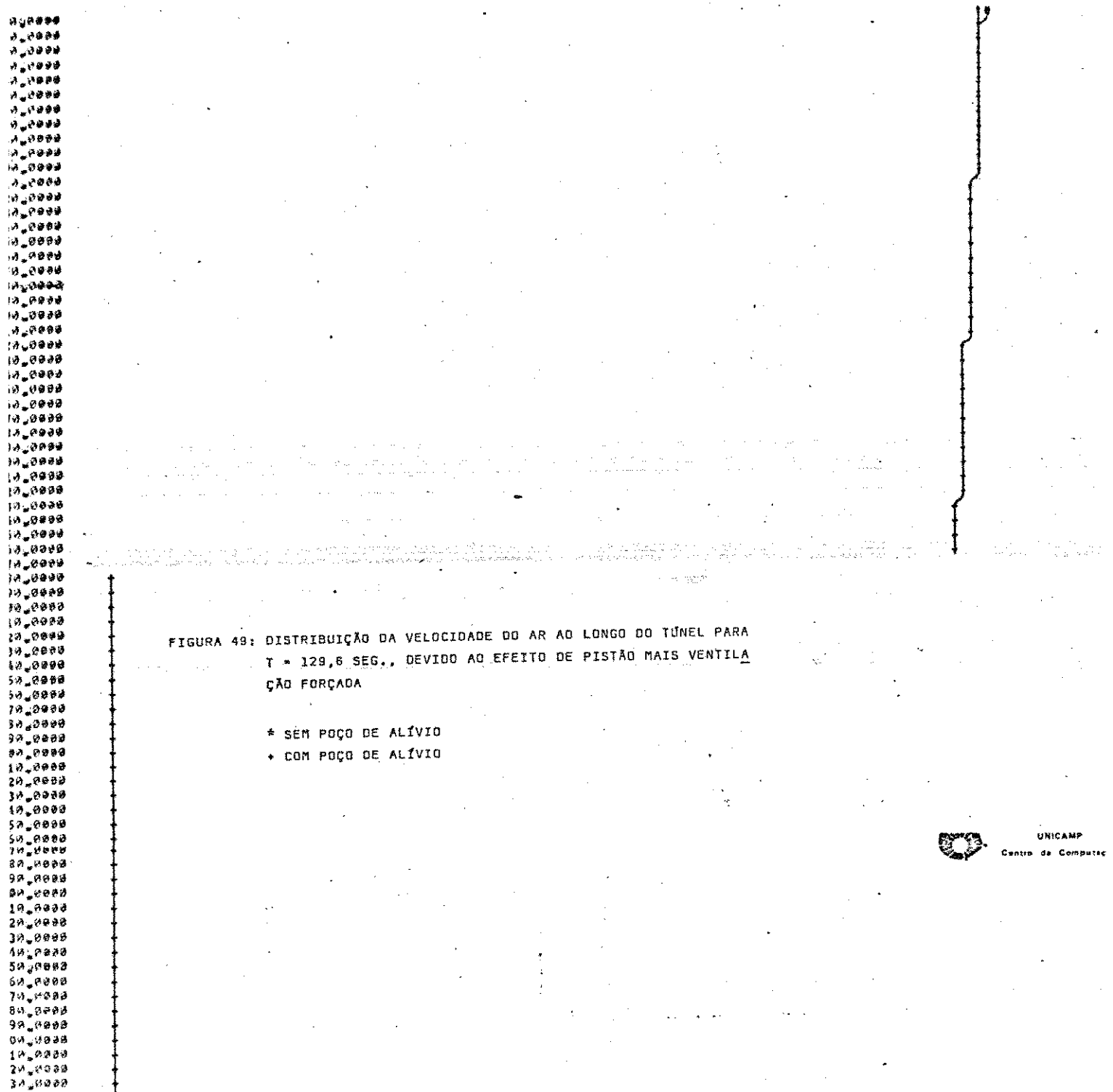


UNICAMP  
Centro de Computo

CHART 39



UNICAMP  
Centro de Computação



-361567 -295129 4168711 +192293 -895876 0,40542 0,6968 1x3378 1y9796 2,6214 3,2632

VELOCIDADE DO AR (M/SEG.)



UNICAMP  
Centro de Computação

CHART 48

UNICAMP  
Centro de Computo

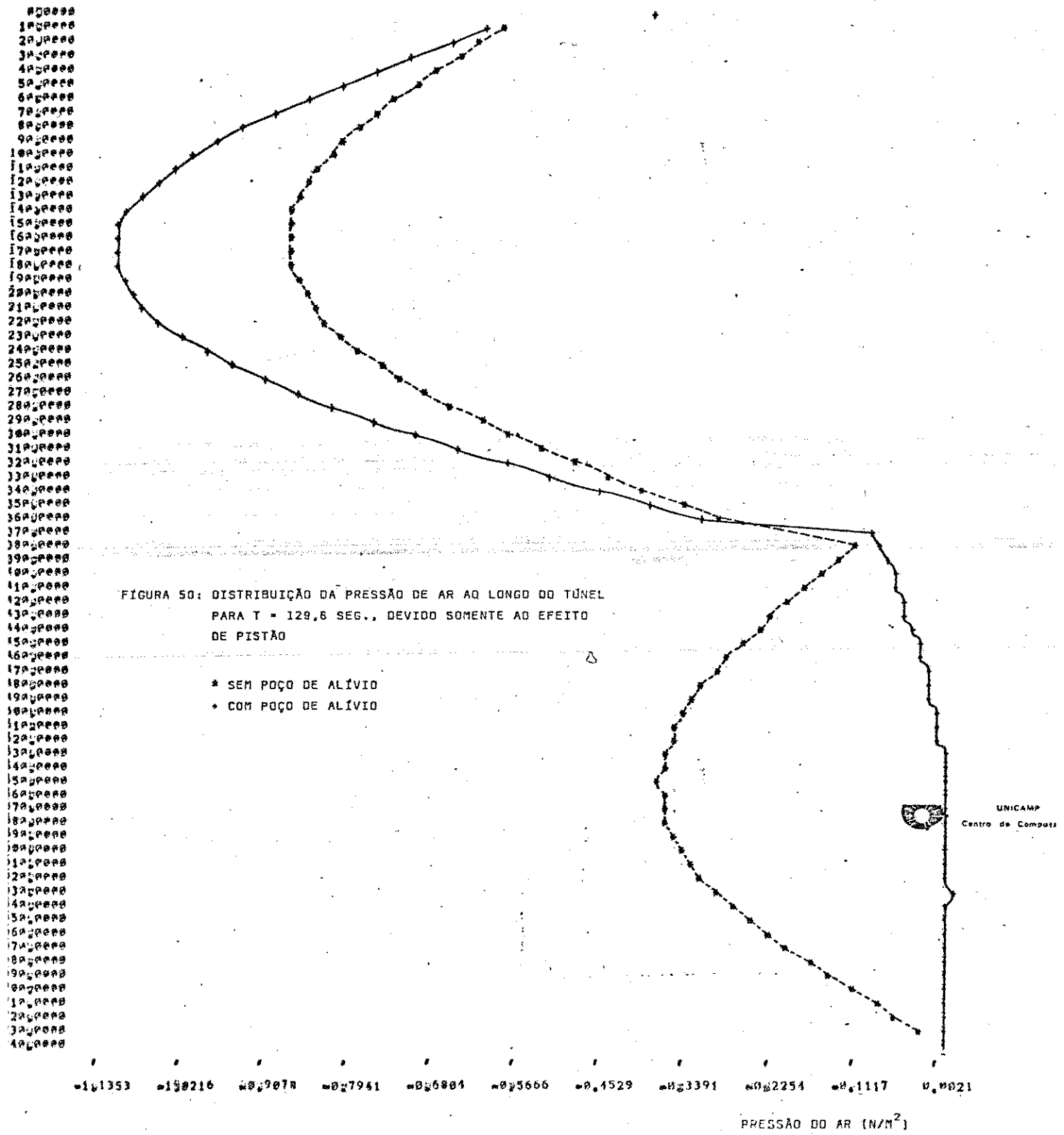


CHART 48

0.0000  
10.0000  
20.0000  
30.0000  
40.0000  
50.0000  
60.0000  
70.0000  
80.0000  
90.0000  
100.0000  
110.0000  
120.0000  
130.0000  
140.0000  
150.0000  
160.0000  
170.0000  
180.0000  
190.0000  
200.0000  
210.0000  
220.0000  
230.0000  
240.0000  
250.0000  
260.0000  
270.0000  
280.0000  
290.0000  
300.0000  
310.0000  
320.0000  
330.0000  
340.0000  
350.0000  
360.0000  
370.0000  
380.0000  
390.0000  
400.0000  
410.0000  
420.0000  
430.0000  
440.0000  
450.0000  
460.0000  
470.0000  
480.0000  
490.0000  
500.0000  
510.0000  
520.0000  
530.0000  
540.0000  
550.0000  
560.0000  
570.0000  
580.0000  
590.0000  
600.0000  
610.0000  
620.0000  
630.0000  
640.0000  
650.0000  
660.0000  
670.0000  
680.0000  
690.0000  
700.0000  
710.0000  
720.0000  
730.0000  
740.0000

FIGURA 51: DISTRIBUIÇÃO DA PRESSÃO DO AR AO LONGO DO TÚNEL PARA  
T = 129,6 SEG., DEVIDO AO EFEITO DE PISTÃO MÁIS VEN-  
TILAÇÃO FORÇADA

\* SEM POÇO DE ALÍVIO  
+ COM POÇO DE ALÍVIO

0.5883393 -0.5341122 -0.4804851 -0.4305579 -0.3806308 -0.3307037 -0.2807765 -0.2308494 -0.1809223 -0.1309951 -0.080680

PRESSÃO DO AR (N/m<sup>2</sup>)

CHART 43



UNICAMP  
Centro de Computação

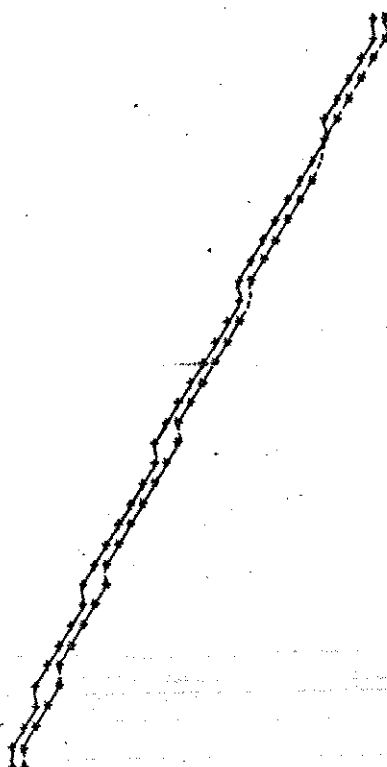
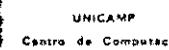


FIGURA 52: DISTRIBUIÇÃO DA VELOCIDADE DO AR AO LONGO DO TÚNEL PARA  
 $T = 172,8$  SEG., DEVIDO SOMENTE AO EFEITO DE PISTÃO

\* SEM POÇO DE ALÍVIO  
+ COM POÇO DE ALÍVIO

0,4531 0,4608 0,4685 0,4762 0,4840 0,4917 0,4994 0,5071 0,5148 0,5225 0,5303

VELOCIDADE DO AR (M/SEG.)



UNICAMP  
Centro de Computação

CHART 43



UNICAMP  
Centro de Computação

FIGURA 53: DISTRIBUIÇÃO DA VELOCIDADE DO AR AO LONGO DO TÚNEL PARA  
 $T = 172,8$  SEG., DEVIDO AO EFEITO DE PISTÃO MAIS VENTILA  
ÇÃO FORÇADA

- \* SEM POÇO DE ALÍVIO
- + COM POÇO DE ALÍVIO

4381557 4225129 4198721 4182383 4045985 0,0533 0,6951 1,3369 1,9787 2,6295 3,2623

VELOCIDADE DO AR (M/SEG.)



UNICAMP  
Centro de Computação

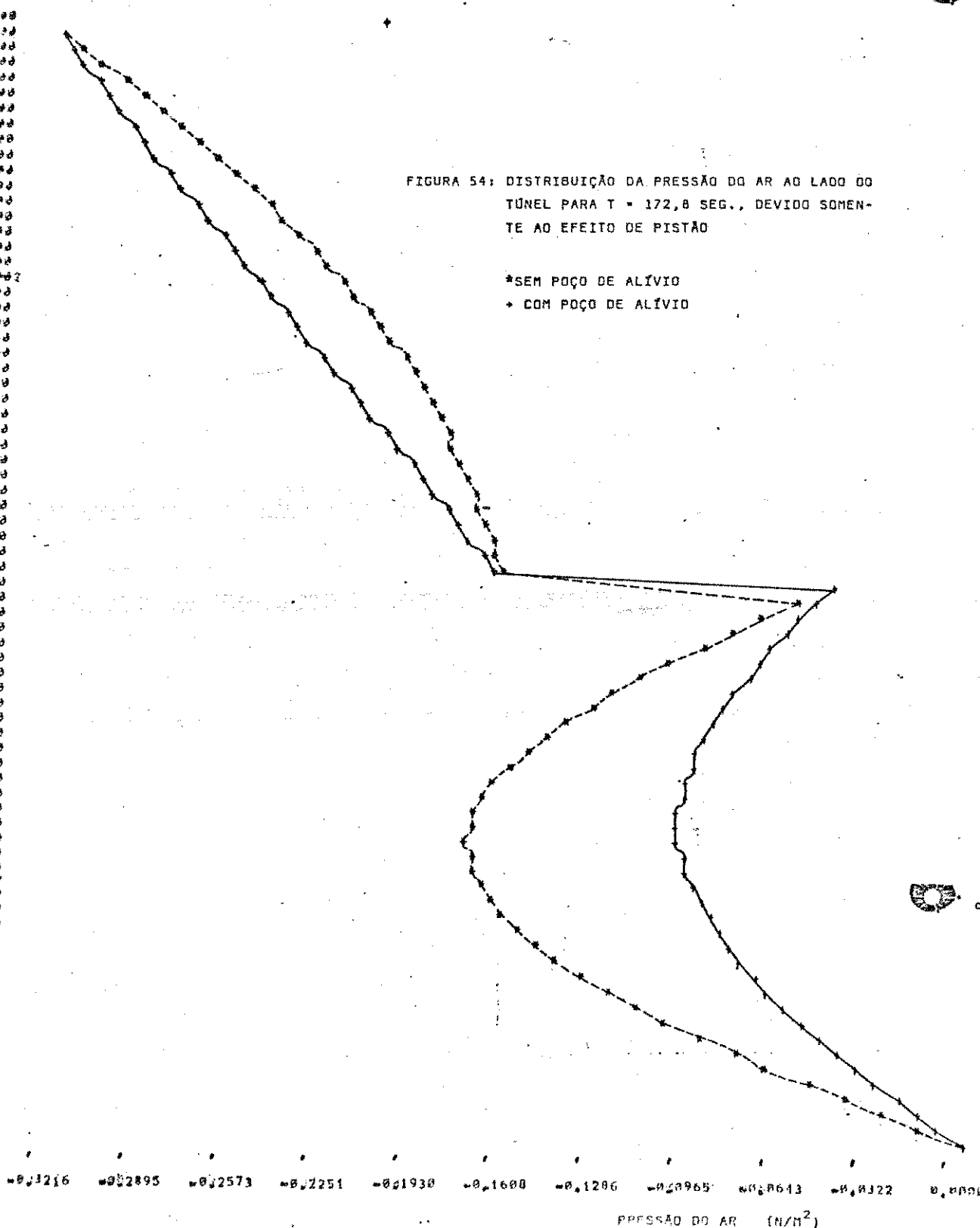
CHART 44



UNICAMP  
Centro de Computo

FIGURA 54: DISTRIBUIÇÃO DA PRESSÃO DO AR AO LADO DO TÚNEL PARA  $T = 172,8$  SEG., DEVIDO SOMENTE AO EFEITO DE PISTÃO

\*SEM POÇO DE ALÍVIO  
+ COM POÇO DE ALÍVIO



UNICAMP  
Centro de Computo

CHART 44



UNICAMP  
Centro de Computação

FIGURA 55: DISTRIBUIÇÃO DA PRESSÃO DO AR AO LONGO  
DO TÚNEL PARA  $T = 172,8$  SEG., DEVIDO AO  
EFEITO DE PISTÃO MAIS VENTILAÇÃO FORÇA-  
DA

\* SEM POÇO DE ALÍVIO  
+ COM POÇO DE ALÍVIO



UNICAMP  
Centro de Computação

+58,3390 +53,94124 +48,4857 +43,5598 +38,6324 +33,7057 +28,7791 +23,8524 +18,9257 +13,9991 +9,0724  
PRESSÃO DO AR ( $N/m^2$ )

APÊNDICE

Variação de y e z com  $\beta$  e  $L_v/D_v$  (extraído da ref. [ 6 ])

Razão de bloqueio do tubo Razão comprimento-diâmetro do veículo Coeficientes semi-empíricos relacionados com as perdas devido à contração do fluxo de ar através do veículo

$\beta$	$L_v/D_v$	y	z
0,30	10,0	3,161	-0,250
0,30	14,0	3,173	-0,357
0,30	18,0	3,628	-0,340
0,30	22,0	4,528	-0,236
0,30	26,0	5,859	-0,115
0,30	30,0	7,640	-0,010
0,35	10,0	2,065	-0,018
0,35	14,0	2,083	0,009
0,35	18,0	2,372	-0,013
0,35	22,0	2,803	-0,067
0,35	26,0	3,493	-0,125
0,35	30,0	4,415	-0,178
0,40	10,0	1,455	0,242
0,40	14,0	1,515	0,329
0,40	18,0	1,704	0,278
0,40	22,0	2,027	0,135
0,40	26,0	2,469	-0,043
0,40	30,0	3,026	-0,213
0,45	10,0	1,062	0,506
0,45	14,0	1,174	0,554
0,45	18,0	1,367	0,469
0,45	22,0	1,644	0,300
0,45	26,0	1,995	0,103
0,45	30,0	2,423	-0,092

0,50	10,0	0,765	0,788
0,50	14,0	0,916	0,718
0,50	18,0	1,126	0,582
0,50	22,0	1,396	0,421
0,50	26,0	1,722	0,262
0,50	30,0	2,101	0,119
0,55	10,0	0,499	1,183
0,55	14,0	0,673	0,893
0,55	18,0	0,891	0,685
0,55	22,0	1,156	0,537
0,55	26,0	1,470	0,434
0,55	30,0	1,829	0,361
0,60	10,0	0,243	2,002
0,60	14,0	0,384	1,460
0,60	18,0	0,580	1,108
0,60	22,0	0,828	0,988
0,60	26,0	1,129	0,753
0,60	30,0	1,484	0,664